

**UNIVERSITATEA TEHNICĂ GH. ASACHI DIN IAȘI
FACULTATEA DE MECANICĂ**

Conf.dr.ing. Ioan BĂISAN

**TRANSPORT OPERAȚIONAL ÎN AGRICULTURĂ ȘI
INDUSTRIA ALIMENTARĂ**

(material pentru studenții anului IV specializarea Mașini și Instalații pentru
Agricultură și Industria Alimentară)

2016

C U P R I N S

I. INTRODUCERE	3
1.1. Clasificarea mașinilor și instalațiilor de ridicat și transportat	3
1.2. Componenta mașinilor și instalațiilor de ridicat și de transportat	7
1.3. Parametrii tehnici principali ai mașinilor și instalațiilor de ridicat și de transportat	7
1.3.1. Parametrii tehnici principali ai mecanismelor și mașinilor de ridicat	8
1.3.2. Parametrii tehnici principali pentru instalațiile de transportat	10
1.4. Caracteristicile materialelor transportate în agricultură și industria alimentară	11
II. MAȘINI DE RIDICAT	14
2.1. Organe flexibile pentru ridicare și tracțiune	14
2.1.1. Frânghiile	14
2.1.2. Lanțuri sudate	14
2.1.3. Lanțuri cu eclise și bolțuri (lanțuri Galle)	15
2.1.4. Cabluri din oțel	16
2.2. Organe pentru ghidarea și acționarea cablurilor și a lanțurilor	21
2.3. Organe pentru suspendarea și apucarea sarcinilor	31
2.4. Organe de blocare și de frânare	37
2.5. Organe pentru deplasare	48
2.6. Mecanismele mașinilor și echipamentelor de ridicat	51
2.7. Mașini și echipamente de ridicat	58
III. MAȘINI ȘI INSTALAȚII DE TRANSPORT CONTINUU	72
3.1. Productivitatea transportoarelor	72
3.2. Organe flexibile de tracțiune	73
3.3. Transportoare cu organ flexibil de tracțiune	79
3.3.1. Transportoare cu bandă	79
3.3.2. Transportoare cu plăci	90
3.3.3. Transportoare cu raclete	94
3.3.4. Transportoare cu cupe	97
3.3.5. Elevatoare	98
3.3.6. Transportoare suspendate	103
3.4. Transportoare fără organ flexibil de tracțiune	107
3.4.1. Transportoare elicoidale	107
3.4.2. Transportoare gravitaționale	110
3.4.3. Instalații de transport pneumatic	117
3.4.4. Transportoare oscilante	126
3.4.5. Transportoare vibrante	128
3.5. Mașini de aruncat sau trimere	129
3.6. Instalațiile auxiliare ale transportoarelor	132
3.6.1. Buncăre	132
3.6.2. Închizătoare	137
3.6.3. Alimentatoare	138
3.7. Mașini de transportat fără șine și echipamente speciale	142
IV. TRANSPORTUL FLUIDELOR	147
4.1. Transportul lichidelor	148
4.1.1. Mărimi caracteristice la transportul lichidelor	149
4.2. Pompe pentru transportul lichidelor	150
4.2.1. Pompe volumice	151
4.2.1.1. Pompe volumice cu mișcare alternativă	151
4.2.1.2. Pompe volumice rotative	153
4.2.1.3. Pompe centrifuge	156
4.2.2. Pompe fără elemente mobile	160
4.3. Comprimarea și transportul gazelor	162
4.3.1. Diagrama de lucru a compresorului	162
4.3.2. Utilaje pentru comprimarea și transportul gazelor	163
BIBLIOGRAFIE	170

I. INTRODUCERE

Transportul operațional în oricare domeniu este o activitate deosebit de importantă, fiind determinantă uneori în stabilirea vitezei unui proces tehnologic. Prin aceasta se asigură mecanizarea operațiilor de ridicare și transport în producția individuală, de serie mică până la producția de masă, între diferitele mașini, utilaje și instalații ce intră în componența liniilor tehnologice, linii automatizate sau sisteme flexibile de prelucrare.

Totodată, costurile cu manipularea, transportul uzinal sau intern, încărcarea, descărcarea și depozitarea materiilor prime, semifabricatelor, produselor finite și a celorlalte subproduse rezultate în urma procesului tehnologic, determină creșterea prețului produselor, fără a afecta și valoarea de întrebuințare a lor. Acest fapt presupune alegerea celor mai judicioase soluții tehnice privind organizarea și desfășurarea transportului în cadrul fluxului tehnologic de fabricație, care să permită asigurarea performanțelor tehnice necesare la costuri cât mai reduse.

În studiul mișcării și manipulării materialelor într-un flux tehnologic se va face o abordare sistemică, ce va avea ca efect găsirea celor mai raționale soluții. Astfel, trebuie analizate cerințele față de întregul sistem de manipulare și transport, actual și de perspectivă, restricțiile impuse, performanțele sistemului ales și comparația cu alte sisteme similare. Această analiză va evidenția dependența dintre cerințele de manipulare și transport și cheltuielile necesare și posibile pentru situația concretă.

Transportul operațional tratează ansamblul tuturor mecanismelor și mașinilor de ridicat și de transportat materiale, folosite atât în cadrul fluxului tehnologic principal, cât și în celelalte activități auxiliare sau adiacente. În funcție de specificul procesului de lucru pe care-l realizează, acestea se pot grupa în două categorii distincte:

- mecanisme și mașini de ridicat;
- instalații de transport continuu.

Mașinile de ridicat servesc pentru a deplasa pe verticală o sarcină constituită dintr-un corp solid, de cele mai multe ori combinată cu o deplasare în plan orizontal a întregii mașini de ridicat sau a unei părți a acesteia. Astfel, sarcina preluată și ridicată dintr-un anumit punct, poate fi coborâtă și predată în oricare alt punct situat în raza de acțiune a mașinii.

În timpul funcționării ei, mașina de ridicat se sprijină pe un reazem, pe o fundație fixă, pe o cale de rulare sau pe un vehicul terestru sau plutitor. În anumite condiții speciale, ridicarea unor corpuri se poate realiza cu elicopterul, dar acesta nu intră în categoria mașinilor de ridicat.

Instalațiile de transport continuu servesc la realizarea unui flux continuu de sarcini individuale care se succed sau de materiale în vrac. Ele pot realiza, pe lângă transport, ridicarea sau coborârea fluxului de materiale care, în funcție de construcție lor, pot asigura unghiuri de lucru cuprinse între $0-90^{\circ}$.

Deoarece instalațiile de transportat au lungimea care acoperă întreaga distanță de transport, vehiculele de transport, care nu au un flux continuu de material, nu pot face parte din categoria instalațiilor de transportat, în sensul definiției de mai sus.

1.1. Clasificarea mașinilor și instalațiilor de ridicat și de transportat.

La clasificarea mașinilor de ridicat, în vederea unificării denumirilor, sistematizării și codificării lor, acestea sunt cuprinse în grupele principale de produse 381 și 382. Astfel, grupa 381 se referă la poduri rulante și macarale, iar grupa 382 se referă la utilajele de ridicat, transportat și manipulat, altele decât podurile rulante și macaralele.

Există o multitudine de criterii după care se pot clasifica mașinile de ridicat, dar din punct de vedere tehnic poate fi considerată satisfăcătoare clasificarea după criteriul complexității și al numărului mișcărilor de lucru, în raport cu care avem trei grupe:

- mecanisme simple de ridicare;
- ascensoare și platforme ridicătoare de lucru;

► macarale.

Mecanismele de ridicare asigură efectuarea unei singure mișcări de deplasare a sarcinii, de regulă pe verticală (ridicare-coborâre), uneori pe o traiectorie înclinată sau orizontală (la tractarea sarcinilor). Acționarea acestor mecanisme se realizează fie manual, fie cu ajutorul unor motoare termice sau electrice, iar detalierea clasificării lor este următoarea:

Mecanisme simple de ridicat:

a. vinciuri:

- cu șurub;
- cu cremalieră;
- hidraulice;

b. palane:

- cu cablu;
- cu lanț;

c. trolii:

- reversibile (cu cuplaj permanent);
- nereversibile (cu ambreiaj);
- cabestane și trolii cu fricțiune

d. tirfoare;

e. platforme de ridicare:

- mecanice cu șurub;
- hidraulice.

De menționat este faptul că aceste mecanisme sunt utilizate fie ca mecanisme independente (din ce în ce mai rar), fie intră în componența macaralelor sau a mașinilor de ridicat complexe.

Ascensoarele sunt instalații de ridicat pe verticală a materialelor și a persoanelor, prin intermediul unei platforme sau cabine ghidate, acționate cu ajutorul unui motor.

Platformele ridicătoare de lucru sunt destinate lucrului la înălțime a mai multor muncitori, fie în scop tehnologic, fie pentru diverse intervenții. Platformele tehnologice sunt instalații stabile, care necesită montare la locul de funcționare, în timp ce platformele de intervenție sunt montate pe mașini mobile, având de regulă o singură mișcare, anume cea de ridicare-coborâre. Platformele de intervenție mai pot efectua și o mișcare de rotație. Detalierea clasificării lor este următoarea:

Platforme ridicătoare de lucru:

a. nedeplasabile (tehnologice):

- pe cremalieră;
- cu ghidare pe cablu;
- suspendate cu cablu;

b. deplasabile (de intervenție):

- cu pârgă articulată tip foarfecă;
- cu brațe articulate;
- telescopice;
- cu șurub.

Macaralele sunt mașini de ridicat complexe, care dispun de unul sau mai multe mecanisme, prin intermediul cărora realizează mișcările de deplasare a sarcinii, o clasificare nelimitativă fiind următoarea:

Macarale:

a. cu braț:

■ nedeplasabile:

- de bord;
- de perete;
- de planșeu;
- pe fundație;

- Derrick;

■ deplasabile:

- turn;
- pe pneuri;
- pe șenile;
 - pe autocamion;
- automacarale;
- lansatoare de conducte;
- de cale ferată;
- portuare;
- plutitoare;

b. rulante:

- poduri transbordare;
- poduri rulante;
- macarale portal;
- macarale semiportal;
- macarale consolă;

c. funiculare:

- nedeplasabile;
- deplasabile;

d. alte tipuri.

Macaralele cu braț sunt caracterizate printr-un braț, de regulă rotitor în jurul unei axe verticale, astfel încât câmpul de acțiune al macaralei este de forma unui cilindru. Ca mișcări posibile avem ridicarea-coborârea sarcinii, rotirea brațului, înclinarea sau bascularea brațului ori deplasarea dispozitivului de prindere în lungul brațului (când acesta este orizontal), prezența unui mecanism de deplasare a macaralei măbind considerabil câmpul de acțiune al acesteia.

Bascularea brațului și deplasarea întregii macarale pot fi concepute ca mișcări posibile a fi efectuate cu sarcină sau fără sarcină, caz în care macaraua își schimbă doar poziția de lucru.

Macaralele rulante au particularitatea că, prin intermediul mișcărilor de translație reciproc perpendiculare, dispozitivul de suspendare are acces într-un câmp de acțiune de formă paralelipipedică.

Funicularele sunt macarale la care căruciorul de care este suspendat dispozitivul de ridicare a sarcinii se deplasează pe unul sau mai multe cabluri purtătoare, întinse între două structuri de ancorare fixe sau deplasabile.

Din definiție, mașinile de ridicat acționează după o succesiune de cicluri de lucru, fiecare ciclu fiind alcătuit din operații de ridicare, deplasare și coborâre, urmate de pauze mai lungi sau mai scurte. Prin urmare, mașinile de ridicat pot fi de tipul cu funcționare periodică sau intermitentă.

Instalațiile de transport continuu se pot grupa după caracteristicile constructive astfel:

a. transportoare: constituie grupa principală și asigură un flux continuu de sarcini individuale sau vrac;

b. instalații de transbordare: sunt acele echipamente deplasabile cu acțiune continuă, adaptate încărcării și descărcării materialelor vrac sau sarcinilor individuale;

c. dispozitive auxiliare: acestea nu se folosesc independent la deplasarea sarcinilor, fiind însă necesare la buna funcționare a celorlalte două grupe de instalații de transport continuu.

Transportoarele, în funcție de construcție, se împart în două grupe mari:

● transportoare cu organ flexibil de tracțiune:

- transportoare cu bandă;
- transportoare cu plăci;
- transportoare cu lanțuri portante;
- transportoare cu cărucioare;
- transportoare cu raclete;

- transportoare cu cupe;
- transportoare cu leagăne;
- transportoare cu cabluri portante;
- transportoare suspendate;
- elevatoare
- transportoare fără organ flexibil de tracțiune:
 - transportoare cu rulouri;
 - transportoare cu melc;
 - transportoare oscilante;
 - transportoare pneumatice;
 - transportoare hidraulice;
 - transportoare gravitaționale.

Din categoria instalațiilor de transbordare se pot aminti transportoarele deplasabile, încărcătoarele mecanice, trimerele (transportoare aruncătoare), transportoare montate pe autovehicule.

Dispozitivele auxiliare includ în componența lor buncărele, alimentatoarele, închizătorii, dispozitive de descărcat buncărele, cântarele.

Pentru asigurarea transportului de materiale, semifabricate și produse finite, în practică se mai utilizează mașini de transportat fără șine. În această categorie sunt incluse cărucioarele acționate manual sau mecanic, motocarele, electrocarlele și mașinile de stivuit.

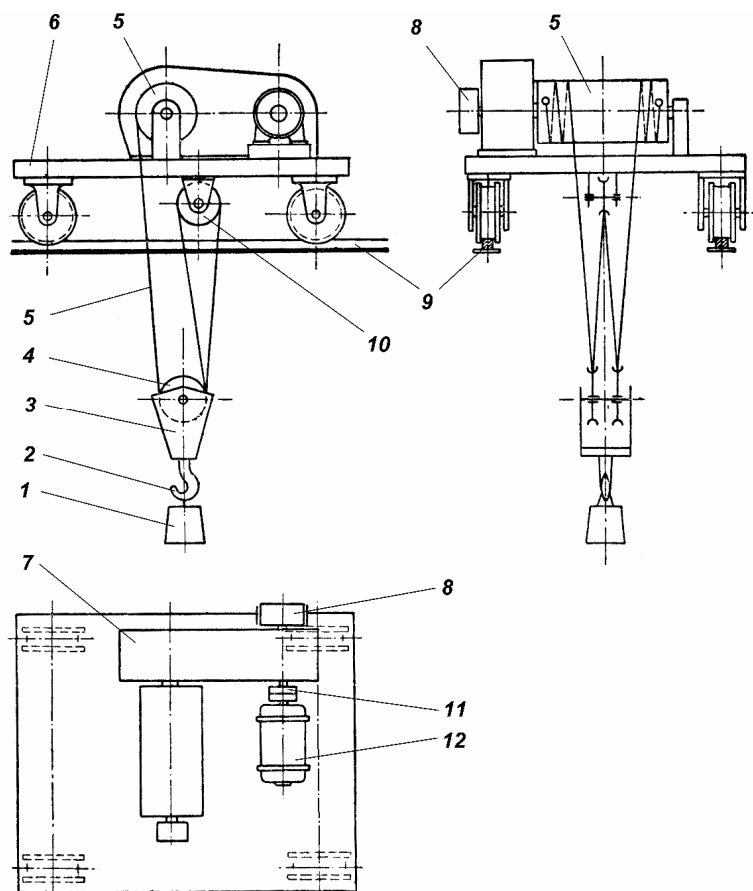
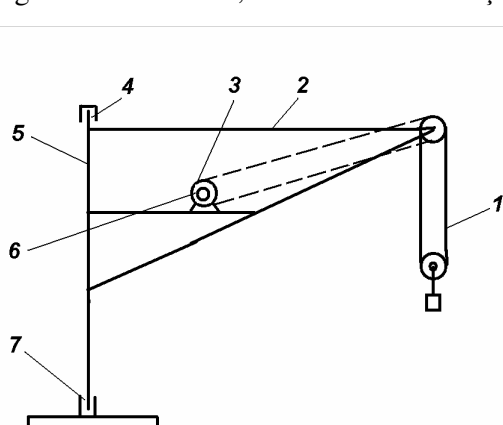


Fig. 1.1. Schema constructivă a unei mașini de ridicat de tip pod rulant: 1- sarcina de ridicat; 2- cârlig de suspendare; 3- muflă liberă; 4- rolă cablu; 5- cablu de tracțiune; 6- șasiu cărucior; 7- reductor; 8- roată de frână; 9- șină rulare; 10- muflă fixă; 11- cuplaj elastic; 12- electromotor.

1.2. Componenta mașinilor și instalațiilor de ridicat și de transportat

Mașinile de ridicat și de transportat sunt alcătuite din organe cu utilizare generală precum organe de asamblare, de transmitere a mișcării, lagăre, cuplaje, etc.



În figura 1.1. este prezentată schema de principiu a unui mașini de ridicat și deplasat de tipul podului rulant, în figura 1.2. schema unei macarale rotitoare staționare, iar în figura 1.3. schema unui transportor cu bandă.

Fig. 1.2. Schema unei macarale rotitoare staționare: 1- palanul (echipamentul de ridicare a sarcinii); 2- braț rotitor; 3- toba de cablu; 4,7- lagăre; 5- coloana macaralei; 6- mecanismul de acționare al macaralei.

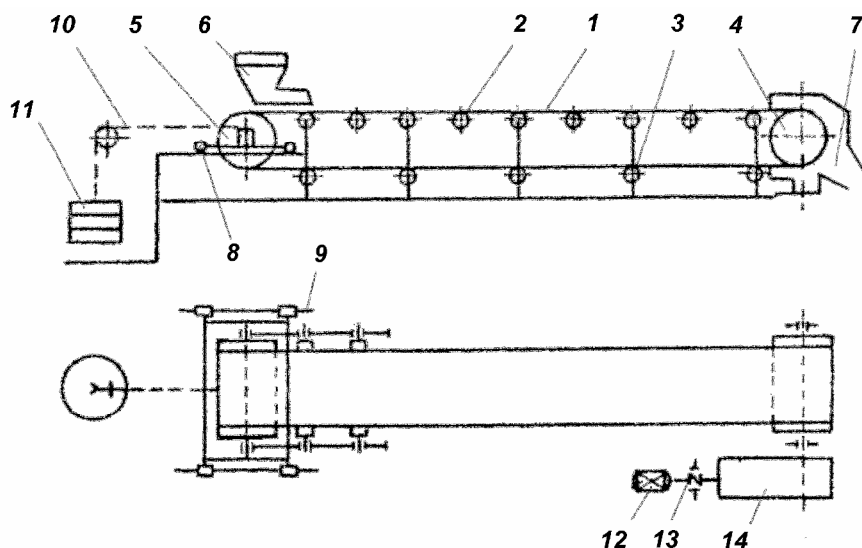


Fig. 1.3. Schema generală a unui transportor cu bandă: 1- bandă transportoare; 2- role susținere ramură superioară; 3- role susținere ramură de întoarcere; 4- tobă antrenare; 5- tobă întindere; 6- dispozitiv de alimentare; 7- dispozitiv de descărcare; 8- mecanism de întindere; 9- șină culisare; 10- cablu; 11- contragreutate; 12- motor electric; 13- cuplaj elastic; 14- reductor.

Pe baza acestor scheme constructive se va analiza componenta mașinilor de ridicat și de transportat, grupate pe următoarele categorii:

- organe flexibile pentru ridicare și tracțiune;
- organe pentru ghidarea și acționarea cablurilor și a lanțurilor;
- organe și dispozitive pentru apucarea și suspendarea sarcinilor;
- echipamente de blocare și frânare;
- echipamentele instalațiilor de transportat.

1.3. Parametrii tehnici principali ai mașinilor și instalațiilor de ridicat și de transportat

În vederea proiectării și exploatării mașinilor și instalațiilor de ridicat și de transportat, este necesară cunoașterea principalilor parametri tehnici ai acestora care, în funcție de procesul

de lucru, se pot grupa astfel: parametrii mecanismelor și mașinilor de ridicat și parametrii instalațiilor de transportat.

1.3.1. Parametrii tehnici principali ai mecanismelor și mașinilor de ridicat

Sarcina nominală, este valoarea maximă a greutății ce poate fi admisă pentru a fi ridicată de către mecanismul sau mașina de ridicat, în cazul funcționării în anumite condiții de lucru (în funcție de grupa de funcționare) și se determină cu relația:

$$Q = Q_0 + Q_u \quad (1.1.)$$

în care Q_0 este greutatea echipamentului de suspendare, în kN;

Q_u – sarcina utilă, în kN.

Sarcina utilă reprezintă valoarea maximă a greutății ce poate fi preluată, după caz, de dispozitivul de prindere a sarcinii, dispozitivul de legare sau de către dispozitivul de ridicare. Gama capacităților de ridicare este indicată în STAS 6451-78, iar gama capacităților de ridicare pentru fiecare tip de mecanism și mașină de ridicat este precizată în STAS 2844-90.

Înălțimea de ridicare, reprezintă distanța maximă, măsurată pe verticală dintre pozițiile limită inferioară și superioară a axei dispozitivului principal de suspendare (cârlig, ochet) sau de apucare a sarcinii. În funcție de necesitățile tehnologice înălțimea de ridicare poate avea valori cuprinse în intervalul 3,2-50 m.

Distanța de deplasare, se stabilește în funcție de necesitățile tehnologice și de timpii de circulație și de pauză. În cazul unui pod rulant distanța de deplasare poate atinge valori de 60-80 m.

Momentul nominal, reprezintă valoarea maximă a produsului dintre masa sarcinii nominale și raza de acțiune, exprimată în $t \cdot m$:

$$M = \max(Q \cdot R) = Q \cdot R_{\max} \quad (1.2.)$$

Valoarea produsului este limitată fie din condiția de stabilitate la răsturnare a macaralei, fie din condiția de rezistență a elementelor structurale.

Prin rază de acțiune se înțelege distanța de la axa de rotație a macaralei, până la axa cârligului de suspendare sau a dispozitivului de prindere a sarcinii.

Mărimile cinematice, sunt reprezentate de viteză și accelerație. În funcție de complexitatea mașinii de ridicat se definesc următoarele viteze:

- ▶ *viteza de lucru* v , depinde de mărimea sarcinii și regimul de lucru și are valorile:
 - între 2 - 30 m/min viteză de ridicare, pentru sarcini cuprinse între 10 - 500 kN;
 - între 0,6 - 6,3 m/min viteză de ridicare, pentru sarcini cuprinse între 500 - 3200 kN;
- ▶ *viteza de translație pentru cărucioare*, care pentru regim mediu și ușor are valori cuprinse între 12,5 - 32 m/min;
- ▶ *viteza de translație pentru poduri rulante și macarale*, care pentru regim mediu și ușor are valori cuprinse între 20 - 100 m/min;
- ▶ *viteza de rotire*, calculată ca viteza periferică a sarcinii pentru deschiderea maximă, corespunzând unei turații $n = 2 - 4$ rot/min, are valori cuprinse între 40 - 250 m/min;
- ▶ *viteza de variație a deschiderii brațului*, poate avea valori cuprinse între 6,3-80 m/min.

Accelerația se determină experimental, valorile maxime fiind cele care stau la baza dimensionării motoarelor electrice în faza de pornire și a frânelor în faza de oprire. Se recomandă pentru faza de demaraj accelerații cu valori de $0,5-7 \text{ m/s}^2$, iar pentru faza de frânare valori de $0,45-0,9 \text{ m/s}^2$.

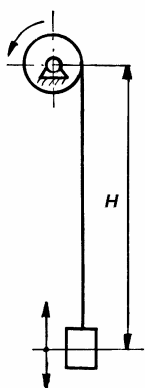


Fig. 1.4. Domeniul de lucru o dreaptă

Domeniul de lucru al mașinilor de ridicat diferă în funcție de construcția și gradul de complexitate al acestora și poate fi o dreaptă pentru un troliu de ascensor (fig. 1.4.), o suprafață pentru o grindă fixă (fig. 1.5.) sau o macara cu deschidere fixă (fig. 1.6.), respectiv un volum pentru un pod rulant (fig. 1.7.) sau pentru o macara turnantă cu deschidere variabilă (fig. 1.8.).

Durata relativă de lucru, se definește cu relația:

$$D_a = \frac{\sum t_{ef}}{T} \cdot 100 \quad (1.3.)$$

unde numărătorul reprezintă suma timpilor efectivi de lucru, iar T este durata unui ciclu, care în mod convențional nu depășește 10 minute.

Durata unui ciclu este suma timpilor efectivi de lucru și a timpilor de pauză.

Sarcina relativă de lucru, definită prin relația:

$$S_R = \frac{\sum n_i Q_i}{n \cdot Q} \cdot 100 \quad (1.4.)$$

în care n_i este numărul de curse efectuate cu sarcina Q_i ;

n - numărul total de curse;

Q - sarcina nominală.

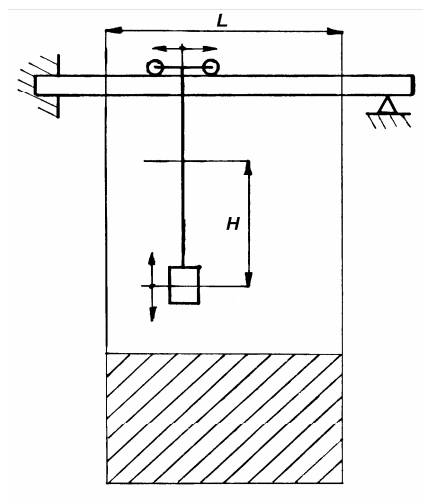


Fig. 1.5. Domeniul de lucru o suprafață plană

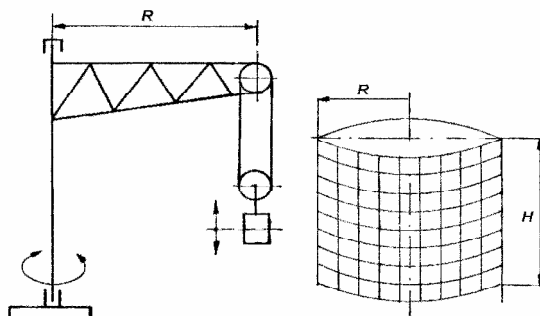


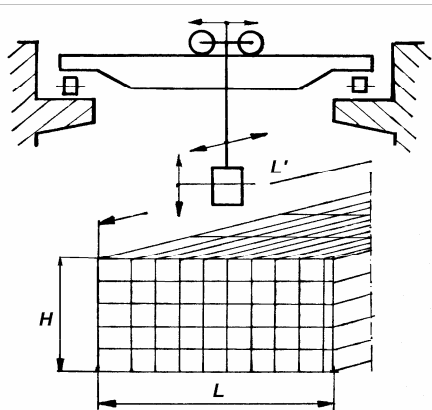
Fig. 1.6. Domeniul de lucru o suprafață circulară

Clasa de utilizare a unei mașini de ridicat este determinată de timpul de funcționare mediu zilnic prevăzut pentru aceasta, exprimat în ore (tabelul 1.1.).

Starea de solicitare, precizează măsura în care mașina de ridicat este supusă la solicitări maxime (datorită sarcinii nominale), respectiv la solicitări mai mici (datorită sarcinilor mici).

Din punct de vedere al solicitării, mașinile de ridicat se împart în trei grupe:

- L1, mașini de ridicat care nu sunt supuse la solicitări maxime decât în mod excepțional, curent fiind supuse la solicitări inferioare;



- L2, mașini de ridicat care sunt supuse în durată aproape egală la solicitări ușoare, medii și maxime;
- L3, mașini de ridicat care sunt supuse tot timpul la solicitări apropiate sau egale cu solicitările maxime.
- L4, mașini de ridicat supuse curent la solicitări maxime.

Fig. 1.7. Domeniul de lucru un paralelipiped

Tabelul 1.1. Clasele de utilizare ale mașinilor de ridicat

Clasa de utilizare	Timpu de funcționare mediu zilnic, ore	Durata de serviciu totală, ore	Observații
T0	$\leq 0,125$	200	Utilizare ocazională
T1	0,125 – 0,25	400	
T2	0,25 – 0,5	800	
T3	0,5 – 1	1600	
T4	1 – 2	3200	Utilizare în regim ușor
T5	2 – 4	6300	Utilizare în regim intermitent
T6	4 – 8	12000	Utilizare în regim mediu
T7	8 – 16	25000	Utilizare intensivă
T8	≥ 16	50000	
T9	≥ 16	peste 50000	

Grupele de funcționare încadrează mașinile de ridicat în funcție de clasa de utilizare și starea de solicitare în opt regimuri, care sunt prezentate în tabelul 1.2.

Tabelul 1.2. Grupele de funcționare ale mașinilor de ridicat

Starea de solicitare	Clasa de utilizare									
	T0	T1	T2	T3	T4	T5	T6	T7	T8	T9
	Grupa de funcționare									
L1	M1	M1	M1	M2	M3	M4	M5	M6	M7	M8
L2	M1	M1	M2	M3	M4	M5	M6	M7	M8	
L3	M1	M2	M3	M4	M5	M6	M7	M8		
L4	M2	M3	M4	M5	M6	M7	M8			

1.3.2. Parametrii tehnici principali pentru instalațiile de transportat

Productivitatea, exprimă cantitatea de material transportat în unitatea de timp și este dată de relația:

$$Q = 3.6 \cdot q \cdot v, \text{ în t/h} \quad (1.5.)$$

în care q este sarcina liniară, în kg/m;

v - viteza de înaintare a materialului, în m/s.

În calcule se va lua o productivitate care depinde de gradul de neuniformitate:

$$Q_{\text{calcul}} = Q_{\text{mediu}} \cdot k \quad (1.6.)$$

unde k este coeficientul de neuniformitate, ($k = 1,1, \dots, 1,25$).

Granulația materialului vărsat, se determină cu ajutorul diagramelor și depinde de natura acestuia.

Greutatea volumetrică, reprezintă greutatea materialului vărsat dintr-un volum unitar și se exprimă în kN/m^3 .

Unghiul taluzului natural, în repaus sau în mișcare al materialului, reprezintă unghiul dintre generatoarea conului de material vărsat, care se depune liber pe o suprafață plană orizontală și acea suprafață. Acest unghi este egal cu unghiul de frecare interioară a materialului și depinde de natura materialului în vrac.

1.4. Caracteristicile materialelor transportate în agricultură și industria alimentară

Există o gamă diversă de materiale și produse care se vehiculează atât în agricultură, cât și în industria alimentară. În funcție de modul de prezentare, acestea se pot grupa în:

- ▶ materiale în vrac;
- ▶ materiale în ambalaje (saci, cutii, lădițe, baloți etc.);
- ▶ materiale paletizate și containerizate.

În domeniul agricol, dar într-o mare măsură și în industria alimentară, materialele supuse transportului sunt de tipul în vrac. Cu toate acestea, la alegerea tipului de instalație de transportat nu este suficientă clasificarea de mai sus, fiind necesară împărțirea lor în funcție de natura acestora, respectiv cereale (sub formă de boabe sau măciniș), bulboase, rădăcinoase, legume, fructe, struguri, tuberculifere, paie, fân, coceni, îngrășăminte chimice, amendamente, gunoi de grajd, furaje verzi și însilozate, etc.

O categorie aparte o constituie lichidele, ca o grupă alcătuită din lichidele tehnologice (apa, soluții diverse pentru combatere dăunători și igienizare), lichidele alimentare, respectiv combustibili lichizi.

Din grupa sarcinilor individuale se pot menționa animalele și păsările care sunt supuse procesului de abatorizare în linii tehnologice automatizate.

Spre deosebire de alte sarcini care sunt caracterizate prin număr, greutate, dimensiuni sau poziție în timpul transportului, materialele vărsate prezintă o serie de caracteristici speciale, importante pentru construcția mașinilor de transportat.

Granulația. Este important să se cunoască procentajul în material al granulelor de diferite mărimi. Pentru aceasta, prin analiza granulometriei se stabilește diagrama granulometrică a materialului. Fiecare material este caracterizat printr-o granulație caracteristică:

- în cazul materialului sortat se consideră ca fiind:

$$a' = \frac{a_{\max} + a_{\min}}{2}, \text{ în mm.} \quad (1.7.)$$

- în cazul materialelor amestecate:

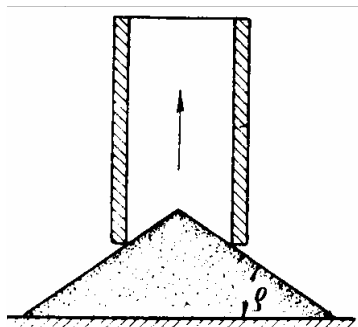
$a' = a_{\max}$, dacă fracțiunea între 80-100 % din a_{\max} reprezintă mai mult de 10 %;

$a' = 0,8 \cdot a_{\max}$, dacă fracțiunea de mai sus reprezintă sub 10 %

Masa volumetrică. Se înțelege masa de material vărsat liber, într-un volum egal cu unitatea. Se notează cu γ și se exprimă în t/m^3 .

Masa specifică γ_s a unui material vărsat reprezintă masa unității de volum dintr-o granulă a materialului.

Frecarea internă și unghiul taluzului natural. Prin curgerea liberă a unei cantități de material pe o suprafață, acesta se va așeza sub forma unui con, ale cărui laturi sunt înclinate totdeauna, pentru un anumit material, la același unghi față de orizontală (fig. 1.8.). Acesta este unghiul de taluz natural în repaus.



Taluzul natural luând naștere prin alunecarea granulelor pe suprafața înclinată formată tot de granule, unghiul ρ va fi în cazul în cazul unui material ideal (format din granule mici și egale) egal cu unghiul frecării interioare ρ_0 a materialului.

$$\text{Mărimea } k = \frac{1 - \sin \rho_0}{1 + \sin \rho_0} \quad \text{se numește coeficient de}$$

mobilitate al materialului și este important în calculul buncărelor și a închizătoarelor.

Fig. 1.8. Unghiul taluzului natural

Unghiul taluzului natural în mișcare are valori mai mici decât cel în repaus datorită forțelor care acționează asupra materialului și a oscilațiilor suportului pe care acesta se află.

Coeficientul de frecare al materialelor vărsate pe alte materiale precum oțel cauciuc, lemn, este necesar pentru calculul instalațiilor de transportat și va avea două valori:

- un coeficient de frecare în repaus, $\mu = \operatorname{tg} \varphi$;
- un coeficient de frecare în mișcare, $\mu_m = \operatorname{tg} \varphi_m$.

Tabelul 1.3. Caracteristicile fizico-mecanice ale unor materiale în vrac

	Masa volumetrică (kg/m ³)	Viteza critică de plutire (m/s)	Unghiul taluzului natural (°)	Coeficient de frecare pe:		
				oțel	lemn	cauciuc
Grâu	730-850	8,5-11,5	23-38	0,50	0,54	0,57
Secară	670-750	8,5-10,1	23-36	0,58	0,62	0,66
Orz	480-680	8,4-10,8	28-40	0,58	0,63	0,68
Ovăz	320-550	8,1-9,2	31-44	0,58	0,68	0,75
Soia	640-730	9,0-15,5	24-32	0,26	0,31	0,38
Mazăre	680-780	10,8-16,1	20-28	0,26	0,32	0,35
Porumb	600-850	12,5-14,0	30-40	0,42	0,47	0,51
Floarea-soarelui	285-490	4,0-8,7	31-45	0,44	0,52	0,59
Fasole	680-840	7,2-16,5	22-33	0,40	0,45	0,48
Orez	510-630	8,0-11,5	21-36	0,45	0,59	0,51
Cartof	570-690	-	30-38	0,51	0,55	0,58
Morcov	460-540	-	32-45	0,58	0,62	0,66
Tomate	550-680	-	27-32	0,50	0,65	0,72
Castraveți	460-540	-	33-41	0,36	0,41	0,53
Sfeclă de zahăr	580-690	-	35-45	0,54	0,63	0,71
Rapiță	520-600	6,8-9,5	20-28	-	-	-
Neghină	589-670	6,9-9,8	-	-	-	-
Măzărice	520-610	14,5-16,7	-	-	-	-
Semințe buruieni	450-680	4,6-7,3	-	-	-	-
Paie tocate	12-16	5,1-6,3	-	0,26	0,32	0,37
Pleavă	13-17,6	0,67-3,2	-	0,33	0,38	0,43
Spic fără boabe		3,3-5,8	-	0,25	0,30	0,38
Făina	450-660		35-45	0,68	0,75	0,85
Tărâțe	180-440		33-48	0,31	0,33	0,40
Gunoii de grajd	700-1100	-	65-72	1,68	1,80	1,90
Îngrășămintele minerale	800-1500	-	43-55	0,52	0,58	0,61
Piatră de var	1200-1500	-		0,66	0,75	0,82

În tabelul 1.3. sunt prezentate unele caracteristici fizico-mecanice pentru cele mai uzuale materiale în vrac, transportate în domeniul agroalimentar. Valorile sunt utile în alegerea tipului de transportor și a regimului de lucru, ele depinzând în mare măsură de umiditatea materialului.

Abrazivitatea este caracteristica materialului vărsat de a produce uzura pereților solizi cu care intră în contact și ea depinde de duritatea materialului, forma și caracterul suprafeței granulelor.

Alte caracteristici de care trebuie să se țină seama la proiectarea instalațiilor de transportat sunt:

- proprietatea de a se aglomera, modificându-și granulometria;
- fragilitatea, datorită căreia se produc fracțiuni mici;
- capacitatea de a îngheța, formând blocuri sau de a se lipi de pereți;
- agresivitatea chimică;
- posibilitatea de a forma cu aerul amestecuri explozive;
- toxicitatea materialului sau posibilitatea de a fi infectat în timpul transportului.

II. MAȘINI DE RIDICAT

Mecanismele și mașinile de ridicat se prezintă într-o mare diversitate de tipuri constructive. Cu toate acestea, pe lângă organele de mașini cu întrebuințare generală, se regăsesc o serie de organe specifice, a căror construcție este prezentată în cele ce urmează.

2.1. Organe flexibile pentru ridicare și tracțiune

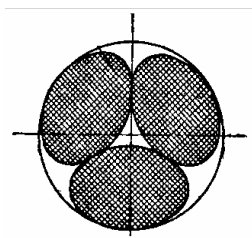
Organele de ridicare și tracțiune fac legătura cinematică între organul de acționare și organul de lucru (de suspendare sau apucare a sarcinii), transformând, totodată, mișcarea de rotație a organului de acționare într-o mișcare de translație a organului de lucru.

Din grupa organelor flexibile pentru ridicare și tracțiune fac parte frânghiile, cablurile din oțel, lanțurile sudate și lanțurile cu eclise și bolțuri.

2.1.1. Frânghiile

Frânghiile folosite ca organe flexibile sunt alcătuite prin împletirea a trei sau mai multor toroane (fig. 2.1.), fiecare toron fiind format prin răsucirea mai multor fire de in sau cânepă, cu lungimi mari.

Pentru a micșora tendința de dezrăsucire a frânghiei, sensul de cablare a acesteia este invers sensului de răsucire a toroanelor, iar acesta este invers sensului de răsucire a firelor.



Pentru a micșora sensibilitatea la umezeală, frânghiile se impregnează cu gudroane, caz în care scade și sarcina la rupere a lor, ca efect al creșterii greutatei proprii.

Utilizarea frânghiilor este limitată la unele mecanisme de ridicare cu acționare manuală și folosire ocazională.

Calculul unei frânghii ca organ flexibil de tracțiune constă în determinarea diametrului ei (cercul circumscris secțiunii transversale), din condiția de rezistență la tracțiune:

Fig. 2.1. Secțiune trans-

versală prin frânghie

$$\sigma = \frac{F}{\frac{\pi \cdot d^2}{4}} \leq \sigma_a \quad (2.1.)$$

în care σ este efortul unitar din frânghie, în N/mm^2 ;

F – forța de tracțiune care acționează asupra frânghiei, în N ;

d – diametrul frânghiei, în mm ;

σ_a – rezistența admisibilă la tracțiune, în N/mm^2 .

Pentru a limita solicitările suplimentare la încovoiere care apar la înfășurarea frânghiei pe role sau tobe de acționare, se recomandă ca diametrul acestora să fie mai mare cu 7-10 ori decât diametrul frânghiei.

2.1.2. Lanțuri sudate

Lanțurile sudate sunt alcătuite dintr-o succesiune de elemente identice numite zale, confecționate din bare de oțel rotund, îndoite și sudate cap la cap pe zona rectilinie a zalei (fig. 2.2.a.). Dimensiunile caracteristice ale lanțului sunt diametrul zalei d , lățimea zalei b și pasul lanțului p . În unele construcții se folosește lanțul asamblat prin nituri (fig. 2.2.b.)

Clasificarea lanțurilor sudate se poate face după mărimea abaterilor de fabricație și după mărimea relativă a pasului. După primul criteriu deosebim:

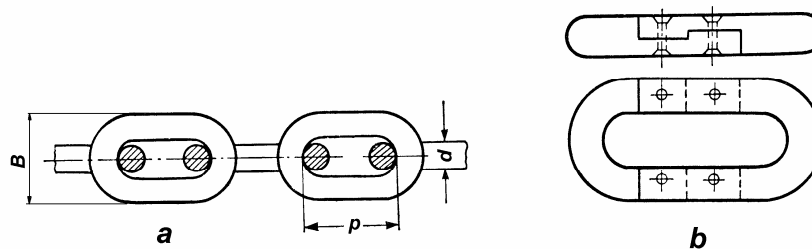


Fig. 2.2. Construcția lanțului: a- sudat; b- nituit

► lanțuri necalibrate, la care abaterile pasului și lățimii zalei față de valorile nominale sunt de $\pm 10\%$;

► lanțuri calibrate, la care abaterile pasului și lățimii zalei față de valorile nominale sunt de $\pm 3\%$ pentru pasul zalei și de $\pm 5\%$ pentru lățime.

În funcție de cel de-al doilea criteriu de clasificare se disting:

- lanțuri cu zale scurte, la care $p = (2,5 \dots 3)d$;
- lanțuri cu zale lungi, la care $p = 3,5 \cdot d$.

Calculul unui lanț sudat folosit ca organ flexibil pentru ridicare constă în determinarea diametrului din condiția de rezistență:

$$\sigma = \frac{F}{2 \frac{\pi d^2}{4}} \leq \sigma_a \quad (2.2.)$$

în care σ este efortul unitar efectiv din zala lanțului, N/mm^2 ;

F – forța de tracțiune din lanț, N ;

d – diametrul lanțului, mm ;

σ_a – rezistența admisibilă la tracțiune a materialului din care este confecționat lanțul, N/mm^2 .

2.1.3. Lanțuri cu eclise și bolțuri (lanțuri Galle)

Lanțurile cu eclise și bolțuri, în funcție de mărimea relativă a pasului, se pot clasifica astfel:

- lanțuri cu zale scurte (lanț Galle construcție grea):
 - tip I, pentru transmisii;
 - tip II, pentru tracțiune fără bolțuri de prindere;
 - tip III, pentru tracțiune cu unul sau mai multe bolțuri de prindere;

- lanțuri cu zale lungi (lanț Galle construcție ușoară).

Eclisele pot fi plate (fig. 2.3.a.) sau profilate (fig. 2.3.b.), iar bolțurile de prindere și de legătură au prevăzute la capete șaibe și cuie spintecate pentru asigurare. În funcție de sarcina de ridicat, lanțul poate avea un număr de până la 12 eclise pe un bolț.

Ca urmare a vitezei de lucru reduse (nu trebuie să depășească $0,25 \text{ m/sec}$), a greutateii proprii mari, lipsa flexibilității în planul axelor bolțurilor care, la o eventuală încovoiere poate duce la distrugere, lanțurile cu eclise și bolțuri au o utilizare restrânsă.

Calculul lanțului presupune dimensionarea elementelor caracteristice, eclise și bolțuri, din condiția de rezistență. Fiind greoi și imprecis, acest calcul s-a înlocuit cu calculul valorii necesare a sarcinii de rupere a lanțului, pe baza căreia se face alegerea lui din STAS (în standard este precizată valoarea sarcinii minime de rupere pentru fiecare tip de lanț):

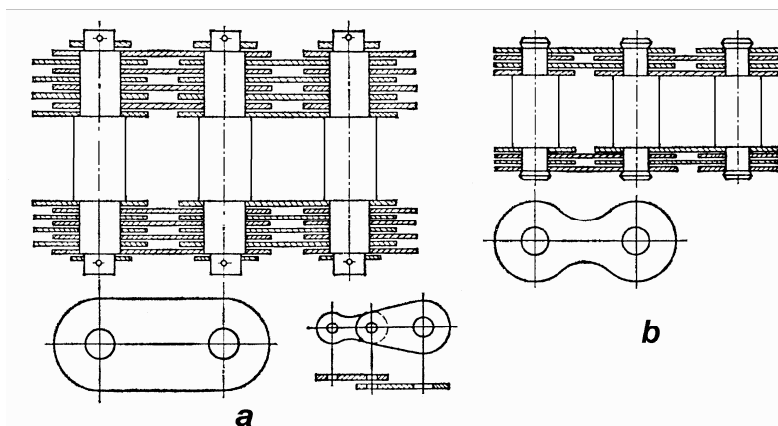


Fig. 2.3. Construcția lanțurilor cu eclise și bolțuri

$$F_r = c \cdot F \quad (2.3.)$$

în care F este forța de tracțiune care acționează asupra lanțului, în N;
 c - coeficient de siguranță la tracțiune ($c = 5 \dots 10$).

2.1.4. Cabluri din oțel

Sunt confecționate prin împletirea unor sârme trase din oțel carbon cu conținut mediu în carbon.

De regulă, sârmele de oțel sunt înfășurate în jurul unei inimi, confecționată din diferite materiale în funcție de condițiile de exploatare.

Toronul (fig. 2.4.) este elementul component al cablului constituit prin împletirea unor sârme de oțel cu diametrul cuprins între 0,5-6 mm.

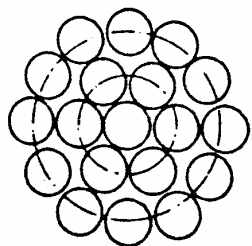


Fig. 2.4. Secțiune printr-un toron

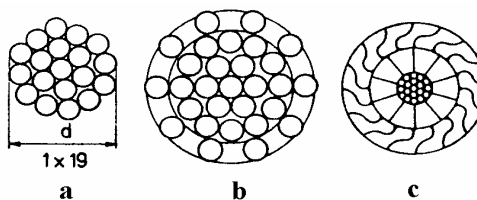


Fig. 2.5. Secțiune prin cabluri simple: a- deschis; b- semiînchis; c- închis.

În funcție de numărul înfășurărilor în elice a sârmelor, cablurile din oțel se pot grupa după cum urmează:

- *cabluri simple* (fig. 2.5.), formate după regula $1+6=7$ (un fir central în jurul căruia sunt înfășurate un strat de 6 sârme de același diametru cu firul central), $1+6+12=19$ (în jurul unui fir central sunt înfășurate două rânduri de sârme în sensuri diferite, toate având același diametru), $1+6+12+18=37$, $1+6+12+18+20=61$; denumirea lor vine de la faptul că fiecare sârmă este înfășurată o singură dată în jurul axului cablului;

- *cabluri duble* (fig. 2.6.), alcătuite, de regulă, din șase cabluri simple (toroane) înfășurate în jurul unei inimi; denumirea este dată de faptul că în afara sârmelor centrale ale toroanelor, toate celelalte sârme componente sunt de două ori înfășurate în elice, odată în jurul axei toronului, iar a doua oară împreună cu toronul în jurul axei cablului; după destinație cablurile duble pot fi: compuse de construcție normală, compuse flexibile, de construcție combinată, de construcție concentrică;

● *cabluri triple* (fig. 2.7.), alcătuite, de regulă din șase cabluri duble, înfășurate în jurul unei inimi; în afara sârmelor centrale ale toroanelor cablurilor duble componente, toate celelalte sârme sunt înfășurate de trei ori în elice.

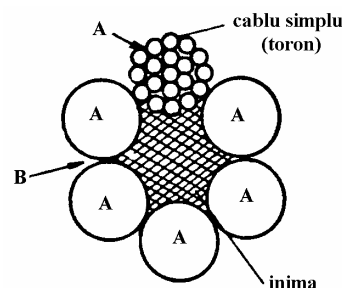


Fig. 2.6. Cablu dublu compus de de construcție normală

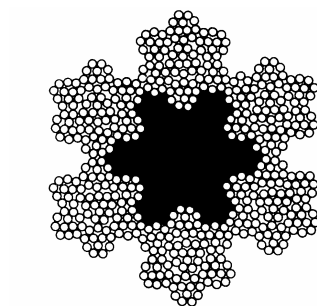


Fig. 2.7. Secțiune transversală printr-un cablu triplu

În construcția mașinilor de ridicat sunt utilizate aproape exclusiv cablurile duble, astfel că ele vor fi prezentate în cele ce urmează.

Clasificarea cablurilor duble se poate face după mai multe criterii, dintre care unele standardizate:

- după forma secțiunii transversale:
 - cabluri rotunde, sunt cablurile a căror secțiune transversală poate fi circumscrisă unui cerc;
 - cabluri plate (fig. 2.8.), la care secțiunea este de formă dreptunghiulară, constituită din mai multe cabluri așezate în același plan și cusute împreună;
- după forma secțiunii transversale:
 - cu toron rotund (fig. 2.9.a);
 - cu toron triunghiular (fig. 2.9.b);
 - cu toron oval (fig. 2.9.c);
- după materialul inimei cablului:
 - cu inimă vegetală (fibre de cânepă);
 - cu inimă sintetică (fibre sintetice);
 - cu inimă metalică (sârme din oțel);
 - cu inimă minerală (azbest);
- după numărul straturilor de toroane:
 - cabluri normale, cu un singur strat de toroane;
 - cabluri concentrice, cu două sau mai multe straturi de toroane.

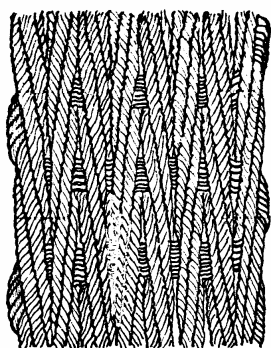


Fig. 2.8. Cablu plat

- după numărul straturilor de sârme dintr-un toron, pot fi cu 1, 2, 3 și 4 straturi;
- după felul contactului între sârmele unui toron:
 - cabluri obișnuite, când sârmele au toate același diametru, iar cele dintr-un strat al unui toron sunt tangente atât între ele, cât și cilindrului circumscris stratului precedent interior, realizând un contact punctiform și un pas de înfășurare mai mare decât în stratul interior;
 - cabluri de tip compound, la care toroanele sunt alcătuite din sârme cu diametre diferite, astfel încât să se obțină același pas pentru sârmele din două straturi alăturate ale unui toron, caz în care se obține un contact liniar între ele; în figura 2.10 sunt prezentate construcțiile cablurilor duble compound de tip Seale, Warrington și Filler;

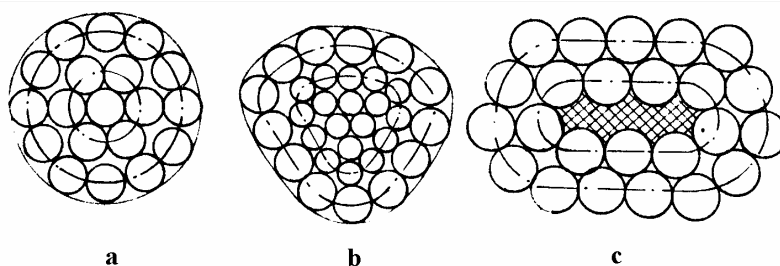


Fig. 2.9. Tipuri de toroane

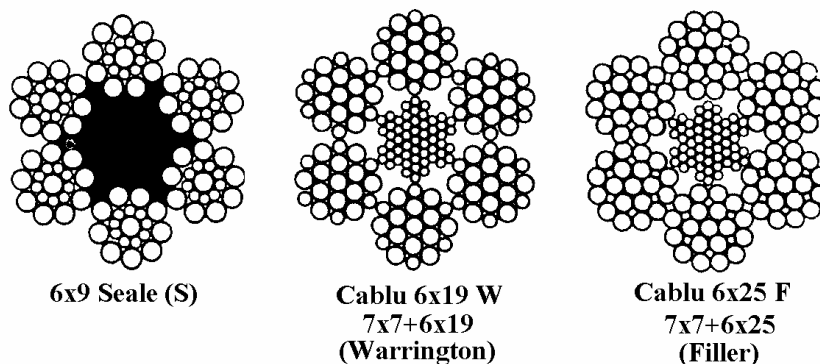
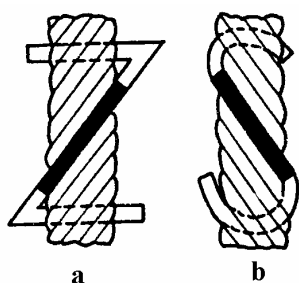


Fig. 2.10. Cabluri duble compuse de construcție combinată

- după felul acoperirii suprafeței sârmelor:
 - sârmă mată; rezultată în urma procesului de tragere;
 - sârmă zincată; suprafața acoperită cu un strat de zinc;
 - sârmă cositorită; suprafața acoperită cu un strat de cositor;
- după sensul de înfășurare sau cablare a sârmelor și toroanelor;
 - cabluri sau toroane dreapta, respectiv înfășurare Z (fig. 2.11.a);
 - cabluri sau toroane stânga, respectiv înfășurare S (fig. 2.11.b);
- după poziția reciprocă a sensului de înfășurare a cablului și a toronului:
 - cabluri cu înfășurare paralelă dreapta sau stânga, la care sensul de înfășurare a sârmelor din toron este același ca și sensul de cablare a toroanelor;
 - cabluri cu înfășurare în cruce dreapta sau stânga, la care sensul de înfășurare a sârmelor este invers sensului de înfășurare a toroanelor;
 - cabluri cu înfășurare mixtă, la care sensul de cablare a unui toron este invers sensului de cablare al sârmelor toroanelor alăturate;
- după valoarea rezistenței la rupere a sârmei:
 - cabluri de calitate I-a ($\sigma_r = 1200 \text{ N/mm}^2$);
 - cabluri de calitate II-a ($\sigma_r = 1400 \text{ N/mm}^2$);
 - cabluri de calitate III-a ($\sigma_r = 1800 \text{ N/mm}^2$);



de:

- la cablurile simple: $d = 0,2-5,1 \text{ mm}$, pentru diametrul cablului de $1,0 - 45 \text{ mm}$;
- la cablurile duble și triple: $d = 0,2-4,2 \text{ mm}$, pentru diametrul cablului de $2 - 68 \text{ mm}$.

Fig. 2.11. Sensuri de cablare

În general, se preferă utilizarea cablurilor normale de tip compound, cu forma secțiunii transversale rotundă, cu sârmă mată (zincată doar pentru lucrul în medii corozive), de calitate a III-a, cu înfășurare mixtă.

Pentru calculul cablurilor din oțel sunt considerate ca elemente principale următoarele:

- diametrul D_c , care este diametrul cercului circumscris secțiunii transversale prin cablu;
- pasul de cablare p_c , este distanța măsurată paralel cu axa cablului între două puncte consecutive în care un toron întâlnește aceiași generatoare a cilindrului corespunzător ($p_c = K_c \cdot D_c$, unde K_c este un coeficient de multiplicare la cablare);
- unghiul de cablare α_c , este unghiul dintre axa cablului și tangenta la elice.

În timpul lucrului cablurile sunt supuse la solicitări complexe de întindere, compresiune locală, încovoiere, răsucire și oboseală. Pentru simplificarea calculului, dimensionarea se face în funcție de sarcina sau forța de rupere, iar verificările se fac la solicitare compusă (tracțiune-încovoiere) și la durabilitate.

Forța de rupere a cablului din oțel se determină cu relația:

$$F_r = F \cdot c, \text{ în N} \quad (2.4.)$$

unde F este forța de tracțiune din ramura cablului;

c – coeficient de siguranță la tracțiune.

În baza acestei relații se alege din STAS-ul corespunzător diametrul cablului. Deoarece în realitate sârmele cablului nu sunt solicitate doar la tracțiune, sarcina de rupere efectivă F_r^e trebuie să fie mai mică decât cea teoretică F_r^t ($F_r^t = \frac{F_r^e}{0.88} = \frac{F \cdot c}{0.88}$).

Verificarea la solicitare compusă constă în limitarea efortului unitar maxim ce apare în sârmele cablului, la valoarea rezistenței admisibile a oțelului din care este confecționată sârma, determinând valoarea necesară a ariei secțiunii transversale a cablului, pe baza căreia se realege eventual cablul:

$$\sigma_{tot} = \sigma_t + \sigma_i \leq \sigma_a = \frac{\sigma_r}{c}, \text{ în N/mm}^2 \quad (2.5.)$$

unde σ_t este efortul unitar produs de solicitarea la tracțiune;

σ_i – efortul unitar produs de solicitarea la încovoiere;

σ_a – rezistența admisibilă a materialului sârmelor;

σ_r – rezistența la rupere a sârmelor;

c – coeficient de siguranță ($c = 3,5-4,5$).

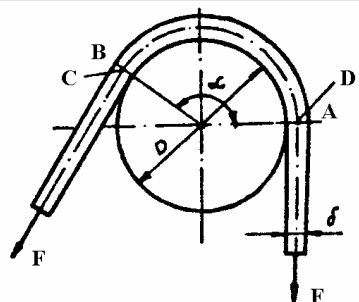
În ipoteza distribuirii uniforme a forței de tracțiune pe secțiunea transversală a cablului, efortul unitar la tracțiune este:

$$\sigma_t = \frac{F}{A} \quad (2.6.)$$

unde A este aria secțiunii transversale a cablului, în mm^2 .

Pentru determinarea efortului unitar la încovoiere se consideră o sârmă izolată, înfășurată pe un organ de ghidare sau de acționare (fig. 2.12.). Lungimea fibrei exterioare AB este:

$$l' = \left(\frac{D}{2} + \delta \right) \alpha \quad (2.7.)$$



în care D este diametrul organului de ghidare;

δ – diametrul sârmei;

α – unghiul de înfășurare.

Lungimea înainte de încovoiere era:

$$l = \left(\frac{D}{2} + \frac{\delta}{2} \right) \alpha \quad (2.8.)$$

În aceste condiții alungirea sârmei este:

Fig. 2.12. Încovoierea cablului

$$\varepsilon = \frac{l' - l}{l} = \frac{\frac{\delta}{2}}{\frac{D}{2} + \frac{\delta}{2}} \cong \frac{\delta}{D} \quad (2.9.)$$

Pe baza legii lui Hooke efortul unitar corespunzător este:

$$\sigma_i = \varepsilon \cdot E = E \frac{\delta}{D} \quad (2.10.)$$

unde E este modulul de elasticitate al sârmei, în N/mm^2 .

Relația de mai sus se corectează cu coeficientul $\beta = 3/8$ care ține cont de faptul că încovoierea se poate face în același sens sau în sensuri diferite, pe diverse role. Se obține astfel:

$$\sigma_{tot} = \frac{F}{A} + \beta \cdot E \frac{\delta}{D} \leq \frac{\sigma_r}{c} \quad (2.11.)$$

de unde rezultă aria necesară:

$$A \geq \frac{F}{\frac{\sigma_r}{c} - \beta \cdot E \frac{\delta}{D}}, \text{ în } \text{mm}^2 \quad (2.12.)$$

Verificarea la durabilitate a cablurilor se face cu relația :

$$D_u = \frac{Z_r}{N} = \frac{\frac{c_0}{8,5 \cdot c_1 \cdot c_2 \cdot \sigma_t} - 1}{\frac{D}{d} - 8}, \text{ în ani} \quad (2.13.)$$

unde Z_r este numărul de îndoituri până la rupere, determinat experimental;

c_1 – coeficient ce ține cont de calitatea sârmei;

c_2 – coeficient ce ține cont de diametrul cablului;

N – numărul de îndoiri pe an al cablului, în funcție de schema de montaj și durata funcționării;

d – diametrul cablului, în mm.

Diametrul primitiv al organelor de ghidare și acționare se recomandă a fi:

$$D \geq k_1 \cdot k_2 \cdot d \quad (2.14.)$$

în care k_1 este un coeficient ce ține seama de tipul mașinii de ridicat;

k_2 – coeficient ce ține seama de construcția cablului.

Legarea cablurilor este o operație importantă și se face în funcție de utilizarea acestora:

● ochet matisat (fig. 2.13.a), unde partea liberă a cablului se solidarizează cu ochetul prin matisare;

● manșon turnat (fig. 2.13.b), unde capătul liber este despletit și înglobat într-o masă de plumb solidificat;

● manșon cu pană (fig. 2.13.c);

● cu cleme de fixare (fig. 2.13.d).

● cu dispozitive tip măsea (fig. 2.13.e).

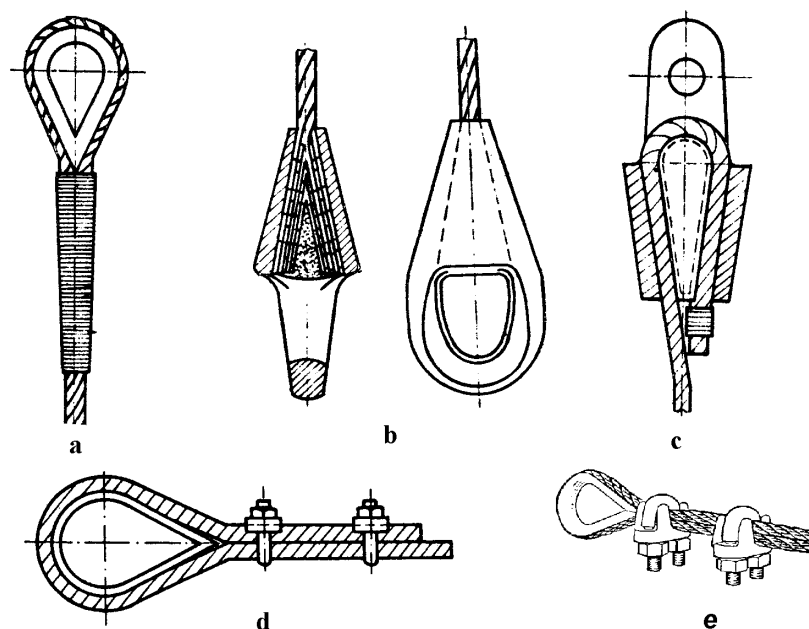


Fig. 2.13. Moduri de fixare a cablurilor

2.2. Organe pentru ghidarea și acționarea cablurilor și a lanțurilor

Organele de ghidare sunt concepute să servească drept reazeme ale organului flexibil, în acele puncte unde este necesar să se realizeze o modificare a traseului acestuia.

Organele de acționare a cablurilor și a lanțurilor sunt destinate transmiterii mișcării către organul flexibil de ridicare și sunt de tipul roți de acționare și tobe de acționare.

Organele pentru ghidare, după destinația lor, se împart în:

- role pentru cabluri de oțel, turnate sau construcție sudată;
- role cu locașuri pentru lanțuri sudate;
- roți de lanț pentru lanțuri cu eclise și bolțuri.

Rolele pentru cabluri se pot executa turnate din fontă cenușie și mai rar fontă maleabilă sau cu grafit nodular, sau se pot executa turnate din oțel, fiind mai avantajoase din punct de vedere al duratei de exploatare. Destul de des, utilizate sunt rolele realizate din construcții sudate (fig.2.14.) fiind mult mai ușoare și cu o structură de rezistență superioară

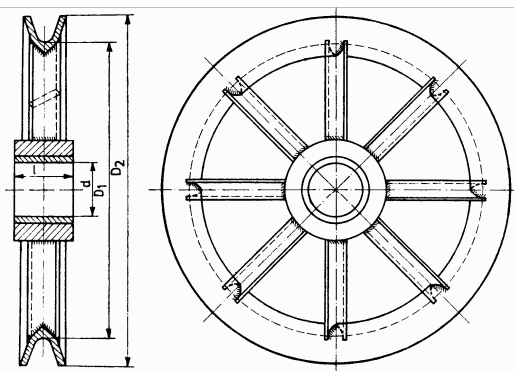


Fig. 2.14. Rolă de cablu sudată

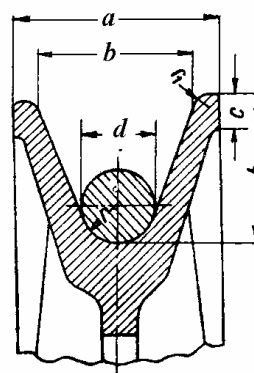


Fig. 2.15. Profilul rolei de cablu

În funcție de diametrul cablului din oțel se stabilesc elementele geometrice ale profilului rolei (tabelul 2.1.), iar cu relația (2.14.) diametrul primitiv al rolei.

Șanțul în care pătrunde cablul din oțel (fig. 2.15.) trebuie să realizeze o suprafață mare de contact cu cablul, să nu permită înțepenirea cablului pe rolă și să permită realizarea unor abateri mari ale ramurii sau ramurilor cablului față de planul rolei, fără atingerea bordurilor acesteia.

În majoritatea cazurilor, rolele de cablu se montează liber pe ax, ele fiind prevăzute cu bușe din fontă sau bronz, iar în condiții grele de ungere, sunt montate pe rulmenți.

Tabelul 2.1. Profilul rolelor pentru cabluri din oțel

Diametrul cablului d (mm)	Dimensiunile (mm)					
	a	b	c	h	r	r ₁
<9	28	20	6	15	5	3
9,2-5,5	40	30	7	25	8,5	4
16-18	50	35	9	28	10	5
18,5-21	55	40	10	30	12	5
21,5-23	60	45	10	33	13	5
24	65	50	10	37,5	14,5	5
25	70	55	10	37,5	14,5	5
26-27	75	60	10	40	15	5
28-30	80	65	12	45	17	6
31-33	85	65	13	50	18	6
33,5-36	90	70	15	55	20	7
37-38	105	85	17	60	23	8
39	110	85	18	65	25	9
40	115	85	18	65	25	9
42-44,5	120	90	18	65	25	9
46-48	125	95	20	68	28	10
50	130	100	22	70	30	11
52	135	100	22	75	30	11
56	140	110	24	80	32	12
60	145	120	26	85	35	13
65	150	130	28	85	38	14

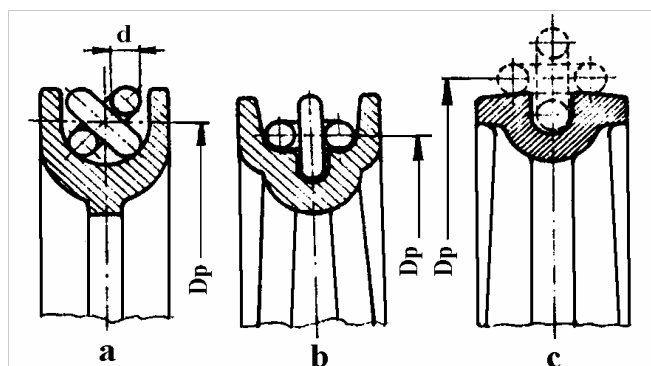


Fig. 2.16. Profilul rolei de lanț

Rolele pentru lanțuri sudate sunt realizate din fontă turnată, obada rolei fiind prevăzută cu borduri bilaterale (fig. 2.16.a și b), respectiv cu înclinări bilaterale (fig. 2.16.c). Dimensiunea principală este diametrul primitiv D_p , a cărui valoare depinde de modul cum se așează zalele lanțului pe rolă.

Montajul rolelor se poate face pe lagăre cu alunecare sau pe rulmenți, cu rotirea inelului interior sau exterior al acestora.

Dacă se neglijează toate rezistențele ce se opun rotirii rolei, atunci forța din ramura care se înfășoară pe rolă este egală cu forța din ramura care se desfășoară de pe rolă. Cum însă mișcarea rolei este însoțită de frecare în lagărul acesteia, atunci forța de tracțiune este mai mare decât cea teoretică (fig. 2.17.a.).

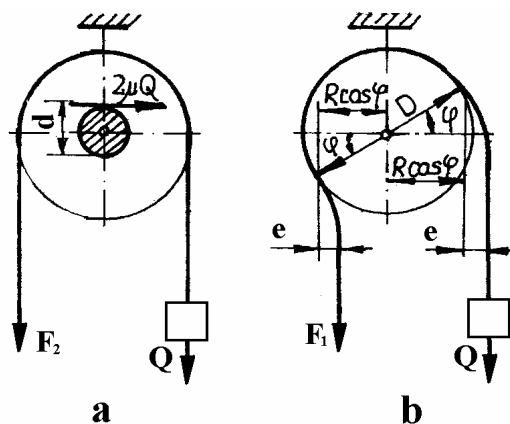


Fig. 2.17. Schema de calcul a forței de acțiune a rolei

a aceasta se mai adaugă și rezistența la deformare a cablului pe rolă (fig. 2.17.b.) în punctele de înfășurare și desfășurare, ca efect al rigidității organului flexibil.

Calculul rolelor constă în determinarea forței de acționare F și a randamentului η :

- calculul mecanic al rolei fixe evidențiază pierderile datorită rigidității organului flexibil și montajului, rezultând:

$$F = F_1 + F_2 = Q \left(1 + 2 \frac{e}{R \cos \varphi} + \mu Q \frac{d}{R} \right) = Q \varepsilon \quad (2.15.)$$

unde Q este sarcina de ridicat;

R – raza rolei;

e – abaterea cablului la desprindere;

φ – unghiul de abatere;

μ – coeficient de frecare la montajul rolei;

d – diametrul axului;

ε – coeficientul de pierdere și are valori de 1,04-1,05 la montajul pe lagăre cu alunecare, respectiv de 1,01-1,02 la montajul pe rulmenți.

Randamentul rolei fixe va fi:

$$\eta = \frac{1}{\varepsilon} \quad (2.16.)$$

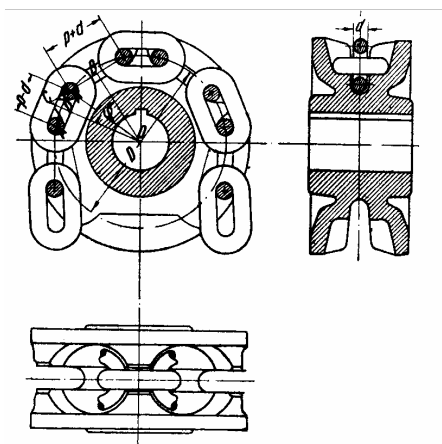
- calculul mecanic al rolei mobile duce la obținerea unor expresii ale forței și randamentului de forma:

a. pentru rola amplificatoare de forță:

$$\begin{cases} F = \frac{Q}{1 + \varepsilon} \\ \eta = \frac{\varepsilon + 1}{2} \end{cases} \quad (2.17.)$$

b. pentru rola amplificatoare de spațiu:

$$\begin{cases} F = (1 + \varepsilon)Q \\ \eta = \frac{2}{1 + \varepsilon} \end{cases} \quad (2.18.)$$



Organele pentru acționare a lanțurilor sudate sunt de tipul roților cu locașuri și se execută prin turnare din fontă sau oțel. Obada este prevăzută cu locașuri z ($z_{min} = 5$) în care se așează zalele culcate ale lanțului, realizând astfel solidarizarea prin angrenare între lanț și roată (fig. 2.18.).

Într-o ramură a lanțului ce înfășoară roata cu 180° lucrează forța de rezistență F_1 , în timp ce cealaltă ramură atârână liber.

Valoarea teoretică a momentului de torsiune transmis roții cu locașuri este:

Fig. 2.18. Roată cu locașuri

$$M_0 = F_1 \frac{D}{2} \quad (2.19.)$$

unde D este diametrul primitiv al roții.

În realitate, datorită deformării lanțului în punctul de înfășurare pe roată și a frecării din lagărul roții, momentul rezistent ce trebuie învins este:

$$M_r = F_1 \frac{D L}{2 \eta} > M_0 \quad (2.20.)$$

L fiind lungimea lanțului care se înfășoară;

η – randamentul roții (are valori de 0,92-0,93).

Dimensionarea roții cu locașuri se referă la stabilirea diametrului primitiv și care depinde de pasul lanțului p , diametrul zalei d și de numărul de locașuri z :

$$D = \sqrt{\left(\frac{p}{\sin \frac{90^\circ}{z}} \right)^2 + \left(\frac{d}{\cos \frac{90^\circ}{z}} \right)^2} \quad (2.21.)$$

Pentru $z > 9$ și $d < 16$, termenul al doilea din relația de mai sus se poate neglija și se obține expresia:

$$D \cong \frac{p}{\sin \frac{90^\circ}{z}} \quad (2.22.)$$

Pentru acționarea lanțurilor cu eclise și bolțuri se folosesc roți dințate, elementele geometrice și calculele fiind detaliate la capitolul aferent disciplinei de organe de mașini.

Tobe folosite la antrenarea cablurilor din oțel sunt executate din fontă, oțel laminat sau turnat și se pot clasifica după mai multe criterii, astfel:

- după profilul secțiunii longitudinale:
 - tobe cilindrice;
 - tobe conice;
 - tobe profilate;
- după geometria suprafeței:
 - tobe netede;
 - tobe canelate (simple sau duble);

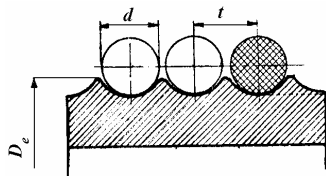


Fig. 2.19. Profilul suprafeței tobei

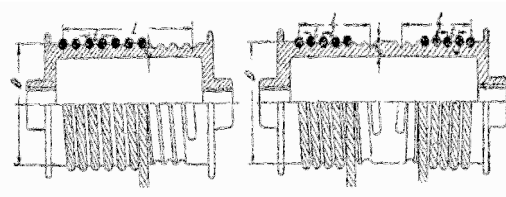


Fig. 2.20. Tobă canelată simplă și dublă

- după felul solidarizării organului flexibil pe tobă:
 - tobe cu fixare;
 - tobe cu frecare.

Tobe cu suprafața netedă sunt folosite la mecanisme de ridicat simple și cu valori mici ale sarcinii (forței de tracțiune din cablu). Tobe cu suprafața exterioră canelată (fig. 2.19.) au prevăzute un canal elicoidal pe care se înfășoară cablul, într-unul sau mai multe straturi.

Pentru echipamentele de ridicat se utilizează tobe cu suprafață canelată de tipul simple sau duble (fig. 2.20.).

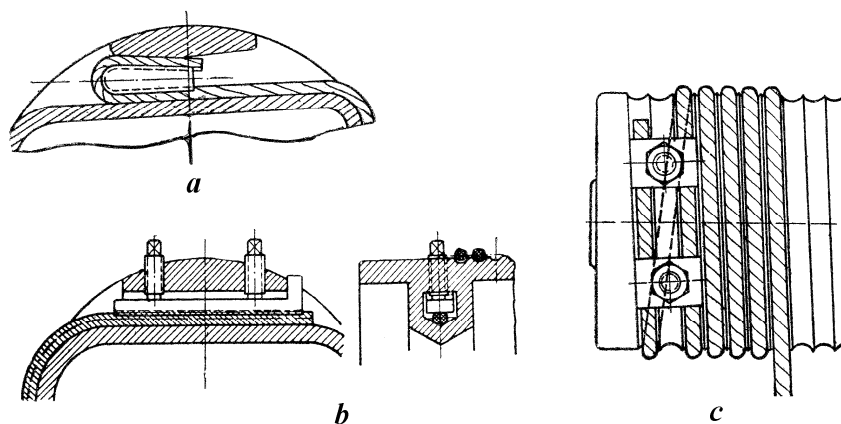


Fig. 2.21. Tipul solidarizării organului flexibil pe tobă: a- cu pană înclinată; b- cu pană paralelă și șuruburi; c- cu plăcuțe de fixare

Fixarea capătului cablului din oțel pe tobă trebuie să nu permită desprinderea lui, chiar dacă s-au desfășurat de pe tobă și spirele de rezervă. De asemenea, în punctul de fixare nu trebuie să apară solicitări exagerate menite să producă deteriorarea cablului, iar schimbarea lui să se poată face ușor și rapid. Cele mai frecvente moduri de fixare a cablului pe tobă sunt prezentate în figura 2.21.

Tobele cu frecare (fig. 2.22.) sunt folosite în unele cazuri la acționarea cablurilor din oțel, mișcarea fiind transmisă prin frecarea organului flexibil de tobă .

Principalele elemente geometrice ale tobelor sunt diametrul (care se determină la fel ca la rolele de ghidare) și lungimea de lucru pe care se înfășoară cablul într-un singur strat, cu relația:

$$L = K \left(\frac{l}{\pi D} + n_r \right) t, \text{ în mm} \quad (2.23.)$$

unde K este un coeficient ce ține seama de felul tobei ($K = 1$ pentru tobe simple și $K = 2$ pentru tobe duble);

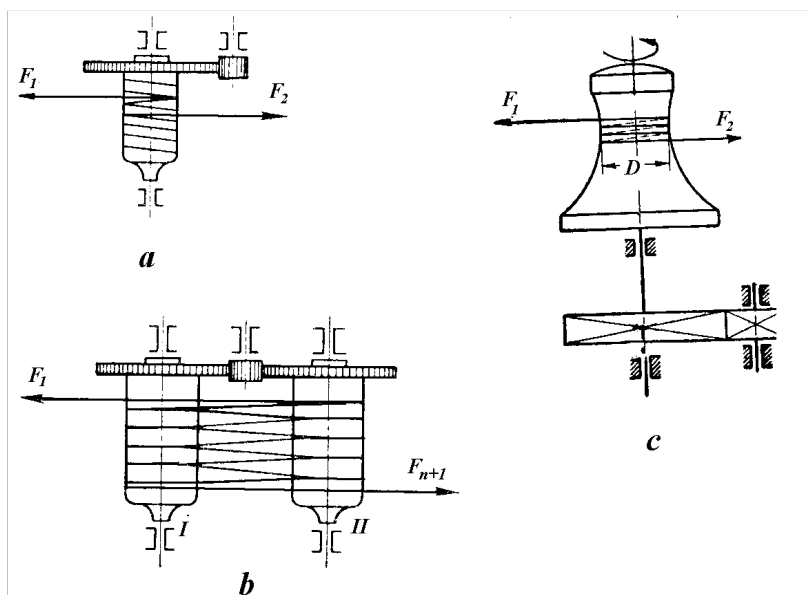


Fig. 2.22. Tobe cu frecare: a- cu o singură tobă; b- cu două tobe; c- cu tobă cu diametrul variabil.

l – lungimea de cablu ce trebuie înfășurată pe tobă (pentru tobe simple) sau pe o jumătate a tobei, în mm;

n_r – numărul înfășurărilor de rezervă ($n_r \geq 2$);

t – pasul șanțului elicoidal al tobei, în mm.

Lungimea de lucru a tobelor cu înfășurarea cablului în mai multe straturi se determină cu relația:

$$L = \frac{l}{\pi[D + (z-l)d]z} \cdot \frac{d}{0,9} \quad (2.24.)$$

în care z este numărul straturilor;

d – diametrul cablului, în mm

Valoarea teoretică a momentului de torsiune transmis de toba cu fixare (fig. 2.20.) este:

$$M_0 = F_1 \frac{D}{2} \quad (2.25.)$$

unde F_1 este forța de tracțiune din organul flexibil;

D – diametrul primitiv al tobei.

Ca urmare a deformării organului flexibil la înfășurarea pe tobă, dar și a frecărilor din lagăre, momentul rezistent ce trebuie învins este $M_r > M_0$ și anume:

$$M_r = F_1 \frac{D}{2} \frac{1}{\eta} \quad (2.26.)$$

unde η este randamentul tobei ($\eta = 0,95 \dots 0,98$).

La tobele cu frecare mișcarea se transmite la organul flexibil prin frecarea dintre tobă și cele câteva spire înfășurate pe ea. Când toba se rotește, o ramură a organului flexibil se înfășoară iar cealaltă se desfășoară, numărul de spire aflate în contact cu toba fiind constant. Momentul de torsiune va fi:

$$M_0 = (F_1 - F_2) \frac{D}{2} < M_r = (F_1 - F_2) \frac{D}{2} \frac{1}{\eta} \quad (2.27.)$$

unde F_1 și F_2 sunt forțele din cele două ramuri.

Numărul n de spire necesar a fi înfășurat pe tobă se determină din relația lui Euler:

$$F_1 \leq F_2 \cdot e^{\mu\alpha} \quad (2.28.)$$

în care μ este coeficientul de frecare dintre cablu și tobă;

α – unghiul de înfășurare a organului flexibil pe tobă ($\alpha = 2\pi n$).

Înlocuind în relația de mai sus și prin logaritmare se obține:

$$n \geq \frac{1}{2 \cdot \pi \cdot \mu} \ln \frac{F_1}{F_2} \quad (2.29.)$$

Lungimea activă a tobelor netede se determină cu relația:

$$L_a = \frac{1}{\varphi} (n - n_0) p \quad (2.30.)$$

în care φ este un coeficient ce ține seama de spațiul dintre spire ca urmare a înfășurării neuniforme ($\varphi = 0,9$);

n_0 – numărul spirelor de rezervă ($n_0 = 2$);

p – pasul înfășurării.

În cazul tobelor canelate, lungimea activă se determină cu relațiile:

- pentru toba simplă:

$$L_a = \left[\frac{H \cdot i_p}{\pi(D + d)} + n_1 + n_2 \right] p \quad (2.31.)$$

- pentru toba dublă:

$$L_a = \left[\frac{2H \cdot i_p}{\pi(D + d)} + n_1 + n_2 \right] p + l_3 \quad (2.32.)$$

unde H este înălțimea de ridicare;

i_p – raportul de transmitere prin cablu;

n_1 – numărul de spire de siguranță ($n_1 \geq 2$);

n_2 – numărul spirelor necesare pentru prinderea cablului pe tobă ($n_2 = 2 \dots 4$);

l_3 – lungimea părții din mijloc necanelate.

Palanele factoriale sunt dispozitive de transmisie, cu utilizare specifică mașinilor de ridicat, formate dintr-un ansamblu de role înfășurate

de un același organ flexibil, care realizează de obicei o multiplicare a forței organului de acționare, prin repartizarea sarcinii de ridicat pe mai multe ramuri ale organului flexibil, în timp ce forța dezvoltată de organul de acționare este aplicată pe o singură ramură (fig. 2.23.), palane factoriale simple, sau pe două ramuri (fig. 2.24.), palane factoriale gemene, ale organului flexibil.

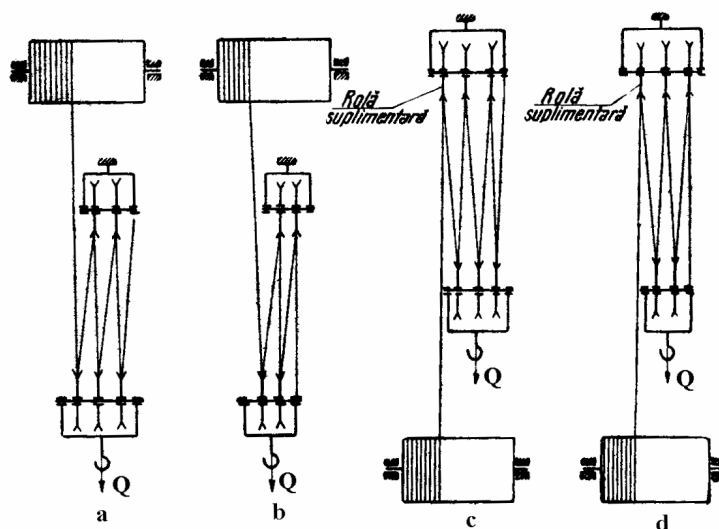


Fig. 2.23. Scheme de palane simple

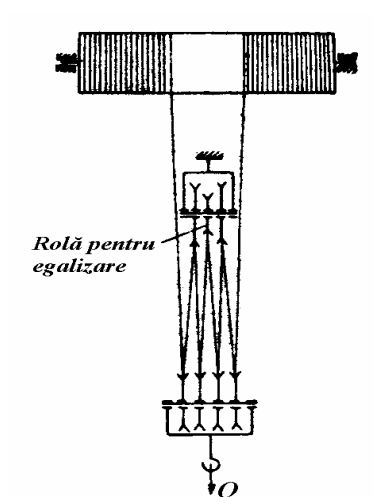
Un palan simplu este format dintr-un carcasă de care se agață sarcina (mufla liberă) și un organ flexibil care înfășoară succesiv rolele, având un capăt fixat, de exemplu la o tobă simplă montată sus (fig. 2.23.a și b) sau jos (fig. 2.23.c și d) și al doilea capăt fixat fie la mufla fixă (fig. 2.23.a și c) fie la mufla liberă (fig. 2.23.b și d).

Un palan gemen poate fi considerat ca provenind din unirea a două palane simple (fig. 2.24.), iar pentru a egaliza diferențele de alungiri ale ramurilor

organului flexibil se folosește o rolă de egalizare.

Palanele gemene au avantajul că permit, prin construcția lor, ridicarea sarcinii perfect pe verticală, tobele de acționare fiind amplasate numai la partea superioară.

Caracteristica principală a unui palan simplu sau gemen este numărul ramurilor portante, a cărui alegere se face în funcție de mărimea sarcinii ce trebuie ridicată.



Palanele factoriale au scopul de a multiplica forța dezvoltată de organul de acționare al unui mecanism de ridicare. În

conformitate cu legea conservării energiei, viteza de ridicare a sarcinii este corespunzător mai mică decât viteza ramurii de acționare. Palanele pentru multiplicarea forței de acționare se numesc palane cu acțiune liberă, iar cele pentru multiplicarea vitezei cu acțiune inversă.

Fig. 2.24. Palan gemen

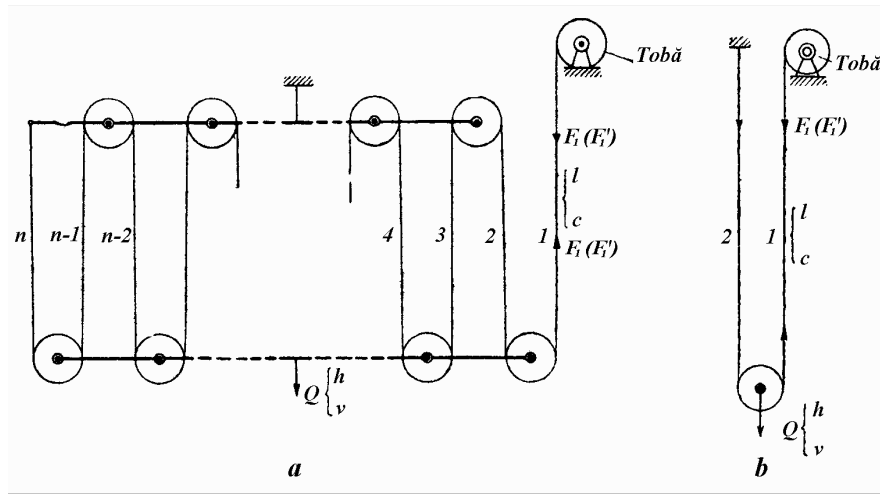


Fig. 2.25. Schema desfășurată a unui palan simplu

Pentru calculul palanelor simple se consideră schema desfășurată și generalizată a unui palan cu „n” ramuri portante din figura 2.25.

Se numește raport de transmitere raportul dintre greutatea sarcinii de ridicat Q și forța din ramura de acționare $(F_1)_0$, în ipoteza lipsei pierderilor prin frecare:

$$i_p = \frac{Q}{(F_1)_0} = \frac{Q}{\frac{Q}{n}} = n \quad (2.33.)$$

Prin urmare, raportul de transmitere al unui palan este egal cu numărul ramurilor portante ale acestuia.

Deoarece rotirea rolor este însoțită de pierderi prin frecare, forța din ramura de acționare are valori diferite, după cum se efectuează ridicarea sau coborârea sarcinii.

La ridicarea sarcinii, între forțele din ramurile portante ale palanului există relațiile:

$$\left\{ \begin{array}{l} F_1 = \frac{F_2}{\eta} \Rightarrow F_2 = F_1 \eta \\ F_2 = \frac{F_3}{\eta} \Rightarrow F_3 = F_2 \eta = F_1 \eta^2 \\ F_3 = \frac{F_4}{\eta} \Rightarrow F_4 = F_3 \eta = F_1 \eta^3 \\ \dots \\ F_{n-1} = \frac{F_n}{\eta} \Rightarrow F_n = F_{n-1} \eta = F_1 \eta^{n-1} \end{array} \right. \quad (2.34.)$$

unde η este randamentul unei role.

Deoarece $Q = F_1 + F_2 + \dots + F_n$, înlocuind cu relațiile de mai sus se obține:

$$Q = F_1 (1 + \eta + \eta^2 + \dots + \eta^{n-1}) \quad (2.35.)$$

de unde:

$$F_1 = \frac{1-\eta}{1-\eta^n} Q = \frac{1-\eta}{1-\eta^{i_p}} Q \quad (2.36.)$$

La coborârea sarcinii, între forțele din ramurile portante ale palanului există relațiile:

$$\left\{ \begin{array}{l} F_2' = \frac{F_1'}{\eta} \\ F_3' = \frac{F_2'}{\eta} = \frac{F_1'}{\eta^2} \\ F_4' = \frac{F_3'}{\eta} = \frac{F_1'}{\eta^3} \\ \dots\dots\dots \\ F_n' = \frac{F_{n-1}'}{\eta} = \frac{F_1'}{\eta^{n-1}} \end{array} \right. \quad (2.37.)$$

Deoarece $Q = F_1' + F_2' + \dots\dots\dots + F_n'$, înlocuind cu relațiile de mai sus se obține:

$$Q = F_1' (1 + \eta^{-1} + \eta^{-2} + \dots\dots\dots + \eta^{-(n-1)}) \quad (2.38.)$$

de unde rezultă:

$$F_1' = \eta^{n-1} \frac{1-\eta}{1-\eta^n} Q = \eta^{i_p-1} \frac{1-\eta}{1-\eta^{i_p}} Q \quad (2.39.)$$

Pe baza principiului conservării energiei se poate scrie:

$$(F_1)_0 l = Q \cdot h \quad (2.40.)$$

în care l este lungimea organului flexibil care se înfășoară sau se desfășoară;

h – înălțimea de ridicare a sarcinii.

Dacă se ține cont de relația (2.33.), se poate scrie:

$$l = i_p h \Leftrightarrow c = i_p v \quad (2.41.)$$

unde c este viteza de înfășurare sau desfășurare a cablului pe tobă;

v – viteza de ridicare sau coborâre a sarcinii.

Randamentul palanului la ridicare este dat de relația:

$$\eta_p = \frac{Q \cdot v}{F_1 \cdot c} = \frac{Q}{F_1} \frac{1}{i_p} = \frac{1}{i_p} \frac{1-\eta^{i_p}}{1-\eta} \quad (2.42.)$$

Randamentul palanului la coborâre este dat de relația:

$$\eta_p' = \frac{F_1' \cdot l}{Q \cdot h} = i_p \frac{1-\eta}{1-\eta^{i_p}} \eta^{i_p-1} \quad (2.43.)$$

În cazul palanului factorial simplu cu două ramuri portante ($n = 2$), cunoscut sub numele de scripete mobil, relațiile generale stabilite anterior au forma:

$$\left\{ \begin{array}{l} l = 2h \\ c = 2v \\ F_1 = \frac{1}{1-\eta} Q \\ F_1' = \frac{\eta}{1+\eta} Q \\ \eta_p = \frac{1+\eta}{2} \\ \eta_p' = \frac{\eta}{1+\eta} 2 \end{array} \right. \quad (2.44.)$$

Pentru calculul palanelor factoriale gemene se consideră schema desfășurată și generalizată din figura 2.26.

În acest caz raportul de transmitere, definit ca raportul dintre greutatea sarcinii de ridicat și suma forțelor din cele două ramuri de acționare, în ipoteza lipsei pierderilor prin frecare, este:

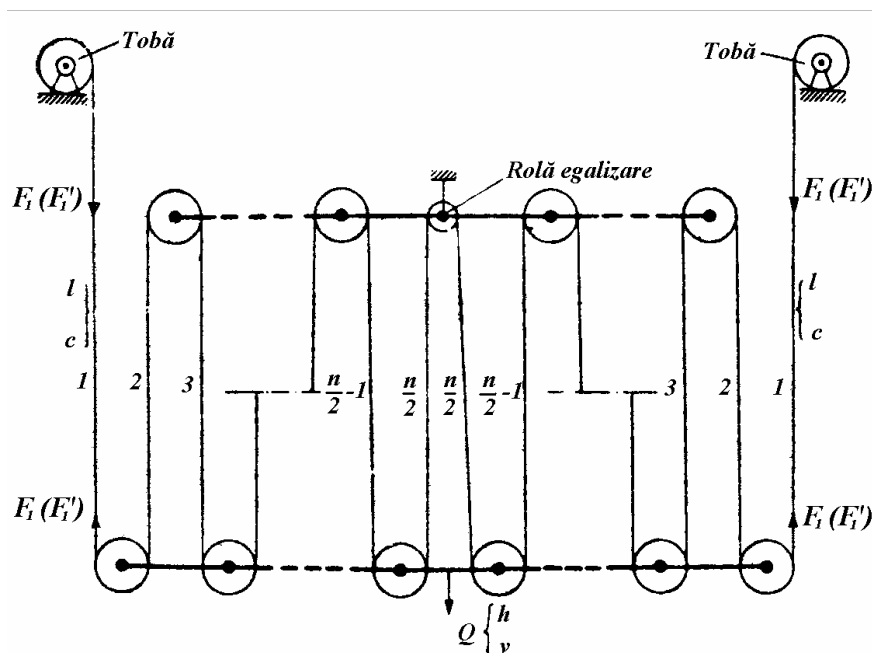
$$i_p = n/2 \quad (2.45.)$$


Fig. 2.26. Schema desfășurată a unui palan gemen

Printr-un raționament asemănător celui aplicat la palanul simplu se obțin pentru forțele din ramurile de acționare a palanului expresiile:

$$\begin{cases} F_1 = \frac{1-\eta}{1-\eta^{i_p}} \frac{Q}{2} = \frac{Q}{2 \cdot i_p} \frac{1}{\eta_p} \\ F_1' = \eta^{i_p-1} \frac{1-\eta}{1-\eta^{i_p}} \frac{Q}{2} = \frac{Q}{2 \cdot i_p} \eta_p' \end{cases} \quad (2.46.)$$

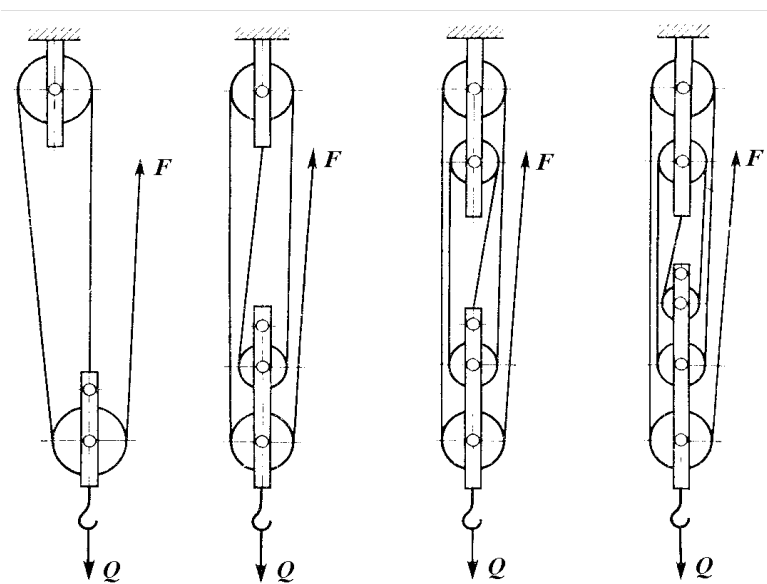


Fig. 2.27. Scheme de palane pentru demultiplicarea forței de acționare

Relațiile de calcul pentru cursa și viteza ramurilor de acționare, precum și relațiile pentru calculul randamentului palanului gemen au aceeași formă ca și în cazul palanelor simple.

Schema unor palane simple cu demultiplicarea forței de tracțiune sunt prezentate în figura 2.27. Aici forța de tracțiune va avea valoarea cea mai mică în prima ramură a cablului și valoarea cea mai mare în ramura $z+1$, z fiind numărul total de role ale palanului.

Câteva scheme cu palane duble folosite la macarale, în vederea demultiplicării forței de tracțiune, sunt prezentate în figura 2.28. Acestea au între patru și zece ramuri portante, sarcina de ridicat variind între 25 – 100 tone, iar randamentul palanului scade de la 0,94, în cazul palanului cu patru ramuri, la 0,87 la palanul cu zece ramuri.

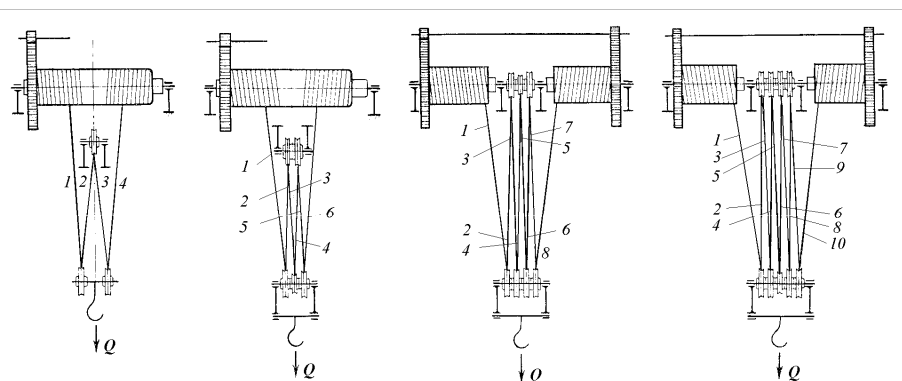
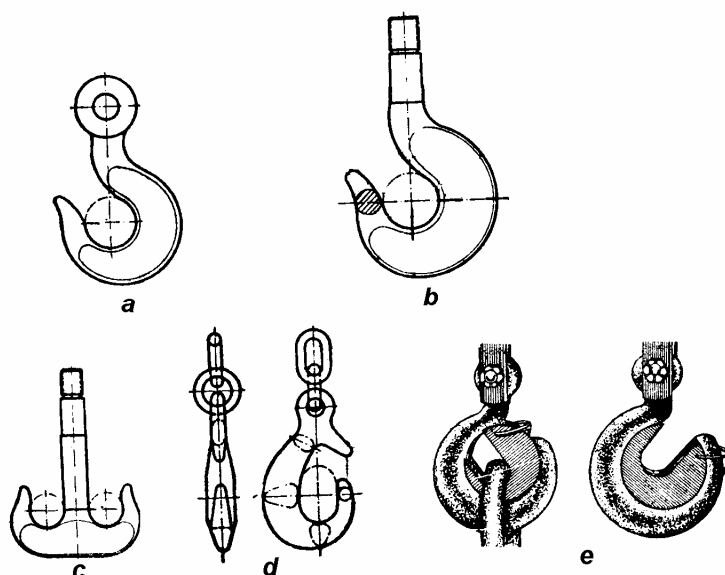


Fig. 2.28. Scheme de palane duble demultiplicatoare de forță

Palanele demultiplicatoare de viteză sunt folosite mai ales la ascensoarele hidraulice și pneumatice, în vederea obținerii unei deplasări mai rapide a sarcinii comparativ cu mișcarea lentă a pistonului de acționare.

2.3. Organe pentru suspendarea și apucarea sarcinilor

Sunt organe specifice mașinilor de ridicat și au rolul de a prinde sarcina în vederea manipulării ei, de regulă, sunt sub forma de cârlige (fig. 2.29.) și ochiuri (fig. 2.30.) care se solidarizează cu mufă liberă a palanului mecanismului de ridicare.



Deoarece forma sarcinilor nu permite, în general, atârănarea lor nemijlocită la cârlig, această operație se mai poate face prin intermediul unor organe auxiliare a căror construcție depinde de felul sarcinilor.

Fig. 2.29. Cârlige pentru suspendarea sarcinilor

Cârligele sunt executate prin forjare sau construite din plăci (folosite cu precădere în industria metalurgică). Constructiv ele pot fi cu ochi (fig. 2.29.a), cu tijă filetată (fig. 2.29.b), cârlig dublu cu tijă (fig. 2.29.c), cu cioc de deviere (fig. 2.29.d) pentru a evita agățarea de eventualele construcții din zona de lucru sau cu disc crestă ce împiedică căderea organului flexibil de tracțiune (fig. 2.29.e).

Ochiurile sunt folosite în locul cârligelor pentru ridicarea sarcinilor mari deoarece, în pofida exploatării mai incomode, prin construcția lor sunt mai avantajos solicitate decât acestea. Ochiurile se pot executa forjate dintr-o singură bucată (fig. 2.30.a), articulate (fig. 2.30.b) sau asamblate cu bolțuri (fig. 2.30.c).

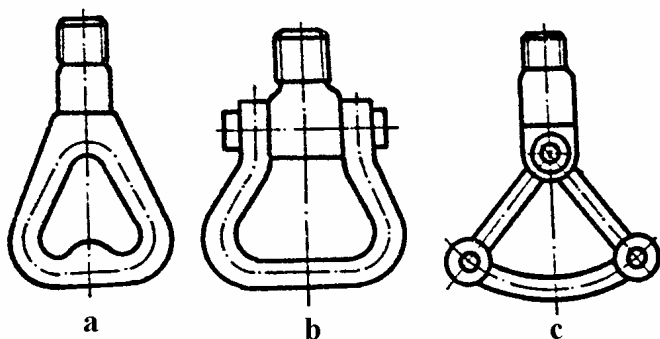


Fig. 2.30. Ochiuri pentru suspendarea sarcinilor

Calculul cârligelor nu este necesar deoarece ele sunt standardizate pe dimensiuni și capacități de ridicare, calculul fiind util doar atunci când se folosește un cârlig nestandardizat și doar la verificarea acestuia.

Tija filetată pentru cârligele simple și duble se verifică la tracțiune sub acțiunea greutatei sarcinii, ținând cont de faptul că eforturile unitare se concentrează datorită prezenței filetului.

Corpul cârligului simplu sau dublu este considerat ca o grindă cu axă curbă, caz în care efortul unitar dintr-o fibră oarecare a unei secțiuni este dat de relația:

$$\sigma = \frac{N}{A} + \frac{M}{\rho A} \left(1 + \frac{1}{K} \frac{y}{\rho + y} \right) \quad (2.47.)$$

în care N este forța normală din secțiune;

A – aria secțiunii considerate;

M – momentul încovoietor în secțiune;

ρ - raza de curbura în secțiunea considerată;

K – coeficientul de formă al secțiunii;

y – distanța unei fibre oarecare față de centrul de greutate al secțiunii.

Calculul ochiurilor presupune verificarea tijei filetate care, este asemănătoare ca în cazul cârligelor. Ochiurile rigide au mai multe metode de calcul, prin relații matematice aproximative, dar calculul exact (mai anevoios) este cel care dă precizie mai ridicată. La ochiurile articulate calculul privește forța din tiranții ochiului, solicitați la tracțiune:

$$F = \frac{Q}{2 \cos \alpha} \quad (2.48.)$$

unde α este jumătatea unghiului dintre tiranți.

Montarea cârligelor și a ochiurilor la ansamblul de role al palanului se realizează prin intermediul unor muflă. În funcție de complexitatea construcției, muflăle pot fi normale (fig. 2.31.a), scurtate (fig. 2.31.b) sau speciale.

Muflă normală are prevăzută o traversă de montare a cârligului, fixată pe doi tiranți laterali ce pot oscila în axul de montare a rolor de cablu. Muflă scurtată are traversa oscilantă și solidară cu axul rolor de cablu.

Organele flexibile de prindere sunt făcute din bucăți de lanțuri sudate, cabluri sau frânghii, ale căror capete sunt prevăzute cu cârlige, inele sau alte construcții speciale.

În figura 2.32. sunt prezentate lanțuri de prindere cu o singură ramură și cu două ramuri. Acestea au prevăzute la capete cârlige sau ochiuri, în funcție de caracteristicile sarcinii de ridicat.

Formele, dimensiunile și sarcinile utile pentru lanțurile de prindere din figura 2.32. sunt stabilite prin standarde.

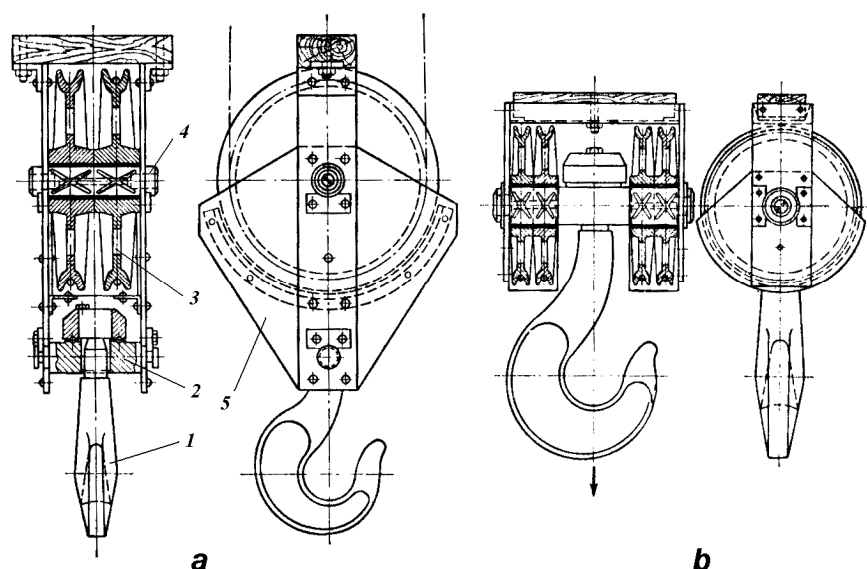


Fig. 2.31. Tipuri de mufle; a- normală; b- scurtată; 1- cârlig; 2- traversă; 3- rolă de cablu; 4- axul rolelor de cablu; 5- tirant.

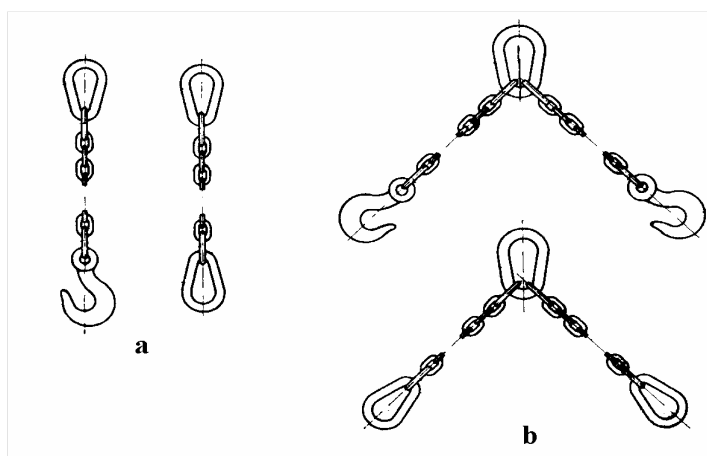


Fig. 2.32. Lanțuri de prindere: a- cu o singură ramură; b- cu două ramuri.

În figura 2.33. sunt prezentate cabluri de prindere cu o ramură (a), respectiv cu două ramuri (b)

Pentru calculul organelor flexibile de prindere este necesară o determinare prealabilă a forței de tracțiune din ramuri.

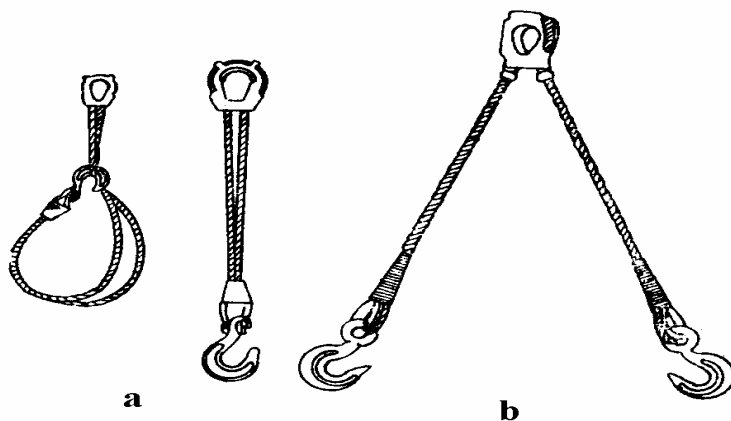


Fig. 2.33. Cabluri de prindere

În unele cazuri se folosesc pentru suspendarea sarcinilor traversele care, sunt de fapt grinzi metalice atârinate direct sau prin intermediul unui organ flexibil de prindere cu două ramuri,

la mecanismul de ridicare și pe care este suspendată sarcina de ridicat, fie cu ajutorul unor alte organe flexibile de prindere, fie cu ajutorul unor cârlige de diverse forme.

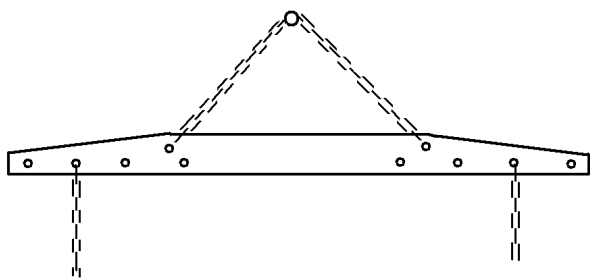


Fig. 2.34. Traversă de suspendare

Traversele (fig. 2.34.) se pot utiliza la suspendarea unor sarcini de lungimi mari sau la suspendarea de cârligul unui singur mecanism de ridicare a mai multor sarcini de același fel, în cazul în care greutatea fiecărei sarcini individuale este comparativ mai mică decât capacitatea mecanismului de ridicare, ori la ridicarea unor sarcini foarte mari, folosind două mecanisme de ridicare independente.

Tot pentru suspendarea sarcinilor se mai folosesc dispozitive cu încleștare, iar la materialele feroase se folosesc electromagneți.

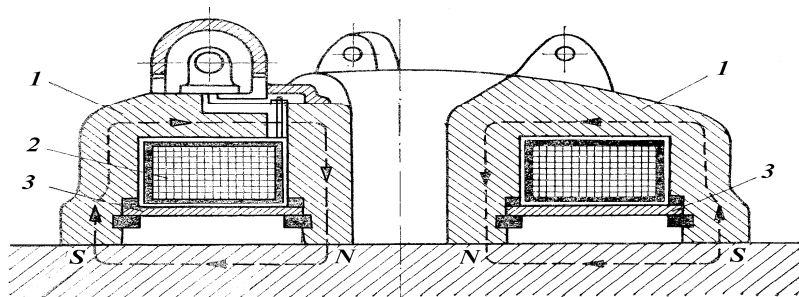


Fig. 2.35. Electromagnet de ridicare

Electromagnetul pentru ridicare (fig. 2.35.) este, de regulă, alcătuit dintr-o carcasă de oțel turnat cilindrică 1, cu proprietăți magnetice, în interiorul căreia se află bobina 2, sprijinită pe suportul nemagnetic 3. La alimentarea bobinei, fluxul magnetic se închide prin carcasa 1 și sarcina de ridicat, care este atrasă și lipită de partea inferioară a electromagnetului. Sarcina maximă de ridicare, în funcție de starea suprafeței materialului, poate ajunge până la 30 t.

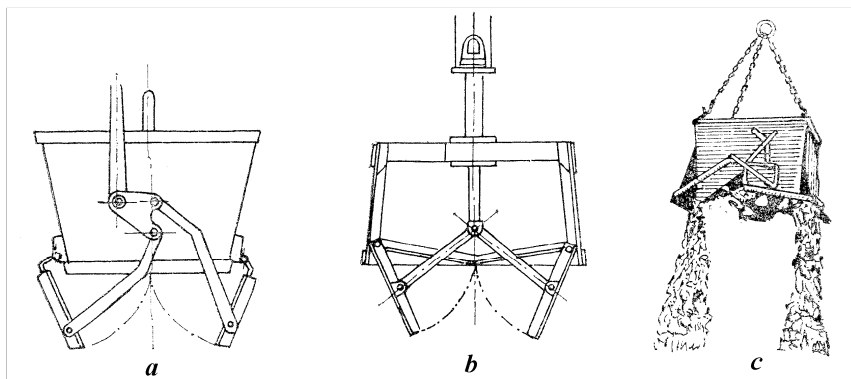


Fig. 2.36. Bene pentru materiale vrac: a,b- cu descărcare prin fund; c- cu descărcare laterală

Benele (fig. 2.36.) sunt vase de diferite forme destinate suspendării sarcinilor vărsate. Încărcarea benei se face manual sau prin scurgerea dintr-un buncăr, în timp ce golirea benei se face prin basculare sau deschiderea fundului (dacă este prevăzută cu fund rabatabil).

Tot pentru deplasarea sarcinilor vărsate se mai folosesc graiferele care, elimină complet munca manuală. Umplerea graifărelor se face prin apucarea sarcinii de către cupele acestora iar golirea prin deschiderea cupelor.

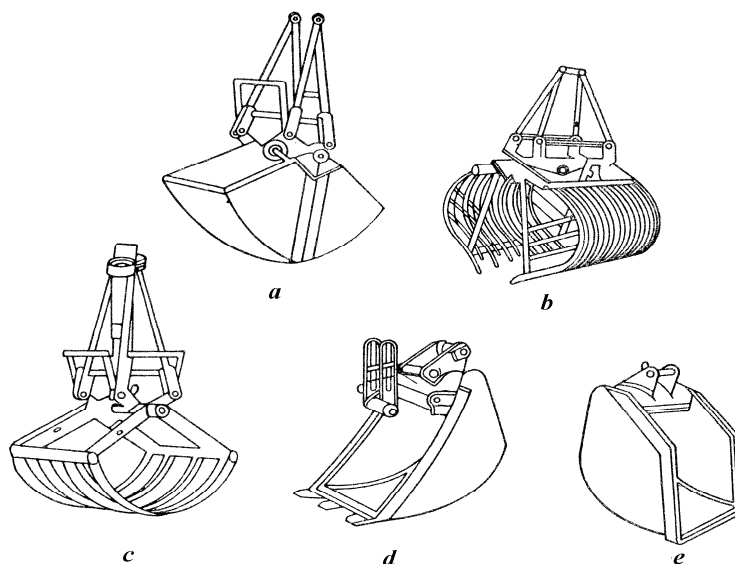


Fig. 2.37. Schema organelor active ale încărcătoarelor cu graifăr

Construcția organelor de apucare și suspendare a sarcinii la construcțiile de tip graifăr sunt prezentate în figura 2.37. Astfel ele pot fi folosite la materiale friabile, pământ, îngrășămintă, cereale (fig. 2.37.a, d, e), pentru bulborădăcinoase (fig. 2.37.b), pentru gunoi de grajd și materiale siloz (fig. 2.37.c.).

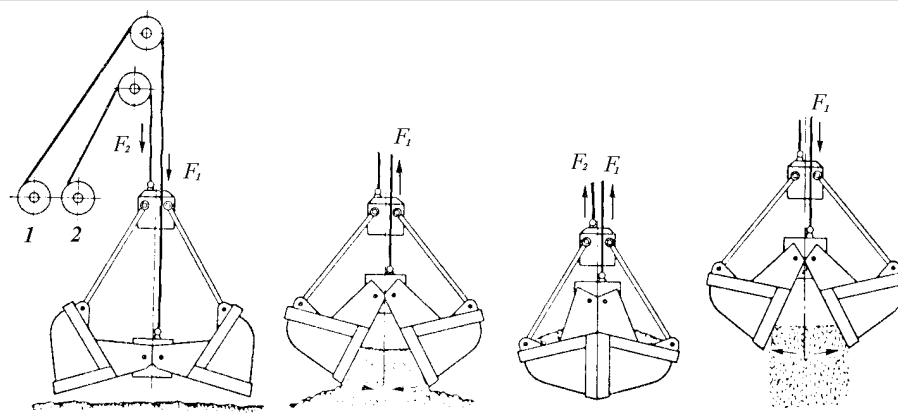


Fig. 3.38. Modul de lucru al graifărului cu două cabluri

Construcția acționării graifărelor este diferită, dar principiul de funcționare este același. În figura 3.38. este prezentat modul de lucru al unui graifăr cu două cabluri. Cablul 1 comandă deschiderea și închiderea celor două semicupe, iar cablul 2 comandă coborârea și ridicarea graifărului. Asemenea construcții au capacități cuprinse între 0,5 – 5 m³

Eliminarea lucrului manual a dus la conceperea unei game mari de sisteme de prindere a sarcinii sub forma de clești. Aceștia sunt dispozitive articulate care susțin sarcina pe baza forțelor de frecare dintre fălcile de prindere și sarcina de ridicat.

Cleștii cu închidere automată (fig. 2.39.) sunt folosiți la prinderea de butoaie, saci, baloți. Aceștia sunt menținuți în poziție deschisă printr-un zăvor articulat. Pentru apucarea sarcinii se trage zăvorul, iar după ce cleștele a apucat sarcina se lasă liber zăvorul și prin ridicarea cablului, cleștele se închide și ridică sarcina.

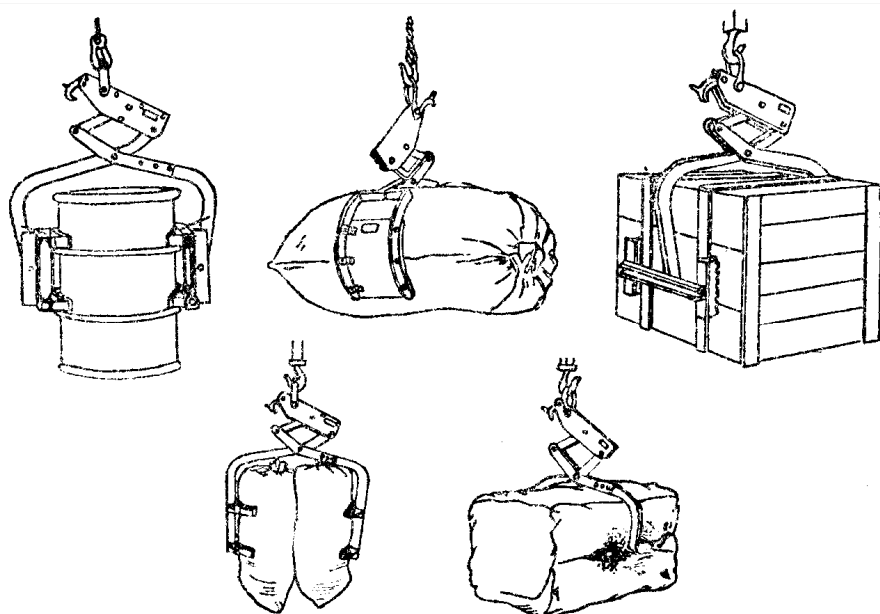


Fig. 3.39. Tipuri constructive de clești de prindere

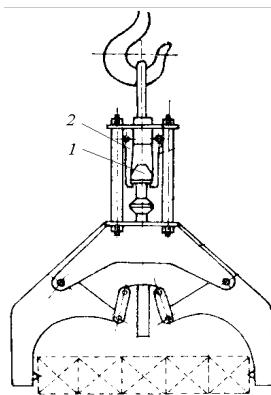


Fig. 2.40 Clește prindere semifabricate mari

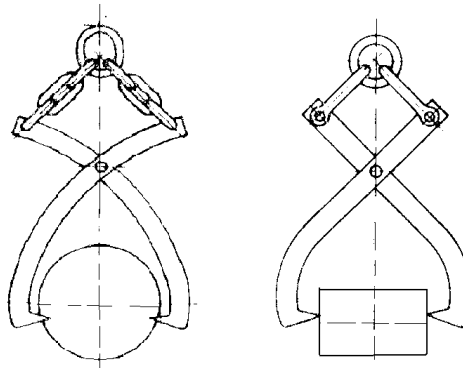
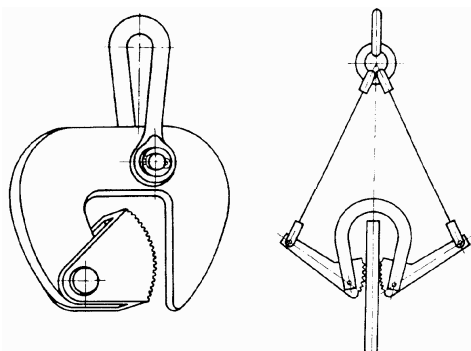


Fig. 2.41. Clești de prindere semifabricate din lemn

Pentru prinderea unor semifabricate mari se folosește cleștele automat cu dispozitiv conic de închidere (fig. 2.40.). Acesta prinde, ridică și eliberează sarcina automat, fiind folosit la unele tipuri constructive de macarale.



La prinderea semifabricatelor din lemn se folosesc clești confecționați din tablă sau prin forjare (fig. 2.41.).

Pentru prinderea sarcinilor metalice de tipul table se folosesc clești de strângere cu came zimțate excentrice (fig. 2.42.).

Fig. 2.42. Clești de strângere cu came zimțate excentrice

2.4. Organe de blocare și de frânare

Organele de blocare sau opritoare, sunt folosite la unele mecanisme de ridicare cu scopul de a împiedica, după încetarea acționării, mișcarea mecanismului în sensul coborârii, realizând astfel reținerea sarcinii ridicate. Opritoare sunt folosite ca dispozitive independente sau ca părți componente ale frânelor.

În funcție de construcție, se deosebesc:

- opritoare cu clichet;
- opritoare cu frecare, care pot fi cu excentric și cu role.

Organele de frânare folosite în construcția mașinilor de ridicat sunt, în principiu, alcătuite din unul sau mai multe organe mobile, solidarizate cu un arbore al mecanismului, respectiv unul sau mai multe organe fixe, solidarizate cu scheletul acestora. Prin frecarea dintre organele mobile și cele fixe ale frânei se realizează transformarea în căldură a energiei diferitelor piese în mișcare ale mecanismului, rezultând fie oprirea lui într-un timp determinat, fie limitarea vitezei la o valoare dată.

Clasificarea frânelor se poate face după mai multe criterii, câteva dintre acestea fiind cele ce urmează:

- ▶ după destinația lor:
 - frâne de oprire;
 - frâne de coborâre;
 - frâne mixte;
- ▶ după modul de comandă:
 - frâne comandate;
 - frâne semiautomate;
 - frâne automate;
- ▶ după poziția relativă a organelor fixe și mobile:
 - frâne normal strânse;
 - frâne normal slăbite.

Construcția obișnuită a unui opritor cu clichet este prezentată în figura 2.43. Pe roata cu dantură specială reazemă clichetul prevăzut cu arc care menține contactul permanent al acestuia cu roata. Rotirea este permisă doar într-un singur sens (de exemplu pentru ridicarea sarcinii), caz în care clichetul culisează pe exteriorul danturii și datorită arcului, urmărește proeminențele danturii.

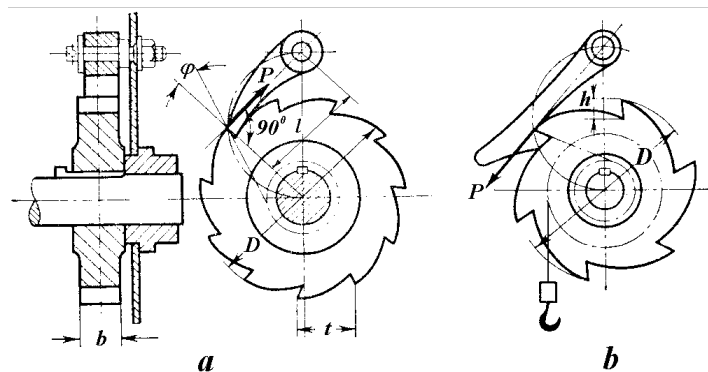
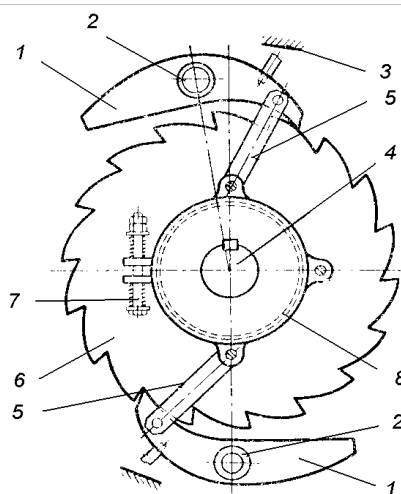


Fig. 2.43. Schema unui clichet simplu: a- cu cioc normal; b- cu cioc invers.

Pentru o solicitare mai redusă a clichetului, este necesar ca axa bolțului pe care este montat acesta să fie amplasată pe direcția tangentei la cercul exterior al roții, dusă la vârful dintelui cu care se găsește în contact la un moment dat vârful clichetului (poziția cu linie întreruptă). Pentru o lungime impusă clichetului, respectarea condiției se realizează amplasând bolțul clichetului într-un punct al cercului de rază:



$$R_c = \sqrt{\left(\frac{D}{2}\right)^2 + l^2} \quad (2.49.)$$

în care D este diametrul exterior al roții dințate;
 l – lungimea dată a clichetului.

Pentru a mări siguranța în exploatare se poate folosi un opritor cu clichet dublu (fig. 2.44.).

Deoarece clichetul reazemă pe dantura roții, în timpul rotației arborelui în sensul neblocat produce un zgomot specific. Pentru înlăturarea acestui zgomot, se construiesc opritoare cu clicheți

Fig. 2.44. Clichet dublu: 1- clichet; 2- bolț; 3- limitator; 4- arbore; 5- pârghie acționare clichet; 6- roată dințată; 7- șurub cu arc pentru prinderea inelului; 8- inel de fricțiune cu pivot.

comandați, când aceștia sunt îndepărtați de dantură pe perioada rotirii în sensul neblocat, iar apoi apăsați pe dantură când arborele tinde să se rotească în sensul blocat.

Opritorul cu excentric este alcătuit dintr-o roată și unul sau două excentrice, ce reazemă pe exteriorul sau interiorul obezii roții.

În cazul opritorului cu excentric cu rezemare exterioară (fig. 2.45.), arborele mecanismului de ridicare se poate roti în sensul I. În cazul rotirii după sensul II, excentricul, datorită frecării cu roata, tinde să se rotească după sensul III, apăsând pe obada roții. Forța de frecare dintre excentric și roată poate opri mișcarea roții dacă este îndeplinită condiția:

$$\operatorname{tg} \beta \leq \mu \quad (2.50.)$$

în care β este unghiul ascuțit format între raza corespunzătoare punctului de contact A și dreapta ce unește acest punct cu centrul de oscilație al excentricului;

μ – coeficientul de frecare dintre excentric și roată.

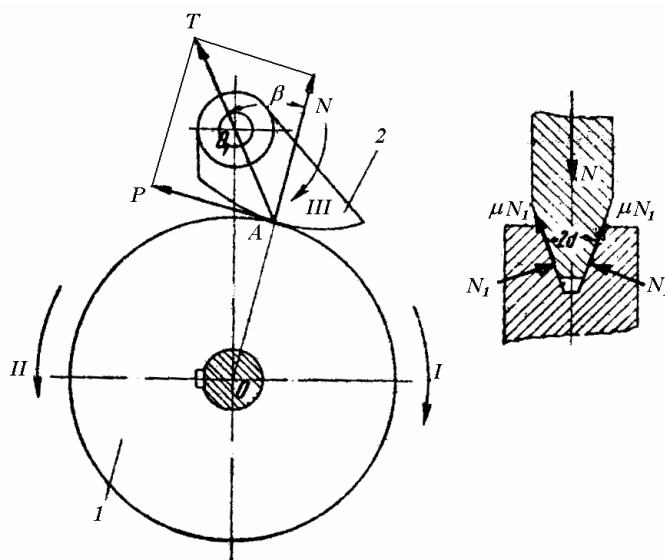


Fig. 2.45. Opritor cu excentric exterior: 1- roată; 2- excentric

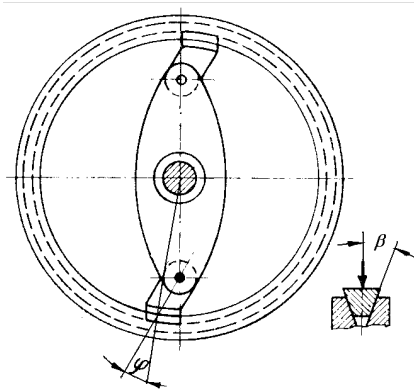


Fig. 2.46. Opritör cu excentric interior

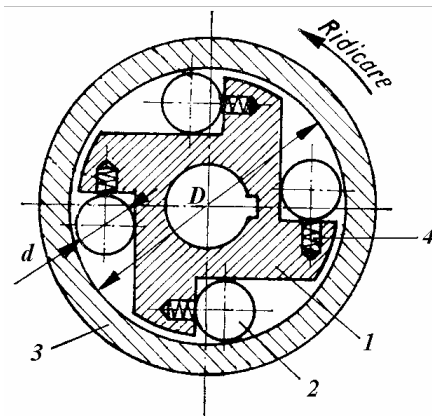


Fig. 2.47. Opritör cu role

Opritörul cu excentric din figura 2.46. are în construcția sa o roată prevăzută la interior cu un canal, în care intră două excentrice ce produc frânarea și blocarea roții în sensul de rotație dorit.

Opritörul cu role din figura 2.47, numit uneori și cuplaj unisens este alcătuit din roata profilată 1, montată cu pană pe arbore, rolele 2, inelul exterior 3 și arcurile 4. La rotirea în sensul de ridicare, rolele se poziționează spre partea cu secțiunea mare, comprimând arcurile 4. Când arborele se rotește invers, el antrenează și roata profilată care, deplasează rolele spre secțiunea mică, blocându-le cu ajutorul inelului exterior. Mișcarea încetează iar sarcina, legată de arborele de comandă, este oprită să cadă.

Frânele cu saboți au un singur organ mobil alcătuit dintr-o roată cu periferia netedă (roata de frână), montată pe unul din arborii mecanismului și unul sau mai multe organe fixe numite saboți. Din motive de protejare a arborilor la încovoiere, în practică se folosesc frâne cu doi saboți, variantele constructive deosebindu-se prin felul organului ce execută strângerea frânei (contragreutate sau arc), tipul electromagnetului (cu cursă lungă sau cu cursă scurtă), felul prinderii saboților pe pârghiile portsabot (fix sau articulat), respectiv numărul, forma și amplasamentul pârghiilor care transmit mișcarea saboților.

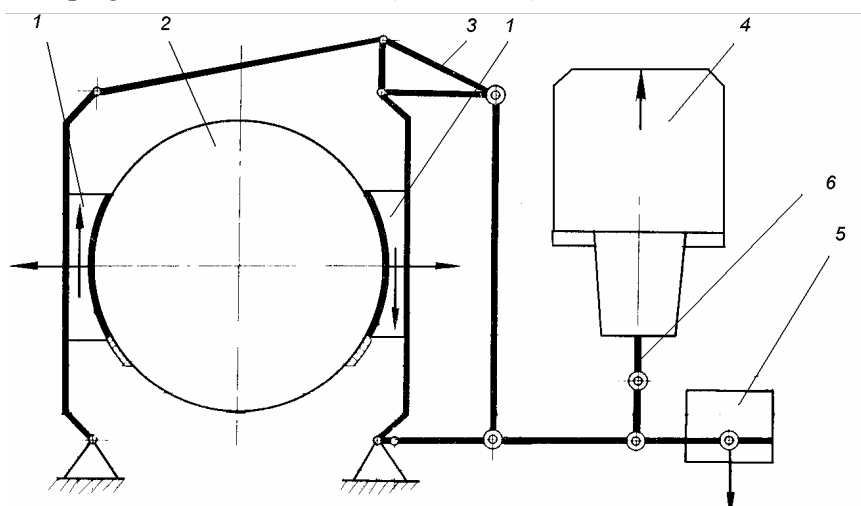


Fig. 2.48. Schema de principiu a unei frâne cu saboți: 1- saboți; 2- roată de frână; 3- pârghii; 4- electromagnet; 5- contragreutate; 6- armătură mobilă.

În figura 2.48. este prezentată schema de principiu a unei frâne cu saboți cu electromagnet și contragreutate. Menținerea frânei strânse este realizată de o contragreutate care, prin intermediul unui sistem de pârghii, asigură o apăsare suficientă a saboților pe roata de frână.

Prin acționarea electromagnetului, armătura mobilă a acestuia ridică contragreutatea, iar prin intermediul pârghiilor eliberează roata de frână.

În figura 2.49. este prezentată schema de calcul a unei frâne cu saboți cu contragreutate și electromagnet cu cursă lungă.

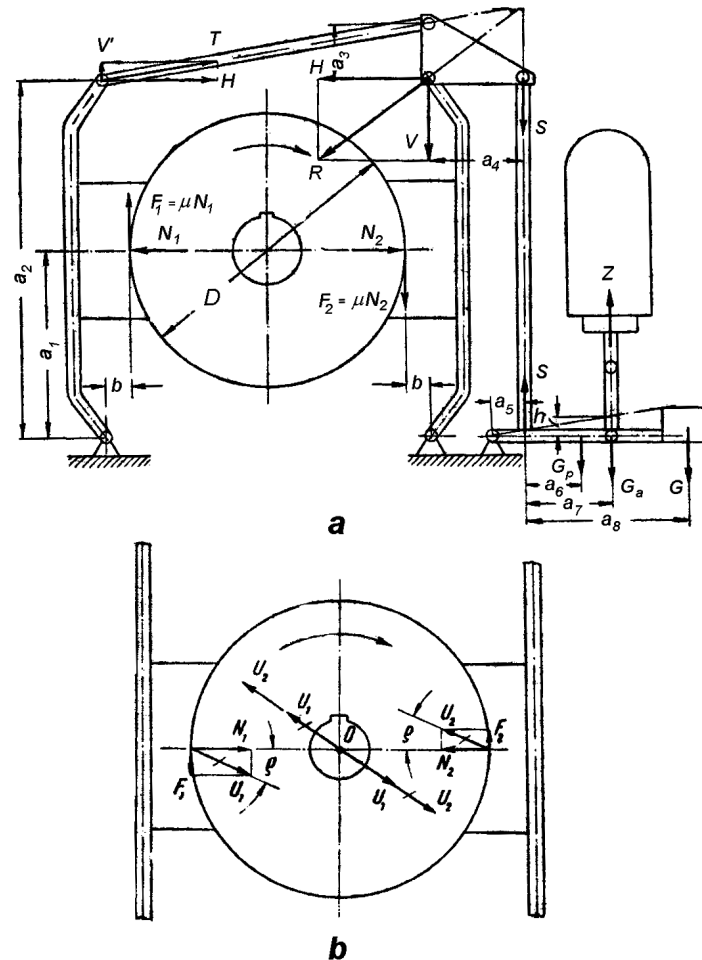


Fig. 2.49. Schema de calcul a frânei cu doi saboți cu contragreutate și electromagnet cu cursă lungă

Când electromagnetul este deconectat, datorită greutății G , greutății G_p a pârghieii acesteia și greutății armăturii libere a electromagnetului G_a , asupra unui colț al piesei triunghiulare se transmite o forță S . Ca rezultat, pe capătul superior al pârghieii portsabot din dreapta acționează o forță R , care se descompune într-o componentă verticală V și una orizontală H , în timp ce la capătul superior al pârghieii portsabot din stânga se transmite, prin bara de legătură, o forță T , care se descompune într-o componentă verticală V' și una orizontală egală cu H . În urma apăsării saboților pe roata de frână, asupra fiecărui sabot va acționa o forță de apăsare normală N_1 , respectiv N_2 . Corespunzător acestora, vom avea forțele de frecare $F_1 = \mu N_1$, respectiv $F_2 = \mu N_2$, μ fiind coeficientul de frecare dintre saboți și roata de frână.

Din condiția de echilibru a pârghieii portsabot dreapta rezultă:

$$N_2 a_1 - \mu N_2 b - H a_2 = 0 \quad (2.51.)$$

de unde rezultă:

$$N_1 = H \frac{a_2}{a_1 - \mu b} \quad (2.52.)$$

Pe de altă parte, momentele de frânare produse de sabotul stâng (indice 1) și de cel drept (indice 2) sunt:

$$\begin{aligned}(M_f)_1 &= F_1 \frac{D}{2} = \mu N_1 \frac{D}{2} \\ (M_f)_2 &= F_2 \frac{D}{2} = \mu N_2 \frac{D}{2}\end{aligned}\quad (2.53.)$$

Momentul de frânare total este format din suma celor două momente de frânare ale saboților.

Valoarea necesară a contragreutății se exprimă în funcție de momentul de frânare pe care trebuie să-l producă. Adunând relațiile de mai sus se obține:

$$N_1 + N_2 = H \frac{2a_1 a_2}{a_1^2 - \mu^2 b^2} \quad (2.54.)$$

Se înmulțește relația cu $\mu D/2$ și se obține:

$$\mu N_1 \frac{D}{2} + \mu N_2 \frac{D}{2} = M_F = H \frac{2a_1 a_2}{a_1^2 - \mu^2 b^2} \mu \frac{D}{2} \quad (2.55.)$$

De aici rezultă valoarea necesară a forței H :

$$H = \frac{M_F}{\mu D} \frac{a_1^2 - \mu^2 b^2}{a_1 a_2} \quad (2.56.)$$

Valoarea corespunzătoare a forței S obținută din condiția de echilibru a piesei triunghiulare este:

$$S = H \frac{a_3}{a_4} \quad (2.57.)$$

Din condiția de echilibru a pârgheii portsabot rezultă:

$$Ga_6 + G_a a_7 + G_p a_8 - Sa_5 = 0 \quad (2.58.)$$

de unde, dacă se ține seama de valoarea forței S , rezultă mărimea necesară a contragreutății:

$$G = \frac{M_F}{\mu D} \frac{a_1^2 - \mu^2 b^2}{a_1 a_2} \frac{a_3}{a_4} \frac{a_5}{a_6} - G_a \frac{a_7}{a_6} - G_p \frac{a_8}{a_6} \quad (2.59.)$$

Parametrii principali ai electromagneților cu cursă lungă sunt forța de tracțiune și cursa. Forța de tracțiune Z a electromagnetului trebuie să fie destul de mare pentru a putea ridica armătura mobilă și pârghia cu contragreutatea. Din condiția de echilibru a pârgheii contragreutății (pentru $S = 0$) rezultă:

$$Z = G \frac{a_6}{a_7} + G_p \frac{a_8}{a_7} + G_a \quad (2.60.)$$

Cursa electromagnetului trebuie să țină seama de toate jocurile din articulații și se determină cu relația:

$$h = 2,2 \cdot \varepsilon \cdot \frac{1}{i} \quad (2.61.)$$

unde ε este depărtarea radială medie a sabotului de roata de frână, când aceasta este slăbită;

i – raportul de transmitere al pârghiilor frânei ($i = 1/8 \dots\dots 1/10$).

Dimensionarea pârghiilor ce intră în componența frânei se face pentru solicitarea lor cea mai defavorabilă.

Frânele cu bandă sunt alcătuite dintr-o roată cu periferia netedă (roata de frână), montată pe un arbore al mecanismului, o bandă de oțel căptușită care înfășoară roata de frână și o pârghie ce poate oscila în jurul unui punct fix și pe care se fixează capetele benzii. Prin rotația pârgheii se obține fie apăsarea benzii pe roata de frână (strângerea frânei), fie îndepărtarea benzii de roata de frână (slăbirea frânei).

Rotirea pârgheii se face manual sau cu ajutorul unei contragreutăți (pentru strângere), respectiv a unui electromagnet cu cursă lungă sau scurtă (pentru slăbire).

În funcție de amplasamentul capetelor benzii pe pârghia de comandă, frânele cu bandă se grupează astfel:

- frâne simple (fig. 2.50.a), la care un capăt al benzii se leagă la un punct fix (de regulă chiar la punctul de articulație al pârghiei de comandă), iar celălalt capăt se solidarizează cu pârghia de comandă;
- frâne diferențiale (fig. 2.50.b), la care ambele capete sunt articulate la pârghia de comandă, iar la oscilația într-un sens sau altul a pârghiei, un capăt se apropie iar celălalt se îndepărtează de roata de frână (pentru ca strângerea sau slăbirea să fie posibilă trebuie ca $a_2 > a_1$);
- frâne cu însumare (fig. 2.50.c), la care ambele capete sunt prinse articulat la pârghia de comandă, dar în așa fel încât la rotirea pârghiei ambele capete se apropie sau se îndepărtează de roata de frână.

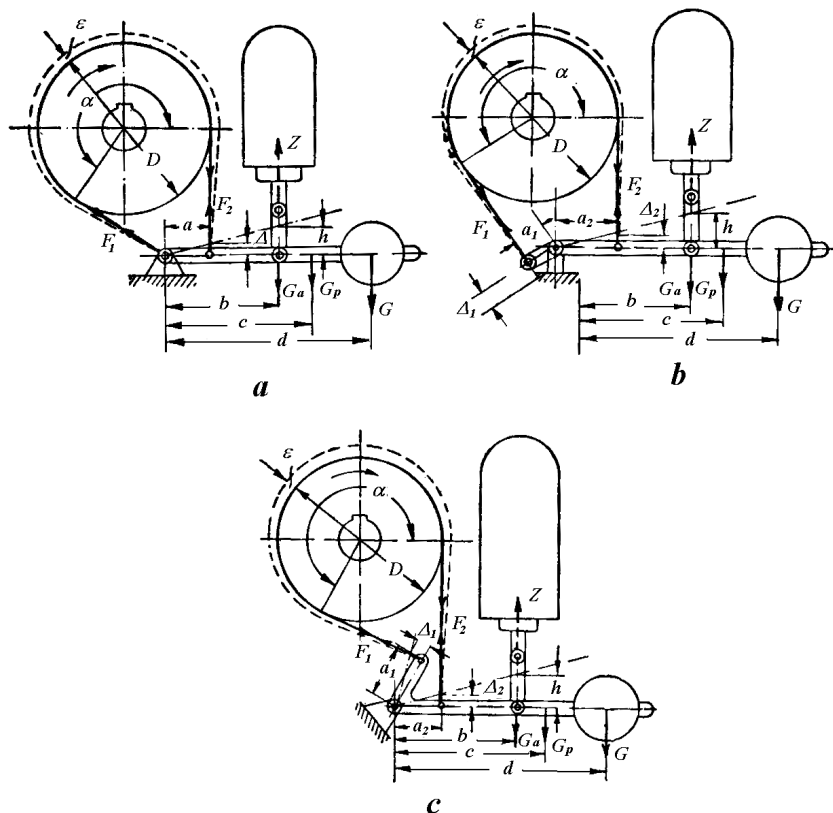


Fig. 2.50. Frâne cu bandă: a- simplă; b- diferențială; c- cu însumare

Unghiul de înfășurare al benzii pe roata de frânare variază între $180^\circ - 270^\circ$, iar pentru mărirea lui banda se poate înfășura cu câteva spire pe roata de frână ajungând la valori de 630° .

Deoarece la apăsarea benzii pe roata de frână în cele două ramuri apar forțe diferite, momentul de frânare creat este dat de relația:

$$M_F = (F_1 - F_2) \frac{D}{2} \quad (2.62.)$$

unde F_1 este forța din ramura benzii care tinde să se înfășoare;

F_2 – forța din ramura benzii care tinde să se desfășoare;

D – diametrul roții de frână.

Între cele două forțe există o legătură cunoscută sub numele de relația lui Euler ($F_1 = F_2 e^{\mu\alpha}$) astfel că forțele din ramurile benzii exprimate în funcție de momentul de frânare au forma:

$$F_1 = \frac{2M_F}{D} \frac{e^{\mu\alpha}}{e^{\mu\alpha} - 1}$$

$$F_2 = \frac{2M_F}{D} \frac{1}{e^{\mu\alpha} - 1}$$
(2.63.)

Banda frânei se execută dintr-o bandă de oțel iar suprafața de lucru se căptușește cu ferodou. Lățimea de lucru se recomandă a fi mai mică de 100 mm, deoarece se obține o mai bună așezare a acesteia pe roata de frână.

Grosimea benzii de oțel rezultă din verificarea ei la tracțiune.

Mărimea contragreutății depinde de tipul de frână, astfel:

► pentru frâna simplă; din condiția de echilibru a pârgheii de comandă , neglijând frecările din articulații, rezultă:

$$G = F_2 \frac{a}{d} - \frac{G_a b + G_p c}{d} = \frac{2M_F}{d} \frac{1}{e^{\mu\alpha} - 1}$$
(2.64.)

► pentru frâna diferențială; din condiția de echilibru a pârgheii de comandă, neglijând frecările din articulații, rezultă:

$$G = \frac{F_2 a_2 - F_1 a_1}{d} - \frac{G_a b + G_p c}{d}$$
(2.65.)

► pentru frâna cu însumare; din condiția de echilibru a pârgheii de comandă, neglijând frecările din articulații, rezultă:

$$G = \frac{F_2 a_2 + F_1 a_1}{d} + \frac{G_a b + G_p c}{d}$$
(2.66.)

Principalii parametri ai electromagneților sunt forța de tracțiune și cursa. Pentru toate tipurile de frâne, din condiția de echilibru a pârgheii de comandă (pentru $F_1 = F_2 = 0$) rezultă pentru forța necesară a fi dezvoltată de electromagnet relația:

$$Z = G \frac{d}{b} + G_p \frac{c}{b} + G_a$$
(2.67.)

Cursa electromagneților trebuie să asigure îndepărtarea uniformă a benzii de roata de frânare pe o distanță radială $\varepsilon = 0,8 - 1,5$ mm, în funcție de diametrul roții.

Frânele cu bandă mai sunt verificate la presiune și la încălzire, astfel încât să se evite supraîncălzirea lor în timpul lucrului, fapt ce afectează negativ funcționarea frânelor.

Frânele conice și frânele cu discuri folosite în construcția mașinilor de ridicat realizează, spre deosebire de frânele cu bandă, strângerea sau slăbirea frânei printr-o deplasare axială a organelor de lucru ale frânei.

După forma constructivă se întâlnesc trei variante: frâne cu un disc plan, frâne cu mai multe discuri lamelare și frâne cu con (fig. 2.51.). Forța de apăsare a discurilor, respectiv a conului în mișcare de rotație pe discul sau conul fix, se realizează prin intermediul unor arcuri a căror forță de apăsare este reglabilă. Decuplarea sau slăbirea frânelor se face pe seama unor electromagneți.

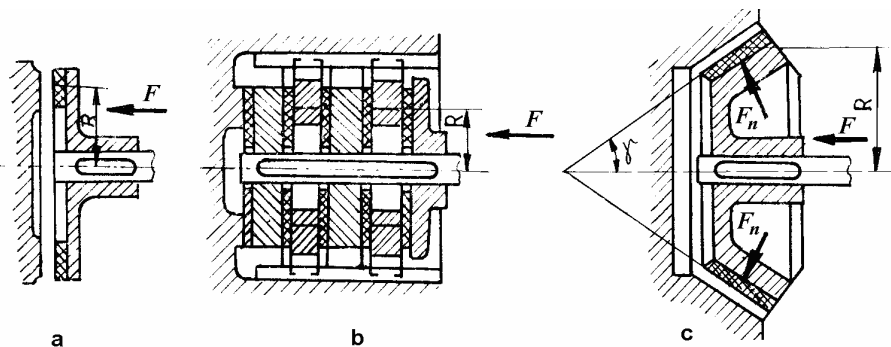


Fig. 2.51. Frâne cu discuri și frâne conice: a- cu un singur disc; b- cu mai multe discuri; c- conică.

Frânele conice sunt folosite atât ca dispozitive independente, cu acționare electromagnetică sau mecanică, cât și împreună cu roți cu clichet, caz în care alcătuiesc partea principală a frânelor comandate de sarcină.

Ca și în cazul de mai sus, frânele cu discuri (de cele mai multe ori multidisc), combinate cu o roată cu clichet sau un alt tip de opritor, lucrează ca frâne de coborâre.

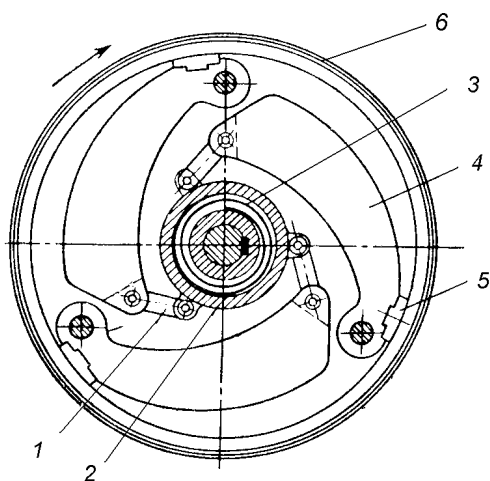


Fig. 2.52. Frână centrifugă cu saboți

Frânele centrifugale sunt utilizate la mecanismele de ridicat ce nu au posibilitatea de autofrânare. Ele au rolul de a asigura o viteză constantă de coborâre a sarcinii, atunci când frâna de oprire este slăbită.

Cea mai cunoscută frână centrifugală este cea din figura 2.52. Pe discul solidarizat prin pană cu arborele mecanismului de ridicare sunt montate articulat greutatea 4, fixate prin tiranții 1 la bucșa de reglaj 2. Aceasta, la rândul ei este legată prin arcul spiral 3 cu arborele mecanismului de ridicat. Pe greutatea sub formă de seceră au prevăzuți saboții 5 și care vor asigura frecarea lor cu interiorul

carcasei 6.

Funcționarea frânei decurge astfel: când turația arborelui mecanismului de ridicare crește peste o anumită valoare, datorită forței centrifuge greutatea înving forța arcului spiral și prin deplasarea radială determină frecarea saboților de carcasa interioară, producând frânarea. Scăderea turației reduce forța centrifugă și arcul readuce greutatea în poziția în care saboții se depărtează de carcasa interioară, reluând coborârea sarcinii. Fenomenul se repetă alternativ fapt ce va duce la coborârea sarcinii cu o viteză aproximativ uniformă.

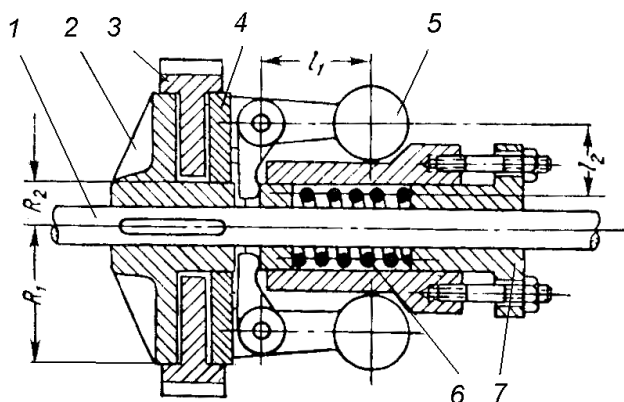


Fig. 2.53. Frână centrifugă cu discuri

Un alt tip constructiv de frână centrifugală este prezentat în figura 2.53. Pe arborele 1 este fixat cu pană discul 2, iar pe butucul acestuia, prin intermediul unor nuturi, discul 4. Arcul 6, rezemat pe bucșă 7 asigură, pentru o anumită turație a arborelui 1 poziționarea greutăților 5 ca în figură, fapt ce permite ca roata 3 (care poate fi o roată de clichet ce împiedică mișcarea

în sensul coborârii sarcinii) să se rotească liber. Atunci când turația arborelui 1 crește, greutatea se depărtează față de axa de rotație, ca efect al forței centrifuge, comprimând arcul și prin intermediul pârghiilor pe care sunt montate, strânge roata de clichet între cele două discuri, blocând astfel coborârea sarcinii. Scăderea turației arborelui duce la scăderea forței centrifuge ce acționează prin intermediul greutăților, se slăbește strângerea iar sarcina continuă coborârea.

Pentru o anumită viteză de coborâre prestabilită, trebuie să se realizeze un echilibru între momentul dat de sarcină, ce tinde să crească turația arborelui și momentul de frecare dintre discuri, ce tinde să oprească rotirea acestuia.

Principalul dezavantaj al acestor frâne este acela că ele nu pot realiza și oprirea sarcinii, ceea ce impune introducerea în mecanismul mașinii de ridicat și a unei frâne de oprire.

Frâne comandate de greutatea sarcinii sunt destinate să lucreze ca frâne de oprire, realizând reținerea sarcinii ridicate după încetarea acționării. În principiu, frânele comandate de greutatea sarcinii sunt alcătuite dintr-un opritor cu clichet, un angrenaj de tip șurub melc – roată melcată și o frână conică sau cu discuri. Greutatea sarcinii este cea care determină o forță axială în angrenaj, forța necesară strângerii frânei.

În funcție de modul de funcționare, frânele comandate de greutatea sarcinii se grupează astfel:

- frâne cu acțiune continuă, la care frâna este strânsă în permanență;
- frâne cu acțiune intermitentă, la care în timpul coborârii sarcinii se produce o ușoară slăbire a frânei.

Construcția unei frâne cu acțiune continuă, folosită de obicei la palanele cu melc, este prezentată în figura 2.54.

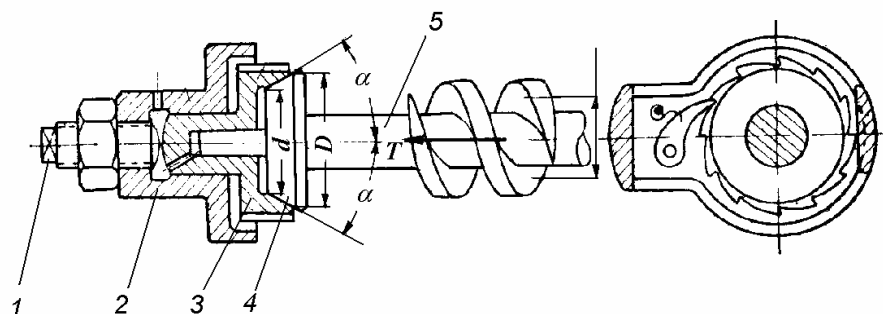


Fig. 2.54. Frână continuă comandată de sarcină

Pe capătul arborelui 5 al șurubului melc este fixat conul interior 4 al unei frâne conice. Conul exterior 3, prevăzut pe suprafața sa exterioară cu o dantură de roată pentru clichet, este sprijinit în crapodina 2 prevăzută cu șurubul de reglaj 1. Un clichet se reazemă pe dantura conului exterior, având bolțul său fixat pe carcasa frânei.

Cât timp sarcina de ridicat este agățată la cârligul palanului, în arborele șurubului melc acționează o forță axială T sub acțiunea căreia frâna conică este strânsă. Pe durata ridicării sarcinii, conul exterior al frânei este antrenat, prin frecare, în mișcare de rotație, clichetul permițând acest lucru. Când acțiunea încetează, momentul de torsiune care tinde să rotească melcul în sensul coborârii este blocat de clichet.

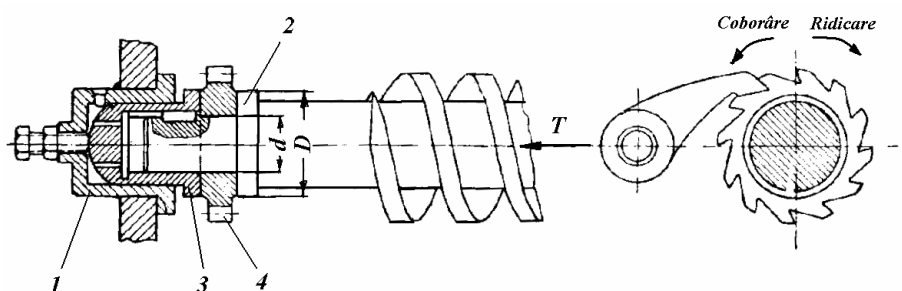


Fig. 2.55. Frână continuă comandată de sarcină

În figura 2.55 este prezentată construcția unei frâne cu acțiune continuă la care momentul de frânare este produs prin frecarea dintre discul roții de clichet 4, pe de o parte și gulerul 2 al arborelui melcului și gulerul bucsei, pe de altă parte. Bucșa 3, montată pe pană pe capătul arborelui melcului, reazemă în crapodina 1 fixată la scheletul palanului.

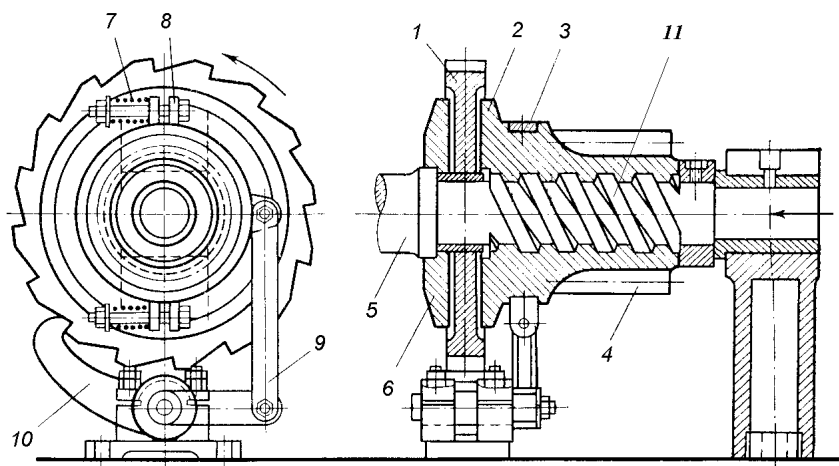


Fig. 2.56. Frână cu acțiune intermitentă

Frâna cu acțiune intermitentă din figura 2.56. este folosită în construcția palanelor, vinciurilor și a unor macarale.

Pe arborele de acțiune 5 este montat pe pană discul 6, iar pe partea filetului este așezat discul 2 care, împreună cu roata dințată 4 formează un ansamblu rigid, și care transmite mișcarea la arborele tobei. Între cele două discuri se află montată liber roata de clichet 1. Filetul 11 face ca în momentul rotirii arborelui în sensul ridicării sarcinii, discul 2 să se deplaseze către stânga, apropiindu-se și în final strângând prin frecare, împreună cu discul 6, roata de clichet. Discurile și roata de clichet se vor roti ca un ansamblu atâta timp cât clichetul nu va bloca mișcarea. Construcția din figură are un clichet comandat care, în timpul ridicării sarcinii, datorită frecării clemelor 3, apăsate pe discul 2 de arcurile 7, acționează asupra pârgheiei 9 și ridică clichetul de pe dantura roții. La momentul opririi mișcării de ridicare, datorită aceleiași frecări, întreg ansamblul se rotește invers și clichetul se așează pe dantura roții, blocând mișcarea.

Pentru coborârea sarcinii arborele 5 se va roti în sens invers, fapt ce va duce la deplasarea discului 2 spre dreapta, slăbind strângerea roții de clichet. Sarcina va începe coborârea cu o viteză crescătoare, mărin d turația arborelui de acțiune. Aceasta va face ca, datorită filetului, discul 2 să se deplaseze către stânga, până la strângerea roții de clichet și la frânarea arborelui.

Aceste deplasări succesive ale discului 2, în funcție de turația arborelui de comandă vor determina o alunecare continuă a roții de clichet între cele două discuri, rezultând o viteză dorită de coborâre a sarcinii.

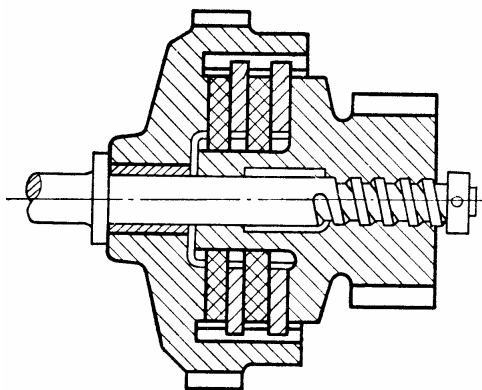


Fig. 2.57. Construcția frânei cu acțiune intermitentă multidisc

În unele situații momentul de frânare este foarte mare și atunci prezența unui singur disc de strângere nu este suficientă. Pentru a înlătura acest neajuns se folosește varianta constructivă cu mai multe discuri, prezentată în figura 2.57.

Manivelele de siguranță sunt mecanisme de ce funcționează asemănător frânelor de coborâre comandate de sarcină cu acțiune intermitentă. Ele se folosesc cu

mai ales la vinciurile acționate manual, cricurile cu cremalieră și trolii cu transmisii cu roți dințate cilindrice.

În figura 2.58. este prezentată construcția unei manivele de siguranță la care datorită greutății sarcinii, forța ce acționează asupra roții dințate de acționare, fixată pe arborele 1 al manivelei, determină o forță axială în filetul elicoidal care, prin înșurubarea bucșei filetate 2 va strânge frâna cu discuri.

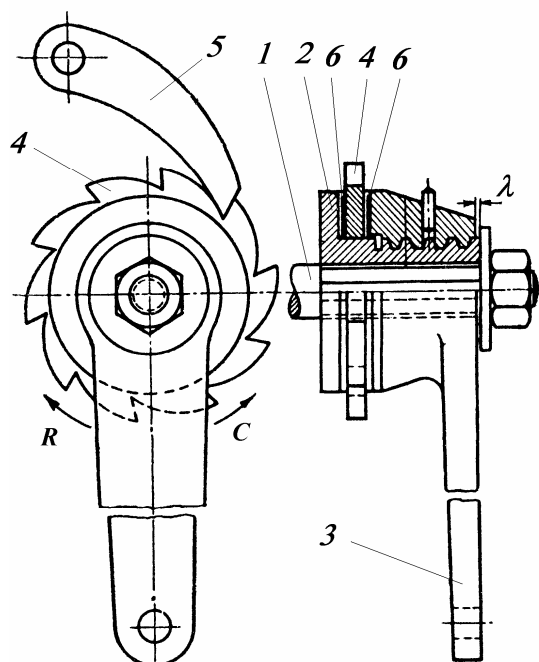


Fig. 2.58 Manivela de siguranță

Pentru ridicarea sarcinii, manivela 3 se rotește în sensul R, se înșurubează în bucșa filetată și va strânge roata de clichet 4 cu ferodourile 6. Se obține un ansamblu rigid care va duce la ridicarea sarcinii, până când acțiunea manivelei încetează. În acel moment, sub acțiunea sarcinii, roata de clichet va avea tendința de rotire ușoară spre stânga și se va bloca atunci când clichetul 5 se va sprijini pe dintele cel mai apropiat.

Coborârea sarcinii se face rotind manivela în sens invers (după săgeata C), fapt care va determina deșurubarea ei din bucșa filetată și slăbirea frânei. Sarcina va coborî iar viteza unghiulară a arborelui va crește, ceea ce va determina înșurubarea manivelei și strângerea frânei, oprind coborârea sarcinii. O nouă acționare a manivelei în sensul de coborâre va produce același fenomen, astfel că sarcina va putea fi coborâtă odată cu rotirea manivelei, viteza de coborâre depinzând de viteza de rotație a manivelei.

Pentru o coborâre mai rapidă a sarcinii se poate utiliza manivela de siguranță din figura 2.59. Pe arborele de acționare 1 este montat liber discul conic 2, pe care este danturată roata de acționare 3, iar pe partea filetată 6 discul conic 5 la exteriorul căruia se găsește dantura roții de clichet 4. Tot pe arborele de comandă se montează printr-o pană și pârghia cu două brațe 7, care se sprijină pe arcurile 10 fixate pe discul 5. Deplasarea axială a discului 2 este limitată de gulerul 9 și inelul de sprijin 8.

Pentru ridicarea sarcinii se rotește manivela în sensul R, discul 5 se înșurubează deplasându-se către stânga, va freca cu discul 2 și-l va presa pe gulerul 9 până la solidarizarea întregului ansamblu, clichetul permițând mișcarea. Când mișcarea de ridicare încetează, sarcina fiind suspendată, arcurile 10 prin intermediul pârghiei 7 rotesc discul 5, deplasarea lui spre stânga având ca efect strângerea frânei conice și blocarea coborârii sarcinii.

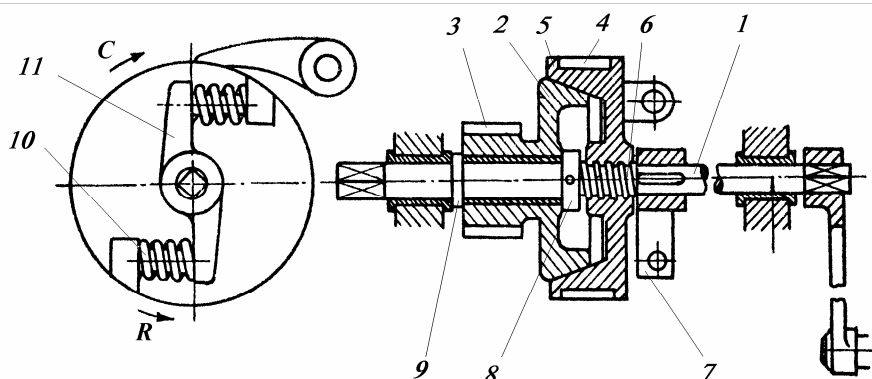


Fig. 2.59. Manivela de siguranță pentru coborâre rapidă

Pentru coborârea sarcinii se rotește manivela după sensul C, partea filetată va deplasa discul conic 5 spre dreapta acționând asupra pârghiei și comprimând arcurile 10. Totodată,

cuplarea cu discul 2 încetează și împreună cu roata dințată 3 acesta se va roti liber, sub acțiunea sarcinii care coboară. Creșterea vitezei de coborâre va determina înșurubarea discului conic pe filetul 6 și, prin deplasarea către stânga, va freca cu discul 2 producând frânarea.

2.5. Organe pentru deplasare

Organele pentru deplasare sunt destinate să permită unei mașini de ridicat mișcarea sa pe o cale, cu sau fără șine, în vederea creșterii razei de acțiune. La mișcarea pe o cale cu șine, organele pentru deplasare sunt alcătuite din roți de rulare cu obadă rigidă, iar la mișcarea pe o cale fără șine, ca organe de rulare sunt folosite roțile pneumatice și șenilele.

Roțile de rulare sunt roți metalice cu obadă rigidă, având forme constructive diferite, în funcție de calea de tipul căii de rulare. Ele se pot executa prin turnare (fig. 2.60.a), prin forjare sau matrițare (fig. 2.60.b) ori cu bandaj fretat (fig.2.60.c). Ca materiale, oțelurile de cementare sunt recomandate, fonta fiind aleasă doar în cazul roților acționate manual. Tratamentul termic aplicat are ca scop creșterea rezistenței stratului superficial, ce vine în contact cu calea de rulare, la valori ale durității de 260-300 HB.

Pentru a evita riscul deraierii prin urcarea roților pe calea de rulare, obada este prevăzută cu borduri laterale

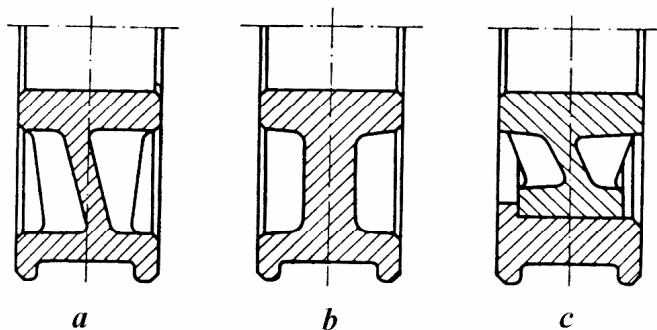


Fig. 2.60. Roți de rulare

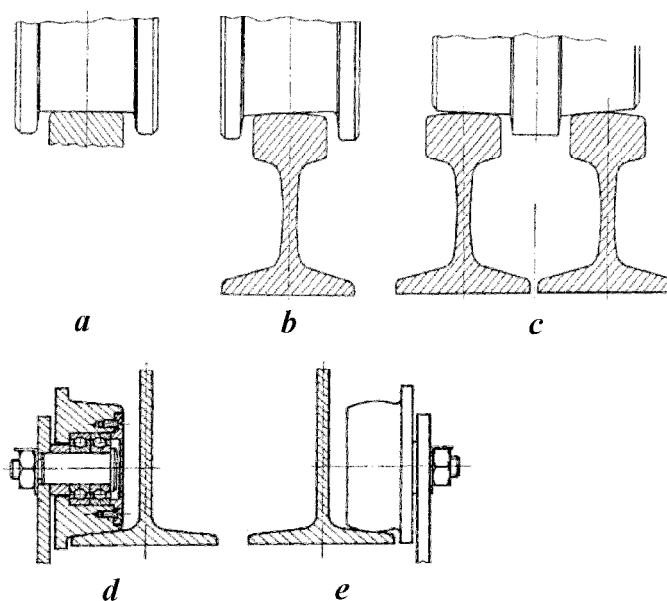


Fig. 2.61. Profilul obadei roților

Profilul suprafeței obadei roților diferă în funcție de condițiile de exploatare și poate fi cilindric și borduri laterale (fig. 2.61.a), conic și borduri laterale (fig. 2.61.b), dublu conic și bordură centrală (fig. 2.61.c), conic cu o bordură laterală (fig. 2.61.d), bombat cu o bordură laterală (fig. 2.61.e), etc.

Roțile de rulare, în funcție de modul de acționare pot fi conduse sau conducătoare (fig. 2.62.). Montajul lor se poate realiza fie prin intermediul unor bucșe (fig. 2.62.a și b), caz în care roțile se rotesc pe un ax fix, fie cu ajutorul penelor (fig. 2.62.c), caz în care roțile se montează pe un ax rotativ.

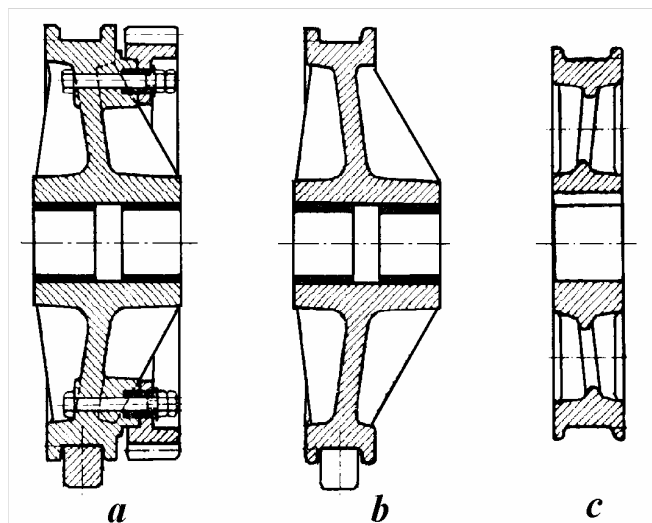


Fig. 2.62. Roți de rulare: a- conducătoare; b,c- conduse

Atunci când se folosesc căi de rulare suspendate, de cele mai multe ori construcția roților este cea prezentată în figura 2.63.

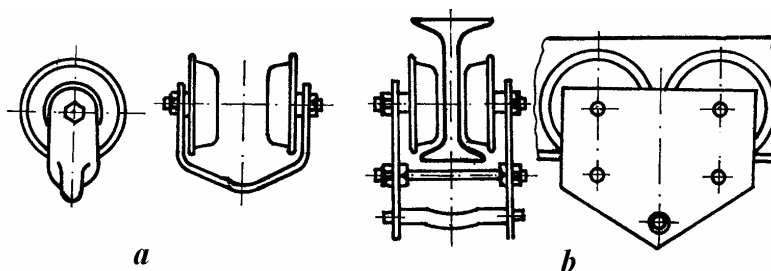


Fig. 2.63. Roți de rulare pentru căi suspendate: a- simple; b- tandem

În funcție de profilul obadei, contactul dintre roată și calea de rulare poate fi liniar sau punctiform.

Pentru contactul liniar, efortul unitar de contact se determină cu relația:

$$\sigma = 41,8 \sqrt{\frac{W \cdot E_e}{a \cdot R_1}} \quad (2.68.)$$

unde W este sarcina pe roată, în N;

E_e – modulul de elasticitate convențional, $E_e = \frac{2E_1E_2}{E_1 + E_2}$ (E_1 și E_2 fiind modulul de elasticitate al materialului roții, respectiv al căii de rulare);

R_1 – raza de rulare a roții, în mm;

a – lungimea liniei de contact, în mm.

În cazul contactului punctiform se are în vedere și raza de curbura a căii de rulare sau a obadei R_2 , având două situații:

$$\text{dacă } R_1 > R_2 : \sigma = k \cdot \sqrt[3]{\frac{W \cdot E_e^2}{R_1^2}} \quad (2.69.)$$

$$\text{dacă } R_1 < R_2 : \sigma = k \cdot \sqrt[3]{\frac{W \cdot E_e^2}{R_2^2}} \quad (2.70.)$$

În relațiile de mai sus k este un coeficient ce ține cont de raportul dintre cele două raze și are valori cuprinse între 0,338 – 1,28.

Mărimea sarcinii pe roată se poate stabili cu relația:

$$W = K_1 K_2 W_{\max} \quad (2.71.)$$

în care K_1 este un coeficient ce ține cont de felul acționării și regimul de exploatare al mașinii de ridicat (1 pentru mașini de ridicat acționate manual sau acționate mecanic în regim de exploatare ușor, 1,2 pentru regim de exploatare mijlociu, 1,4 pentru regim de exploatare greu și 1,6 pentru regim de exploatare foarte greu);

W_{\max} – sarcina maximă pe roată

K_2 – coeficient ce ține cont de raportul dintre greutatea sarcinii de ridicat Q și greutatea proprie a mașinii de ridicat Q_m , care se calculează cu relația:

$$K_2 = \sqrt[3]{\frac{1}{2} \left(1 + \frac{1}{1 + \frac{Q}{Q_m}} \right)} \quad (2.72.)$$

Calea de rulare o constituie șinele pentru căi normale cu forma secțiunii pătrată, dreptunghiulară, șină de macara și șină de cale ferată, la care se adaugă tipuri de profile laminate normale și speciale folosite mai ales la căile de rulare suspendate (fig. 2.64.a,c și d), sau tip cheson (fig. 2.64.e și f)

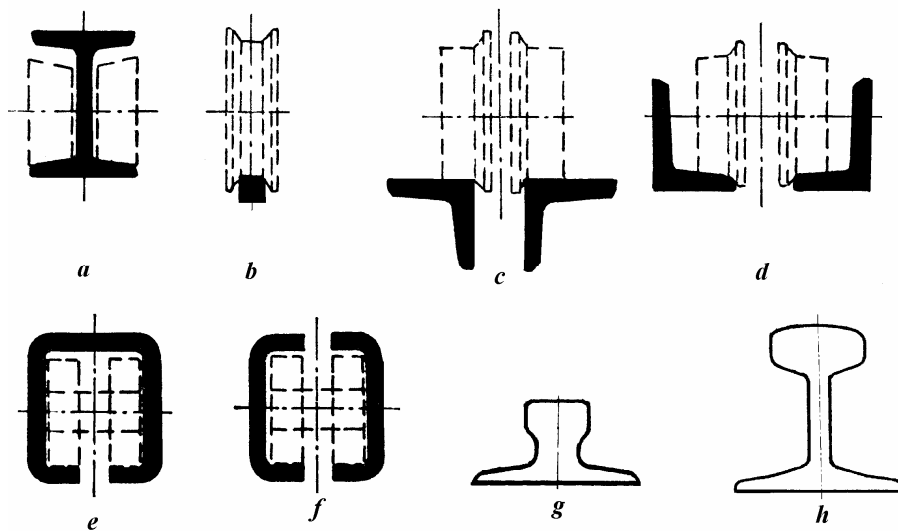


Fig. 2.64. Profilul căii de rulare

Șinele pătrate (fig. 2.64.b) și dreptunghiulare sunt confecționate din oțel laminat și sunt folosite la mașinile de ridicat cu regim ușor și mediu de exploatare. În condiții grele de exploatare se produce o turtire a suprafeței de rulare, care în contact cu buzele roții de rulare determină creșterea uzurii și a rezistenței la deplasare. Acest dezavantaj se elimină prin rotunjirea sau teșirea muchiilor suprafeței de rulare.

Șinele de macara cu suprafață de rulare plană (fig. 2.64.g) sau bombată (fig. 2.64.h) sunt folosite la mașinile de ridicat cu regim de exploatare greu și foarte greu. Au lățimea mare a tălpii, fapt ce ușurează mult montajul. Șinele de cale ferată se pot folosi cu deosebire la mașinile de ridicat care au calea de rulare pe sol.

Șinele pentru căi suspendate sunt executate din profile laminate normale și speciale și ele trebuie să îndeplinească o serie de cerințe precum:

- rigiditate generală și locală mare;
- greutate proprie mică;
- viteză de uzură redusă;
- rezistență mică la deplasarea cărucioarelor;
- construcții simple, cu gabarit și greutate proprii reduse ale cărucioarelor și dispozitivelor auxiliare.

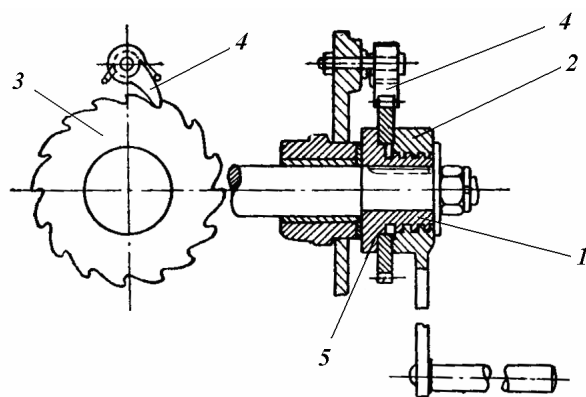
Principalele tipuri de profile laminate normale și speciale folosite la alcătuirea căilor suspendate sunt profilele I, L și T.

2.6. Mecanismele mașinilor și echipamentelor de ridicat

O mașină de ridicat poate avea mișcări de translație în plan vertical, mișcări de translație în plan orizontal și mișcări de rotație. Numărul mecanismelor de acționare și felul lor depinde de complexitatea mișcărilor cerute mașinii. Indiferent de tipul mecanismului, pentru punerea lui în mișcare se pot utiliza, după importanța și cerințele exploatarei, mijloace de acționare manuale și mecanice.

Acționarea manuală. Din cauza forței limitate a omului, acționarea manuală se întrebuițează numai la aparatele de ridicat cu capacități de ridicare relativ mici și pentru deplasarea pe distanțe scurte a sarcinilor. Se întrebuițează mai ales la acționarea troliilor de montaj transportabile, a cricurilor și palanelor, a macaralelor simple și a podurilor rulante cu frecvență de utilizare redusă și perioade scurte de activitate sau ca rezervă în eventualitatea defectării acționării mecanice.

După tipul și specificul aparatelor de ridicat, dispozitivele de acționare manuală a mecanismelor pot fi: manivele simple, manivele cu siguranță, pârghii cu clichet și roți de manevră cu lanț de mână calibrat.



Manivelele simple sunt executate dintr-un braț din oțel forjat, care se fixează pe capul pătrat al arborelui sau osiei de antrenare și mânerul din oțel rotund îmbrăcat cu lemn, pentru a proteja mâinile. Se întrebuițează la acționarea cricurilor cu cremalieră, a vinciurilor pentru locomotive și vagoane, a troliilor de perete și a celor de montaj, a macaralelor rotitoare de mică capacitate.

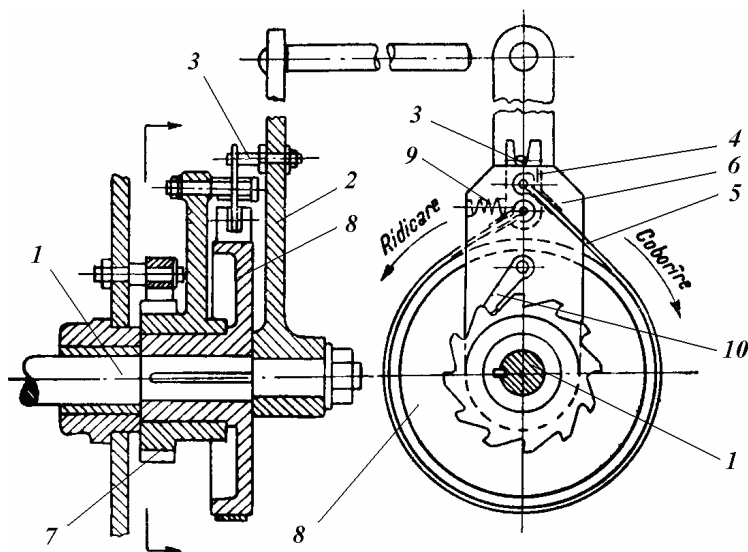
Fig. 2.65. Manivelă de siguranță

Manivele de siguranță (figurile 2.65. și 2.66.) evită accidente la coborârea sarcinilor, pinionul motor putând fi decuplat prin deplasarea axială a arborelui cu manivele, sarcina fiind coborâtă cu frâna de mână, care există la majoritatea troliilor.

La manivela din figura 2.65. pe capătul arborelui de comandă, este fixat cu pană manșonul filetat 1, pe care se înșurubează butucul 2 al manivelei. Între discul manșonului și butuc se rotește roata de clichet 3. Rotind manivela în sensul ridicării, butucul se deplasează prin înșurubare spre stânga apăsând roata de clichet pe discul 5. Datorită frecării roata 3 se va roti sub clichet odată cu manșonul și cu manivela. Rotind manivela în sensul coborârii, se slăbește

strângerea dintre roata de clichet și piesele 2 și 5. Roata 3 se eliberează dar este reținută de clichet, în timp ce manivela și arborele se rotesc în sensul coborârii. Dacă turația arborelui tinde să accelereze sub influența sarcinii, manivela întârzie față de arbore și roata 3 va fi presată din nou, blocând rotirea cu ajutorul clichetului 4. Ca urmare, sarcina va fi coborâtă doar cu viteza permisă de rotirea manivelei. Încetând acționarea manivelei, roata 3 este blocată iar sarcina va rămâne suspendată.

Fig. 2.66. Manivelă de siguranță



O construcție la care coborârea sarcinii se poate face cu manivela în poziție fixă este cea prezentată în figura 2.66. Pe arborele 1 este montată liber manivela 2, pe brațul căreia este fixat bulonul 3, care acționează asupra pârghiei 4, de care este fixat capătul 5 al benzii de frână. Celălalt capăt al benzii este fixat în brațul 6 al roții cu clichet 7, liberă pe butucul discului de frână 8.

Dacă manivela este menținută într-o poziție de repaus după o fază de ridicare, sarcina va fi oprită de discul de frână 8 și roata 7, care este blocată de clichetul 10. Dacă manivela este rotită în sensul ridicării, la tensiunea resortului 9 asupra pârghiei 4 se adaugă și cea a brațului 2. Banda 5 strânge puternic discul 8 și îl antrenează în sensul ridicării. Clichetul 10 patinează pe roata 7.

Dacă manivela este rotită numai puțin în sensul coborârii, presiunea dintre bandă și discul 8 scade, astfel că acesta din urmă fiind eliberat se va roti în sensul coborârii sub influența sarcinii, cu manivela ținută într-o poziție fixă. În acest fel pericolul accidentării personalului prin antrenarea manivelei de către sarcină este înlăturat și sarcina va putea coborî cu o viteză acceptabilă, prin acțiunea repetată de apăsare a manivelei în sensul coborârii.

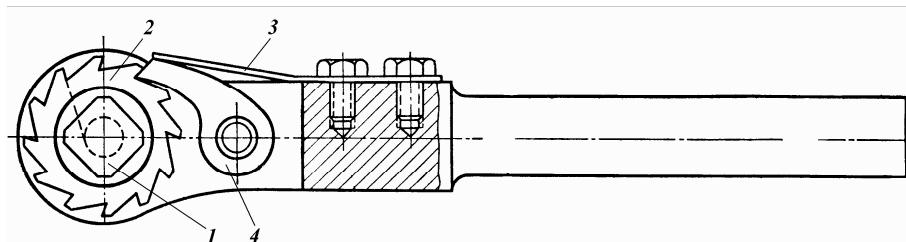


Fig. 2.67. Pârghia cu clichet

Pârghia cu clichet (fig. 2.67.) servește numai la acționarea mecanismelor cu autofrânare (vinciuri cu șurub și cu melc). Ea se așează cu gaura pătrată 1 a roții de clichet pe capătul arborelui, după sensul în care trebuie rotit. Clichetul 4 montat pe un ax este menținut în contact cu roata de clichet 2 de către arcu 3, fixat prin șuruburi pe corpul pârghiei. Brațul pârghiei este acționat manual și prin mișcarea înainte – înapoi, se obține rotirea axului vinciului în sensul ridicării, respectiv coborârii.

Atunci când axul tobei pe care se înfășoară organul flexibil de tracțiune este dispus la o înălțime mare față de pardoseală (cum ar fi cărucioarele și podurile rulante acționate manual), se utilizează roata de manevră (fig. 2.68.). Realizată din fontă turnată, roata 4, montată cu pană pe arborele de comandă 1, are formă asemănătoare roților cu locașuri, dar cu diametrul mult mai mare. Peste roată se înfășoară un lanț calibrat 2 cu zale scurte și care servește ca organ de tracțiune pentru acționarea roții. Pentru a evita ca lanțul să sară de pe roată, aceasta este prevăzută cu un ghidaj din tablă 3, montat liber pe axul de comandă.

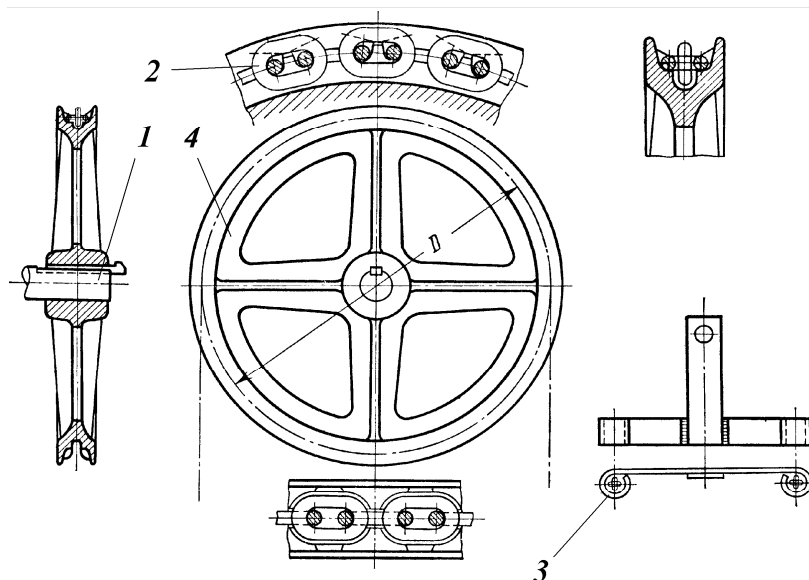


Fig. 2.68. Construcția roții de manevră

Acționarea electrică. Chiar dacă în unele cazuri, pentru acționarea mașinilor de ridicat se mai folosesc motoare cu ardere internă, acționare hidraulică sau pneumatică, marea majoritate a mașinilor de ridicat sunt construite pentru acționare electrică. Aceasta are avantajul transmiterii la distanță a energiei electrice, costuri mult diminuate comparativ cu celelalte tipuri de acționare, siguranță în exploatare, posibilitatea automatizării procesului de lucru.

Acționarea electrică permite folosirea electromotoarelor de curent continuu sau alternativ, a frânelor cu comandă electromagnetică, a aparaturii de comandă, protecție, semnalizare și iluminat, fapt ce permite intrarea imediată în funcțiune a instalațiilor mașinii de ridicat, fără a fi necesară o pregătire prealabilă. Totodată, se poate acționa separat fiecare mecanism al mașinii de ridicat, cu posibilitatea ușoară de inversare a sensului de mișcare.

Un element foarte important în alegerea tipului de motor electric în constituie regimul de exploatare al acestuia. În funcție de ciclul real de funcționare, corelat cu ciclurile tipizate, pe baza cărora s-au proiectat motoarele, sunt nouă servicii tip definite prin standard, notate cu S1 până la S9, trei dintre acestea fiind de interes pentru mașinile de ridicat:

- S3 – serviciul de tip intermitent periodic, caracterizat printr-o succesiune de cicluri identice, care cuprind o perioadă de funcționare în regim constant și o perioadă de repaus, durata lor fiind insuficientă pentru atingerea echilibrului termic pe timpul unui ciclu;
- S4 – serviciul de tip intermitent periodic cu perioadă de pornire, caracterizat printr-o succesiune de cicluri identice, care cuprind o perioadă de funcționare în regim constant și o perioadă de repaus, durata lor fiind insuficientă pentru atingerea echilibrului termic pe timpul unui ciclu, dar curentul de pornire influențează sensibil încălzirea motorului;
- S5 – serviciul de tip intermitent cu perioadă de pornire și frânare electrică, caracterizat printr-o succesiune de cicluri identice, fiecare caracterizat printr-o perioadă de pornire, de funcționare în regim constant, de frânare rapidă electrică și de repaus, durata lor fiind insuficientă pentru atingerea echilibrului termic pe timpul unui ciclu.

Ca urmare a pierderilor prin histerezis magnetic și curenți turbionari, a frecărilor și rezistivității conductorilor electrici, în timpul exploatării motoarele electrice se încălzesc, iar pentru a permite utilizarea lor în condiții de siguranță, temperatura maximă pe care o pot atinge acestea nu trebuie să depășească valorile maxime admisibile.

Pentru un motor electric cu temperatura T , în timpul dt ecuația bilanțului termic se poate scrie sub forma:

$$p \cdot dt = K \cdot A \cdot T \cdot dt + m \cdot c \cdot dT \quad (2.73.)$$

în care p este puterea care se pierde, în W;

K – coeficientul global de transfer termic, în W/m^2K ;

A – suprafața de transfer termic cu mediul de răcire, în m^2 ;

m – masa motorului electric, în kg;

c – căldura specifică medie a motorului electric, în J/kgK .

De aici se poate obține valoarea temperaturii maxime de forma:

$$T_{\max} = \frac{p}{K \cdot A} \quad (2.74.)$$

Prin integrarea ecuației diferențiale, din condițiile inițiale ($t = 0$ și $T = T_0$) se obține legea de variație a temperaturii motorului electric în funcție de timp:

$$T = (T_0 - T_{\max})e^{-t/\Phi} + T_{\max} \quad (2.75.)$$

În relația de mai sus $\Phi = m \cdot c / K \cdot A$ și se numește constanta termică de timp.

Reprezentarea grafică a încălzirii, respectiv răcirii motorului electric este prezentată în figura 2.69.

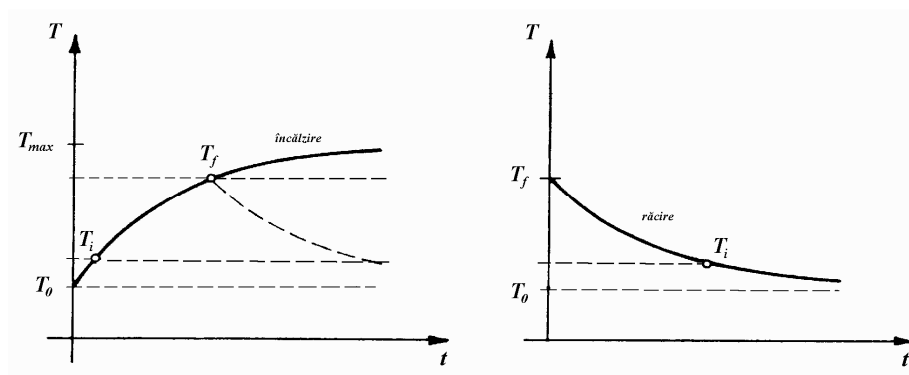


Fig. 2.69. Diagrama de încălzire și răcire a motoarelor electrice

Atât timp cât cantitatea de căldură cedată este mai mare decât cea produsă de funcționarea motorului, acesta se va răci. Acest lucru este valabil pentru încărcări de 15 – 20 % din sarcina nominală. Pentru exploatarea corectă a motorului electric se va stabili un regim de lucru care să asigure o încălzire maximă a acestuia sub valoarea maximă admisibilă T_{\max} .

Mecanisme de deplasare se folosesc la mișcarea cărucioarelor și a macaralelor pe șine sau pe căi de rulare.

Mecanisme pentru deplasarea cărucioarelor pe șine sunt folosite în construcția macaralelor și a podurilor rulante, fiind de tipul cu acționare manuală, cu acționare mecanică individuală (folosind electromotoare), respectiv cu acționare mecanică cu cablu (în cazul mecanismelor pentru variația deschiderii brațului macaralei).

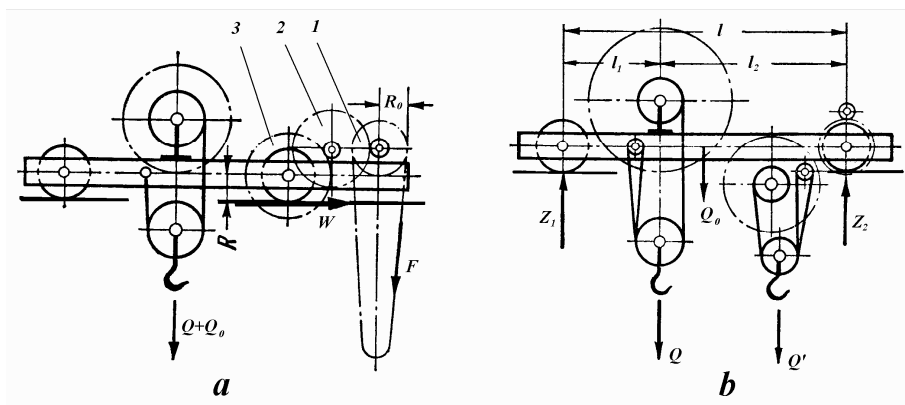


Fig. 2.70. Schema mecanismelor pentru deplasarea cărucioarelor cu acționare manuală

Cărucioare cu acționare manuală pot fi cu sarcina de suspendat dispusă simetric (fig. 2.70.a) sau nesimetric (fig. 2.70.b). În cel de-al doilea caz, pe cărucior sunt dispuse două mecanisme de ridicare, unul principal (Q) și unul auxiliar (Q'). Forța de acționare F aplicată lanțului roții de manevră 1 , prin intermediul roților dințate 2 și 3 , solidară cu roata de rulare, vor produce deplasarea căruciorului cu o viteză determinată. Dacă sarcina este dispusă simetric față de roțile de rulare, atunci pentru un cărucior cu patru roți presiunea pe o roată va fi:

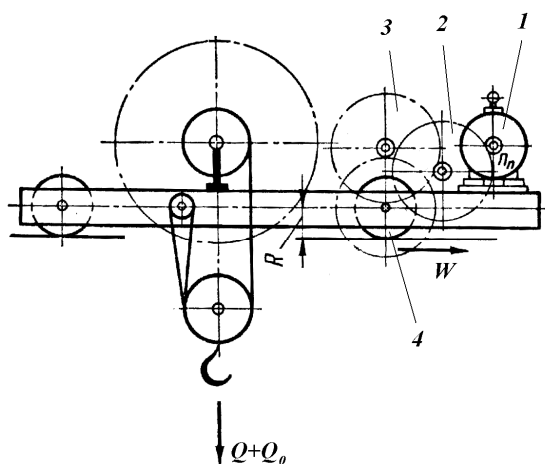
$$P_{\max} \cong \frac{Q + Q_0}{4} \quad (2.76.)$$

Dacă sarcina este dispusă nesimetric și lucrează doar mecanismul principal, atunci în roțile de rulare vor apărea reacții verticale diferite, astfel că vom avea presiuni pe cele două roți de forma:

$$P_{\max} = Z_1 \cong \frac{Q_0}{4} + \frac{Q l_2}{2 l} \quad (2.77.)$$

$$P_{\max} = Z_2 \cong \frac{Q_0}{4} + \frac{Q l_1}{2 l} \quad (2.78.)$$

În relațiile de mai sus Q este greutatea sarcinii de ridicat iar Q_0 este greutatea proprie a căruciorului.



În cazul căruciorului acționat prin electromotor (fig. 2.71.) mișcarea se transmite de la arborele motor 1 , prin intermediul unui grup de roți dințate cilindrice 2 și 3 , la arborele roților de rulare 4 . În regim de lucru stabilizat, trebuie învinsă rezistența la deplasare W și care depinde de coeficientul de rezistență la rulare și presiunea specifică pe roată.

Fig. 2.71. Cărucior acționat mecanic

La acționarea manuală a podului rulant (fig. 2.72.) de la roata de manevră mișcarea se transmite prin două perechi de roți dințate cilindrice care, pun în mișcare două roți de rulare ale podului rulant.

În acest caz, presiunea specifică pe roată va avea o valoare variabilă, în funcție de poziția căruciorului de care se află suspendată sarcina. Valoarea maximă a ei va fi atunci când sarcina este suspendată la cârlig iar căruciorul se găsește în spațiul mort d al deschiderii (d reprezintă distanța între poziția extremă a cârligului și axa șinei podului rulant).

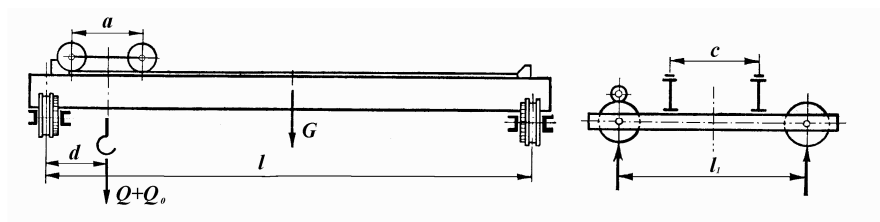


Fig. 2.72. Pod rulant acționat manual

Presiunea maximă pe roata de rulare se poate determina cu relația:

$$P_{\max} \cong \frac{G}{4} + \frac{Q + Q_0}{2} \frac{l - d}{l} \quad (2.79.)$$

Rezistența la deplasare a podului rulant acționat manual se poate stabili cu ajutorul relației:

$$W = \beta(Q + Q_0)w \quad (2.80.)$$

În relația de mai sus β este un coeficient ce depinde de tipul lagărului roților de rulare (1,2 – 1,4 pentru lagăre cu alunecare și 2,4 – 5,1 pentru lagăre cu rostogolire), iar w este coeficientul de rezistență la deplasare și care depinde de construcția roților și a căii de rulare.

Viteza de deplasare a podului în m/min se calculează cu relația:

$$v = \frac{60 \cdot \eta \cdot c \cdot F \cdot R_0}{M_r} \quad (2.81.)$$

în care M_r este momentul rezistent la arborele roții de rulare ce trebuie învins;

η - randamentul total al mecanismului;

c - viteza medie a roții de acționare;

R_0 - raza roții de acționare.

Mecanismul de deplasare a unei macarale în consolă este compus din roțile de ghidare superioare și inferioare 1 , montate libere pe ax și două roți de rulare verticale 2 (fig. 2.73.) care lucrează simultan, ce primesc mișcarea de rotație de la un electromotor, prin intermediul unei transmisii mecanice cu roți dințate. Pentru o poziție a căruciorului cu sarcina suspendată la cârlig, în punctele de sprijin apar reacțiunile orizontale H și reacțiunea verticală V .

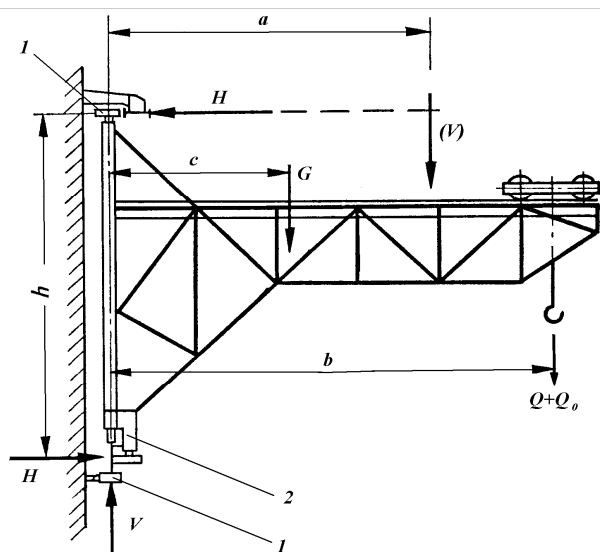


Fig. 2.73. Schema de încărcare a macaralei în consolă

Valoarea maximă a presiunii pe roțile de ghidare orizontale va fi:

$$P_{\max}^o = \frac{H}{2} = \frac{(Q + Q_0) \cdot b + G \cdot c}{2 \cdot h} \quad (2.82.)$$

În relația de mai sus căruciorul se află în poziția de deschidere maximă și cu sarcina suspendată, iar G reprezintă greutatea macaralei fără cărucior.

Presiunea maximă pe roata de rulare se determină din proiecția de forțe de direcția verticală:

$$P_{\max}^v = \frac{Q + Q_0 + G}{2} \quad (2.83.)$$

Pentru deplasarea macaralei trebuie învinse atât rezistența la rulare a roților verticale, cât și rezistența opusă de roțile de ghidare, ca urmare a forțelor ce acționează asupra lor. Dacă se notează cu R_1 raza roților verticale, R_2 raza roților orizontale, d_1 și d_2 diametrele axelor celor două roți, atunci rezistența totală la deplasarea macaralei se poate determina cu relația:

$$W = \frac{Q + Q_0 + G}{R_1} \left(\mu \frac{d_1}{2} + k \right) + 2 \frac{(Q + Q_0)a + G \cdot c}{R_2 h} \left(\mu \frac{d_2}{2} + k \right) \quad (2.84.)$$

În relație μ este coeficientul de frecare din lagăre, iar k este coeficientul de frecare la rostogolire.

Mecanismul de deplasare al macaralei velocipede este solicitat în moduri diferite, după cum brațul acesteia este poziționat pe direcția de deplasare sau sub un unghi deferit de aceasta. Schema de încărcare a mecanismului de deplasare este prezentată în figura 2.74.

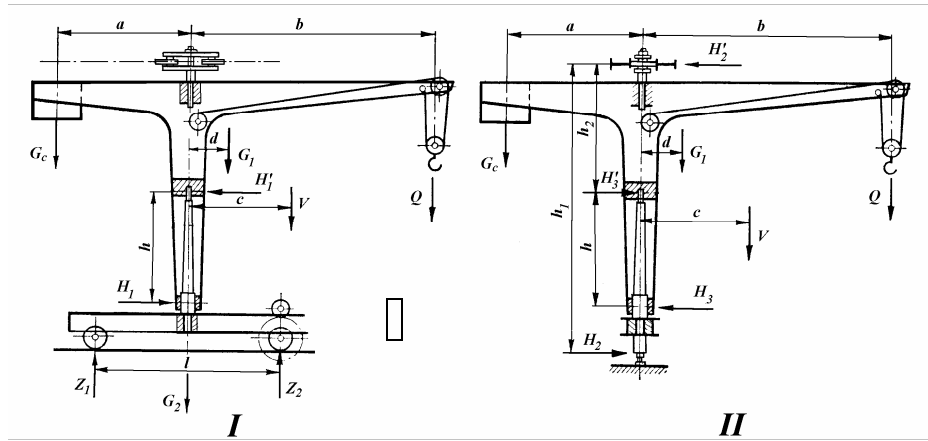


Fig. 2.74. Schema macaralei velocipede

Dacă brațul macaralei este așezat pe direcția mișcării (poz. I), atunci reacțiunea verticală V va fi suma greutateii sarcinii Q , a contragreutății de echilibrare G_c și a greutateii părții rotitoare G_1 . Reacțiunile orizontale ale reazimelor coloanei vor avea forma:

$$H_1 = H_1' = \frac{Q \cdot b + G_1 \cdot d - G_c \cdot a}{h} \quad (2.85.)$$

În această situație momentul produs de greutatea proprie a macaralei trebuie compensată în totalitate de către contragreutate.

Dacă brațul macaralei este așezat perpendicular pe direcția mișcării (poz. II), atunci reacțiunile orizontale ale reazimelor vor fi:

$$H_2 = H_2' = \frac{Q \cdot b + G_1 \cdot d - G_c \cdot a}{h_1} \quad (2.86.)$$

iar reacțiunile orizontale din coloană:

$$H_3 = H_2 \frac{h_1 - h_2}{h} \text{ și } H_3' = H_2 \frac{h_1 - h_2 - h}{h} \quad (2.87.)$$

Reacțiunile Z_1 și Z_2 pe roțile de rulare depind de poziția brațului macaralei și implicit de variațiile reacțiunilor orizontale.

Rezistența la deplasare a macaralei depinde, ca și în cazul precedent, de rezistențele roților de rulare orizontale și verticale, respectiv de pierderile prin frecare în lagărele acestora.

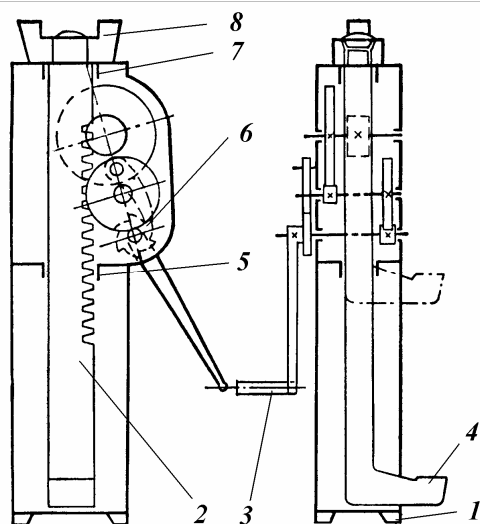
2.7. Mașini și echipamente de ridicat

Sub denumirea generală de mașini de ridicat se înțeleg două categorii distincte și anume aparate de ridicat și macarale.

Dintre aparatele de ridicat fac parte vinciurile sau cricurile (acționate manual și care ridică sarcini la înălțimi mici), palane cu acționare electrică sau manuală și trolile cu acționare manuală sau mecanică.

Combinate cu alte mecanisme și construcții, se obțin mașini de ridicat complexe de tipul macarale sau ascensoare, unde aparatele devin parte componentă a acestora și execută unele dintre operații.

Cricurile sunt utilizate la ridicarea unor sarcini prin împingerea lor de jos în sus, la înălțimi relativ mici. Din punct de vedere constructiv cricurile pot fi cu cremalieră, cu șurub sau hidraulice. Ele sunt aparate de ridicat care, după folosire, se deplasează manual către noul amplasament.



Ele sunt aparate de ridicat care, după folosire, se deplasează manual către noul amplasament.

Cricurile cu cremalieră (fig. 2.75.) au în construcția lor un mecanism de tip pinion – cremalieră, acționat manual prin intermediul unei transmisii cu roți dințate cilindrice cu dantură cicloidă sau în evolventă. Sarcina de ridicat poate fi rezemată atât pe capul rotativ 8, cât și pe talpa inferioară 4. Pentru a evita coborârea sarcinii se montează un opritor cu clichet 6.

Fig. 2.75. Cric cu cremalieră: 1- talpă sprijin; 2- cremalieră; 3- manivelă; 4- talpă inferioară; 5,7- ghidaje cremalieră; 6- opritor cu clichet; 8- suport rotativ

Pentru a putea ridica o sarcină Q este necesar învingerea unui moment de torsiune $M_t = Q \cdot r$, r fiind raza cercului primitiv al pinionului aflat în angrenare cu cremaliera. Dacă se ține cont de faptul că forța de acționare la manivelă F este limitată, atunci trebuie realizat un raport de transmisie convenabil și care se obține din relația:

$$i_t = \frac{M_t}{F \cdot R \cdot \eta_t} = \frac{Q \cdot r}{F \cdot R \cdot \eta_t} \quad (2.88.)$$

În relația de mai sus R reprezintă raza manivelei iar η_t este randamentul transmisiei și care depinde de numărul de roți dințate.

Viteza de ridicare a sarcinii depinde viteza unghiulară a pinionului ce angrenează cu cremaliera (dependentă de viteza tangențială a mânerului manivelei, v_t) și prin urmare de raportul de transmisie:

$$v = v_t \frac{r}{R \cdot \eta_t} \quad (2.89.)$$

Capacitatea de ridicare a cricurilor cu cremalieră este cuprinsă între 5 – 200 kN, înălțimea de ridicare nedepășind 350 – 400 mm.

În practică se regăsesc și alte variante constructive de cricuri cu cremalieră precum cele cu carcasă mobilă și cu pârghie.

Cricurile cu șurub (fig. 2.76.) au un randament mai scăzut decât cele cu cremalieră, precum și o viteză de ridicare mai mică, de aceea ele se folosesc, de regulă, la sprijinirea sarcinilor în timpul unor operații de montare – demontare.

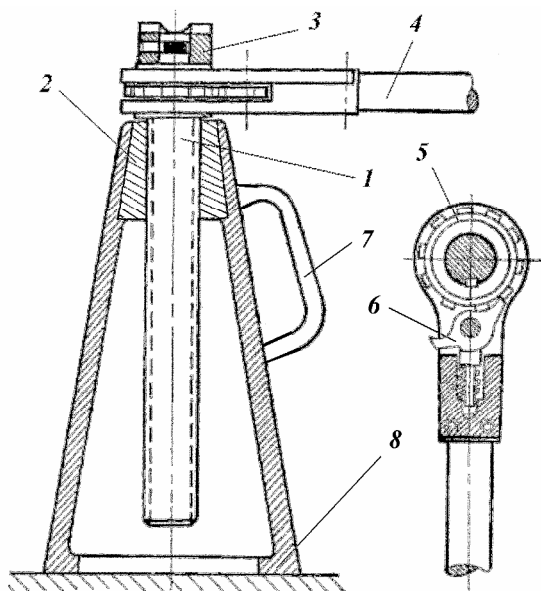


Fig. 2.76. Cric cu șurub

Pe șurubul cu filet trapezoidal (pentru autofrânare) 1 se află montată cu pană pârghia cu clichet 4. Prin rotirea șurubului în piulița fixă 2, acesta se va deplasa în sus sau în jos, în funcție de sensul de acționare a pârghiei (sensul de rotire al roții de clichet 5 este dat de poziția clichetului 6). Cricul se așează pe talpa de sprijin 8 iar sarcina pe capul rotativ 3, pentru deplasarea lui fiind prevăzută mânerul 7.

Ca și în cazul precedent forța necesară pentru acționarea pârghiei trebuie să învingă momentul de torsiune rezistent și care depinde de sarcina de ridicat Q , de frecarea dintre șurub și piuliță, respectiv de frecarea din capul rotativ pe care se sprijină sarcina de ridicat:

$$M_t = Q[r_m \operatorname{tg}(\alpha + \rho) + \mu \cdot r] \quad (2.90.)$$

unde r_m este raza medie a șurubului;

α - unghiul de înclinare a elicei mediane și care realizează autofrânarea;

ρ - unghiul de frecare dintre șurub și piuliță;

μ - coeficientul de frecare din capul de sprijin rotativ;

r - raza medie a suprafeței capului de sprijin.

Datorită efectului de autofrânare a angrenajului șurub - piuliță, cricurile cu șurub nu necesită dispozitive de blocare, sunt mai compacte față de cricurile cu cremalieră, nu necesită transmisii cu roți dințate, dar au dezavantajele prezentate anterior. Cricurile cu șurub sunt concepute pentru a ridica sarcini de până la 10 tone.

Cricurile hidraulice cu acționare manuală sunt aparate ce pot ridica sarcini de până la 750 tone, având posibilitatea de a obține rapoarte de transmitere mari la gabarite reduse, sunt sigure în exploatare ca urmare a lipsei transmisiilor mecanice, dar au viteze de ridicare foarte mici, de până la 10 mm/min. Ca lichid de lucru se folosesc uleiul hidraulic, iar pe timp de iarnă apă cu glicerină sau apă cu alcool.

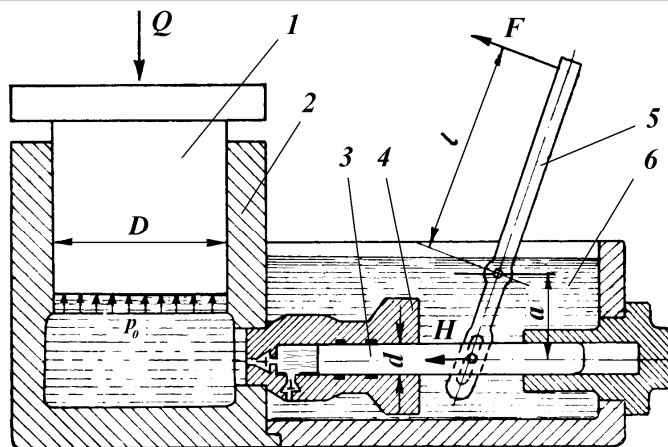


Fig. 2.77. Cric hidraulic: 1- piston; 2- cilindru; 3- piston pompă; 4- cilindru pompă; 5- pârghie; 6- rezervor ulei.

Prin acționarea pârghiei 5 (fig. 2.77.) pistonul pompei 3 va trimite lichidul din rezervorul 6 în partea inferioară a cilindrului de lucru 2, pentru aceasta, în capul cilindrului 4 sunt prevăzute două supape care lucrează una pentru aspirație, iar alta pentru refulare. Lichidul sub presiune va împinge pistonul 1 pe care se află rezemată

sarcina de ridicat Q . Pentru coborârea sarcinii este acționată o supapă de descărcare calibrată, astfel încât viteza de coborâre să fie limitată la o valoare convenabilă.

Lichidul ce acționează asupra pistonului, în ipoteza neglijării frecărilor dintre pistoane și cilindri, determină o presiune care trebuie să o învingă pe cea generată de sarcina de ridicat:

$$p_0 = \frac{Q}{\frac{\pi \cdot D^2}{4}} = \frac{H}{\frac{\pi \cdot d^2}{4}} \quad (2.91.)$$

Rezultă că forța necesară în pistonul pompei va fi:

$$H = Q \left(\frac{d}{D} \right)^2 \quad (2.92.)$$

Din ecuația de echilibru a pârghiei ce acționează pistonul pompei se poate obține mărimea forței necesare a fi aplicate la capătul pârghiei, pentru a ridica sarcina Q :

$$F = H \frac{a}{l} = Q \left(\frac{d}{D} \right)^2 \frac{a}{l} \quad (2.93.)$$

Dar în realitate forța efectivă pentru acționarea pârghiei este afectată de pierderile prin frecarea pistoanelor cu cilindrii, astfel că în relația de calcul intervine și randamentul cricului η :

$$F = Q \left(\frac{d}{D} \right)^2 \frac{a}{l} \frac{1}{\eta} \quad (2.94.)$$

Viteza de ridicare a sarcinii este viteza pistonului cu sarcina de ridicat:

$$v = \left(\frac{d}{D} \right)^2 \beta \cdot l \cdot n_d \quad (2.95.)$$

în care n_d este numărul de curse duble pe secundă ale pârghiei;

β - coeficient ce ține cont de pierderile de lichid prin etanșeități, $\beta = 0,90 \dots 0,95$.

Un model de cric cu șurub, dar cu acționare electrică, este cel prezentat în figura 2.78. și care se întâlnește cu regularitate în cadrul atelierelor de reparații auto. Aici, în coloanele 1 se găsesc șuruburile cu filet trapezoidal sau pătrat ce se rotesc, antrenate pe la partea inferioară prin intermediul unei transmisii cu lanț 3, deplasare pe verticală fiind imprimată piulițelor care, au montate de suportul lor două brațe telescopice 2. Prin poziționarea acestor brațe sub punctele de ridicare prevăzute de constructor, sarcina de ridicat (autovehiculul) este deplasată pe verticală la înălțimea necesară.

Șuruburile sunt montate pe lagăre le cele două capete ale coloanei, iar piulița cu suportul și brațele telescopice se deplasează pe ghidajele prevăzute în coloane. Acționarea se face de la un electromotor, printr-un reductor și o transmisie cu lanț Galle, șuruburile având montate pe pană, la capătul inferior câte o roată de lanț cu același număr de dinți. Pentru a evita un eventual accident, lanțul transmisiei este fie îngropat în pardoseală, fie acoperit cu o apărătoare din tablă care să reziste la trecerea roților autovehiculului.

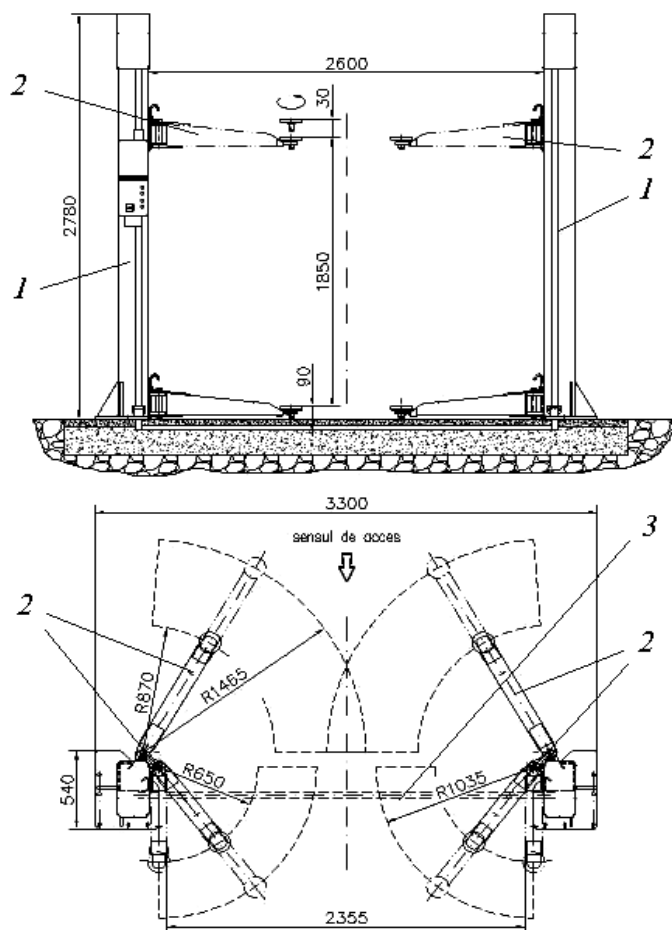
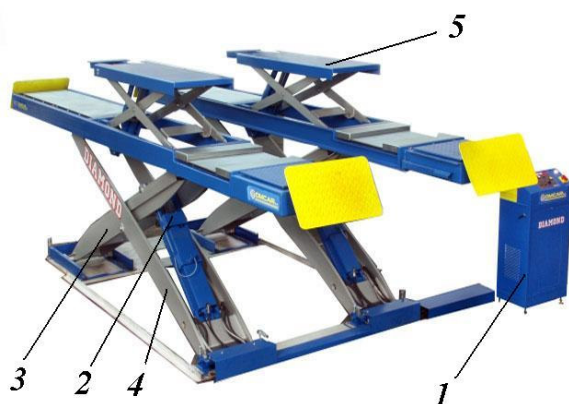


Fig. 2.78. Construcția unei mașini de ridicat pentru autovehicule



Platformele de lucru sunt mașini folosite la ridicarea unor sarcini în vederea executării unor operații sau chiar la ridicarea de persoane în vederea efectuării unor intervenții. În figura 2.79. este prezentată o platformă de ridicat a cărei acționare este realizată prin intermediul unor cilindri hidraulici 2.

Fig. 2.79. Platformă de ridicat acționată hidraulic

Pompa de ulei aflată în blocul de comandă 1, trimite uleiul sub presiune, iar cilindrii de forță (doi în acest caz) acționează asupra brațelor articulate și culisante 3 care, împreună cu brațele 2 (formează un ansamblu de tip foarfece) ridică sau coboară sarcina, în funcție de circuitul hidraulic comandat.

Palanele sunt aparate de ridicat independente sau parte componentă a macaralelor. Cele independente au o construcție simplă care realizează înălțimi de ridicare mult mai mari decât

cricurile, dar fiind suspendate deasupra sarcinii, necesită folosirea de organe pentru suspendarea și apucarea sarcinii.

După tipul organului flexibil de tracțiune palanele pot fi cu cablu din oțel, cu lanț sudat și cu lanț tip Galle.

După caracteristicile constructive palanele pot fi cu organ flexibil pentru ridicare (cele mai cunoscute sunt palanele simple și diferențiale), respectiv palane cu organ flexibil de ridicare și transmisie dințată (care pot fi cu acționare manuală sau electropalane).

În construcția macaralelor palanele sunt montate pe cărucioare pentru căi suspendate, considerate ca mecanisme auxiliare ale acestora.

Palanul cu angrenaj melcat și acționare manuală (fig. 2.80.), este prevăzut cu posibilitatea de deplasare pe o cale de rulare. Lanțul sudat 1 acționează asupra roții de manevră 2, montată solidar cu axul melcat 3. Acesta rotește roata melcată 4 și odată ea roata dințată 5, ridicând sau coborând sarcina suspendată la cârlig, după cum este sensul de rotație a roții de manevră. Pentru a evita coborârea sarcinii sub acțiunea greutății proprii, pe axul melcat este prevăzut dispozitivul de blocare 6.

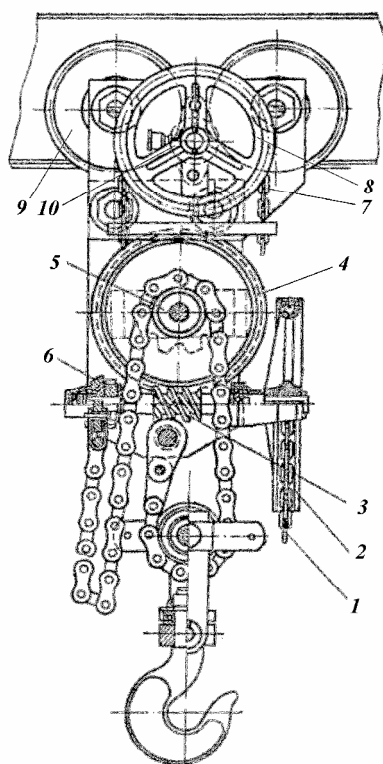


Fig. 2.80. Palan cu lanț Galle



Fig. 2.81. Palan cu lanț sudat

Pentru deplasarea palanului se acționează lanțul 7 ce rotește roata de manevră 8, pe care este solidarizată roata de rulare motoare 10, roțile 9 fiind folosite în special pentru a asigura susținerea palanului pe calea de rulare.

În figura 2.81. este prezentat un palan la care deplasarea ansamblului pe calea de rulare se face prin tragerea efectivă a lanțului sudat ce acționează asupra roții de manevră pentru ridicare.

Palanul din figura 2.82 este unul acționat manual și cu specificația că el este transportabil, fiind prevăzut cu cârlige pentru prinderea la un reazim fix (suport tip capră, grindă de tavan) sau la un cărucior special, caz în care se poate realiza și deplasarea sarcinii.



Fig. 2.82. Palan cu lanț sudat transportabil

Electropalanele (fig. 2.83.) au în construcția lor un mecanism de acționare cu motor electric și o transmisie prevăzută cu organe de blocare. Ele pot fi transportabile (fig. 2.83.a) când realizează doar ridicarea și coborârea sarcinii sau deplasabile (fig. 2.83.b), când permit și deplasarea palanului pe o cale de rulare, prin tragerea manuală de mânerul prevăzut în acest scop.

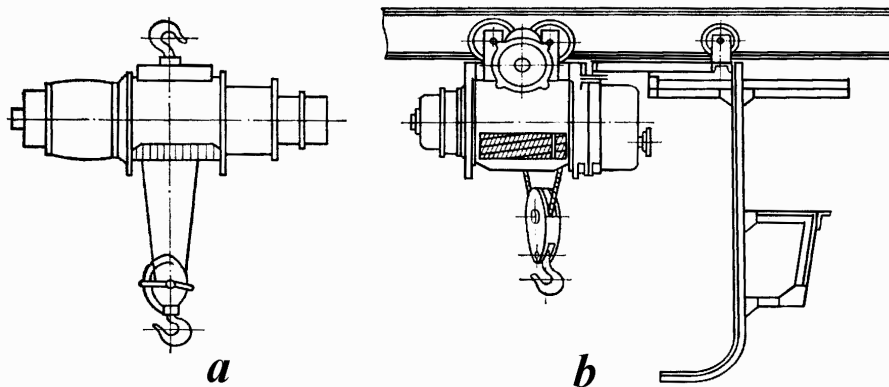


Fig. 2.83. Electropalane

În construcția podurilor rulante și a macaralelor se folosesc cu deosebire electropalane la care toate operațiile sunt acționate mecanic.

Troliile sunt aparate de ridicat ce pot fi independente sau ca parte a unor macarale ori ascensoare. Troliile independente pot fi cu acționare manuală, prin intermediul uneia sau două manivele, ori cu acționare mecanică. În construcția lor se regăsesc una sau mai multe tobe pentru înfășurarea cablului din oțel, o transmisie cu roți dințate (în majoritatea cazurilor) sau angrenaj melcat, iar în funcție de numărul tobelor, una sau mai multe frâne, toate dispuse pe un șasiu, într-o construcție compactă.

Caracteristic troliilor este faptul că ele pot fi folosite atât la ridicarea sarcinii pe verticală, cât și la deplasarea lor pe o suprafață cu înclinare cuprinsă între $0 - 90^0$.

Troliul din figura 2.83 este fixat pe un perete și acționat de către manivelele 1 și prin transmisia cu roți dințate rotește toba 2, pe care se înfășoară organul flexibil de tracțiune. Ca dispozitive de blocare a sarcinii se folosește o roată 3 cu clichetele 4 și frână cu banda 6 ce strânge roata de frână 7, sub acțiunea brațului cu contragreutate 4.

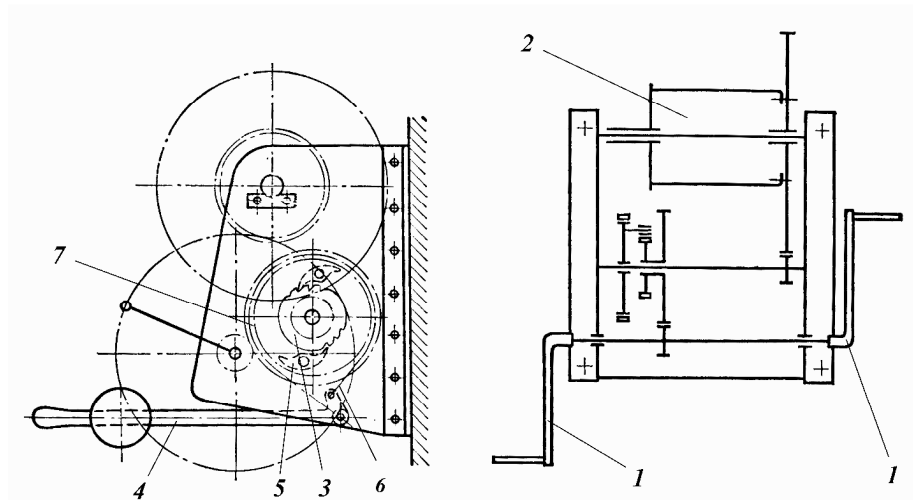


Fig. 2.84. Trolu de perete acționat manual

În cazul troluilor acționate manual se pune problema raportului de transmisie al roților dințate, astfel ca forța necesară a fi aplicată la capetele manivelei să învingă momentul rezistent creat de sarcina Q . Momentul rezistent depinde de forța F_c din ramura organului flexibil care se înfășoară pe toba ci diametrul D și de randamentul tobei η :

$$M_t = F_c \frac{D}{2} \frac{1}{\eta} \quad (2.96.)$$

Forța din ramura organului flexibil ce se înfășoară se determină cu relația (vezi cap. 2.2.):

$$F_c = \frac{Q}{i_p} \frac{1}{\eta_p} \frac{1}{(\eta_r)^n} \quad (2.97.)$$

unde i_p este raportul de transmitere al palanului;

η_p - randamentul palanului;

η_r - randamentul unei role (n fiind numărul de role pe care se abate organul flexibil de tracțiune până la toba troluului).

Cu aceste date, raportul de transmisie al troluului, ținând cont de faptul că forța aplicată de om la manivelă este limitată, va fi:

$$i_t = \frac{M_t}{z \cdot F \cdot R} \frac{1}{\eta_t} = \frac{1}{i_p} \frac{Q \cdot D}{2 \cdot z \cdot F \cdot R} \frac{1}{\eta \cdot \eta_p \cdot \eta_t \cdot (\eta_r)^n} = \frac{1}{i_p} \frac{Q \cdot D}{2 \cdot z \cdot F \cdot R} \frac{1}{\eta_g} \quad (2.98.)$$

în care z este numărul de manivele ale troluului (z poate fi 1 sau 2);

F - forța aplicată la manivela troluului;

R - raza manivelei;

η_t - randamentul transmisiei dințate a troluului;

η_g - randamentul global al troluului.

Viteza de ridicare a sarcinii este limitată de turația manivelei și este tot mai mică, pe măsură ce crește mărimea sarcinii de ridicat, asta deoarece pentru acționarea manuală a troluilor, sunt necesare rapoarte de transmisie tot mai mari. Cu toate acestea troluile pot fi folosite la ridicarea unor sarcini de până la 10 tone, unele dintre ele având din construcție posibilitatea modificării raportului de transmisie.

Troluile acționate mecanic primesc mișcarea de la un motor electric, prin intermediul unei transmisii mecanice cu roți dințate, către una sau mai multe tobe. Pe arborele motor sunt

prevăzute dispozitive de frânare și blocare, iar pentru asigurarea independenței funcționale a tobelor, sunt montate cuplaje cu frecare și frâne separate.

Podurile rulante fac parte din categoria macaralelor rulante și sunt cele mai folosite în interiorul atelierelor, halelor sau magaziiilor, iar în unele situații și în exterior la deservirea unor depozite. Ele sunt realizate în diferite variante, în funcție construcție (numărul grinzilor, poziția căii de rulare, deschidere, numărul aparatelor de ridicat, modul de acționare al mecanismelor) și condițiile de exploatare (sarcina de lucru, locul de funcționare și regimul de exploatare).

Podurile rulante monogrindă pot fi cu acționare manuală (fig. 2.85.), când au o deschidere de până la 15 m și sarcina maximă de 50 kN, respectiv cu acționare mecanică, atunci când au o deschidere de până la 30 – 32 m și sarcina maximă de 100 kN.

Din punct de vedere constructiv podul monogrindă este alcătuit dintr-o grindă principală, de obicei un profil I, pe talpa sa inferioară deplasându-se căruciorul cu palanul manual.

Acționarea podului din figura 2.84 se realizează prin intermediul lanțurilor sudate și a roților cu locașuri aferente. Astfel, pentru ridicarea și coborârea sarcinii se acționează roata 5, cu ajutorul lanțului 6, care la rândul ei trimite mișcarea de rotație către toba palanului. Pentru deplasarea căruciorului cu sarcina suspendată se acționează cu lanțul 7, roata motoare 8, care va rula pe talpa inferioară a profilului grinzii.

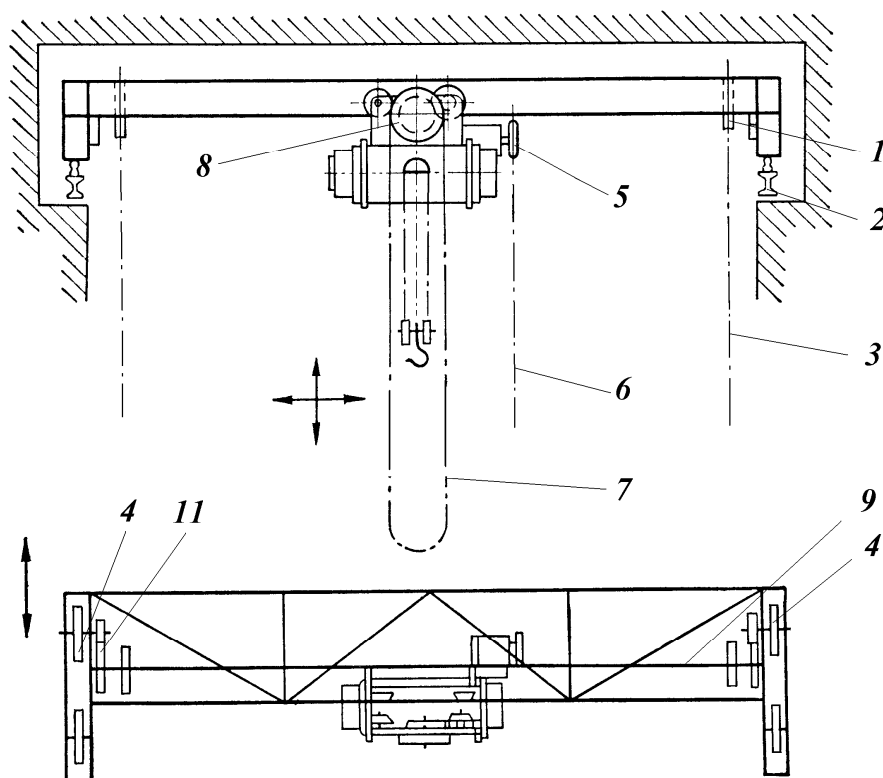


Fig. 2.85. Pod rulant monogrindă cu acționare manuală

Pentru deplasarea podului rulant pe șinele 2, cu lanțul 3 se rotește roata 1, solidară cu axul 9 și care, prin intermediul unei perechi de roți dințate 11 antrenează roțile motoare 4. Acest lucru se poate realiza la ambele capete ale podului rulant el fiind prevăzut cu două astfel de mecanisme.

Din condiția de o mai bună rezistență la deformare, în multe cazuri, se folosesc construcții cu două grinzi cu inimă plină, dar mai ales compuse de tipul cu zăbrele. Acestea permit deschideri mari ale podului, dar și posibilitatea de a folosi două aparate de ridicat. În marea majoritate podurile rulante cu două grinzi au mecanisme de acționare independente, comandate cu motoare electrice, fapt ce realizează o mai mare viteză de manipulare a sarcinilor.

Podul rulant cu două grinzi și cale de rulare joasă (fig. 2.86.) este alcătuit din grinzile 1 și 2, asamblate și prevăzute cu calea de rulare 4 pe care se deplasează căruciorul cu electropalan 3. Tot pe cărucior se află și roțile de rulare 5, cu transmisia aferentă pentru deplasarea sarcinii în lungul podului rulant. Pentru deplasarea podului rulant este prevăzut electromotorul 6 care transmite mișcarea către roțile motoare ale acestuia și rularea lor pe șinele montate pe structura de rezistență a construcției.

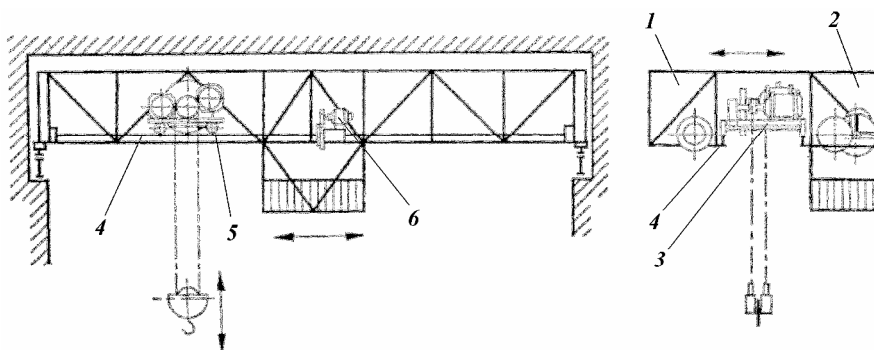


Fig. 2.86. Pod rulant cu două grinzi și cale de rulare joasă

Podul rulant din figura 2.87. este de tipul cu două grinzi și cale de rulare sus, acționarea acestuia fiind identică cu podul rulant precedent.

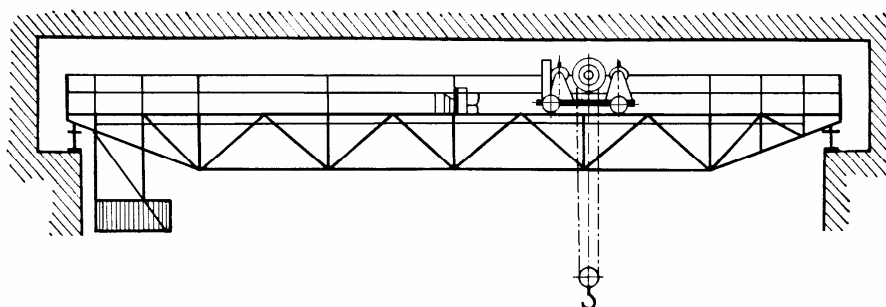


Fig. 2.87. Pod rulant cu două grinzi și cale de rulare sus

Macaralele de tip semicapră și capră și-au luat denumirea după forma scheletului lor și se folosesc foarte mult în mecanizarea lucrărilor în depozite.

Macaraua semicapră (fig. 2.88.) se poate folosi atât în exterior, cât și în interior, caracteristic fiind faptul că ea se deplasează pe două căi de rulare (șine), din care una este montată pe sol, iar a doua pe console ale construcției, fapt ce îmbunătățește stabilitatea acesteia.

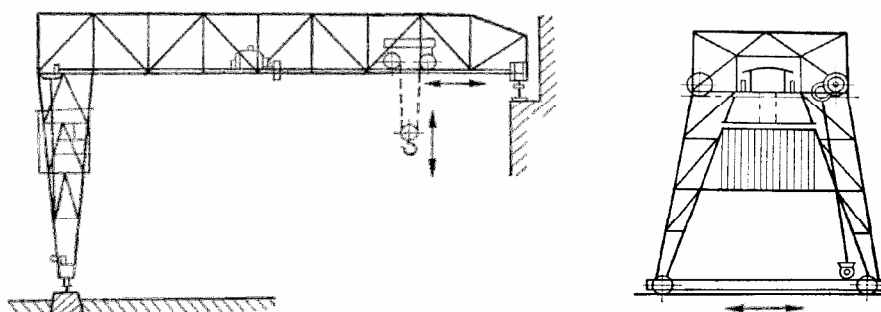


Fig. 2.88. Macara semicapră

Căruciorul cu electropalanul aferent se deplasează pe o cale de rulare montată pe tălpile inferioare ale grinzilor macaralei (se coboară astfel centrul de greutate), iar acționarea este în totalitate mecanică.

Macaraua capră din figura 2.89. are ambele părți ale scheletului rezemate pe două șine, o asemenea construcție ridicând unele probleme privind stabilitatea în timpul lucrului, iar datorită înălțimii mari se adaugă și forța vântului ce poate duce la răsturnarea ei.

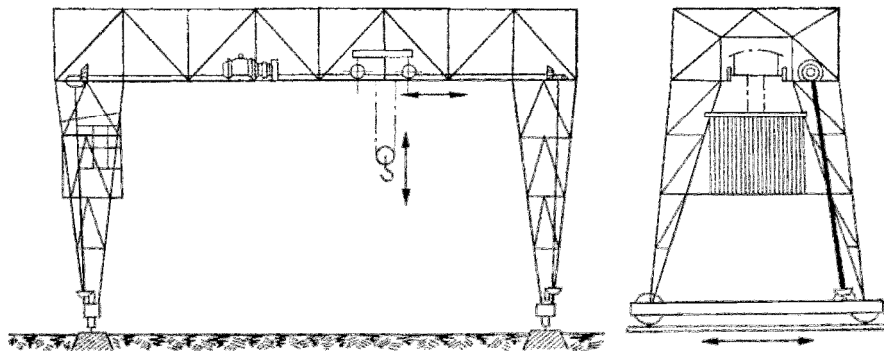


Fig. 2.89. Macara capră

Macaralele rotitoare și staționare sunt utilizate ținând cont de condițiile de amplasare și domeniul de lucru limitat de raza lor de acțiune. Așa cum le spune și numele, caracteristica lor comună este faptul că ele se pot roti în jurul unui ax vertical.

Cea mai simplă construcție este macaraua de perete rotitoare cu tirant și acționare manuală, prezentată în figura 2.90. Pe brațul profilat 1 (de obicei profil I) se deplasează rolele 4 ale căruciorului cu palan. Ridicarea și coborârea sarcinii se face cu lanțul 2 și roata de manevră 3, deplasarea în lungul brațului prin tragerea căruciorului și tot prin tragerea lanțului 2, rotirea coloanei în lagărele 5 și 6.

Macaraua în consolă cu braț fix din figura 2.91 este de tipul cu acționare mecanică. Căruciorul se deplasează pe căile de rulare montate pe cele două grinzi, iar podul translează cu totul pe șinele fixate pe console în construcția clădirii. Pentru stabilitatea macaralei, la partea superioară este prevăzut un ghidaj.

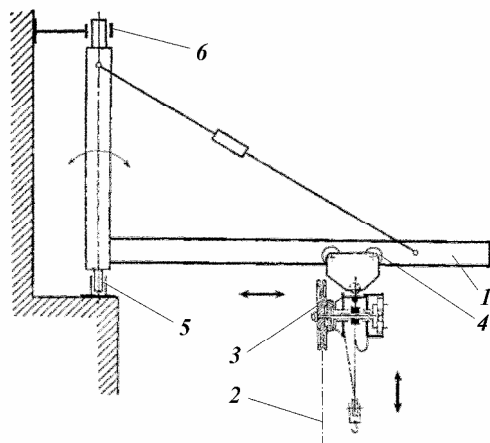


Fig. 2.90. Macara de perete cu braț rotitor

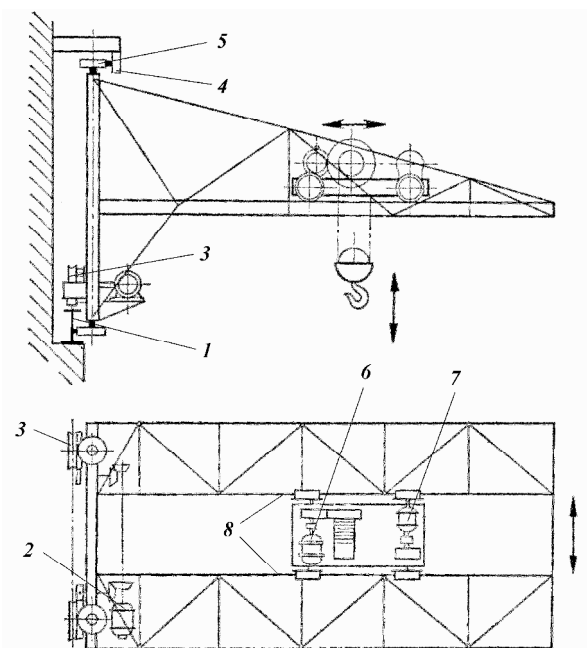


Fig. 2.91. Macara în consolă cu braț fix: 1- șină rulare macara; 2- motor acționare meca-nism rulare macara; 3- roți de rulare; 4- ghidaj; 5- rolă sprijin; 6- motor acționare palan; 7- motor pentru deplasare căru-cior; 8- căi de rulare cărucior.

O altă construcție este prezentată în figura 2.92. și care reprezintă o macara staționară rotitoare, cu braț cu deschidere variabilă, ea putând fi cu acționare manuală sau mecanică. Astfel de macarale au o deschidere de până la 7 m și capacitate de ridicare de maxim 10 tone.

Talpa inferioară se montează pe fundația clădirii iar reazimul superior se fixează de peretele clădirii. Pe brațul macaralei se deplasează un cărucior cu patru roți. În cazul acționării mecanice, trolul de ridicare se amplasează la partea inferioară a construcției metalice.

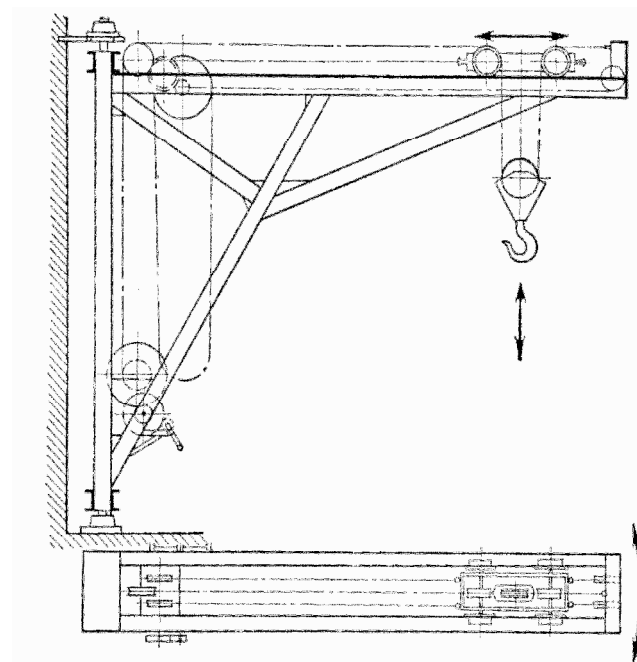


Fig. 2.92. Macara cu coloană rotitoare cu deschidere variabilă

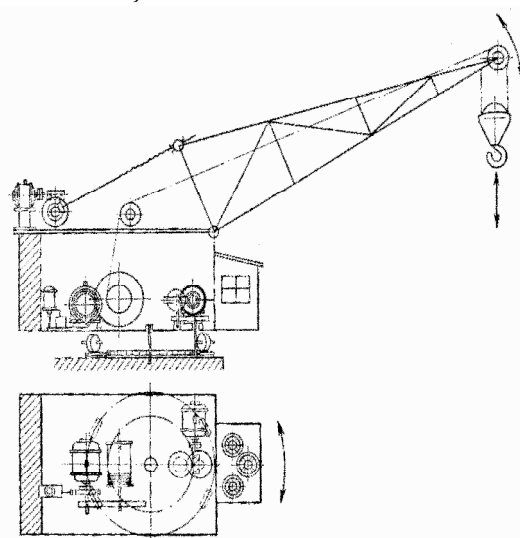


Fig. 2.93. Macara staționară cu coloană rotitoare

Macaraua din figura 2.93. este de tipul staționară cu coloană și braț fix, fiind montată pe fundația clădirii. Atât ridicarea – coborârea sarcinii, cât și rotirea macaralei se realizează cu transmisii mecanice.

Pentru a mări domeniul de lucru se poate folosi o macara de tipul staționară cu placă turnantă și braț cu deschidere variabilă (fig. 2.94.). Corpul macaralei este așezat pe o placă de construcție specială care permite rotirea întregului ansamblu.

Macaraua este acționată mecanic și asigură ridicarea și coborârea sarcinii, ridicarea și coborârea brațului, respectiv rotirea macaralei.

În interiorul halelor sau a depozitelor se poate folosi și o macara de tipul celei din figura 2.95.

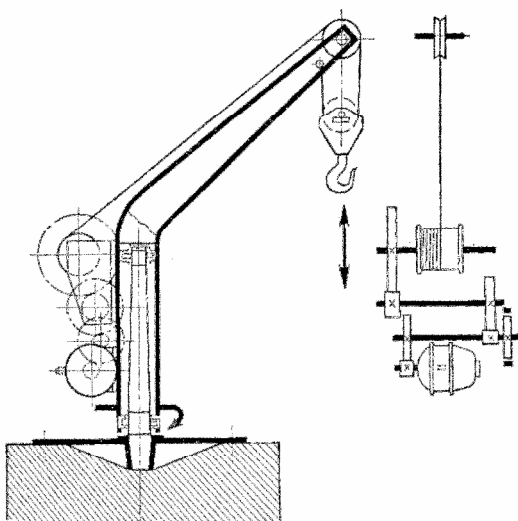


Fig. 2.94. Macara staționară cu placă turnantă

Pe tavanul clădirii sunt prevăzute două căi de rulare pe care se deplasează întregul ansamblu al macaralei. Pe căruciorul suspendat se montează dispozitivul de rotire și brațul macaralei cu palanul și mecanismele de acționare ale macaralei.

Macaralele rotitoare deplasabile elimină dezavantajul celor staționare prin faptul că pot deservi suprafețe mult mai mari. Ele se montează pe echipamente de rulare care pot fi cu șină, pe șenile sau pe roți cu pneuri.

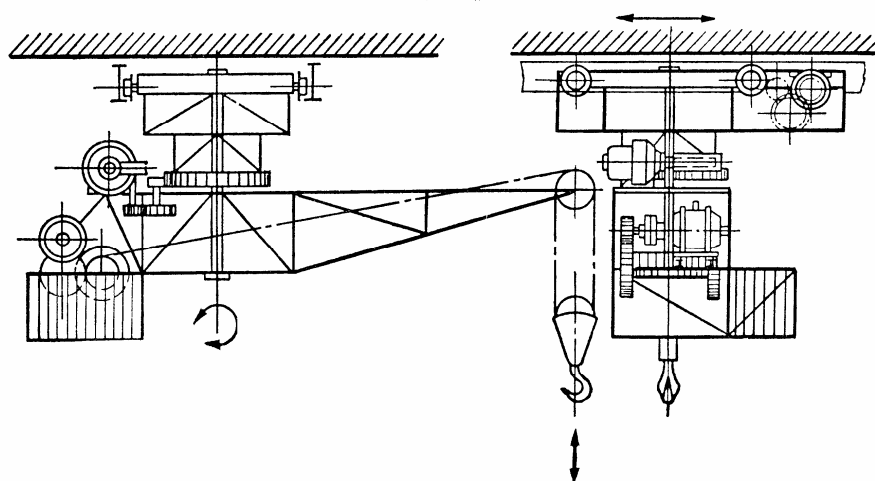


Fig. 2.95. Macara de tavan cu cărucior și braț rotitor

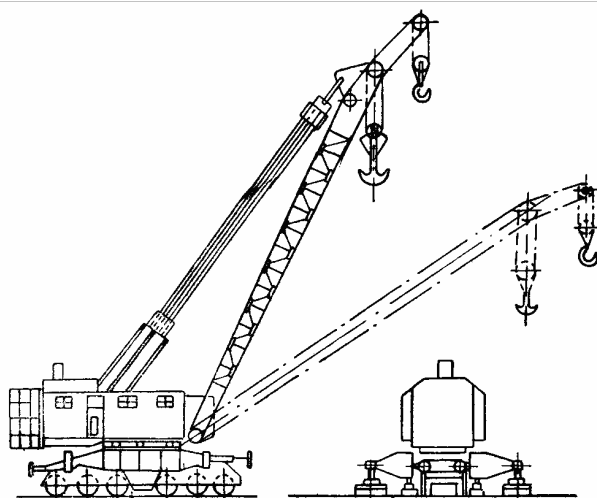


Fig. 2.96. Macara rotitoare deplasabilă pe șine

Macaraua din figura 2.96 este de tipul rotitoare, cu braț cu deschidere variabilă și se deplasează pe o cale de rulare de tip șină fixată pe sol. Pentru a mări stabilitatea macaralei aceasta are prevăzut în construcția sa reazime laterale, mărind astfel și capacitatea de ridicare.

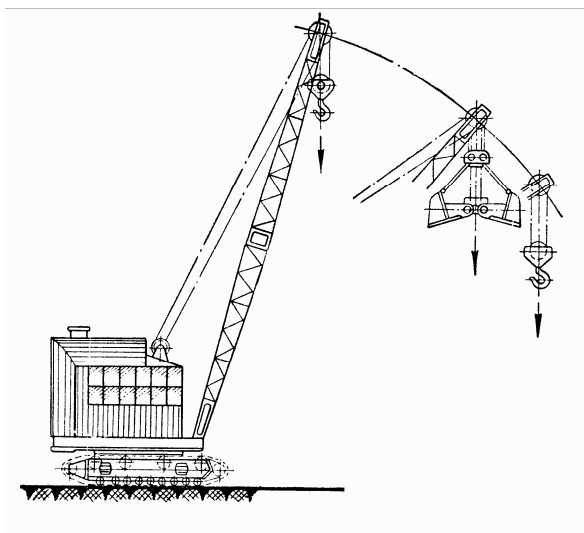


Fig. 2.97. Macara rotitoare pe șenile

Macaraua rotitoare pe șenile din figura 2.97. permite deplasarea ei în orice loc este necesar, fără a mai fi nevoie de sprijin suplimentar. Acționarea mecanismelor se face cu energia de la motorul cu ardere internă propriu.

Au dezavantajul că se deplasează cu viteză mică și pot parcurge distanțe mici de la o lucrare la alta.

Automacaraua sau macaraua montată pe un autovehicul cu roți (fig. 2.98. permite deplasarea cu viteze mari la locul de destinație, dar are capacități de ridicare mică.

Pentru a evita deformarea pneurilor ea este

prevăzută cu patru tălpi de rezemare, ceea ce permite atât creșterea stabilității macaralei, cât și mărirea capacității de ridicare.

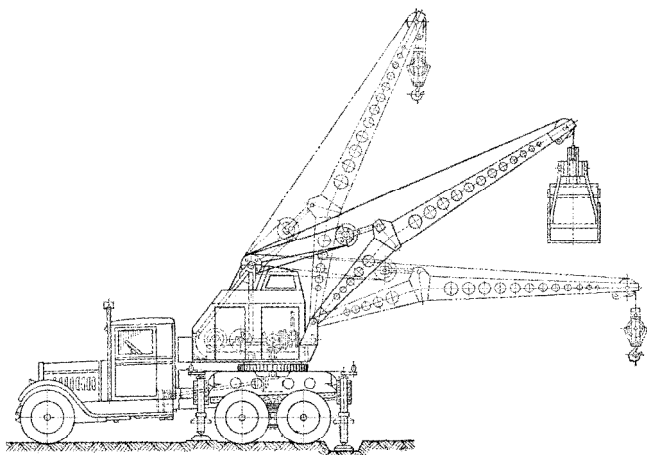


Fig. 2.98. Macara montată pe autovehicul cu roți

Ascensoarele sunt mașini de ridicat cu acțiune intermitentă destinate pentru transportul pe verticală, a persoanelor și a materialelor, având o cabină, un vas sau o platformă, care se deplasează pe glisier.

Ascensoarele se pot clasifica după mai multe criterii:

- după viteza nominală avem: ascensoare cu viteză mică (sub 0,4 m/s), cu viteză mijlocie (0,4-0,8 m/s),

viteză mare (0,8-1,5 m/s) și viteză foarte mare (peste 1,5 m/s);

- după sistemul de comandă avem cu comandă exterioră, cu comandă interioară și cu comandă mixtă;

- după forma golului în care se deplasează: puțuri complet închise (beton, zidărie) și puțuri semiînchise (construcții metalice, plase de sârmă);

- după regimul de lucru: cu regim ușor (până la 30 de porniri pe oră), cu regim mijlociu (între 30-60 porniri pe oră), cu regim greu (între 60-120 porniri pe oră) și cu regim foarte greu (peste 120 porniri pe oră).

Ascensoarele pot fi cu cabină (pentru persoane și materiale) și cu skip (vas cu autogolire) pentru materiale vărsate.

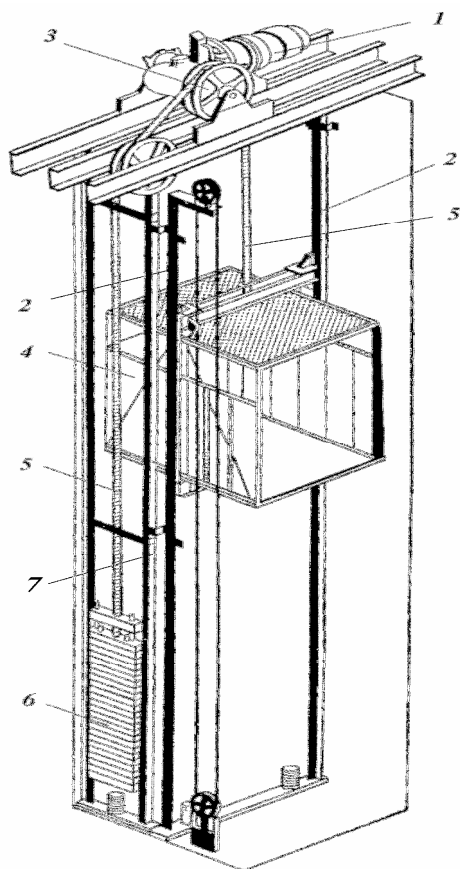


Fig. 2.99. Ascensor cu cabină

ascensoarele sunt echipate cu dispozitive speciale de prindere în cazul ruperii cablului (se blochează mișcarea cabinei pe glisieră), respectiv cu reglatoare de viteză (dispozitive obligatorii la ascensoarele de persoane). La acestea se adaugă frânele cu saboți și alte sisteme de frânare, necesare exploatării ascensoarelor.

Părțile principale ale ascensorului (fig. 2.99.) sunt grupul de acționare 1, glisierele (ghidajele) cabinei 2, trolul 3, cabina sau platforma 4, organul flexibil de tracțiune (cablul) 5, contragreutatea 6 și ghidajul contragreutății 7.

Pentru a evita blocarea mișcării, atât cabina, cât și contragreutatea se deplasează pe glisieră sau ghidaje, fiind echipate cu patine de ghidare.

Contragreutatea este folosită pentru a echilibra cabina și o parte din sarcina de ridicat, reducând astfel și încărcarea motorului electric.

Organul de acționare al ascensoarelor poate fi tobă de cablu, pentru înălțimi de ridicare mici sau roată de fricțiune, pentru înălțimi de ridicare mari.

Cablul din oțel folosit la construcția ascensoarelor se verifică la forța maximă de rupere:

$$F_r = k \frac{Q + Q_0}{n} \quad (2.99.)$$

unde Q este sarcina maximă de ridicat, Q_0 este greutatea proprie a cabinei și a cablului, n este numărul ramurilor de cablu de care este suspendată cabina, iar k este un coeficient de siguranță cu valori cuprinse între 8 – 14, în funcție de viteza de ridicare și coborâre a cabinei.

Tot din considerente de siguranță,

III. MAȘINI ȘI INSTALAȚII DE TRANSPORT CONTINUU

Spre deosebire de instalațiile descrise în capitolele precedente și care erau caracterizate prin faptul că aveau o acțiune intermitentă, instalațiile de transport continuu asigură transportul fără întrerupere al unui flux continuu de sarcini (care pot fi materiale vărsare, sarcini individuale și uneori persoane), între două puncte situate la același nivel sau la nivele diferite. Ele poartă denumirea de conveioare sau preferabil, transportoare.

Din punct de vedere al principiului lor de funcționare aceste instalații pot fi împărțite în două categorii:

- transportoare cu organ flexibil de tracțiune (transportoare cu bandă, cu raclete, cu cupe, elevator, transportoare suspendate, etc.);

- transportoare fără organ flexibil de tracțiune (transportoare melcate, cu role, gravitaționale, inerțiale, pneumatice, etc.).

La transportoarele din prima categorie, organul flexibil de tracțiune poate fi în același timp și purtătorul sarcinii, un exemplu fiind transportorul cu bandă la care banda de lucru servește atât la tracțiunea unor organe care poartă sarcina, cât și la susținerea sarcinii. Transportoarele fără organ flexibil de tracțiune realizează deplasarea sarcinii prin diferite moduri, variate și care vor fi studiate pentru fiecare caz în parte.

Din punct de vedere al direcției de mișcare, fiecare din cele două categorii de mai sus se pot subdivide în:

- transportoare care lucrează mai ales pe orizontală sau care urcă și coboară sub un unghi redus, mai mic decât unghiul de alunecare a materialului transportat

- transportoare care lucrează mai ales pe verticală sau cu înclinări mici față de verticală;

- transportoare care pot lucra sub orice unghi, realizând trasee complexe în spațiu.

Instalațiile de transport continuu au un rol determinant în mecanizarea și automatizarea proceselor de producție. În general, aceste instalații cuprind, în afară de mașina propriu-zisă de transportat, diferite echipamente auxiliare: dispozitive de încărcat, dispozitive de descărcat, echipamente de cântărit, buncăre de depozitare și repartizare sau dozare a materialului.

Transporturile efectuate de aceste instalații pot fi exterioare (între vagon și depozit sau între depozit și punctul de lucru ori interioare (în atelierele de lucru, caz în care materialul poate suferi și o operație tehnologică, cum ar fi uscarea acestuia).

Transporturile interioare între unele operații sunt efectuate și de către mașini de transport fără șine, care lucrează la același nivel (electrocare) sau combină transportul cu ridicarea sau coborârea (electrostivuitoare, motostivuitoare).

3.1. Productivitatea transportoarelor

Prin productivitatea unui transportor se înțelege cantitatea de material transportată în unitatea de timp, exprimată în t/h sau kg/h.

Dacă pe fiecare metru liniar al transportorului în mișcare se află q kilograme de material (q se mai numește și sarcina liniară, în kg/m), iar viteza de înaintare a materialului este v , în m/s, atunci transportorul va realiza o productivitate orară:

$$Q = \frac{1}{1000} 3600 \cdot q \cdot v = 3,6 \cdot q \cdot v, \text{ în t/h} \quad (3.1.)$$

Dacă în locul unui material vărsat se transportă sarcini individuale de G kilograme fiecare, situate la distanța de a metri între ele, productivitatea orară va fi:

$$Q = 3,6 \cdot q \cdot v = 3,6 \cdot \frac{G}{a} v, \text{ în t/h} \quad (3.2.)$$

Productivitatea poate fi mărită prin creșterea vitezei de transport v sau a sarcinii liniare q . Timpul de trecere a două sarcini individuale consecutive este $t = a/v$, astfel că se poate exprima productivitatea în numărul de bucăți pe oră:

$$n = \frac{3600}{t} = 3600 \frac{v}{a}, \text{ în buc./h} \quad (3.3.)$$

Toate relațiile stabilite sunt calculate în condiții de lucru ideale, când avem un strat continuu și uniform de materiale sau de sarcini individuale. În realitate, condițiile de lucru diferă și ca urmare productivitatea de calcul teoretic trebuie raportată la productivitatea medie, corectată de un coeficient de neuniformitate ($k = 1,1 - 1,5$):

$$Q_{calc} = Q_{med} \cdot k \quad (3.4.)$$

3.2. Organele flexibile de tracțiune

O parte a transportoarelor și diferitele variante ale acestora au ca element comun un organ flexibil de tracțiune, care poate fi:

- o bandă textilă, din cauciuc, din materiale plastice, din oțel sau împletitură de sârmă;
- unul sau mai multe lanțuri în paralel;
- unul sau mai multe cabluri în paralel.

Benzile pentru transportoare trebuie să corespundă unor cerințe specifice precum ar fi:

- ▶ rezistență mare la întindere pentru a putea prelua forța de tracțiune;
- ▶ elasticitate suficientă pentru a putea suporta un număr mare de îndoiri, la trecerea peste role;
- ▶ să nu se alungească mult în timpul exploatării;
- ▶ să fie rezistente la abraziune din partea materialului și la umiditate, eventual intemperii;
- ▶ să reziste la acțiunea chimică a produselor alimentare;
- ▶ să fie ușor de înădădit și reparat în caz de rupere.

Benzile textile corespund doar primelor trei cerințe, fapt care a dus la o folosire limitată a acestora și doar în condiții protejate.

Benzile de cauciuc corespund cel mai bine cerințelor impuse și de aceea sunt cele mai utilizate. Constructiv, banda este armată cu un număr de inserții care constau fie din straturi de pânză specială (țesătură de bumbac sau de fibre textile), fie din cabluri de cord (cabluri textile speciale), ori din fire de oțel, pentru a-i mări rezistența la tracțiune.

Cauciucul protejează inserțiile de agenții atmosferici și dă ansamblului benzii elasticitatea necesară. Inserțiile de pânză pot fi: tăiate la lățime și suprapuse (fig. 3.1.a); înfășurate din mai multe bucăți (fig. 3.1.b) sau dintr-o singură bucată (fig. 3.1.c); reduse treptat la mijlocul benzii (fig. 3.1.d) pentru a o face mai elastică în cazul în care lucrează sub formă de jgheab; cu un strat de azbest pentru protecția contra sarcinilor calde (fig. 3.1.e); întărite în axa neutră a benzii cu cabluri de cord sau din sârmă de oțel (fig. 3.1.f).

Deoarece benzile sunt realizate în rulouri de până la 100 m, capetele benzilor trebuie înădădite, pentru a realiza un traseu închis de lungime necesară. Înădădirea benzilor de cauciuc se poate face pe cale mecanică (prin plăci cu nituri sau balamale nituite) dar mai ales prin vulcanizare.

Calculul benzilor de cauciuc urmărește stabilirea greutateii proprii și a numărului de inserții, respectiv a forței de rupere.

Greutatea proprie a benzii se determină cu relația aproximativă:

$$q_B = 1,1 \cdot B(1,25 \cdot i + S_1 + S_2) \quad (3.5.)$$

unde B este lățimea benzii;

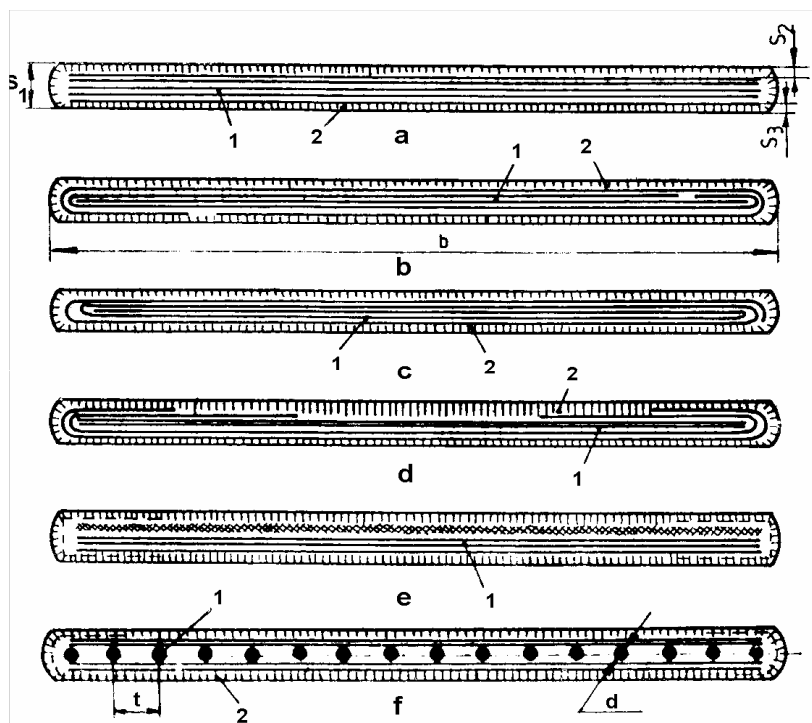


Fig. 3.1. Tipuri constructive de benzi transportoare din cauciuc

i – numărul inserțiilor;

S_1 – grosimea stratului de cauciuc de pe suprafața de lucru;

S_2 – grosimea stratului de cauciuc pe suprafața de sprijin.

Numărul de inserții necesar rezultă din relația:

$$i = \frac{c \cdot S_{\max}}{100 \cdot B \cdot K_r} \quad (3.6.)$$

în care c este coeficient de siguranță (are valori cuprinse între 9 – 11, în funcție de numărul de inserții);

S_{\max} – forța maximă de tracțiune la care este supusă banda;

K_r – forța de rupere a unei inserții pe un centimetru de lățime.

Benzile din materiale plastice sunt destinate transportului produselor alimentare și ele se realizează din în funcție de specificul fiecărei linii tehnologice din care fac parte, ca materiale se utilizându-se poliamida, poliuretanul, policlorură de vinil, etc. Banda poate fi continuă, cu sau

fără armături, având suprafața netedă sau cu striații pentru mărirea aderenței (fig. 3.2.a) sau formată din elemente articulate (fig. 3.2.b), care asigură o mai mare flexibilitate în plan transversal.

Tot din materiale plastice se realizează și unele transportoare din liniile de umplere și ambalare a produselor alimentare și care, prin forma elementelor articulate (fig. 3.3.), permit realizarea unor trasee complexe.

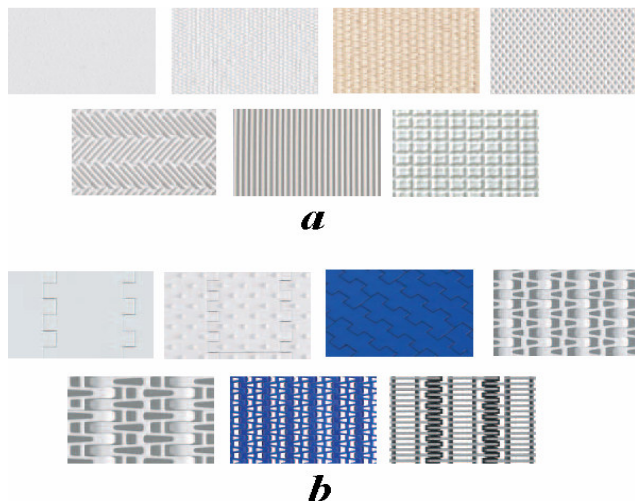


Fig. 3.2. Benzi din materiale plastice

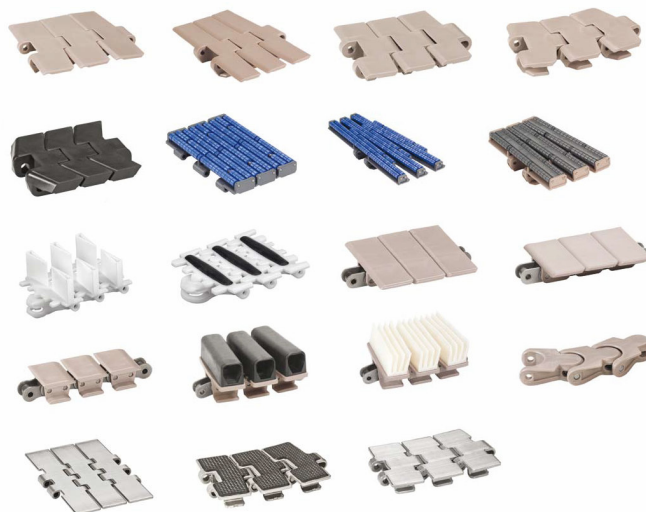


Fig. 3.3. Elemente articulate din construcția transportoarelor

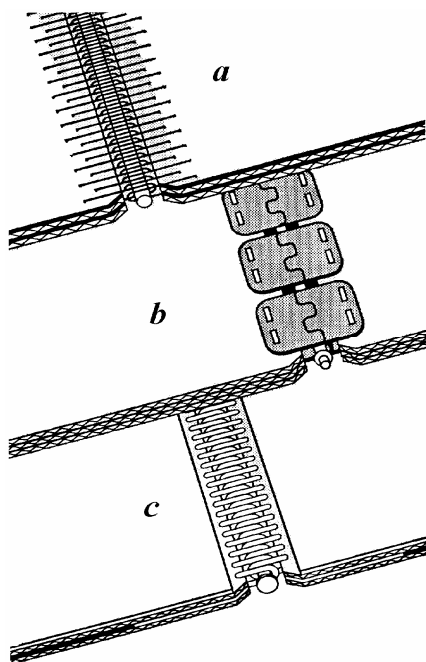


Fig. 3.4. Îmbinarea benzilor

Benzile din cauciuc, ca și unele benzi din materiale plastice, sunt realizate sub formă de rulouri cu lungime de până la 100 – 120 m, fapt care impune tăierea și îmbinarea lor la lungimea necesară. Benzile din cauciuc, de regulă, se vulcanizează iar cele din materiale plastice se îmbină prin lipire, cusut (fig. 3.4.a), cu agrafe (fig. 3.4.c) sau cu balamale (fig. 3.4.b).

Benzile de oțel sunt confecționate prin laminare la rece în grosimi de 0,6-1 mm și lățimi de până la 1 m. Benzile de oțel prezintă unele avantaje față de cele din cauciuc precum: rezistență mare la întindere și la rupere, preț de cost scăzut, performanțe superioare. Ca dezavantaje se pot menționa: elemente speciale de acționare, mai scumpe și faptul că laminarea benzii este destul de grea.

Ca urmare a faptului că aceste benzi sunt flexibile doar în plan longitudinal, ele nu pot funcționa în formă de jgheab precum cele din cauciuc.

O variantă de bandă din oțel este cea de tipul plasă (fig. 3.5.) și care se folosește la cuptoarele tunel de coacere a unor produse de panificație sau la uscătoare.

Lanțurile folosite în construcția transportoarelor sunt de următoarele tipuri: lanțuri sudate, lanțuri turnate, lanțuri cu eclise și bolțuri și lanțuri forjate, demontabile.

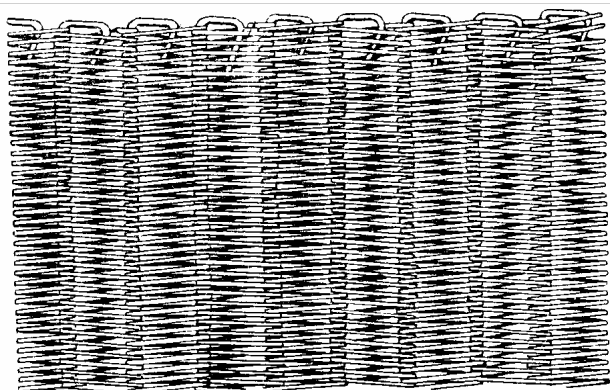


Fig. 3.5. Bandă din împletitură de sârmă

Lanțurile sudate sunt la fel ca cele folosite la mașinile de ridicat. Au avantajul că prezintă flexibilitate pe toate direcțiile și de aceea sunt folosite la transportoarele cu traseu curbat în spațiu. În schimb, au suprafața de contact mică și care se uzează repede, fapt ce determină o creștere cu timpul a pasului, provocând dificultăți la angrenarea cu organele de acționare.

Lanțurile turnate, executate de regulă din fontă maleabilă, au avantajul că sunt ieftine dar siguranța în exploatare este redusă ca urmare a dificultății de depistare a defectelor de turnare. Unele zale sunt prevăzute din turnare cu urechi de prindere a racleților sau a plăcilor transportorului, fapt ce simplifică mult construcția acestuia.

Lanțurile cu eclise folosite în construcția transportoarelor pot fi de tip Galle, lanțuri cu bucle și lanțuri cu bucle și role.

Lanțurile forjate demontabile (fig. 3.6.) au fost concepute pentru a ușura execuția, dar și pentru a conferi siguranță în exploatare. Lanțul demontabil cuprinde zale exterioare 1, zale interioare 3 și bolțuri cu două capete 2, aceste elemente fiind executate numai prin forjare în matrițe.

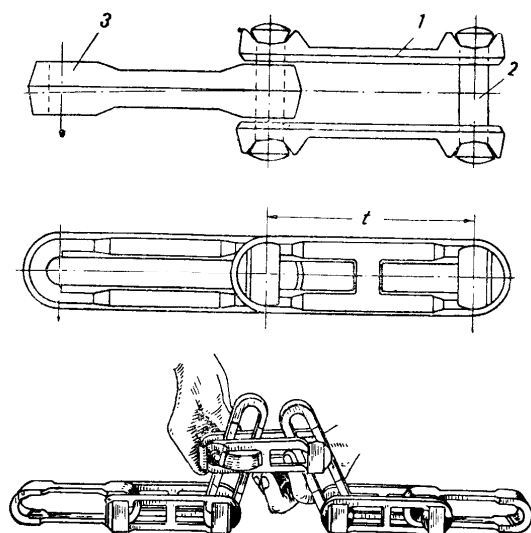


Fig. 3.6. Lanț forjat demontabil

Roțile de acționare pentru lanțuri se execută astfel: pentru lanțuri sudate ca în

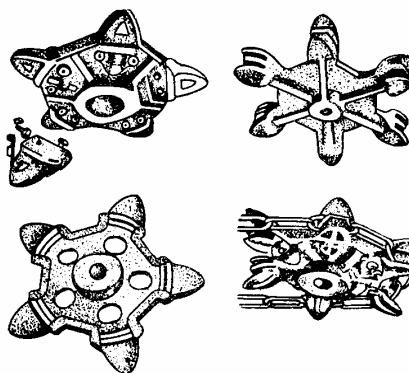


Fig. 3.7. Roți de acționare a lanțurilor

figura 3.7, pentru lanțuri cu eclise fără role în formă poligonală ca în figura 3.8. iar pentru lanțuri cu eclise și role cu dantură ca în figura 3.9.

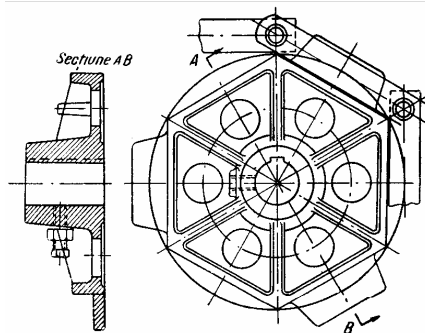


Fig. 3.8. Roată de acționare a lanțurilor cu eclise fără role

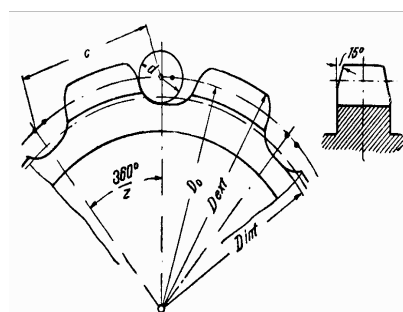


Fig. 3.9. Roată de acționare a lanțurilor cu eclise și role

La angrenarea lanțului cu roata de acționare apar unele fenomene dinamice, diferite de înfășurarea și desfășurarea unei benzi de transportor pe toba de acționare, care se produce cu viteză constantă $R\omega$ dacă viteza unghiulară este constantă. Lanțul este acționat de o roată cu z

dinți sau laturi și nu va avea o viteză constantă, chiar dacă roata de acționare se rotește cu viteză unghiulară constantă.

Pentru studiu se consideră roata pentagonală $ABCDEF$ din figura 3.9. care acționează lanțul cu pasul p , egal cu latura pentagonului.

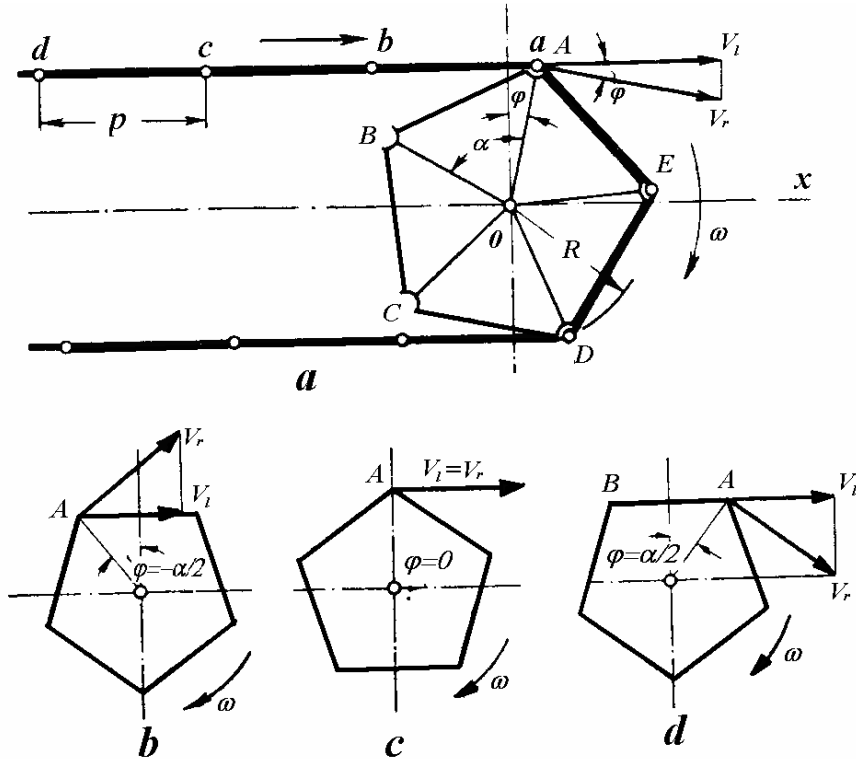


Fig. 3.10. Modul real de angrenare a lanțului cu roata de acționare

Pe măsură ce roata se învârtă, vârfurile A, B, C , etc. ale roții vin succesiv în contact cu articulațiile a, b, c , etc. ale lanțului. De câte ori unul din vârfurile roții, de exemplu A , ajunge în poziția din fig. 3.10.d, se produce contactul vârfului următor B cu articulația b , care la rândul ei descrie un drum din poziția 3.10.b până în poziția din fig. 3.10.d, după care intră în contact C cu punctul și așa mai departe. Fiecare ză a lanțului execută o mișcare ciclică, începând cu intrarea în contact cu lanțul a unuia din colțurile roții și până la intrarea în contact a vârfului următor.

Roata, aflându-se la un moment dat în poziția din fig. 3.10.a, caracterizează poziția vârfului A prin unghiul φ , măsurat de la axa verticală Oy . Din pozițiile 3.10.b – d se observă că acest unghi poate varia de la valoarea $-\alpha/2$ până la $+\alpha/2$ (în cazul pentagonului de la $-\alpha/5$ la $+\alpha/5$).

Chiar dacă în timpul rotirii roții zălele lanțului aflate în apropierea roții își schimbă periodic și depărtarea față de axa Ox (fig. 3.10.a), această oscilație este mai puțin importantă și se neglijează, considerând numai mișcarea lanțului paralel cu axa Ox .

Roata având viteza unghiulară constantă, vârful roții A va avea viteza:

$$v_r = R\omega = R \frac{d\varphi}{dt} \quad (3.7.)$$

dirijată perpendicular pe raza R , iar lanțul va înainta paralel cu Ox cu viteza:

$$v_l = v_r \cos \varphi = R \cos \varphi \frac{d\varphi}{dt} = R\omega \cos \varphi \quad (3.8.)$$

Deoarece φ este variabil între limitele de mai sus și viteza va oscila în timp, astfel că lanțul va avea o accelerație:

$$a_l = \frac{dv_l}{dt} = -R \sin \varphi \left(\frac{d\omega}{dt} \right)^2 = -R \omega^2 \sin \varphi \quad (3.9.)$$

Ca urmare, rezultă că viteza lanțului variază în timpul trecerii unei zale după un segment de cosinusoidă de la $-\alpha/2$ la $+\alpha/2$, apoi zaua următoare după un alt segment de cosinusoidă, etc., astfel că diagrama vitezei lanțului este compusă dintr-o succesiune de astfel de segmente de cosinusoidă, luate de la $-\pi/z$ la $+\pi/z$, valoarea maximă a vitezei fiind corespunzătoare lui $\varphi = 0$ (poziția din fig. 3.10.c).

Accelerația lanțului variază tot ciclic după o succesiune de segmente de sinusoidă, valoarea maximă negativă fiind caracterizată de unghiul $\varphi = +\pi/z$, iar cea maximă pozitivă pentru unghiul $\varphi = -\pi/z$.

Deoarece trecerea de la $+\pi/z$ la $-\pi/z$ se face instantaneu (vârful B al roții intră în contact cu lanțul în momentul când A ajunge în poziția $\varphi = \pi/z$), accelerația trece brusc de la valoarea maximă negativă la valoarea maximă pozitivă. Diagrama vitezei și accelerației este prezentată în figura 3.11.

Accelerația lanțului are ca valoare maximă:

$$a_{\max} = \pm R \omega^2 \sin \frac{\pi}{z} \quad (3.10.)$$

Roata de acționare având $\omega/2\pi$ rotații pe secundă, viteza medie de înaintare a lanțului va fi:

$$v_l = zp \frac{\omega}{2\pi} \quad (3.11.)$$

Din această relație rezultă viteza unghiulară a roții:

$$\omega = \frac{2\pi \cdot v_{l\text{med}}}{zp} \quad (3.12.)$$

Cum $\sin \frac{\pi}{z} = \frac{p}{2R}$ rezultă:

$$a_{l\text{med}} = \pm 2\pi^2 p \left(\frac{v_{l\text{med}}}{zp} \right)^2 = \pm \frac{2\pi^2 v_{l\text{med}}^2}{z^2 p}, \text{ în m/s}^2 \quad (3.13.)$$

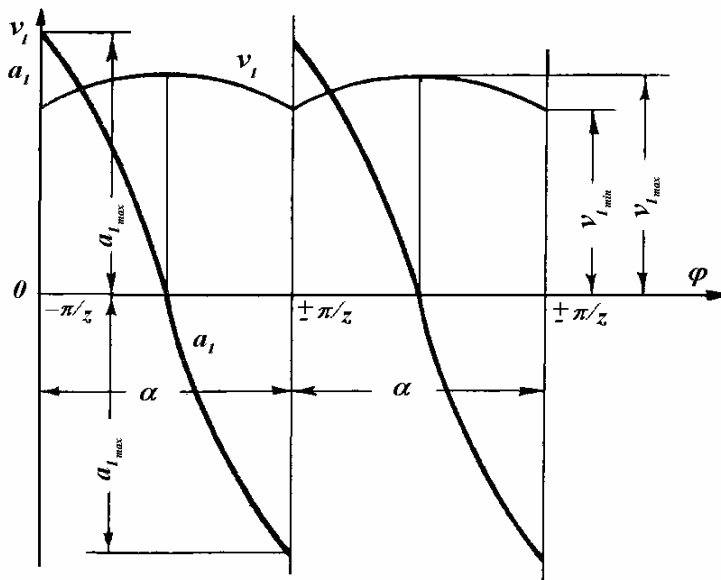


Fig. 3.11. Diagrame vitezei și accelerației lanțului

Accelerația mișcării lanțului este proporțională cu pasul lanțului și cu pătratul vitezei liniare medii a lanțului, deci și cu pătratul turației roții de acționare și invers proporțional cu perimetrul zp al roții.

Trecerile bruște de la o accelerație negativă la una pozitivă este echivalentă cu un șoc, iar la calculul de rezistență acest lucru se materializează prin faptul că cele două accelerații maxime se suprapun și aici apare un coeficient de șoc egal cu 2. În total se calculează un salt de accelerație de $3a_{l\max}$. Dacă m este masa lanțului care suferă

șocul, forța dinamică din lanț va fi:

$$S_{din} = 3m \cdot a_{l_{max}} \quad (3.14.)$$

Masa lanțului se consideră ca fiind masa lanțului propriu-zis (cu ramura încărcată și cea neîncărcată), la care se adaugă masa racletelor, a plăcilor, etc și masa încărcăturii de pe ramura încărcată.

În calculele practice se procedează astfel:

- pentru transportoare mai mici de 25 m lungime, se ia în calcul masa întregului lanț pe ambele ramuri plus masa încărcăturii;
- pentru transportoare cu lungimea cuprinsă între 25 – 60 m, se ia în calcul masa întregii ramuri încărcate plus jumătate din ramura descărcată a transportorului;
- pentru transportoare cu lungimea mai mare de 60 m, se ia în calcul numai masa ramurii încărcate a transportorului.

Pentru a elimina dezavantajul prezentat și a obține o mișcare uniformă a lanțului, s-au încercat diverse mecanisme de compensare care, prin construcția lor încercau obținerea unei viteze unghiulare variabile periodic, rezultatele fiind acceptabile dar construcția unor asemenea mecanisme a făcut ca ele să nu se extindă în practică.

Calculul de rezistență a lanțurilor de tracțiune prevede verificarea lanțurilor sudate, cu eclise și bușe și cu eclise fără bușe, la rupere cu sarcina dinamică stabilită.

3.3. Transportoare cu organ flexibil de tracțiune

Transportoarele cu organ flexibil de tracțiune pot fi clasificate după direcția de transport și organul care poartă sarcina astfel:

- pentru transportul pe orizontală sau cu o înclinare mai mică decât unghiul de alunecare al materialului: transportoare cu bandă, cu plăci, cu raclete, cu lanț, cu palete;
- pentru transportul pe orizontală și pe verticală: transportoare cu cupe;
- pentru transportul pe verticală sau cu înclinări apropiate de verticală: elevatoare cu cupe, cu șicane, cu leagăne;
- pentru transportul pe orice direcție în spațiu: transportoare suspendate, transportoare cu noduri.

Tot în categoria transportoarelor cu organ flexibil de tracțiune mai intră aruncătoarele (transportoare cu bandă care aruncă materialul la o anumită distanță) și instalațiile de screper, care constituie un caz particular de transportor cu un raclete.

3.3.1. Transportoare cu bandă

Construcția transportoarelor cu bandă este în principiu aceeași, chiar dacă organul flexibil de tracțiune este o bandă din cauciuc cu inserții textile, din oțel sau din împletitură de sârmă. Principalele părți componente ale unui transportor cu bandă sunt prezentate în figura 3.12.

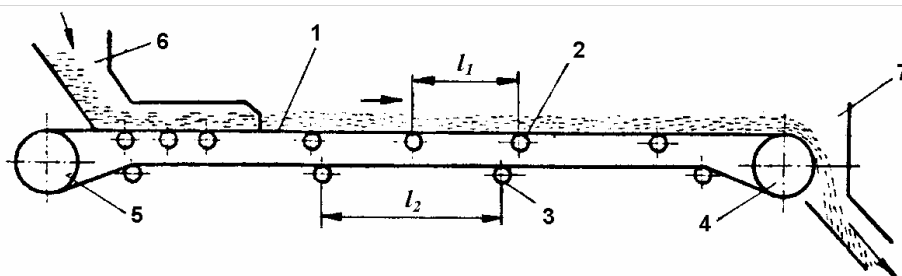


Fig. 3.12. Transportor cu bandă: 1- bandă de transport; 2- role de reazem superioare; 3- role de reazem inferioare; 4- tambur de antrenare; 5- tambur de întindere; 6- dispozitiv de încărcare; 7- dispozitiv de descărcare.

În funcție de condițiile de lucru, transportoarele cu bandă mai pot fi prevăzute cu dispozitive de curățire a benzii, de cântărire, de frânare sau blocare, etc.

Transportorul poate fi orizontal, ca în figura 3.12. sau poate fi și înclinat pe toată lungimea ori pe o porțiune din ea (fig. 3.13.).

Din punct de vedere al utilizării benzii, transportoarele pot fi:

- cu bandă plată, când se folosește la transportul de sarcini individuale (fig. 3.14.a);
- cu bandă în formă de jgheab, banda fiind îndoită numai pe ramura încărcată, caz în care se transportă mai mult material decât la banda plată și de regulă material vrac (fig. 3.14.b.).

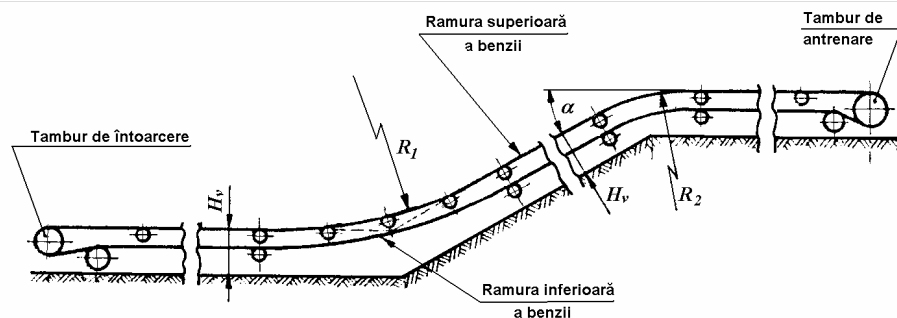


Fig. 3.13. Transportor cu bandă cu traseu înclinat

Organele de rezemare asigură susținerea benzilor atât pe ramura încărcată, cât și pe cea de întoarcere. Banda poate fi rezemată pe tabliere, role sau combinații de tabliere cu role, dar din cauza încălzirii la frecarea cu tablierele, rolele sunt cel mai frecvent folosite în construcția transportoarelor.

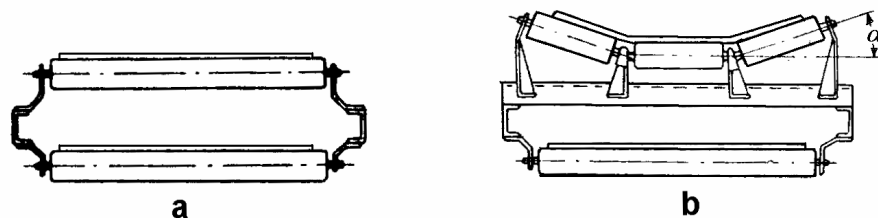


Fig. 3.14. Transportor: a- cu bandă plată; b- cu bandă sub formă de jgheab

În practică se pot realiza și alte variante de susținere a benzilor, iar în funcție de flexibilitatea lor secțiunea transversală a materialului vrac poate avea diverse forme (fig. 3.15.), de la simplu tăblier la forma de cerc.

Pentru centrarea benzilor transportoare ele se dispun ca în figura 3.14.b dar cu un unghi oarecare α față de direcția de mers a acestora (fig. 3.16.) și în toate punctele de contact dintre rolă și bandă vor apare:

- o viteză de translație a benzii v_b ;
- o viteză periferică a rolei v_r ;
- o viteză relativă a benzii față de rolă v^* .

Din triunghiul vitezelor, viteza relativă are valoarea:

$$v^* = v_b \sin \alpha \quad (3.15.)$$

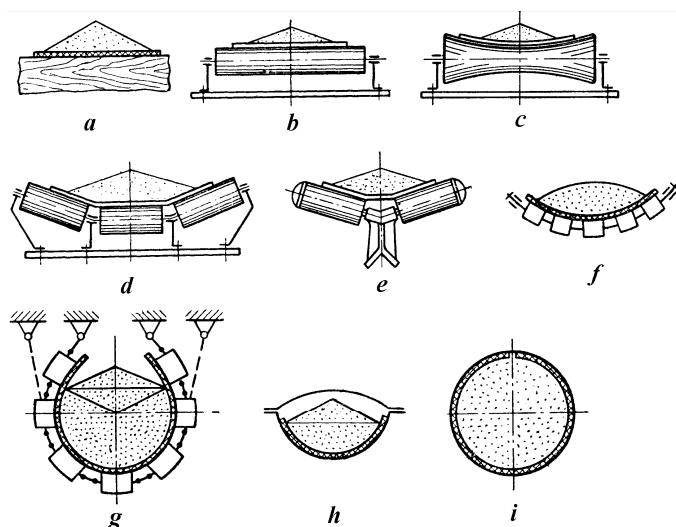


Fig. 3.15. Organe de rezemare a benzilor: a- tăblie de lemn; b- rolă cilindrică; c- rolă profilată; d- jgheab cu trei role; e- jgheab cu două role; f- jgheab semicircular cu role înguste; g- jgheab circular cu role înguste; h- jgheab semicircular închis; i- jgheab circular închis.

Astfel cele două role ale jgheabului vor da naștere la două viteze relative egale și de sens contrar care, vor duce la centrarea benzii pe poziție simetrică pe axa longitudinală. Orice deviere de la această poziție va face ca

componenta vitezei relative dinspre rola pe care banda tinde să devieze, să fie mai mare decât pe cealaltă rolă, având ca rezultat readucerea pe poziția de simetrie când cele două viteze relative sunt egale.

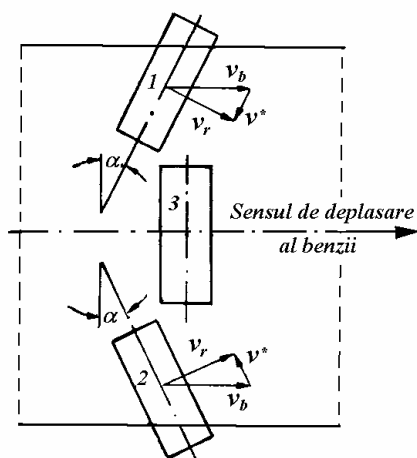


Fig. 3.16. Montajul rolor de centrare

Acționarea transportoarelor cu bandă se face prin intermediul tobelor de acționare, pe care banda se înfășoară cu un anumit unghi și este antrenată prin frecare. Ele pot fi executate din construcție sudată iar suprafața cilindrică poate fi acoperită cu diverse materiale pentru mărirea aderenței (șipci de lemn, un strat de cauciuc fixat prin șuruburi de toבă sau vulcanizat, mase plastice, etc.). Când nu au un strat aderent, tobele se execută sub formă ușor bombată, fapt ce asigură centrarea benzii în timpul funcționării.

Deoarece transmit benzii forța de acționare, folosind frecarea dintre tobă și bandă, din relația lui Euler

se poate scrie:

$$S_{inf} = S_{desf} e^{\mu\alpha} \quad (3.16.)$$

în care S_{inf} este forța din ramura care se înfășoară pe tobă (fig. 3.17.);

S_{desf} – forța din ramura care se desfășoară pe tobă;

μ - coeficientul de frecare dintre tobă și bandă;

α - unghiul de înfășurare al benzii pe toba de acționare.

Relația de mai sus dă valoarea maximă posibilă a forței din ramura de înfășurare, dar în practică acesta poate fi depășită accidental, fapt ce duce la patinarea benzii.

Cum în practică unghiul de înfășurare util α' este mai mic decât cel teoretic și forța de tracțiune transmisă prin frecare benzii va fi mai mică:

$$S_{inf} = S_{desf} e^{\mu\alpha'} \quad (3.17.)$$

Forța periferică pe care o transmite toba de acționare are valoarea:

$$W = S_{inf} - S_{desf} = S_{inf} \frac{e^{\mu\alpha'} - 1}{e^{\mu\alpha'}} \quad (3.18.)$$

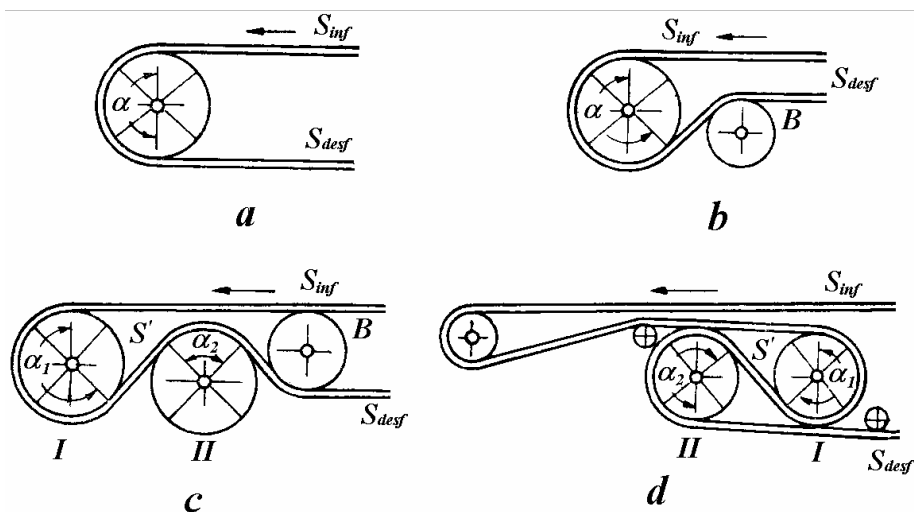


Fig. 3.17. Moduri de înfășurare a benzii pe tobele de acționare

Momentul la arborele tobei este $M = WR$, în care R este raza tobei. Acesta poate crește mult în anumite condiții precum ar fi pornirea transportorului încărcat cu material sau la opririle bruște. Ca urmare, trebuie să existe un unghi de rezervă suficient pentru a putea acoperi aceste neajunsuri. Pentru mărirea unghiului de înfășurare se folosesc două tobe de acționare (fig. 3.17. c și d), la care S' este forța din bandă între cele două tobe. În acest caz se poate scrie:

$$\begin{aligned} W_1 &= S_{\text{inf}} - S' = S' (e^{\mu\alpha_1} - 1) \\ W_2 &= S' - S_{\text{desf}} = S' \frac{e^{\mu\alpha_2} - 1}{e^{\mu\alpha_2}} \end{aligned} \quad (3.19.)$$

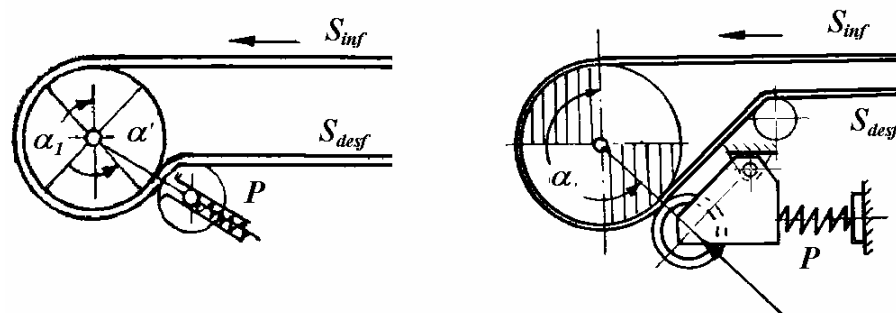


Fig. 3.18. Mecanisme cu role de presare

În afara mării unghiului de înfășurare și acționarea cu două tobe, pentru mărirea forței periferice transmisibile se mai pot folosi și alte metode:

- mecanisme cu role de presare (fig. 3.18.);
- mecanisme cu bandă auxiliară (fig. 3.19., fig. 3.20.).

cu role de presare pot fi cu rolă de presare care servește și ca rolă de abatere a benzii sau cu rolă de presare ce funcționează împreună cu o rolă separată de abatere a benzii.

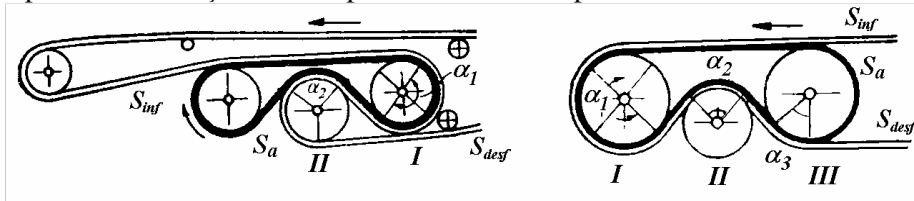
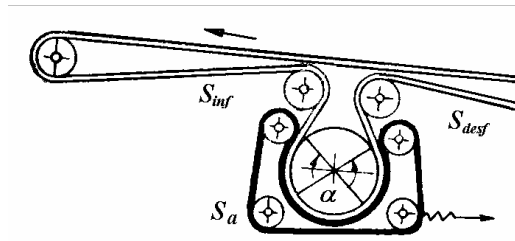


Fig. 3.19. Mecanisme cu bandă

Mecanismele de acționare cu bandă din figura 3.18. au banda auxiliară plasată între toba de acționare și banda transportoare, formând pe tobă un strat cu coeficient de frecare mare.

În cazul benzii auxiliare exterioare (fig. 3.20.), notând cu S_a forța din această bandă și care nu-și schimbă valoarea pe tot traseul ei, va da naștere la o forță periferică:

$$W = S_{inf} - S_{desf} = S_{desf} (e^{\mu\alpha_1} - 1) + S_a (e^{\mu\alpha_1} - 1) \quad (3.20.)$$



Mecanismele cu benzi auxiliare realizează o mărire importantă a forței W dar funcționarea lor este condiționată de starea perfectă a benzii auxiliare. Dispozitivele de întindere a benzilor permit funcționarea transportorului cu realizarea forței periferice necesare.

Fig. 3.20. Mecanism cu bandă auxiliară exterioară

Ele trebuie să preia și alungirea permanentă pe care o suferă banda ca urmare a funcționării îndelungate a ei.

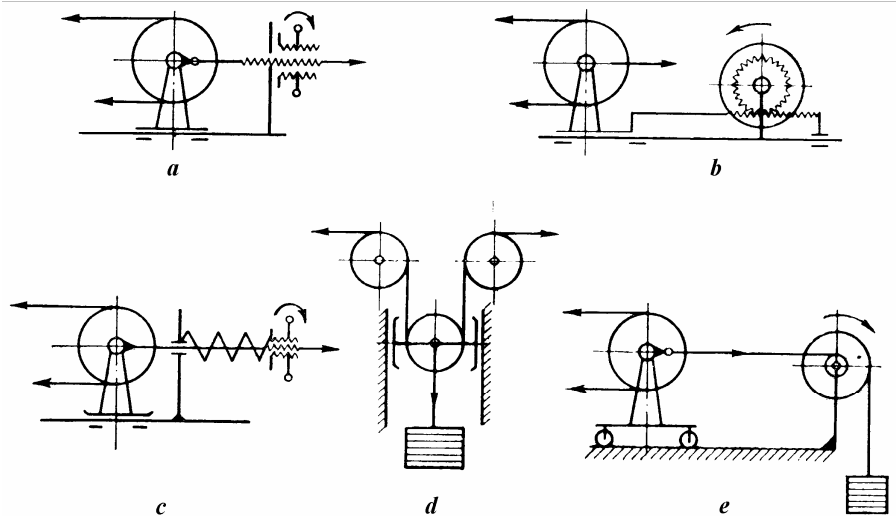


Fig 3.21. Mecanisme de întindere a benzilor: a- cu șurub; b- cu pinion și cremalieră culisantă; c- cu șurub și arc; d- cu greutate plasată pe traseul de întoarcere; e- cu greutate exterioară.

Din punct de vedere constructiv, dispozitivele de întindere utilizate în practică sunt două tipuri:

- cu șurub;
- cu greutăți, cu construcție orizontală și verticală.

Dispozitivele de întindere cu șurub sunt plasate la extremitatea transportorului opusă acționării și constau dintr-o tobă de întoarcere, al cărei ax se poate deplasa orizontal și paralel prin intermediul a două tije filetate acționare simultan. Au construcția simplă dar se folosesc la transportoare mai mici de 40 m, deoarece forța de întindere a benzii variază pe măsură de banda se alungește sau se schimbă gradul ei de încărcare, fapt ce impune verificarea la intervale dese a întinderii benzii.

Dispozitivele de întindere cu greutăți au toba de întindere montată pe un cărucior, care este tras de o greutate prin intermediul unui cablu de oțel. Astfel, banda este întinsă în permanență eliminând dezavantajul dispozitivelor de întindere cu șurub. Mai mult decât atât aceste dispozitive sunt utilizate la transportoare de lungimi mari unde pot prelua alungiri de ordinul metrilor, pentru aceasta fiind prevăzute mecanisme cu greutăți verticale montate pe ramura de întoarcere, de regulă la mijlocul transportorului.

Pentru benzile de oțel se folosesc dispozitive de întindere cu șurub sau cu greutate, de construcții asemănătoare ca în cazul benzilor de cauciuc.

Încărcarea și descărcarea materialului pe și de pe transportor constituie o problemă foarte importantă în vederea unei bune desfășurări a lucrului.

Încărcarea materialului pe transportor poate avea loc, în funcție de situația concretă, în următoarele moduri:

- manual, dintr-o grămadă de material aflat pe sol, lângă punctul de plecare al transportorului;
- mecanizat, dintr-o grămadă de material de pe sol;
- dintr-un alt transportor, când se lucrează cu transportoare montate în serie;
- dintr-un buncăr, iar pentru uniformizarea materialului se folosește un dispozitiv special numit alimentator.

Indiferent de felul cum este adus materialul în dispozitivul de încărcare al transportorului, dispozitivul trebuie să îndeplinească unele condiții:

- să imprime materialului o direcție de mișcare și o viteză cât mai apropiată de viteza benzii;
- să ferească banda de lovituri din partea particulelor de material mai mari sau cu forme ascuțite;
- să împiedice căderea materialului pe tobele și rolele transportorului sau dezvoltarea prafului;
- la transportoarele în cascadă să împiedice inundarea cu material dacă transportorul se oprește dintr-un motiv oarecare.

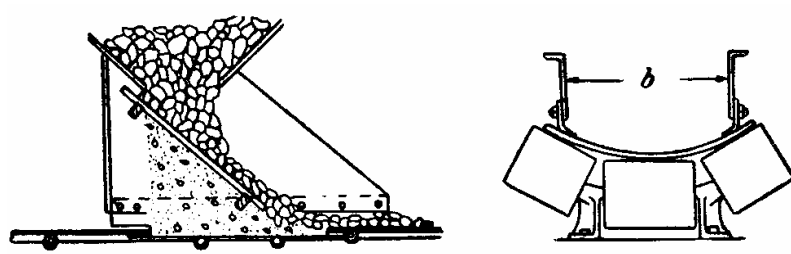


Fig. 3.22. Dispozitiv de încărcare

Pe zona de încărcare este prevăzută o masă pentru sprijinirea benzii, formată de obicei din role de susținere dispuse apropiat. Pâlnia de încărcare (fig. 3.22.) are peretele din spate sub un unghi care nu depășește unghiul de frecare al materialului ($30-45^\circ$). Dacă materialul este format din particule cu granulație mult diferită, fundul înclinat al pâlniei este sub formă de grătar, prin care se scurg particulele mici ce formează un pat protector pe bandă, pe care se așează particulele mai mari. Pâlnia este continuată cu două borduri dispuse de o parte și de alta a benzii, cu lungimea de 1-2,5 m în funcție de viteza și lățimea benzii. Pentru obturarea flexibilă, partea inferioară a bordurilor este realizată din cauciuc. Depărtarea dintre borduri se ia de circa 0,7-0,8 din lățimea benzii.

Pe porțiunea dintre cele două borduri se produce o accelerare a materialului datorită antrenării prin frecare a acestuia cu banda. O particulă de masă m este antrenată de o forță de frecare $mg\mu$, și capătă accelerația $g\mu$; presupunând că $v_0 = v/4$, drumul necesar pentru accelerarea de la viteza $v/4$ la viteza v va fi:

$$s = \frac{1}{2g\mu} \left(v^2 - \frac{v^2}{16} \right) \quad (3.21.)$$

Dar pe distanța s trebuie să fie, din cauza continuității fluxului, același debit de material qv . Ca urmare, la începutul acestei distanțe s , unde viteza este $v/4$, sarcina liniară va fi $4q$. Presupunând că viteza crește liniar, q va scădea hiperbolic de la $4q$ la q . În consecință, forța

totală de frecare dintre bandă și material pe distanța s , adică rezistența la înaintare datorită accelerării materialului, va fi:

$$W_{acc} = 2qs\mu = \frac{qv^2}{g} \left(1 - \frac{1}{16}\right) \cong \frac{qv^2}{g} = \frac{Qv}{3,6g} \quad (3.22.)$$

unde Q este productivitatea orară, în t/h.

Descărcarea materialului de pe transportor se poate face în două moduri distincte:

■ la capătul transportorului, prin căderea de pe bandă când trece peste toba de întindere sau toba extremă;

■ într-un punct oarecare de pe traseul transportorului, cu ajutorul unor dispozitive speciale care pot fixe sau deplasabile de-a lungul acestuia (cu plug de descărcare sau cu cărucior de descărcare).

Dacă descărcarea are loc la capătul transportorului, el trebuie prevăzut cu o pâlnie pentru a cărei construcție trebuie să se cunoască traiectoria pe care o descrie materialul după ce părăsește banda.

O particulă de masă m situată pe banda ce trece peste toba de capăt (fig. 3.23.) este supusă forței gravitaționale mg și forței centrifuge $m\omega^2 r$. Acestea vor da rezultanta R a cărei prelungire întâlnește verticala dusă prin centrul tobei în punctul P .

Din asemănarea triunghiurilor OPA și BCA rezultă:

$$\frac{h}{r} = \frac{mg}{m\omega^2 r} \Rightarrow h = \frac{g}{\omega^2} = g \frac{30^2}{\pi^2 n^2} = \frac{895}{n^2}, [\text{m}] \quad (3.23.)$$

Distanța h depinde numai de turația tobei iar toate particulele de material vor fi supuse unei forțe rezultante ce trece prin punctul P , numit polul mișcării iar h se numește distanța polară.

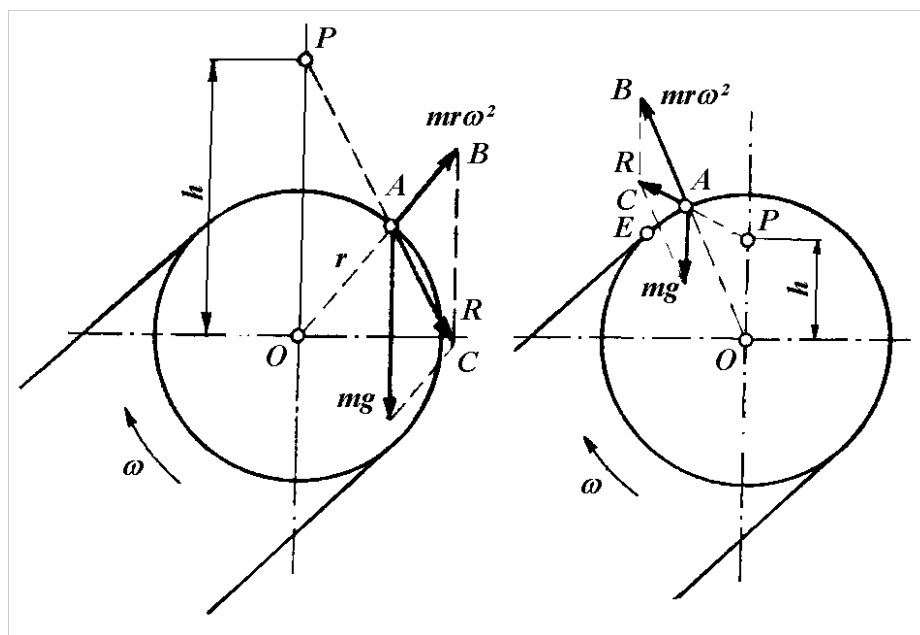


Fig. 3.23. Forțele care acționează asupra unei particule la descărcare

Polul P poate să cadă în exteriorul, în interiorul sau chiar pe circumferința tobei. Pentru cazul $h < r$, imediat ce particula se angajează pe traseul circular în jurul tobei, apare rezultanta R dirijată spre exterior, efectul gravitației care ținea particula pe bandă dispare iar aceasta se desprinde de bandă chiar în punctul de tangență E , continuându-se traiectoria liberă în aer.

Pentru situația în care $h > r$, rezultanta R este îndreptată în jos și spre interiorul tobei. Va exista pe circumferința tobei un punct A_1 și un unghi θ_1 (fig. 3.24.) în care, descompunând pe R într-o componentă normală N și una tangențială T , să fie îndeplinită relația:

$$T \geq N\mu_0 \quad \text{și} \quad \text{tg } \alpha > \varphi_0 \quad (3.24.)$$

unde μ_0 este coeficient de frecare al materialului pe tobă în stare de repaus;

φ_0 - unghiul de frecare corespunzător.

În acest punct particula de material se va pune în mișcare de-a lungul circumferinței tobei sub acțiunea forței T și a forței de frecare, conform ecuației de mișcare:

$$mr \frac{d^2 \omega}{dt^2} = mg \sin \theta - \mu \left[mg \cos \theta - m \left(\frac{d\theta}{dt} \right)^2 r \right] \quad (3.25.)$$

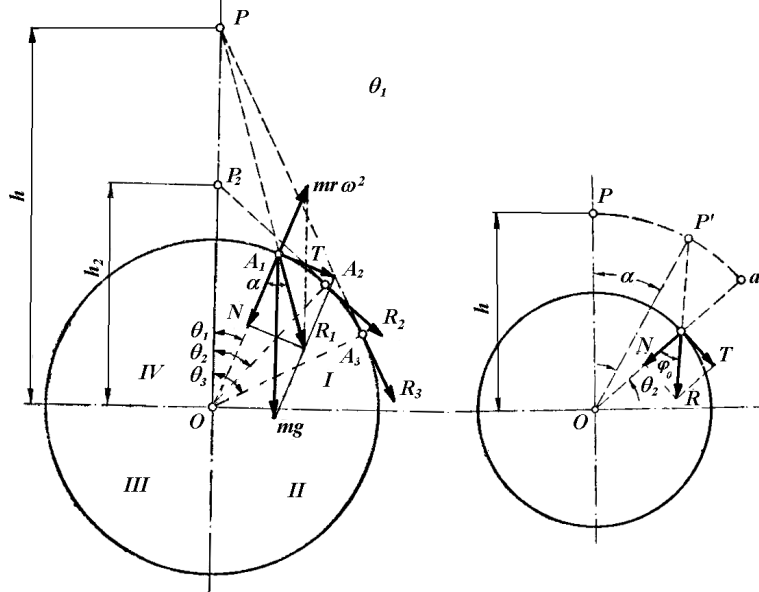


Fig. 3.24. Mișcarea unei particule pe tobă la descărcare

Această mișcare începe în punctul A_1 în care avem $\theta = \theta_1$ și condițiile:

$$\frac{d^2 \theta}{dt^2} = 0; \quad \frac{d\theta}{dt} = \omega = \frac{v}{r}; \quad \mu = tg \varphi_0 \quad (3.26.)$$

continuând cu viteza unghiulară crescândă până într-un punct A_2 cu unghiul θ_2 , în care forța centrifugă echilibrează presiunea particulei pe bandă, adică:

$$m \left(\frac{d\omega}{dt} \right)^2 r = mg \cos \theta_2 \quad (3.27.)$$

punct în care particula se desprinde, continuându-și drumul în spațiu.

Introducând condițiile limită (3.26.) în relația (3.27.) se obține:

$$\frac{v^2}{rg} tg \varphi_0 = tg \varphi_0 \cos \theta_1 - \sin \theta_1 = \frac{\sin(\varphi_0 - \theta_1)}{\cos \varphi_0} \quad (3.28.)$$

respectiv:

$$\theta_1 = \varphi_0 - \arcsin \left[\frac{v^2}{rg} \sin \varphi_0 \right] \quad (3.29.)$$

Din condiția limită dată de relația (3.29.) rezultă viteza unghiulară finală a particulei:

$$\omega_2 = \frac{d\theta}{dt} = \sqrt{\frac{g}{r} \cos \theta_2} \quad (3.30.)$$

și viteza particulei în momentul desprinderii:

$$v_2 = r \omega_2 = \sqrt{gr \cos \theta_2} \quad (3.31.)$$

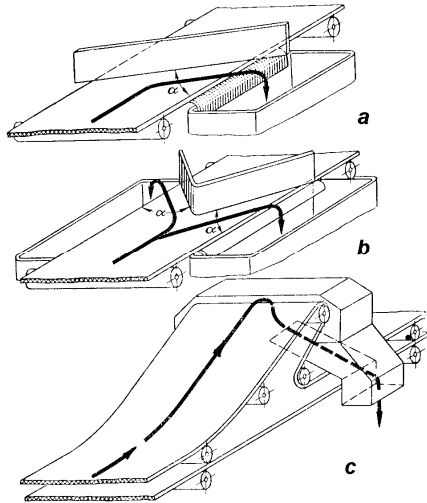


Fig. 3.25 Moduri de descărcare

Unghiul θ_1 poate fi determinat grafic iar prin integrarea relației (3.27.) și ținând cont de influența gravitației se poate determina traiectoria descrisă de particulă după desprinderea ei de pe bandă.

Pentru descărcarea materialului într-un punct oarecare de pe traseul transportorului cel mai simplu și utilizat dispozitiv este plugul descărcător ce constă dintr-un scut oblic plasat de-a curmezișul benzii (fig. 3.25.a) sau din două scuturi ce formează un unghi ascuțit (fig. 3.25.b), materialul fiind dirijat către un jgheab colector. Plugul poate fi fix sau deplasabil în lungul transportorului, iar prin intermediul unei pârgșii el

poate fi ridicat de pe bandă.

Căruciorul de descărcare are un cadru ce poate rula pe roți în lungul transportorului și care este prevăzut cu două tobe de conducere a benzii (fig. 3.25.c). Materialul se revarsă de pe toba superioară într-o pâlnie prevăzută cu două tuburi de scurgere, spre dreapta sau spre stânga transportorului, în funcție de necesități.

Descărcarea cu plugul se folosește la materialele neabrazive, la transportoare cu viteze de până la 1,6 m/s și cu pante de până la 8° . Pentru protejarea benzii, marginile inferioare ale plugului sunt executate din cauciuc, iar în zona plugului banda este susținută de un tablier necesar atât pentru descărcare, cât și pentru a aduce banda la forma plată.

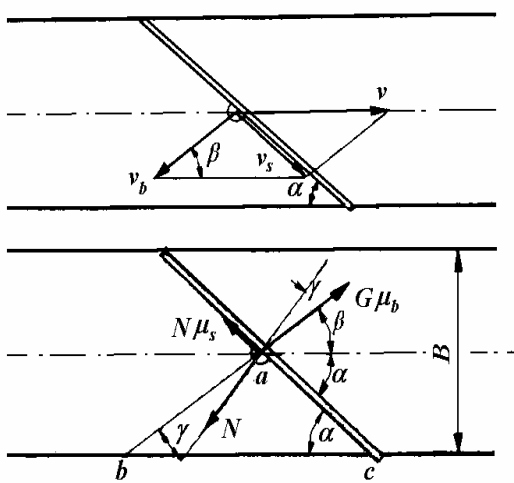


Fig. 3.26 Forțele și vitezele ce acționează asupra unei particule la descărcarea cu plug

În figura 3.26 este prezentat paralelogramul vitezelor ce acționează asupra unei particule. Viteza benzii este v iar particula alunecă pe scut cu viteza v_s . Prin compunerea celor două rezultă viteza relativă v_b cu care se deplasează particula, caracterizată de unghiul β față de axa longitudinală.

Forțele care acționează asupra particulei în timpul descărcării sunt:

- forța de frecare $G\mu_b$ a particulei pe bandă, unde G este greutatea particulei și μ_b este coeficientul de frecare a particulei cu banda;
- reacțiunea normală N a scutului asupra

- forța de frecare $N\mu_b$ a particulei de scut, μ_b fiind coeficientul de frecare al particulei de scut, cu aceeași direcție ca viteza v_s dar de sens opus.

Proiecția forțelor pe direcția scutului și pe normala la scut dau relațiile:

$$N - G\mu_b \cos \gamma = 0 \quad (3.32.)$$

$$N\mu_s - G\mu_b \sin \gamma = 0 \quad (3.33.)$$

Dacă se împart cele două relații rezultă:

$$\mu_s = \tan \gamma = \tan \varphi_s, \text{ respectiv } \gamma = \varphi_s \quad (3.34.)$$

Cum din figură se vede că $\alpha + \beta + \gamma = 90^\circ$ și cum trebuie ca $\beta > 0$ pentru ca v_s să aibă valoare finită, unghiul α se alege astfel ca relația de mai jos să fie satisfăcută:

$$\alpha < 90^\circ - \varphi_s \quad (3.35.)$$

Practic unghiul de poziționare a scutului se alege cu valori între $35-40^\circ$. Proiecția lui G pe direcția transversală a benzii reprezintă forța care tinde să împingă banda în lături. Acest lucru este compensat prin alegerea unui unghi a scutului cât mai mare sau este eliminat prin utilizarea unui plug cu două scuturi plasate simetric față de axa longitudinală a benzii.

Calculul transportoarelor cu bandă se referă la determinarea lățimii benzii, a rezistenței ei la înaintare, a forțelor de tracțiune din bandă și a puterii necesare pentru acționare.

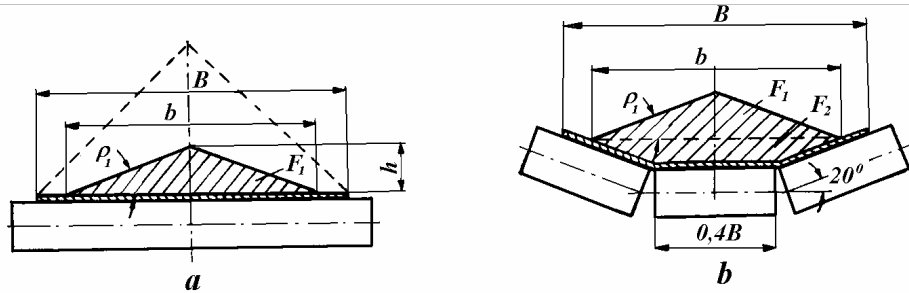


Fig. 3.27 Modul de calcul al cantității de material pe bandă: a- bandă plată; b- bandă jgheab.

Pentru banda plată (fig. 3.27.) materialul ar putea fi încărcat pe toată lățimea ei, astfel ca să poată forma un triunghi echilateral (linia întreruptă) cu laturile având o înclinare egală cu unghiul taluzului natural în mișcare ρ_m . Cum există posibilitatea pierderii de material prin revărsarea peste marginile benzii, în practică se poate încărca material doar pe o lățime de $0,8B$, într-o cantitate ce corespunde triunghiului hașurat ale cărui laturi au înclinarea $\rho_1 = 0.5\rho_m$ sau $\rho_1 = 0.35\rho$, când nu se cunoaște decât unghiul taluzului natural în repaus.

Aria secțiunii transversale a materialului de pe bandă va fi în mm^2 :

$$A = \frac{b \cdot h}{2} = \frac{(0,8 \cdot B) \cdot (0,5 \cdot b \cdot \text{tg} \rho_1)}{2} = \frac{(0,8 \cdot B) \cdot (0,4 \cdot B \cdot \text{tg} \rho_1)}{2} = 0,16B^2 \text{tg} \rho_1 \quad (3.36.)$$

Cantitatea de material ce se află pe un metru liniar de bandă va fi:

$$q = A \cdot 1 \cdot \gamma = 0,16B^2 \gamma \cdot \text{tg} \rho_1, \text{ în t/m} \quad (3.37.)$$

în care γ este masa volumetrică a materialului, în t/m^3 .

Se obține astfel productivitatea transportorului cu bandă plată:

$$Q = 3,6 \cdot q \cdot v = 576B^2 \cdot \gamma \cdot v \cdot \text{tg} \rho_1 = k_1 B^2 \gamma v, \text{ în t/h} \quad (3.38.)$$

Dacă banda este înclinată, atunci productivitatea orară a transportorului se diminuează cu un coeficient β subunitar și care ține cont de tendința de alunecare a materialului.

În cazul benzii tip jgheab (fig. 3.24.b) secțiunea materialului ce poate fi transportată fără pericol de revărsare este compusă dintr-un trapez și un triunghi. La construcțiile obișnuite sunt folosite datele din figură astfel că pentru secțiunea stratului de material de pe bandă se obține:

$$A = 0,0435B^2 + 0,16B^2 \text{tg} \rho_1 \quad (3.39.)$$

Iar pentru productivitatea orară:

$$Q = 3,6qv = k_2 B^2 \gamma v, \text{ în t/h} \quad (3.40.)$$

Cu aceste date se poate determina lățimea necesară pentru banda plată, respectiv banda jgheab, din condiția de productivitate:

$$\begin{cases} B = \sqrt{\frac{Q}{\beta k_1 \gamma v}} \\ B = \sqrt{\frac{Q}{\beta k_2 \gamma v}} \end{cases}, \text{ în m} \quad (3.41.)$$

Valoarea ce rezultă în urma calculelor trebuie rotunjită la lăţimea standardizată cea mai apropiată.

Pentru a putea determina puterea necesară antrenării transportorului cu bandă, trebuie stabilite rezistenţele care apar în timpul funcţionării acestuia.

Masa proprie a benzii pe unitatea de lungime este dată de relaţia:

$$q_B = 1,1B(1,25i + s_1 + s_2), \text{ în kg/m} \quad (3.42.)$$

i este numărul inserţiilor;

s_1 – grosimea stratului de cauciuc de pe suprafaţa de lucru;

s_2 – grosimea stratului de cauciuc de pe suprafaţa de sprijin.

Dacă se notează cu q' masa părţii rotative a rolelor de reazem, raportată la un metru de bandă pe ramura încărcată şi cu q'' masa părţii rotative a rolelor de reazem pe metru liniar pe ramura de întoarcere (în kg/m), G_r masa unei role pentru banda plată, respectiv masa ansamblului de role pentru banda jgheab, l' pasul rolelor pentru ramura încărcată (în m) şi l'' pasul rolelor pe ramura de întoarcere, se poate scrie:

$$q' = \frac{G_r}{l'} \quad \text{şi} \quad q'' = \frac{G_r}{l''} \quad (3.43.)$$

Pentru o porţiune de lungime L_0 , rectilinie de pe ramura încărcată a transportorului, înclinată cu un unghi α faţă de orizontală ($H = L_0 \sin \alpha$ fiind înălţimea de ridicare, iar $L_H = L_0 \cos \alpha$ proiecţia pe orizontală), rezistenţa la înaintare a benzii este compusă din trei componente: rezistenţa datorită pantei, rezistenţa la frecarea de rostogolire între bandă şi role, respectiv rezistenţa datorată frecării din lagărele rolelor.

Rezistenţa datorată deplasării în pantă are expresia:

$$R_1 = \pm g(q + q_B)L_0 \sin \alpha \quad (3.44.)$$

Rezistenţa datorată frecării de rostogolire dintre bandă şi role se obţine din momentele faţă de centrul unei role şi are expresia:

$$R_2 \frac{D_r}{2} = g(q + q_B + q')f' L_0 \cos \alpha \Leftrightarrow R_2 = \frac{2f'}{D_r} g(q + q_B + q')L_0 \cos \alpha \quad (3.45.)$$

în care D_r este diametrul exterior al rolei de reazem;

f' - este coeficient al frecării de rostogolire ($f' = 0,0015 \dots 0,002$ m).

Rezistenţa datorată frecării din lagărele rolelor se determină din ecuaţia de momente faţă de axa unei role:

$$R_3 \frac{D_r}{2} = g(q + q_B)L_0 \cos \alpha \cdot \mu \frac{d}{2} + gq' L_0 \mu \frac{d}{2} \quad (3.46.)$$

Unghiul α fiind mic, relaţia se poate simplifica sub forma:

$$R_3 = \frac{\mu d}{D_r} g(q + q_B + q')L_0 \cos \alpha \quad (3.47.)$$

Cu expresiile astfel stabilite, rezistenţa la deplasarea benzii transportorului peste role va căpăta forma:

► pentru ramura activă sau încărcată a transportorului:

$$R_{inc} = wg(q + q_B + q')L_H \pm g(q + q_B)H \quad (3.48.)$$

► pentru ramura de întoarcere sau neîncărcată a transportorului:

$$R_{desc} = wg(q_B + q'')L_H \mp gq_B H \quad (3.49.)$$

În relaţiile de mai sus s-a făcut notaţia:

$$w = \frac{2f' + \mu d}{D_r} \quad (3.50.)$$

Pe lângă aceste rezistenţe ce apar la trecerea benzii pe rolele de susţinere, trebuie să se ţină cont şi de rezistenţele datorate contactului dintre bandă şi tobele de acţionare, de întindere sau de deviere.

În cazul tobelor de acționare se presupune că unghiul de înfășurare al benzii este de 180° iar rezultanta ce acționează asupra lagărelor tobei este egală cu suma $S_{inf} + S_{desf}$. Dacă se scrie ecuația de momente față de axul tobei se obține:

$$R_{ta} \frac{D_{ta}}{2} = \mu_1 (S_{inf} + S_{desf}) \frac{d_{ta}}{2} \quad (3.51.)$$

unde D_{ta} este diametrul tobei de acționare;

d_{ta} – diametrul axului tobei de acționare;

μ_1 - coeficientul de frecare din lagărul tobei de acționare.

Cu aceste date și notând $k_3 = \frac{\mu_1 d_{ta}}{D_{ta}}$ ($k_3 = 0,015 \dots 0,02$), rezistența la trecerea benzii peste

toba de acționare va fi:

$$R_{ta} = k_3 (S_{inf} + S_{desf}) \quad (3.52.)$$

La trecerea benzii peste o rolă de întoarcere sau de deviere rezistența va fi:

$$R_{ti} = S_{desf} - S_{inf} = S_{inf} (k_4 - 1) \quad (3.53.)$$

unde $k_4 = 1,05 \dots 1,10$.

Deoarece la trecerea benzii prin intervalul dintre două role de susținere aceasta face o săgeată l' , a cărei mărime nu trebuie să depășească anumite valori, deoarece unghiul suplimentar făcut de bandă ca efect al săgeții se adaugă la cel de înclinare al transportorului, în unele cazuri suma lor putând duce la alunecarea materialului în lungul benzii. Mai mult decât atât, o săgeată mare a benzii între două reazeme poate produce salturi ale materialului la contactul cu rolele de sprijin, chiar și la un transportor orizontal.

La calculul întinderii benzii de transportor trebuie îndeplinită condiția ca forța minimă de tracțiune din bandă să îndeplinească condiția:

$$S_{min} > 5g(q + q_B)l' \cos \alpha \quad (3.54.)$$

Puterea necesară pentru învingerea tuturor rezistențelor la deplasarea benzii W , pentru o viteză v de deplasare are forma:

$$P = \frac{W \cdot v}{102} \quad (3.55.)$$

Dacă se ține cont de relația (3.20.), forța de întindere maximă din bandă va fi:

$$S_{max} = S_{inf} = \frac{102P}{v} \frac{e^{\mu\alpha'}}{e^{\mu\alpha'} - 1} \quad (3.56)$$

Cunoscând forța maximă de întindere din bandă se poate determina numărul de inserții necesare pentru a asigura rezistența benzii.

Având stabilite forțele din ramura care se înfășoară, respectiv din ramura care se desfășoară de pe toba de acționare, se poate determina forța periferică care va trebui să învingă toate rezistențele ce se opun deplasării benzii.

Dacă se ține cont de randamentul mecanismului de acționare η_{red} (de regulă motor electric și reductor) și de necesarul unei rezerve de putere ($k = 1,1 \dots 1,2$), atunci puterea motorului de acționare a transportorului se poate determina cu relația:

$$P = k \frac{W \cdot v}{102 \cdot \eta_{red}}, \text{ în kW} \quad (3.57.)$$

3.3.2. Transportoare cu plăci

Transportoarele cu plăci servesc la transportul materialelor vărsate sau a sarcinilor individuale.

Din punct de vedere constructiv, transportorul cu plăci are aceleași părți componente ca și cel cu bandă, cu deosebirile specifice. Astfel, banda de transport este alcătuită dintr-o serie de

plăci din tablă de oțel sau din lemn, susținute între două lanțuri de tracțiune de tipul cu eclise, cu bușe și role. Rolele care susțin greutatea benzii de transport cu materialul aferent pe ramura activă, rulează atât la ducere cât și la întoarcere pe șine fixate de batiul transportorului. Acționarea celor două lanțuri se face cu roți poligonale la extremitatea de descărcare a materialului, la celălalt capăt fiind prevăzute roțile de întindere. Încărcarea materialului se face printr-o pâlnie iar descărcarea prin cădere liberă într-un jgheab de primire.

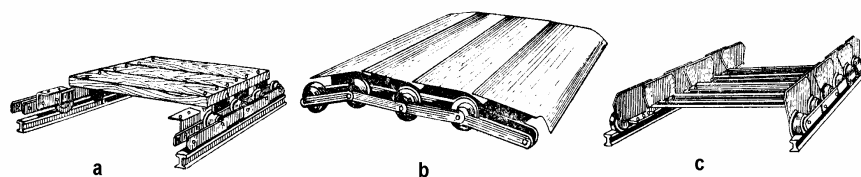


Fig. 3.28. Tipuri de plăci: a- plăci de lemn; b- plăci fără bordură; c- plăci cu bordură.

Plăcile care alcătuiesc banda de transport pot avea diverse forme (fig. 3.28.) și pot fi dispuse distanțate sau formând un tablier continuu prin suprapunerea plăcilor, astfel ca materialul să nu se piardă prin interstițiile plăcilor, dar și pentru ca acestea să poată urmări încovoierea lanțului pe roțile de capăt.

Reținerea materialului la plăcile fără bordură este asigurată de două borduri fixe (fig. 3.29.), montate longitudinal, fapt care duce la creșterea rezistenței la înaintare a transportorului ca efect al frecării materialului cu acestea.

Tablierul transportoarelor cu plăci, cu sau fără borduri fixe, poate fi realizat din plăci drepte (fig. 3.30.) sau ondulate (fig. 3.31.), diferența dintre ele constând în modul de realizare a etanșeității articulațiilor plăcilor.

Construcția plăcilor cu bordură poate fi de tipul cu borduri plane (fig. 3.32.), cu borduri ondulate (fig. 3.33.), cu borduri ondulate adânci (fig. 3.34.) sau cu cutii (fig. 3.35.).

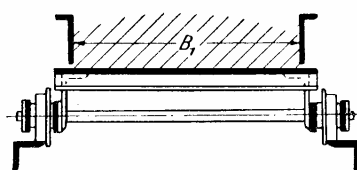


Fig. 3.29. Transportor cu plăci cu borduri fixe

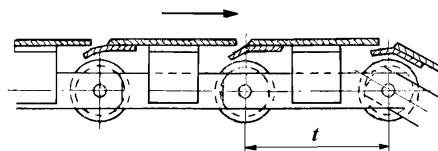


Fig. 3.30. Transportor cu plăci cu tablier din plăci drepte

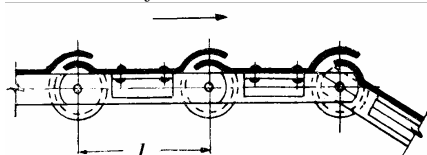


Fig. 3.31. Transportor cu plăci ondulate plane

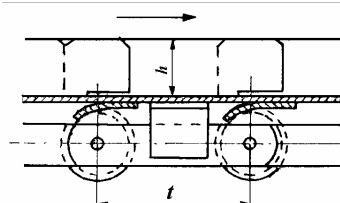


Fig. 3.32. Plăci cu borduri plane

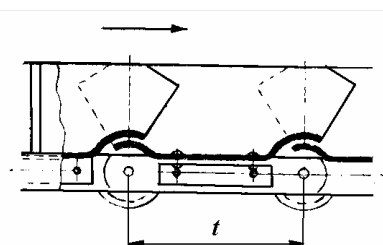


Fig. 3.33. Plăci cu borduri ondulate

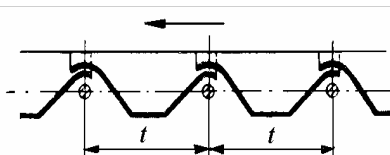


Fig. 3.34. Plăci cu borduri ondulate adânci

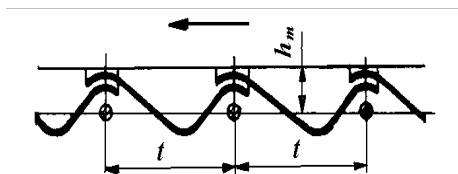


Fig. 3.35. Plăci de tipul cutii

Lățimea de lucru a transportorului cu plăci, în cazul sarcinilor individuale, este determinată de dimensiunea maximă (a) a sarcinilor și ea se alege în mod similar ca la transportorul cu bandă:

$$B \geq a + 0,1, \text{ m} \quad (3.58.)$$

Productivitatea transportorului în acest caz se determină cu relația (3.2.).

În cazul în care se transportă materiale vrac, lățimea transportorului depinde de prezența sau lipsa bordurilor laterale (fig. 3.36.).

Dacă tablierul este alcătuit din plăci plane fără bordură (fig. 3.36.a.) lățimea utilă b poate fi luată egală cu $0,85B$, înălțimea h fiind corespunzătoare unui unghi $\rho = 0,6\rho_m$, ρ_m fiind unghiul taluzului natural al materialului în mișcare.

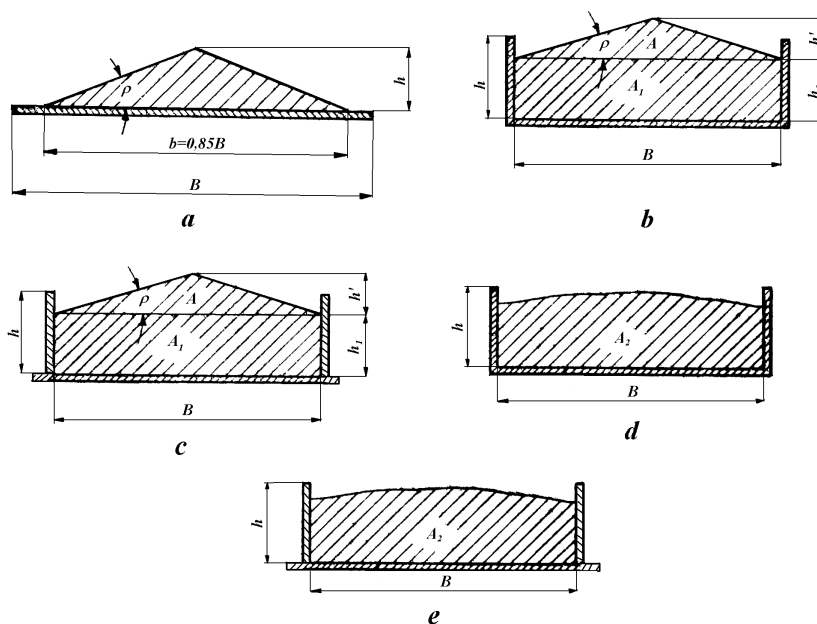


Fig. 3.36. Aria secțiunii transversale la transportoarele cu plăci

Aria secțiunii materialului pe transportor va fi:

$$A = \frac{h'b}{2} = 0,18B^2 \text{tg}(0,6\rho_m), \text{ în m}^2 \quad (3.59.)$$

În funcție de masa volumetrică a materialului, cantitatea de material pe metrul liniar de transportor va fi:

$$q = 180\gamma B^2 \text{tg}(0,6\rho_m), \text{ în kg/h} \quad (3.60)$$

Dacă se ține cont de relația generală a productivității (relația 3.2.), productivitatea transportorului cu plăci, în acest caz va fi:

$$Q = 3,6qv = 648\gamma B^2 \text{tg}(0,6\rho_m), \text{ în t/h} \quad (3.61.)$$

În cazul în care transportorul cu plăci lucrează sub un unghi oarecare, productivitatea va fi afectată cu un coeficient subunitar, ca urmare a posibilității alunecării spre înapoi a materialului de pe transportor:

$$Q = 3,6qv = 648\beta' \gamma B^2 \text{tg}(0,6\rho_m) \quad (3.62.)$$

Atunci când tablierul transportorului este realizat din plăci cu bordură, fixe (fig. 3.36.c. și 3.36.e.) sau mobile (fig. 3.33.b. și 3.33.d.), încărcarea se poate face pe secțiunile $A + A_I$ dacă materialul are granulația mică, respectiv A_2 pe toată lățimea tablierului.

Pentru primul caz suprafața secțiunii materialului va fi:

$$A + A_I = \frac{Bh'}{2} + Bh_I = B \left[\frac{B}{4} \operatorname{tg}(0,6\rho_m) + h\psi_1 \right] \quad (3.63.)$$

unde ψ_1 este coeficientul de umplere și are valori cuprinse între 0,65...0,75.

Cu aceste date, productivitatea transportorului cu plăci are expresia:

$$Q = 3,6qv = 3600\beta' B\gamma [0,25B\operatorname{tg}(0,6\rho_m) + h\psi_1], \text{ în t/h} \quad (3.64.)$$

Pentru situația în care secțiunea transversală este A_2 , , productivitatea transportorului cu plăci va fi:

$$Q = 3600\beta' vBh\gamma\psi_2, \text{ în t/h} \quad (3.65.)$$

unde ψ_2 este coeficientul de umplere și care are valori cuprinse între 0,8...0,85.

Pentru determinarea puterii necesare la acționarea transportorului cu plăci trebuie cunoscute rezistențele care se opun la înaintarea acestuia. Dacă se ține cont de

încărcarea liniară a transportorului cu material q și de încărcarea liniară a tablierului transportorului (plăci, borduri fixe, lanțuri de tracțiune, role de rulare) q' , pentru o lungime L a transportorului, înclinată cu unghiul α față de orizontală, rezistența la deplasare datorită pantei va fi:

$$R_1 = \pm g(q + q')L \sin \alpha \quad (3.66.)$$

Semnul + este pentru cazul în care panta este urcătoare și – dacă panta este coborâtoare.

O componentă a greutății va încărca rolele și fusurile acestora, dând naștere la o rezistență prin frecarea de rostogolire și frecarea din fusul rolor:

$$R_2 = wg(q + q')L \cos \alpha \quad (3.67)$$

unde w este coeficientul de rezistență la înaintare datorită rostogolirii și frecării din role (are valori de 0,06-0,13 pentru role cu lagăre de alunecare și 0,02-0,05 pentru role cu rulmenți, respectiv 0,20-0,25 pentru lanțuri alunecătoare, fără role).

Dacă transportorul are borduri fixe, se adaugă o rezistență datorată frecării materialului cu aceste borduri:

$$R_3 = kL$$

(3.68.)

unde k este un coeficient de rezistență, în N/m, ce ține cont de înălțimea bordurilor.

În afara acestor rezistențe mai apar și altele suplimentare, la înfășurarea și desfășurarea lanțului de pe roțile de acționare și întindere, respectiv frecărilor din fusurile acestor roți.

Ca și în cazul transportoarelor cu bandă și aici trebuie determinată forța minimă de întindere a lanțului care, se poate stabili cu relația (3.56.).

Pentru situațiile în care transportorul cu plăci lucrează cu viteze liniare mai mari de 0,2 m/s, trebuie luate în calcul și forțele dinamice pe care roata de acționare poligonală le introduce.

Puterea necesară la roata de acționare a transportorului va fi:

$$P = \frac{R_{tot}v}{102}, \text{ în kW} \quad (3.69.)$$

iar puterea motorului de acționare se determină cu relația:

$$P_m = \frac{kP}{\eta_{red}}, \text{ în kW} \quad (3.70.)$$

unde k este un coeficient de rezervă de putere ($k = 1,1 \dots 1,2$);

- η_{red} este randamentul total al transmisiei dintre motor și roata de acționare.

3.3.3. Transportoare cu raclete

Transportorul cu raclete (fig. 3.37.) realizează transportul materialelor vrac prin antrenarea acestora în interiorul unui jgheab, de către un organ flexibil de tracțiune, pe care se găsesc montate raclete de diferite forme geometrice.

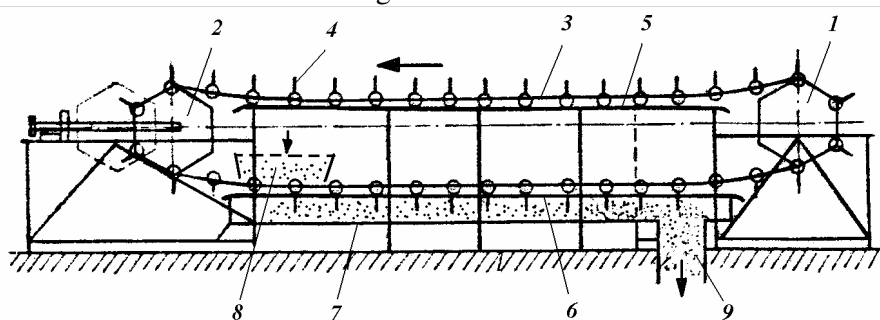


Fig. 3.37. Transportor cu raclete: 1- roată de acționare; 2- roată de întindere; 3- organ flexibil de tracțiune; 4- raclete; 5- ghidaj superior; 6- ghidaj inferior; 7- jgheab de fund; 8- gură de alimentare; 9- gură de evacuare.

Organul flexibil de tracțiune este de constituit din unul sau două lanțuri cu eclise și role (fig. 3.37.) pe care sunt montate racletele a căror formă geometrică determină și secțiunea jgheabului prin care ele se deplasează (dreptunghiulară, trapeză, pătrată, rotundă, etc.).

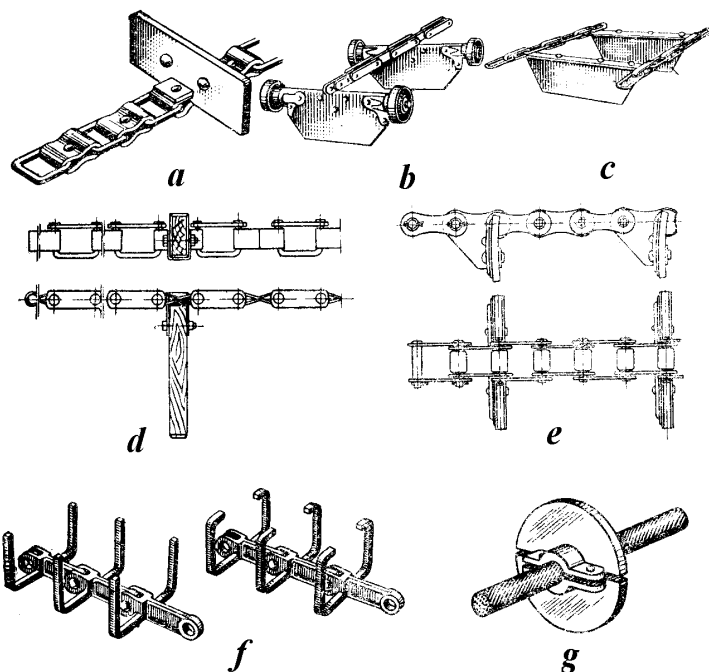


Fig. 3.38. Organe flexibile de tracțiune cu raclete

Pentru transportorul cu raclete din figura 3.37. fiecare racletă împinge o anumită cantitate de material, a cărei înălțime în jgheab este mai mică decât înălțimea racletei. Ca urmare, se transportă doar cantități de material iar fluxul materialului este unul discontinuu. Pentru a reduce frecările dintre raclete și jgheab, între acestea se lasă în interstițiu de 2-3 mm.

Traseul transportorului cu raclete poate fi orizontal, înclinat până la verticală iar viteza de transport are valori cuprinse între 0,3-0,6 m/s.

Transportoarele cu flux continuu de material (fig. 3.39.) au caracteristic faptul că organul flexibil de tracțiune cu raclete alunecă pe fundul jgheabului, iar stratul de material antrenat are înălțimea mai mare decât a racletelor. Din acest motiv ele se mai numesc și transportoare cu raclete înecate. Încărcarea se face la capătul transportorului printr-o pâlnie, materialul căzând printre zalele ramurii superioare a organului flexibil de tracțiune în jgheab, de unde este antrenat de ramura inferioară și evacuat prin gura de descărcare de la capătul celălalt al transportorului.

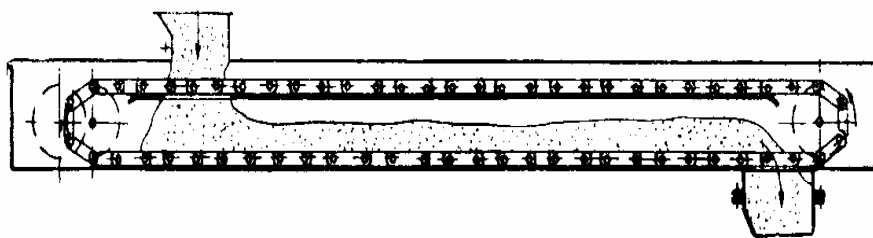


Fig. 3.39. Transportor cu raclete cu flux continuu de material

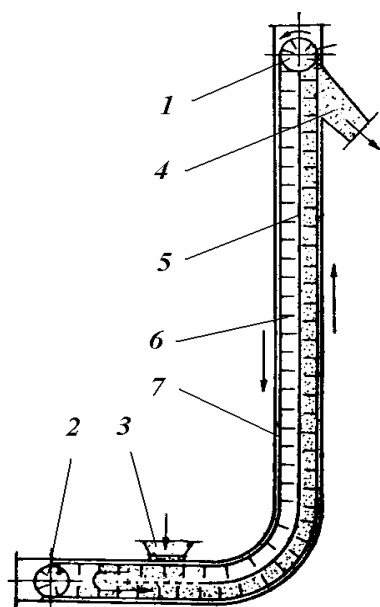


Fig. 3.40. Traseu realizat de transportoarele cu raclete

La baza funcționării acestor transportoare stă faptul că rezistența stratului de material la forfecare de către raclete este mai mare decât frecarea materialului pe fundul și pereții laterali ai jgheabului. Ca urmare, se consideră că tot stratul de material este antrenat în mișcare, într-un flux continuu și fără mișcări interioare ale particulelor. Excepție fac straturile limitrofe acestor suprafețe care, înregistrează o ușoară rămânere în urmă. Pentru a avea realizate aceste condiții, trebuie ca viteza liniară a transportorului cu raclete să nu depășească 0,2-0,3 m/s.

Aceste transportoare pot realiza trasee de transport drepte, curbe, de la orizontală și până la transportul pe verticală (fig. 3.40.). Jgheabul 7 prezintă în secțiune două compartimente,

separate de placa 5, din care unul este plin cu material iar celălalt este gol. Prin ele înaintază organul flexibil de tracțiune cu raclete 6 și care se reazemă pe pereții jgheabului. Alimentarea cu material se face prin pâlnia 3 iar evacuarea prin gura 4. La partea superioară este prevăzută roata de acționare 1 iar întinderea este realizată cu roata 2.

Lățimea de lucru a transportorului cu flux discontinuu se determină din condiția de productivitate.

Pentru o dispunere cu pasul a a racletelor și pentru un coeficient de umplere cu material ψ , a cărui valoare depinde de unghiul de pantă al transportorului, masa liniară de material va fi:

$$q = 1000Bh\gamma, \text{ în kg/m} \quad (3.71.)$$

unde B este lățimea jgheabului, în m;

h - înălțimea racletelor, în m;

γ - masa volumetrică a materialului, în t/m³.

Productivitatea transportorului va fi:

$$Q = 3,6qv = 3600\gamma \cdot B \cdot h \cdot v \cdot \psi \cdot k, \text{ în t/h} \quad (3.72.)$$

De aici, pentru viteza lanțului cu raclete de 0,3-0,6 m/s, se stabilește lățimea jgheabului care, mai trebuie să țină cont și de granulația materialului transportat.

Pentru transportoarele cu flux continuu de material și deplasarea pe orizontală sau sub unghiuri mici, productivitatea se poate determina cu relația:

$$Q = 3600Bh\gamma\psi k_1 k_2 k_3, \text{ în t/h} \quad (3.73.)$$

unde k_1 este coeficientul de viteză, care ține cont de faptul că ea nu este egală pe toată secțiunea transversală a materialului ($k_1 = 0,9$);

k_2 – coeficientul de volum, ce ține cont de faptul că lanțul cu raclete ocupă o parte a spațiului din jgheab ($k_2 = 0,95$);

k_3 – coeficientul de corecție ce ține cont de scăderea gradului de umplere în raport cu panta transportorului ($k_3 = 1$ pentru pante sub 10° și $k_3 = 0,9$ pentru pante între $11^\circ - 20^\circ$).

Din relația de mai sus se obține lățimea jgheabului transportorului cu raclete din condiția de productivitate.

În cazul transportoarelor cu raclete cu flux continuu pe verticală, relația productivității este afectată de un coeficient de umplere corelat cu granulația materialului:

$$Q = 3600 B h \gamma \psi' \quad (3.74.)$$

unde h este înălțimea secțiunii jgheabului, în m.

Pentru raportul B/h cuprins între 1 și 2 și viteza lanțului cu raclete de 0,10-0,25 m/s, coeficientul de umplere are valorile:

$\psi' = 0,5$ pentru materiale cu granulație $< 0,5$ mm;

$\psi' = 0,7$ pentru materiale cu granulație între 0,5 și 10 mm;

$\psi' = 0,8$ pentru materiale cu granulație între 10 și 60 mm.

Pentru determinarea rezistenței la înaintare la transportorul cu raclete cu flux discontinuu, se pleacă de la masa liniară a materialului pe transportor q și masa liniară a lanțului cu raclete q' . Dacă se ia în considerare cazul general în care transportorul este înclinat cu unghiul α față de orizontală, pentru o porțiune rectilinie de lungime L rezistența totală la înaintare este suma a trei rezistențe parțiale:

- rezistența la înaintare datorită frecării materialului cu pereții jgheabului, produsă de componenta normală a greutateii materialului:

$$R_1 = \mu_1 g q L \cos \alpha \quad (3.75.)$$

unde μ_1 este coeficientul de frecare dintre material și jgheab, corectat, pentru a ține cont și de frecarea cu pereții laterali;

- rezistența la înaintare a lanțurilor cu raclete pe ghidaje sau șine, datorată componentei normale a greutateii acestora:

$$R_2 = w g q' L \cos \alpha \quad (3.76.)$$

în care w este rezistența specifică la înaintare a lanțului cu raclete (are valoarea 0,10-0,13 la mișcarea pe role și 0,25 la mișcarea pe ghidaje);

- rezistența dată de componenta greutateii maselor în lungul transportorului:

$$R_3 = \pm g (q + q') L \sin \alpha \quad (3.77.)$$

Pentru ramura neîncărcată a transportorului ($q = 0$) rezistența la înaintare se calculează cu relația:

$$R' = g q' (w L \cos \alpha \pm L \sin \alpha) \quad (3.78.)$$

Acestor rezistențe li se mai adaugă cele care apar la trecerea lanțurilor peste roțile de acționare și întindere.

La transportoarele cu flux continuu stratul de material fiind mai înalt decât înălțimea racletei, pe lângă rezistențele prezentate până acum mai apare una datorată frecării materialului de pereții laterali ai jgheabului. Când transportorul lucrează sub un unghi α , pentru jgheabul de înălțime h , înălțimea stratului de material se consideră $h / \cos \alpha$. Greutatea materialului ce apasă pe fundul jgheabului determină o presiune medie p_m pe acesta și pe pereții laterali astfel că pentru calcule se poate folosi relația:

$$R_4 = 2 L h p_m \mu_1 \quad (3.79.)$$

La deplasarea materialului pe verticală R_1 și R_2 sunt nule. Cu toate acestea, lanțul cu raclete prezintă niște frecări cu pereții jgheabului deoarece axa longitudinală a lanțului diferă în spațiu de direcția de acțiune a rezistenței la înaintare. Din experiențele practice s-a stabilit că se poate aproxima $w \cos \alpha = 0,1$, rezultând o rezistență datorată frecării cu pereții jgheabului de forma:

$$R_2' = 0,1gq'H \quad (3.80.)$$

unde H este înălțimea de transport a materialului pe verticală.

O rezistență suplimentară mai apare și datorită frecării materialului cu pereții jgheabului și care se determină cu relația:

$$R'' = w'' gqH \quad (3.81.)$$

unde w'' este rezistența specifică datorită frecării materialului cu pereții jgheabului.

Celor două rezistențe li se mai adaugă și cea datorată greutateii materialului, respectiv a lanțului cu raclete, astfel că, rezistența la înaintare va fi:

$$R_{tot} = g(q + q')H + 0,1gq'H + w'' gqH \quad (3.82.)$$

Și în acest caz, rezistenței totale i se adaugă cele ce apar pe porțiunea neîncărcată cu material, precum și cele produse la trecerea peste roți de acționare și întindere, respectiv în zonele cu jgheab curb.

3.3.4. Transportoare cu cupe

Transportoarele cu cupe se folosesc la transportul materialelor vrac, ele putând realiza trasee complexe închise, de la orizontală și până la verticală. Din punct de vedere constructiv (fig. 3.41.), sunt alcătuite dintr-un organ flexibil de tracțiune 3 (de obicei două lanțuri cu eclise și role), pe care sunt fixate cupele 4 pendulare și care, ca urmare a faptului că au centru de greutate sub axa de suspendare, rămân permanent în poziție normală cu fundul cupei în jos. În punctul cel mai de sus al traseului este prevăzută roata de acționare 1. Roata de întindere 2 și roțile de abatere sunt dispuse în funcție de traseul ce trebuie realizat. Încărcarea cupelor cu material se face pe la partea inferioară iar descărcarea se face în oricare alt punct al traseului, pentru aceasta fiind prevăzut mecanismul de basculare al cupelor 5.

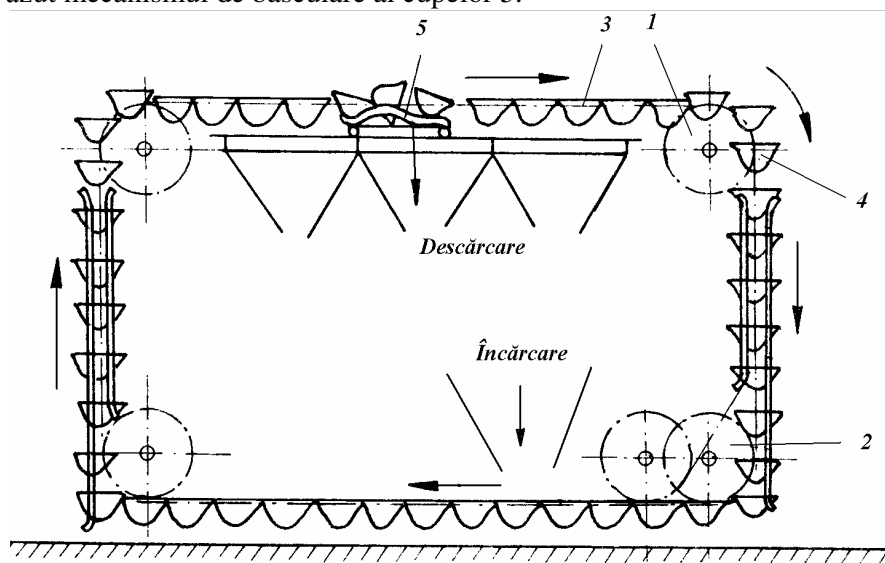


Fig. 3.41. Schema unui transportor cu cupe

În condiții normale de lucru, viteza liniară a lanțului cu cupe este de 0,15-0,4 m/s. Cupele au capacități cuprinse între 0,2-3,5 litri, iar pasul de montare al cupelor este cuprins între 0,2-1 m. Reducerea numărului articulațiilor lanțului ar duce la mărirea lungimii pasului, însă din cauza forțelor dinamice mari care apar la acționare trebuie folosite mecanisme de egalizare sau se reduce viteza sub 1,5 m/s.

Dimensionarea capacității cupelor se face din condiția de productivitate. Dacă se ține cont de faptul că cupele sunt caracterizate prin coeficientul de umplere ψ , pasul de dispunere al cupelor este a , în metri, iar materialul are masa volumetrică γ , atunci din relația productivității (3.2.) rezultă capacitatea unei cupe:

$$i = \frac{Qa}{3,6v\gamma\psi}, \text{ în litri} \quad (3.83.)$$

Cupele se dimensionează respectând condiția ca lățimea lor să fie cel puțin dublul dimensiunii maxime a granulei caracteristice materialului.

Rezistența la înaintare a transportorului cu cupe se determină după același raționament ca la transportoarele cu plăci. Pentru masa liniară a lanțului cu cupe se poate folosi relația simplificată:

$$q' = 150B + 40, \text{ în kg/m} \quad (3.84.)$$

unde B este lățimea cupelor, în m.

Rezistența specifică are aceleași valori ca la transportoarele cu plăci, iar coeficientul de frecare din lanț, la trecerea peste roțile de abatere, este $\mu_1 = 0,35 - 0,45$.

Dimensionarea organului flexibil de tracțiune se face determinând forțele din acesta prin puncte și însumarea rezistențelor. Totodată, se va face și verificarea rezistenței lanțului la o forță de întindere $S_{\max} + S_{\text{din}}$.

Calculul rezistenței totale la înaintare a transportorului cu cupe, a puterii absorbite la roata motoare și puterea motorului de acționare se determină cu relațiile de la celelalte transportoare.

3.3.5. Elevatoare

Elevatoarele sunt transportoare prevăzute cu organ flexibil de tracțiune a căror direcție de transport este pe verticală sau apropiată de aceasta. Din acest motiv, organul flexibil de tracțiune nu poate fi și purtător de sarcină, pentru asta fiind prevăzute organe speciale de tip cupă (elevatoare cu cupe), leagăne (elevatoare cu leagăne), platforme (elevatoare cu platforme), suporturi speciali (elevatoare cu suporturi pentru sarcini individuale).

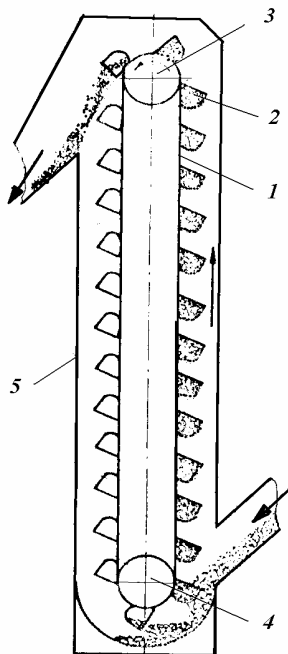


Fig. 3.42. Elevator cu cupe

Elevatoarele cu cupe sunt destinate transportului de materiale vrac, la înălțimi de până la 50 m și în cantități de până la 300 t/h. Din punct de vedere constructiv (fig. 3.42.) ele sunt alcătuite din organul flexibil de tracțiune 1 cu cupele 2, toba de acționare 3 plasată la partea superioară, toba de întindere 4, toate închise într-o cutie metalică 5.

Clasificarea elevatoarelor se poate face după mai multe criterii:

- după viteza organului flexibil de tracțiune:
 - elevatoare lente, la care viteza este mai mică de 1 m/s;
 - elevatoare rapide, la care viteza este mai mare de 1 m/s;
- după modul de descărcare:
 - elevatoare cu descărcare gravitațională liberă (fig. 3.43.);
 - elevatoare cu descărcare gravitațională dirijată (fig. 3.44.);
 - elevatoare cu descărcare centrifugală (fig. 3.45.);
 - elevatoare cu descărcare mixtă;
- după felul montării cupelor pe organul flexibil de tracțiune:
 - elevatoare cu cupe alipite (fig. 3.46.b.);
 - elevatoare cu cupe distanțate (fig. 3.46.a.);

- după modul de încărcare al cupeilor:
 - elevatoare cu încărcare în vrac; cupele se umplu la trecerea lor prin masa de material de la piciorul elevatorului (fig. 3.47.);
 - elevatoare cu încărcare prin turnare în cupe; materialul este turnat de sus în cupe în flux continuu (fig. 3.48.);
- după felul organului flexibil de tracțiune:
 - elevatoare cu bandă, de cauciuc cu inserție textilă sau bandă textilă;
 - elevatoare cu lanț, unul sau două lanțuri cu eclise și bucle.

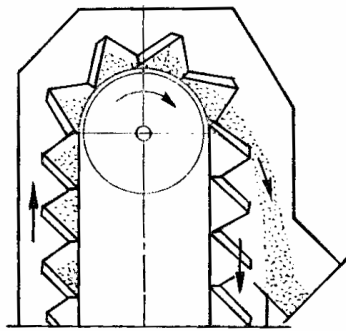


Fig. 3.43 Elevator cu descărcare gravitațională

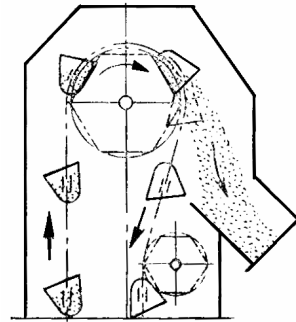


Fig. 3.44. Elevator cu descărcare gravitațională dirijată

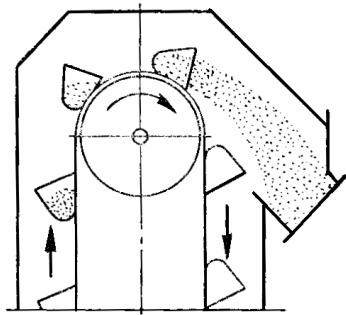


Fig. 3.45. Elevator cu descărcare centrifugală

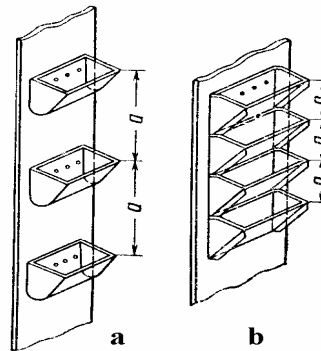


Fig. 3.46. Modul de montare a cupeilor pe organul flexibil de tracțiune

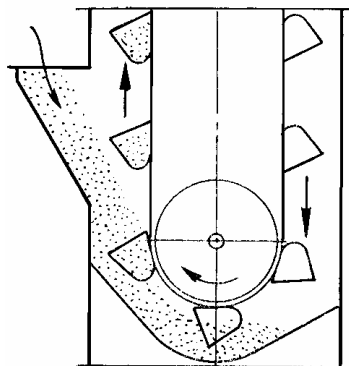


Fig. 3.47. Elevator cu încărcare în vrac

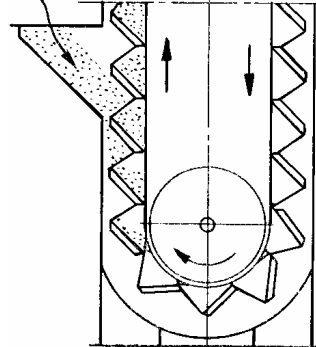


Fig. 3.48. Elevator cu încărcare prin turnare în cupe

La elevatoarele cu bandă acționarea și întinderea benzii se realizează prin intermediul unor tobe, în timp ce la elevatoarele cu lanț, acestea sunt realizate cu ajutorul unor roți de lanț profilate.

Cupele sunt realizate din tablă de oțel de 2-8 mm grosime, construcție sudată sau ambutisate, având două forme specifice: cu fund rotunjit (cu adâncime redusă pentru materialele care se scurg greu și tind să adere la suprafața cupelor, respectiv adânci pentru materialele care se scurg ușor) sau cu fund ascuțit și bordură la marginile feței anterioare care, formează un jgheab de scurgere necesar la descărcarea cupelor (se folosesc la transportul materialelor cu granulație mijlocie și mare).

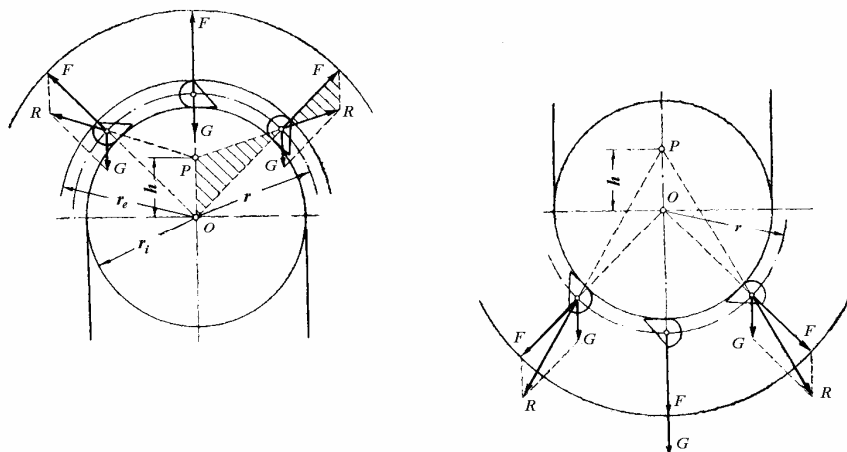


Fig. 3.49. Schema procesului de descărcare și încărcare a cupei

La trecerea cupei prin dreptul roții de acționare sau de întindere (fig. 3.49.), asupra fiecărei particule acționează o forță de gravitație $G = mg$ și o forță centrifugă $F = m\omega^2 r$. Rezultanta R are direcția care întâlnește verticala dusă prin centrul roții în punctul P numit polul mișcării. Poziția lui pe axa verticală față de centrul roții (sau a tobei) depinde de turația acesteia:

$$h = \frac{895}{n^2}, \text{ în m} \quad (3.85.)$$

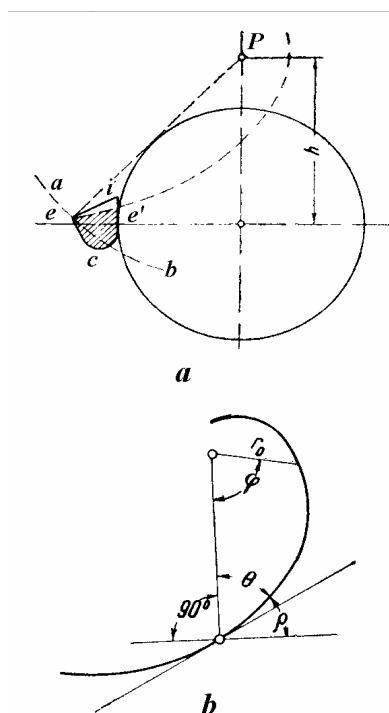


Fig. 3.50. Forma suprafeței libere a sau: materialului din cupă

Dacă se consideră o cupă ce intră pe traiectoria circulară în jurul tobei de acționare (fig. 3.50.), atunci asupra fiecărei particule aflată în cupă acționează o forță rezultantă care pornește din polul P . Pentru un lichid aflat în cupă, suprafața liberă a sa va fi un cilindru a cărui urmă pe planul figurii ar fi cercul ab cu centrul în P și care trece prin marginea exterioară a cupei, respectiv punctul e . Cum în cupă se află material vrac cu unghiul taluzului natural în mișcare ρ , atunci în orice punct unghiul θ , cuprins între raza vectoare plecată din polul P și tangenta la urma suprafeței libere a materialului, va avea valoarea constantă $\theta = 90 - \rho$. Dar:

$$\operatorname{tg} \theta = \frac{rd\varphi}{dr} = \operatorname{ctg} \rho \quad (3.86.)$$

care prin integrare devine:

$$\ln r - \ln r_0 = \varphi \operatorname{tg} \rho \quad (3.87.)$$

$$r = r_0 e^{\varphi \operatorname{tg} \rho} \quad (3.88.)$$

Relația de mai sus reprezintă ecuația unei spirale logaritmice și rezultă că suprafața liberă a materialului aflat în cupă va fi reprezentat de arcul ee' , surplusul de material deplasându-se, sub acțiunea forțelor rezultante, spre marginea e de unde se revarsă din cupă.

Pentru a evita consumul inutil de energie cu încărcarea cupelor peste volumul corespunzător suprafeței hașurate din figură, coeficientul de umplere a cupelor trebuie să nu depășească valoarea:

$$\psi = \frac{aria_{ee'}}{aria_{eci}} \quad (3.89.)$$

Se poate constata din figură că acest coeficient de umplere depinde de mărimea unghiului taluzului natural și de poziția polului mișcării. Cu cât crește distanța polară (adică scade turația) coeficientul de umplere crește.

Aceiași tendință se înregistrează și la încărcarea cupei, când aceasta trece pe după toba de întoarcere, unde are loc încărcarea cu material din vrac. Pentru a asigura un coeficient de umplere cât mai bun trebuie ca materialul din zona de umplere să aibă timpul necesar să revină la loc, astfel ca umplerea cupei următoare să se realizeze la același coeficient de umplere. În caz contrar cupa va întâlni un gol de material, fapt ce va duce la umplerea parțială a acesteia. Pentru a elimina acest neajuns, cupele se montează cu un anumit pas iar viteza organului flexibil de tracțiune este mică. Nu se recomandă umplerea cupelor din vrac la materialele care curg greu sau au granulația mare. Pentru acestea se recomandă umplerea prin turnarea materialului direct în cupe, cupele fiind dispuse una lângă alta.

Descărcarea cupelor are loc la trecerea peste toba superioară și aici un rol important îl are poziția polului mișcării, respectiv distanța polară h . Din figura 3.45. se poate constata că există trei situații:

- $h < r_i$: forța centrifugă predomină asupra gravitației și avem o descărcare centrifugă;
- $h > r_e$: forța gravitațională predomină și avem o descărcare gravitațională liberă;
- $r_i < h < r_e$: avem o descărcare centrifugo-gravitațională.

În practică, la transportul cerealelor se folosește descărcarea gravitațională, în timp ce la alte materiale se folosește descărcarea mixtă sau cea gravitațională. Pentru descărcarea mixtă, viteza organului flexibil de tracțiune nu trebuie să depășească valoarea pentru care forța centrifugă este mai mare de 2/3 din forța de greutate:

$$\frac{mv^2}{r_i} < \frac{2}{3}mg \Leftrightarrow v < 2,56\sqrt{r_i}, \text{ în m/s} \quad (3.90.)$$

Întrucât $h = g / \omega^2$, se obține în final condiția descărcării mixte sau gravitaționale :

$$\frac{v^2}{r_i} < \frac{2}{3}h\omega^2 \Rightarrow h > 1,5r_i \quad (3.91.)$$

Productivitatea elevatorilor cu cupe se determină în mod similar ca la transportoarele cu cupe (relația 3.83.) sub forma:

$$Q = 3,6 \frac{i}{a} v \gamma \psi, \text{ în t/h} \quad (3.92.)$$

unde i este capacitatea unei cupe, în litri;

γ - masa volumetrică a materialului.

Se stabilesc viteza benzii cu cupe și coeficientul de umplere, în funcție de caracteristicile materialului, apoi gradul de încărcare pe metrul liniar și în final capacitatea cupelor.

În cazul elevatorilor care transportă materialul pe verticală, rezistența la înaintare provine din greutatea materialului de pe ramura ascendentă, la care se adaugă rezistențele ce apar la trecerea organului flexibil de tracțiune peste toba de acționare, respectiv toba de întindere. La elevatorile ce lucrează sub un unghi diferit de verticală, la rezistențele specificate se mai adaugă și cele datorate frecării sau rostogolirii pe ghidaje.

Față de celelalte transportoare, la elevatoarele cu cupe mai apare o rezistență specifică datorată umplerii cupelor la partea inferioară.

La stabilirea masei liniare a organului flexibil de tracțiune cu cupe se poate utiliza o relație empirică de forma:

$$q' = \xi Q, \text{ în kg/m} \quad (3.93.)$$

unde ξ este un coeficient ce ține cont de tipul elevatorului și forma cupei (valorile sunt date în tabelul 3.1.).

Tabelul 3.1. Valorile coeficientului ξ

Productivitatea Q, t/h	<25	25-50	50-100	>100
Tipul elevatorului				
Cu bandă:				
- cu cupe rotunjite, distanțate	0,6	0,5	0,4	0,3
- cu cupe ascuțite, alipite	-	-	0,6	-
Cu un lanț:				
- cu cupe rotunjite, distanțate	0,75	0,6	0,5	-
- cu cupe ascuțite, alipite	-	-	0,8	-
Cu două lanțuri:				
- cu cupe rotunjite, distanțate	1,1	0,9	0,7	0,4
- cu cupe ascuțite, alipite	-	-	1,2	0,8

Determinarea forțelor care apar în organul flexibil de tracțiune se face prin calculul forțelor în puncte pe contur. La acestea trebuie respectată condiția de întindere minimă a organului de tracțiune, sub care cupele tind să se încline, ceea ce duce la scăderea gradului de umplere a acestora. După verificarea benzii sau a lanțului la forța de întindere maximă, se stabilește rezistența totală la deplasare și puterea necesară pentru acționarea elevatorului, la fel ca în cazurile precedente.

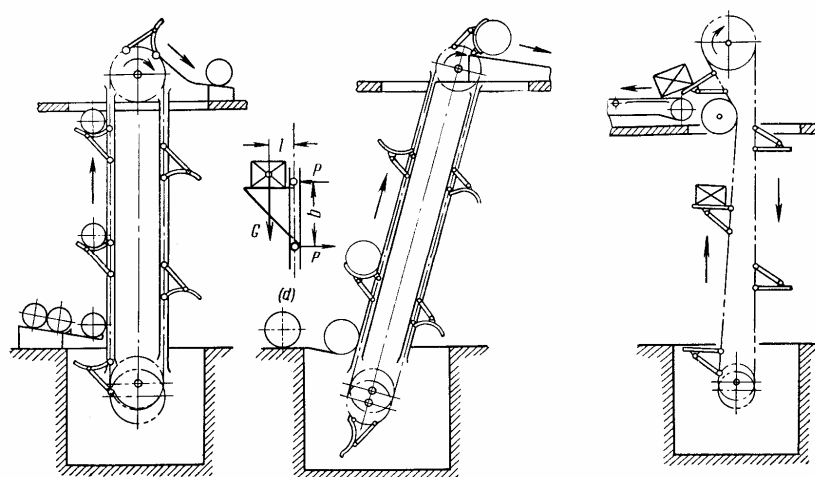


Fig. 3.51. Elevatoare pentru sarcini individuale

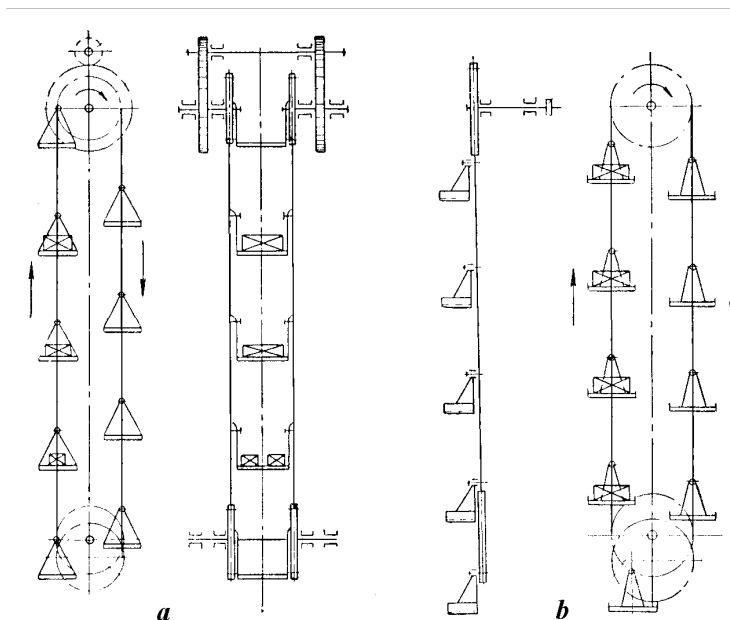


Fig. 3.52. Elevatoare cu polițe: a- cu două lanțuri; b- cu un lanț

Elevatoarele utilizate pentru transportul sarcinilor individuale sunt realizate sub forma unor suporturi montați în consolă pe organul flexibil de tracțiune (fig. 3.51.), lucrând pe verticală sau apropiat de verticală (în figură sunt prezentate și modurile de preluare și descărcare a sarcinilor), respectiv sub formă de polițe sau leagăne (fig. 3.52.) și care lucrează de regulă pe verticală.

Aceste tipuri de elevatoare se regăsesc la ridicarea sau coborârea lăzilor, a sacilor, a baloților, a butoaielor, a cutiilor mari, etc.

Calculul elevatoarelor pentru transportat sarcini individuale presupune determinarea rezistenței totale la înaintare, a sarcinii maxime din organul de tracțiune și a puterii necesare antrenării, pentru aceasta fiind folosite relațiile de calcul de la elevatoarele cu cupe.

3.3.6. Transportoare suspendate

Transportoarele suspendate sunt instalații de transportat folosite, în mod deosebit, la abatoarele de mare capacitate, realizând un circuit închis pe orice direcție în spațiu. Sunt alcătuite dintr-un organ flexibil de tracțiune, de regulă un lanț fără sfârșit, pe care, la partea inferioară, sunt dispuse la distanțe egale dispozitive de suspendare a sarcinii (fig. 3.53.), de tipul cârlige, cărucioare sau alte organe de suspendare a sarcinilor individuale. De partea superioară a lanțului sunt montate role care permit deplasarea ansamblului pe o cale de rulare suspendată.

Lungimea unui transportor suspendat poate ajunge la valori de 2000 m, în funcție de necesități. Viteza de deplasare a organului flexibil se încadrează în limitele 0,01-0,35 m/s. Dacă în anumite condiții este necesară modificarea vitezei de lucru, în construcția mecanismului de acționare este prevăzut un variator de viteză. Mărimea sarcinii poate varia în limite foarte largi, de la câteva kilograme și până la câteva sute de kilograme (de exemplu, de la greutatea păsărilor și până la cea a bovinelor). Pasul de dispunere a organelor de suspendare și viteza depind de tipul sarcinii și de necesitățile tehnologice, respectiv operațiile care se execută la deplasarea sarcinilor cu transportorul suspendat (asomare, jugulare, opărire, pârlire, jupuire, eviscerare, etc.).

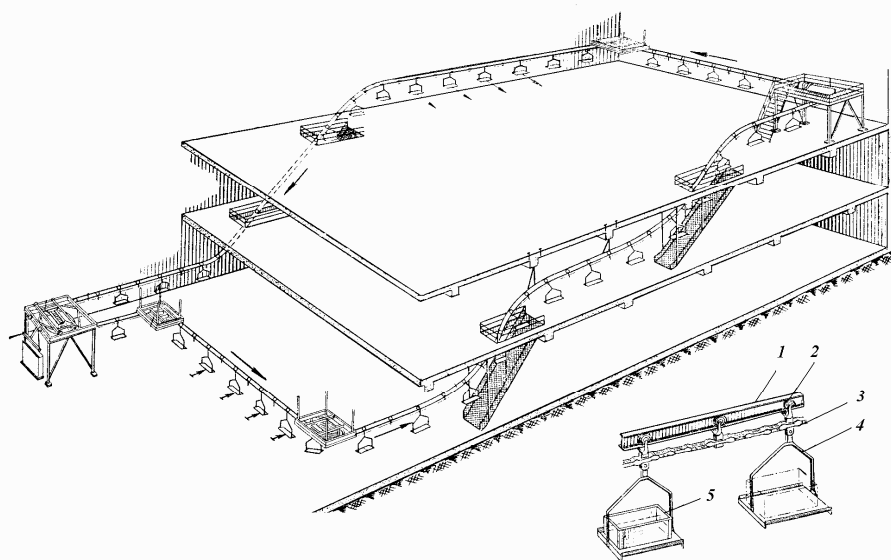


Fig. 3.53. Transportor suspendat: 1- cale de rulare; 2- rolă de rulare; 3- organul flexibil de tracțiune; 4- organul de suspendare a sarcinii; 5- sarcina de transportat.

Transportoarele suspendate sunt prevăzute cu dispozitive de acționare, de întindere și de abatere, tipul și numărul acestora fiind impus de necesitatea realizării traseului de transport și a forței de tracțiune din lanț.

Calea de rulare este realizată din profile laminate în formă de I (cel mai utilizat în practică), U sau T. Profilul I are un dezavantaj și anume faptul că obada roților de rulare trebuie să fie conică, deoarece talpa profilului are aceeași înclinație, efectul fiind apariția unei rezistențe suplimentare la rulare și în final uzura crescută a căii de rulare. Cu bune rezultate se pot folosi și căi de rulare compuse din două profile cornier care, permit realizarea unor curbe cu raze mai mici și a unor trasee în plan vertical. Căile de rulare sunt suspendate la construcțiile unde sunt amplasate, fie de tavan, fie pe stâlpi de susținere prevăzuți cu console.

Ansamblul format din cărucioare și organul flexibil de tracțiune au construcția dependentă de forma traseului și de forța de tracțiune necesară. În practică se folosesc următoarele tipuri de organe flexibile de tracțiune:

- lanțuri cu zale sudate din oțel rotund;
- lanțuri cu eclise și buçe, mai rar și cu role;
- lanțuri forjate demontabile;
- cabluri de oțel, similare celor folosite la mașinile de ridicat.

Fiecare dintre organele flexibile de tracțiune de mai sus au avantaje și dezavantaje, iar din cauza alungirilor suferite în timp și a lungimii mari, necesită dispozitive de întindere pe măsură.

Cărucioarele care se deplasează pe calea de rulare pot fi active (când au montate pe ele un dispozitiv de prindere sau suspendare a sarcinii) sau intermediare (când au rolul de a susține organul flexibil de tracțiune între cărucioarele active).

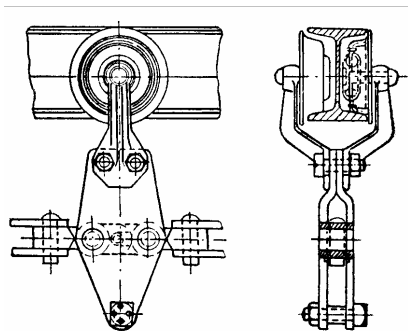


Fig. 3.54. Cărucior cu câte o roată pe fiecare parte a căii de rulare

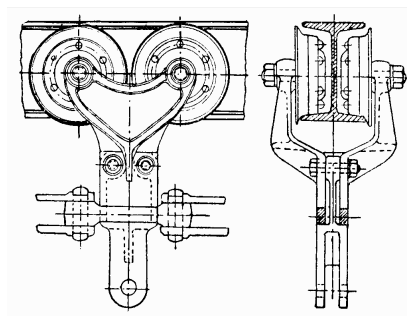


Fig. 3.55. Cărucior cu role tandem

La transportul sarcinilor mici se folosește căruciorul care are dispuse două role, câte una de fiecare parte a șinei de rulare (fig. 3.54.), iar la transportul sarcinilor mari se pot folosi cărucioare cu role tandem (fig. 3.55.).

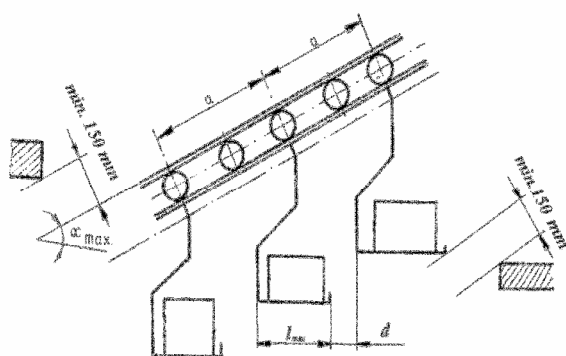


Fig. 3.56. Calculul distanței dintre cărucioare

Dispozitivele de abatere și întindere folosite la realizarea traseelor și întinderea organului flexibil de tracțiune, trebuie să asigure raza minimă necesară impusă de mărimea sarcinilor. Astfel, la trecerea de pe un traseu orizontal la unul înclinat (fig. 3.56.), ca urmare a apropierii sarcinilor trebuie respectată condiția:

$$a \geq \frac{1}{\cos \alpha_{\max}} (l_{\max} + d) \quad (3.94.)$$

unde a este pasul cărucioarelor;

l_{\max} – lățimea maximă a sarcinii de transportat.

Același lucru trebuie respectat și în cazul când sarcinile parcurg un traseu curb în plan orizontal.

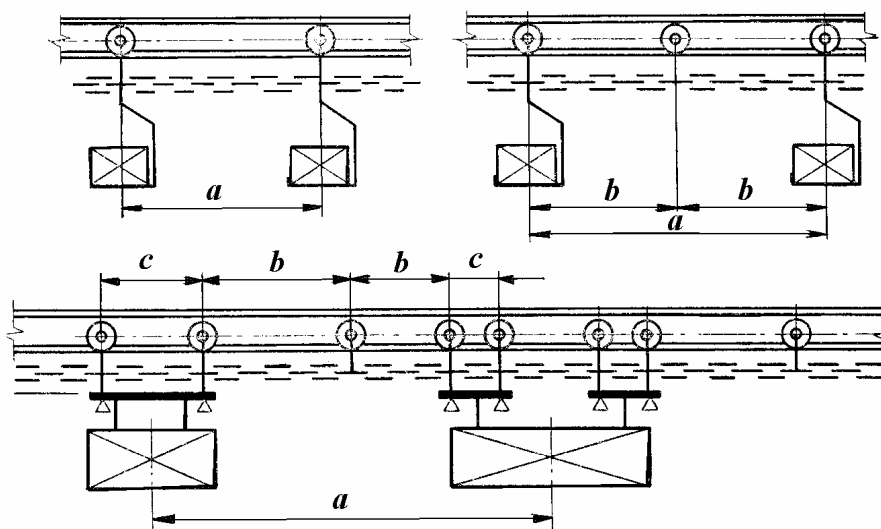


Fig. 3.57. Diverse moduri de montare a cărucioarelor în funcție de caracteristicile sarcinii

$$S_{\max} = S_0 + wg(q' L_{H1} + q_0 L_{H0})(1 + kk_h h k_v k_b b) \pm Hg(q' - q_0), \text{ în N} \quad (3.98.)$$

în care S_0 este forța minimă de pe traseu și care se ia între 500-1000 N;

w – rezistența specifică la înaintare pe traseul rectiliniu;

L_{H1} – lungimea totală proiectată pe orizontală a tronsoanelor parcurse de către sarcină;

L_{H0} – lungimea totală proiectată pe orizontală a tronsoanelor parcurse fără sarcină;

k – coeficient de corecție ($k = 0,3-0,65$);

k_h – coeficient de rezistență la trecerea printr-o curbă în plan orizontal pe o roată de abatere (h este numărul de curbe orizontale);

k_b – coeficient de rezistență la trecerea printr-o curbă în plan orizontal pe o baterie de role (b este numărul de baterii de role);

k_v – coeficient de rezistență la trecerea printr-o curbă în plan vertical (v este numărul curbelor în plan vertical);

H – diferența de nivel la care este sarcina este ridicată (+) sau coborâtă (-).

Valoarea coeficienților depinde de forma traseului și regimul de exploatare, fiind prezentați în tabelul 3.2.

Tabelul 3.2. Valorile coeficienților de rezistență la înaintare

Regimul de exploatare al transportorului	w	k_h	k_b	k_v
Ușor: traseu simplu, atmosferă curată, lipsită de praf și abur;	0,025	1,04	1,025	1,02
Mijlociu: traseu complicat, atmosferă cu praf neabraziv și umiditate scăzută;	0,03	1,05	1,03	1,025
Greu: traseu complicat, temperaturi ridicate, praf și umiditate ridicate.	0,4	1,07	1,04	1,03

La deplasarea pe porțiuni rectilinii rezistența specifică la înaintare este compusă din frecarea din axele roților și frecarea de rostogolire a roților pe calea de rulare, la care se adaugă și frecarea suplimentară datorită conicității roților când rulează pe un profil I, fiind dată de relația:

$$w = \left(\mu \frac{d}{2R} + \frac{f}{R} + 0,7\mu_1^2 + \frac{\mu_1 l}{R} \sin \alpha \right) \quad (3.99.)$$

unde μ este coeficientul de frecare din lagărul roții;

μ_1 - coeficientul de frecare dintre roată și șină;

f – coeficientul de frecare la rostogolire;

l – lățimea activă a obezii roții;

R – raza medie a roților;

α - unghiul de pantă al feței interioare a profilului I.

3.4. Transportoare fără organ flexibil de tracțiune

3.4.1. Transportoare elicoidale

Transportoarele elicoidale sunt destinate lucrului cu materiale vrac de granulație mică și mijlocie ($a_{\max} \leq 150\text{mm}$). Din punct de vedere constructiv (fig. 3.59.) ele se compun din jgheabul 4 în care se rotește melcul 5, acționat de motorul electric 1 și reductorul 2. Materialul este introdus în jgheab prin gura de alimentare 6, deplasat axial de către spira melcului și evacuat prin orificiul 3, plasat la fundul jgheabului. Turația melcului se alege de așa manieră încât materialul să nu fie antrenat în mișcare de rotație odată cu spira melcului, el rămânând pe fundul jgheabului în permanență, datorită greutateii proprii.

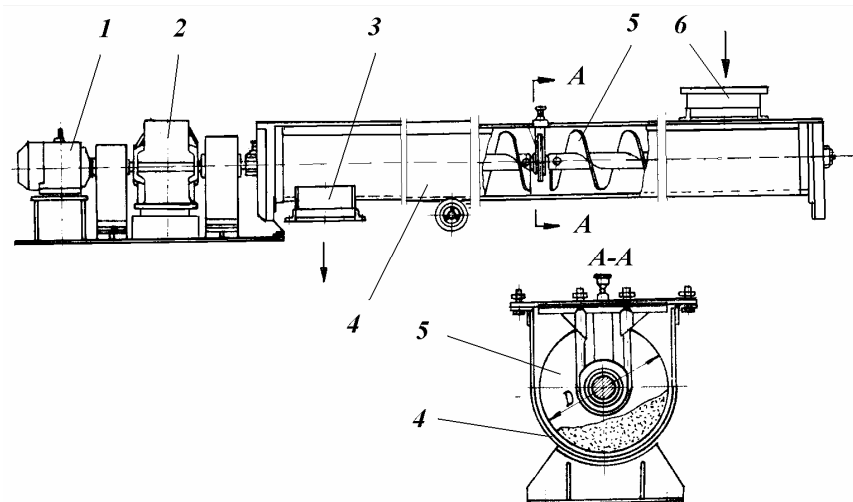


Fig. 3.59. Transportor elicoidal

Transportoarele elicoidale pot fi folosite la transportul pe orizontală a materialelor vărsate și înclinate cu până la 20° , pe distanțe de până la 30 m, dar sunt construcții speciale care permit transportul materialului chiar și pe verticală (fig. 3.60.).

Organul de lucru al transportorului este un melc a cărui variante constructive se pot vedea în figura 3.61. De regulă, diametrul exterior al spirei melcului are valori cuprinse între 150-600 mm iar turația variază între 40-200 rot/min. Melcul se execută cu un singur început, mai rar cu două începuturi, pasul spirei fiind egal cu diametrul, la materialele neabrazive sau 0,8 din diametru la materialele abrazive. Axul pe care se dispune spira poate fi plin sau tubular, iar pentru lungimi de transport mari el se execută din tronsoane îmbinate și susținute pe lagăre.

Jgheabul prin care se rotește melcul se execută din tablă de oțel de 3-6 mm grosime, între ele fiind lăsat un interstițiu de 3-5 mm. De forma fundului jgheabului (fig. 3.62.) depinde mărimea coeficientului de umplere. Partea superioară a jgheabului este dreptunghiulară, condiție în care se poate aplica un capac etanș și intervenție rapidă în caz de necesitate.

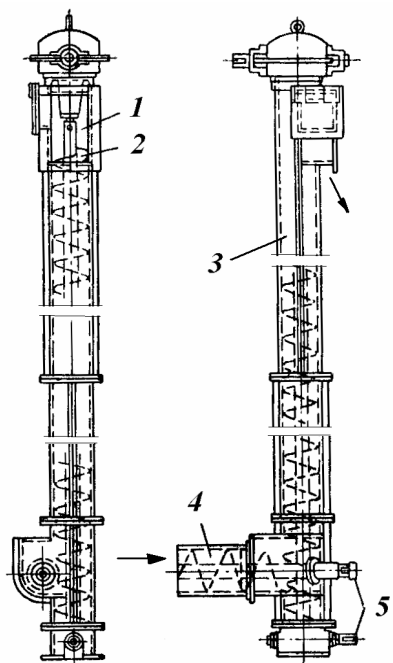


Fig. 3.60. Transportor elicoidal vertical:
1- gură evacuare; 2- melc; 3- jgheab cilindric; 4- transportor alimentare; 5- mecanisme de antrenare

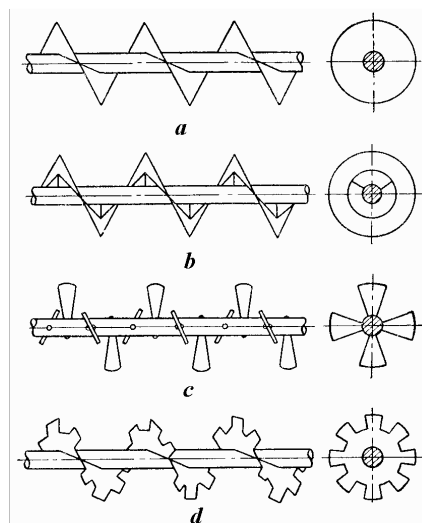


Fig. 3.61. Tipuri constructive de melci:
a- cu elice completă; b- cu elice cu spițe; c- cu lopeți dispuse elicoidal; d- cu margine dințată.

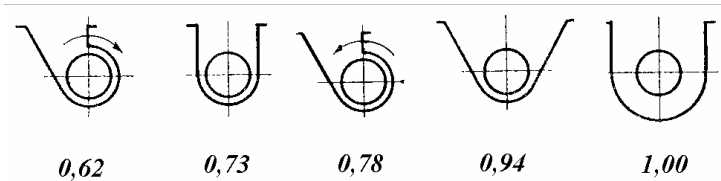


Fig. 3.62. Mărimea coeficientului de umplere în funcție de forma jgheabului

La transportoarele elicoidale ce ridică materialul pe verticală melcul are spira cu elice completă și jgheabul de formă cilindrică, total umplut cu material. Turația melcului se alege astfel încât materialul din coloana verticală să fie apăsător pe peretele interior al jgheabului, iar prin frecarea lui cu acesta se evită antrenarea odată cu melcul. Pe acest principiu se pot realiza înălțimi de ridicare de până la 15 m.

Productivitatea transportorului elicoidal se determină plecând de la mărimea sarcinii liniare care, pentru un melc cu diametrul exterior D și diametrul axului d , este:

$$q = 1000 \frac{\pi(D-d)^2}{4} \gamma \psi, \text{ în kg/m} \quad (3.100.)$$

în care ψ este coeficientul de umplere;

γ - masa volumetrică a materialului.

Viteza de deplasare a materialului în lungul transportorului este:

$$v = \frac{pn}{60} = \frac{kD}{60} n \quad (3.101)$$

unde n este turația melcului, în rot/min;

p - pasul melcului, în m ($p = kD$);

Cu aceste date productivitatea transportorului elicoidal devine:

$$Q = 3,6qv = 3,6 \cdot 1000 \frac{\pi(D-d)^2}{4} \frac{pn}{60} \gamma \psi = 15\pi(D-d)^2 pn \gamma \psi \quad (3.102.)$$

Dacă transportorul elicoidal lucrează sub un unghi cuprins între $0-20^\circ$ atunci productivitatea sa va fi afectată de un coeficient ce scade cu unghiul de înclinare, de la 1,0 pentru direcția orizontală, la 0,65 pentru un unghi de 20° .

Rezistența la înaintare este datorată frecării materialului cu suprafața melcului și peretele jgheabului, frecarea dintre granulele materialului ca efect al amestecării sale, respectiv componenta greutatei datorită pantei transportorului.

Pentru primele rezistențe este greu de stabilit relații matematice și ca urmare, rezistența specifică w se găsește, determinată experimental, în tabele de specialitate.

Considerând transportorul elicoidal din figura 3.63. înclinat cu unghiul oarecare α , rezistența totală la înaintare se poate calcula cu relația:

$$R = wgq(L \cos \alpha \pm L \sin \alpha) = wgq(L_H \pm H) \quad (3.103.)$$

Puterea necesară la axul melcului este:

$$P_a = \frac{Rv}{102} = \frac{wgqv}{102} (L_H \pm H) = wg \frac{Q}{367} (L_H \pm H), \text{ în kW} \quad (3.104.)$$

Pentru determinarea forței axiale din lagărul transportorului se stabilește mai întâi momentul motor la axul melcului:

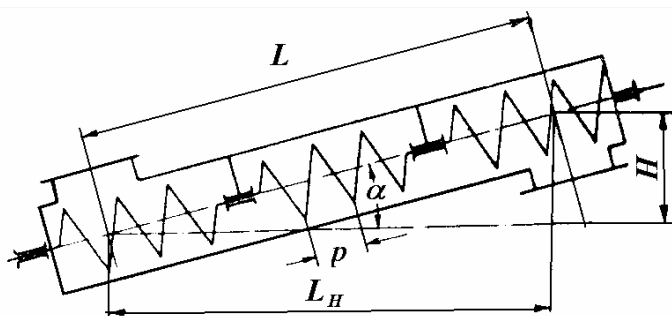


Fig. 3.63. Modelul general de calcul al transportorului

$$M_t = 975 \frac{P_a}{n} \quad (3.105.)$$

și de aici forța axială cu relația șurubului:

$$F_a = \frac{M_t}{R' \operatorname{tg}(\alpha' + \varphi)} \quad (3.106.)$$

în care R' este raza medie activă

a melcului, corespunzător gradului de umplere a jgheabului transportorului;

α' - unghiul de înclinare a elicei melcului;

φ - unghiul de frecare dintre materialul transportat și melc.

3.4.2. Transportoare gravitaționale

Sunt destinate transportului de materiale vrac sau bucăți individuale folosind ca forță motrice acțiunea gravitației, deplasarea având loc în sensul coborârii sarcinii. Din punct de vedere constructiv transportoarele gravitaționale sunt de tipul plan înclinat rectiliniu (fig. 3.67) sau în spirală (fig. 3.64.), cu șicane (fig. 3.66.), jgheab pentru materiale vărsate sau cu rulouri (sau role de diverse forme) și care formează un transportor cu rulouri (fig. 3.65.).

Planurile înclinate sunt folosite la transportul sarcinilor individuale sau a materialelor vărsate cu granulație mijlocie și mare și care se pot rostogoli. În cazul sarcinilor individuale unghiul de înclinare a planului trebuie să aibă o valoare mai mare decât unghiul de frecare al materialului cu suprafața acestuia (fig. 3.67.), adică:

$$mg \sin \alpha > F_f = \mu mg \cos \alpha \Leftrightarrow \operatorname{tg} \alpha > \mu \quad (3.107.)$$

în care μ este coeficientul de frecare al materialului cu suprafața planului înclinat.

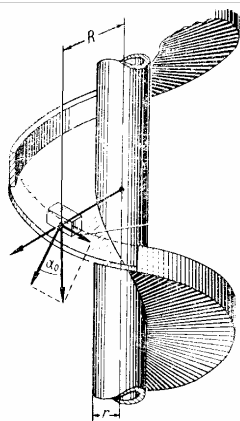


Fig. 3.64. Transportor gravitațional elicoidal

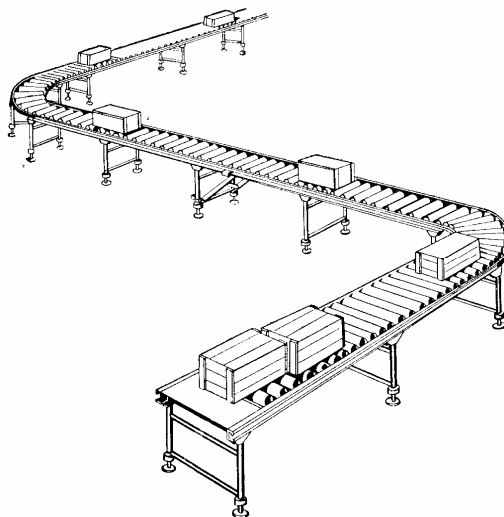


Fig. 3.65. Transportor gravitațional cu rulouri

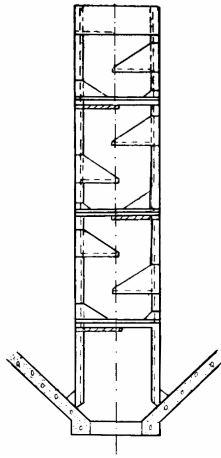


Fig. 3.66. Transportor gravitațional cu șicane

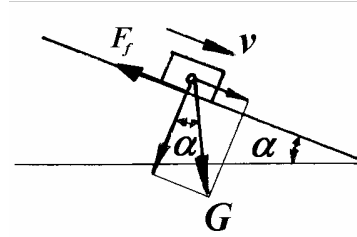


Fig. 3.67. Plan înclinat de transport

Din relația precedentă rezultă că unghiul de înclinare α trebuie să fie mai mare decât unghiul de frecare ρ ($\mu = \operatorname{tg} \rho$). Din motive de limitare a vitezei de coborâre a sarcinii ($v < 2 \text{ m/s}$), unghiul planului înclinat trebuie să fie cu puțin peste unghiul de frecare.

Pentru jgheaburi viteza de deplasare a materialului se determină în funcție de unghiul de înclinare al acestora, folosind relația aproximativă:

$$v = 5\sqrt{\operatorname{tg} \alpha}, \text{ în m/s} \quad (3.108.)$$

Productivitatea transportoarelor gravitaționale cu jgheab se determină cu relația:

$$Q = 3600 A_0 \psi \gamma, \text{ în t/h} \quad (3.109.)$$

unde A_0 este secțiunea jgheabului, în m^2 ;

Viteza de deplasare a materialului depinde de forma traseului jgheabului. Pentru jgheabul rectiliniu (fig. 3.68.), o particulă de material de masă mg aflată pe zona AB se va pune în mișcare de coborâre dacă este îndeplinită condiția:

$$mg \sin \beta_1 > \mu_0 mg \cos \beta_1 \quad (3.110.)$$

unde μ_0 este coeficientul de frecare în stare de repaus.

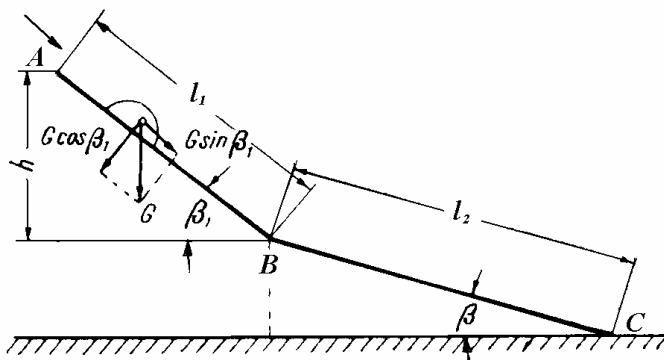


Fig. 3.68. Calculul vitezei materialului în jgheaburi

Din momentul în care s-a pus în mișcare, particula accelerează și în punctul B atinge viteza v . Pentru ca valoarea ei să rămână constantă trebuie ca unghiul de înclinare al jgheabului să fie egal cu unghiul de frecare în mișcare al particulei.

Dacă în punctul A particula are o viteză inițială v_A , pe

porțiunea AB lucrul mecanic va avea expresia:

$$mgh = \mu mg \cos \beta_1 l_1 + \frac{m}{2} (v^2 - v_A^2) \quad (3.111.)$$

Din figură se poate vedea că $h = l_1 \sin \beta_1$ și dacă se înlocuiește în relația de mai sus se obține:

$$\frac{v^2 - v_A^2}{2g} l_1 (\sin \beta_1 - \mu \cos \beta_1) \quad (3.112.)$$

De aici se poate determina mărimea lui v . De regulă se impune ca și condiție $v < 2m/s$, pentru a evita sfărâmarea materialului la deplasarea prin jgheab. Cunoscând viteza inițială v_A și pe v din relația de mai sus, se poate stabili unghiul de pantă necesar din condiția de viteză:

$$\operatorname{tg} \beta_1 = \frac{2gh\mu}{2gh + v_A^2 - v^2} \quad (3.113.)$$

Pentru situația în care $v = v_A$, adică viteza este constantă, relația de mai sus se reduce la egalitatea cunoscută, $\operatorname{tg} \beta = \mu$.

La deplasarea unui corp de revoluție pe un plan înclinat apare o rezistență specifică la rostogolire care se poate determina cu relația:

$$w = k \frac{f}{\frac{D}{2}} \quad (3.114.)$$

în care k este coeficient ce ține cont de frecarea gulerului sau a părților conice ale corpului ($k = 0,5 - 2$);

f – coeficient de frecare la rostogolire;

D – diametrul obiectului.

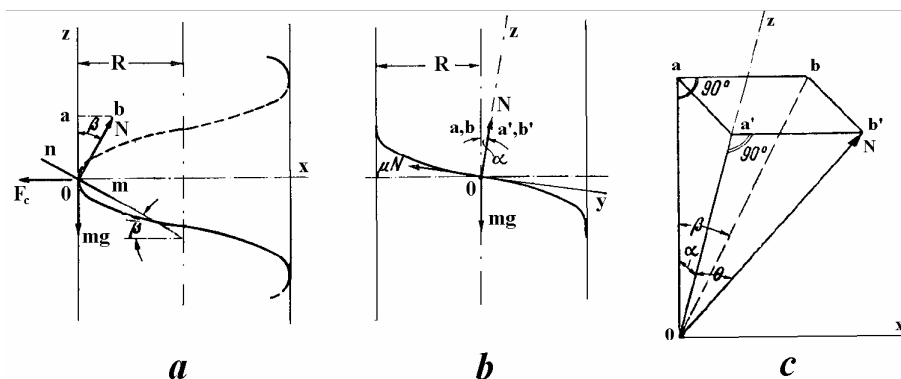


Fig. 3.69. Modelul de calcul al deplasării particulei într-un jgheab elicoidal

Pentru a avea o mișcare cu viteză constantă trebuie ca planul înclinat să aibă panta care să îndeplinească condiția $\operatorname{tg} \beta = w$.

La deplasarea particulei pe un plan înclinat elicoidal apare o forță centrifugă ce tinde să o scoată de pe suprafața jgheabului (fig. 3.69.). Acest lucru este împiedicat prin asigurarea unui jgheab a cărui fund este o suprafață elicoidală, generată de o dreaptă mn înclinată cu unghiul β față de orizontală.

În cele două proiecții ale traiectoriei elicoidale a particulei O sau luat ca axe de referință sistemul ortogonal format din:

- tangenta la traiectorie Oy ;
- normala principală Ox ;
- binormala Oz .

Asupra particulei aflată în echilibru acționează următoarele forțe:

- greutatea particulei mg îndreptată pe direcția verticală;
- forța centrifugă $F_c = mv^2 / \rho$ pe direcția normalei principale;
- reacțiunea normală la suprafața elicoidală N , situată în planul xOz format de normala principală și binormala;
- forța de frecare μN dirijată după tangenta Oy .

Dacă α este unghiul de înclinare a elicei și R raza cilindrului de bază, atunci raza de curbura este $\rho = R / \cos^2 \alpha$, iar forța centrifugă are expresia:

$$F_c = \frac{mv^2}{R} \cos^2 \alpha \quad (3.115.)$$

Din figură se poate determina unghiul θ format de reacțiunea normală N și binormala Oz :

$$\operatorname{tg} \theta = \frac{a'b'}{Oa'} = \frac{ab}{Oa / \cos \alpha} = \operatorname{tg} \beta \cos \alpha \quad (3.116.)$$

Cu aceste precizări se pot scrie ecuațiile de echilibru ale particulei O proiectate pe cele trei axe:

$$Ox: \frac{mv^2}{R} \cos^2 \alpha = N \sin \theta \quad (3.117.)$$

$$Oy: mg \sin \alpha = \mu N \quad (3.118.)$$

$$Oz: mg \cos \alpha = N \cos \theta \quad (3.119.)$$

Se împarte relația (3.117) la (3.119) și ținând cont de relația (3.116.) se obține:

$$\operatorname{tg} \beta = \frac{v^2}{Rg} \quad (3.120.)$$

Din relațiile (3.118.) și (3.119.) se obține:

$$\mu \cos \alpha = \sin \alpha \cos \theta \quad (3.121.)$$

Din relația (3.116.) rezultă:

$$\cos \theta = \frac{1}{\sqrt{1 + \operatorname{tg}^2 \theta}} = \frac{1}{\sqrt{1 + \operatorname{tg}^2 \beta \cos^2 \alpha}} \quad (3.122.)$$

Înlocuind pe $\cos \theta$ în relația (3.121.) și ridicând la pătrat se obține:

$$\mu^2 \cos^2 \alpha = \frac{\sin^2 \alpha}{1 + \operatorname{tg}^2 \beta \cos^2 \alpha} \quad (3.123.)$$

care se grupează sub forma:

$$\frac{\operatorname{tg}^2 \alpha - \mu^2}{\mu^2 \cos^2 \alpha} = \operatorname{tg}^2 \beta \quad (3.124.)$$

Dacă în relația (3.123.) se înlocuiește $\cos^2 \alpha = 1/(1 + \operatorname{tg}^2 \alpha)$, prin ordonare se obține forma:

$$\operatorname{tg}^4 \alpha + (1 - \mu^2) \operatorname{tg}^2 \alpha - \mu^2 (1 + \operatorname{tg}^2 \beta) = 0 \quad (3.125.)$$

Relațiile de mai sus permit determinarea unuia dintre parametrii α , β sau v , dacă din punct de vedere constructiv sunt precizați doi dintre aceștia. Pentru particula care se deplasează pe un asemenea jgheab viteza v va fi constantă deoarece, chiar dacă forța centrifugă ar determina deplasarea particulei pe o traiectorie cu raza R mai mare, acesteia îi va corespunde un unghi α mai mic, viteza v va scăde și corespunzător va scăde și forța centrifugă. Același efect dar în sens invers l-ar avea suprafața jgheabului dacă particula ar avea tendința să se deplaseze pe o traiectorie cu raza mai mică.

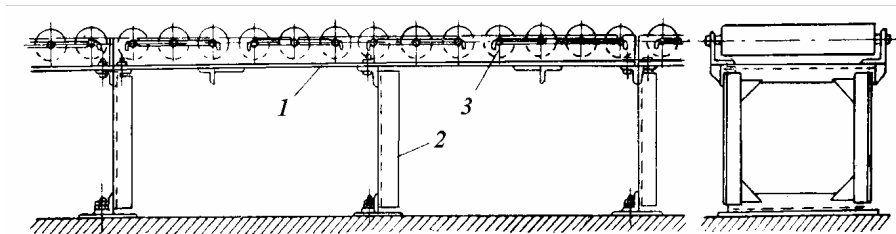


Fig. 3.70. Transportor gravitațional cu rulouri

Transportoarele cu rulouri sunt folosite la transportul sarcinilor individuale și din punct de vedere constructiv ele pot fi cu rulouri neacționate sau cu rulouri acționate, caz în care sarcinile pot fi deplasate și în pantă urcătoare.

Transportorul gravitațional cu rulouri (fig. 3.70.) este alcătuit dintr-un schelet cu picioare de susținere 2, pe care se sprijină două lonjeroane 1 (din profile tip cornier sau U), între care sunt montate rulourile 3. De regulă, rulourile sunt montate pe un ax fix și susținute pe lonjeroane prin intermediul unor rulmenți.

Corpul rulourilor depinde de tipul sarcinii ce trebuie deplasată. Ele pot fi cilindrice (fig. 3.71.), dublu conice la deplasarea unor sarcini cu lungimi mari și dimensiuni transversale reduse, conice, folosite la realizarea unor trasee curbe în vederea reducerii frecărilor suplimentare (fig. 3.72.), cu două rânduri de rulouri dispuse liber pe același ax sau chiar sub forma unor discuri dispuse pe două rânduri (fig. 3.73.).

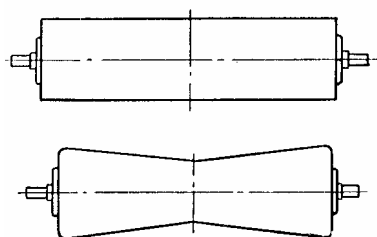


Fig. 3.71. Tipuri de rulouri

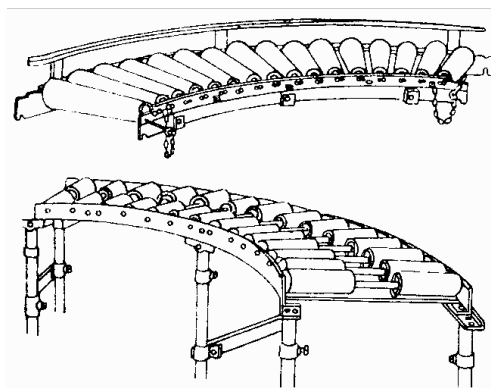


Fig. 3.72. Rulouri pentru realizarea de trasee curbilinii

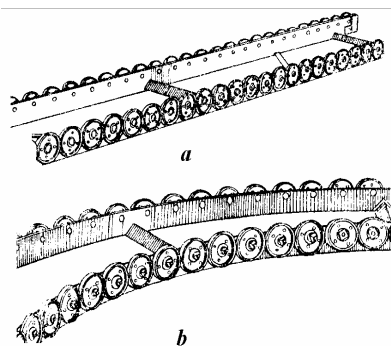


Fig. 3.73. Transportoare cu discuri

La construcția și exploatarea transportoarelor cu rulouri trebuie avut în vedere faptul că distanța dintre două rulouri trebuie aleasă astfel încât fiecare sarcină să se sprijine pe cel puțin două rulouri. În mod frecvent pasul de dispunere a rulourilor este de 100-200 mm și doar la transportul unor sarcini cu lungimi mari se poate depăși limita superioară.

Viteza de deplasare a sarcinilor sub efectul forței gravitaționale este de 0,2-0,5 m/s și pentru ca ea să rămână constantă pe toată lungimea transportorului, acesta trebuie să aibă o înclinare față de orizontală astfel încât componenta greutății sarcinii ce determină mișcarea ei să fie egală cu rezistența la înaintare (fig. 3.74.):

$$G \sin \beta = wG \cos \beta \quad (3.126.)$$

sau:

$$\tan \beta = w \quad (3.127.)$$

Rezistența la înaintare este o sumă de patru rezistențe specifice și anume:

- rezistența datorată frecării de rostogolire a sarcinii pe rulou;
- rezistența datorată frecării din lagărele ruloului;
- rezistența datorată frecării de alunecare a sarcinii pe fiecare rulou întâlnit;
- rezistența datorată inerției fiecărui rulou întâlnit de sarcină la deplasarea ei.

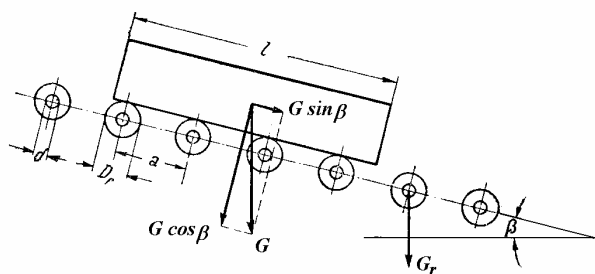


Fig. 3.74. Mișcarea sarcinii pe rulouri

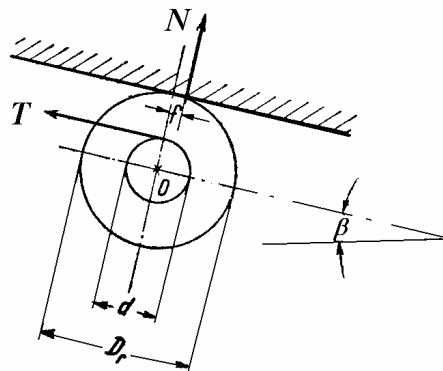


Fig. 3.75. Încărcarea unui rulou

Ultimele două rezistențe apar ca urmare a faptului că sarcina aduce fiecare rulou cu care se întâlnește, de la starea de repaus la turația la care viteza periferică este egală cu cea a sarcinii, între cele două elemente existând o alunecare. Același rulou trebuie accelerat până capătă viteza periferică egală cu viteza de deplasare a sarcinii, fapt ce determină învingerea unei forțe de inerție.

Pentru determinarea rezistenței la rostogolire se consideră că forțele generate de sarcină sunt concentrate la un singur rulou (fig. 3.75.) și ținând cont de relațiile 3.115. și 3.127., ecuația de momente față de axul ruloului are forma:

$$R_2 \frac{D_r}{2} = \mu \left(mg + m_r g \frac{l}{a} \right) \frac{d}{2} \cos \beta \quad (3.128.)$$

unde m_r este masa părții rotative a ruloului;

μ - coeficientul de frecare din lagărul ruloului;

D_r - diametrul axului ruloului.

La determinarea ultimelor două rezistențe trebuie să se țină cont de modul de variație a vitezei periferice și a vitezei unghiulare a ruloului (fig. 3.76.), din momentul O_1 când a fost părăsit de una dintre sarcini și O_2 când este părăsit de următoarea sarcină. Pentru un flux de sarcini cu n bucăți pe oră, dispuse la distanțe egale, timpul dintre O_1 și O_2 va fi $t = 3600/n$.

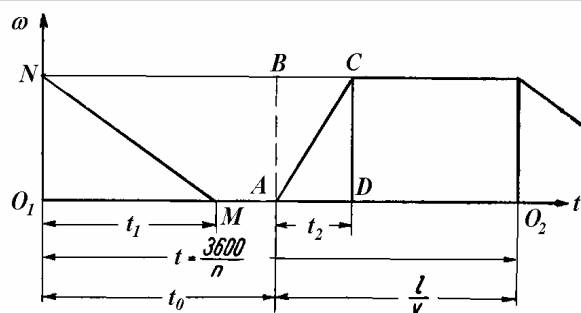


Fig. 3.76. Diagrama vitezei periferice a ruloului

unde J este momentul de inerție al ruloului;

v - viteza de deplasare a sarcinii, egală cu viteza periferică inițială.

La părăsirea ruloului de către prima sarcină, corespunzător punctului N , acesta se va roti cu o viteză uniform încetinită (datorită frecării din lagăr) până se va opri, punctul M din diagramă. În acest timp t_1 ruloul s-a rotit cu un unghi:

$$\alpha = \frac{\omega_N}{2} t_1 = \frac{v}{D_r} t_1 \quad (3.130.)$$

trebuie să se țină cont de modul de variație a vitezei periferice și a vitezei unghiulare a ruloului (fig. 3.76.), din momentul O_1 când a fost părăsit de una dintre sarcini și O_2 când este părăsit de următoarea sarcină. Pentru un flux de sarcini cu n bucăți pe oră, dispuse la distanțe egale, timpul dintre O_1 și O_2 va fi $t = 3600/n$.

Energia cinetică a ruloului în punctul O_1 este:

$$E = J \frac{\omega^2}{2} = \frac{1}{2} J \frac{v^2}{\left(\frac{D_r^2}{2} \right)} = 2J \frac{v^2}{D_r^2} \quad (3.129.)$$

În timpul acestei rotiri, energia cinetică este consumată de lucrul mecanic de frecare din lagăr:

$$2J \frac{v^2}{D_r^2} = m_r g \mu \frac{d}{2} \frac{vt_1}{D_r} \quad (3.131.)$$

Din relația de mai sus se poate determina timpul până la oprirea ruloului.

Pe durata unui ciclu o sarcină se află în contact cu ruloul timp de l/v secunde, restul de timp t_0 fiind liber. Dacă timpul $t_0 > t_1$ atunci ruloul va fi în repaus la contactul cu sarcina următoare, corespunzător punctului A, după care va fi accelerat pe zona AC (în timpul t_2) de la starea de repaus la viteza periferică v . Viteza medie periferică este de $v/2$ iar un punct de pe periferia ruloului va parcurge în timpul t_2 spațiul $(v/2)t_2$. Dar în același timp sarcina parcurge distanța vt_2 , astfel că rămâne o diferență de drum pe care se produce frecarea dintre rulou și sarcină. Pentru coeficientul de frecare de alunecare μ' între rulou și sarcină, aceasta din urmă va efectua un lucru mecanic în timpul t_2 care se consumă pentru accelerarea ruloului la energia cinetică E și pe lucrul mecanic de frecare din timpul accelerării sale. Egalitatea dintre lucrul mecanic efectuat de sarcină și cel primit de rulou are forma:

$$m\mu'vt_2 = E + m\mu'v \frac{t_2}{2} \Leftrightarrow 2E = m\mu'vt_2 \quad (3.132.)$$

Din relația de mai sus se poate constata că lucrul mecanic efectuat de sarcină se împarte în mod egal pentru accelerarea ruloului și pentru învingerea frecării de alunecare pe durata accelerării acestuia.

Dacă se ia în considerare toată lungimea L a transportorului, pe care sunt dispuse z rulouri ($L/z = a$, a fiind pasul rulourilor), atunci:

$$R_3 + R_4 = \frac{2E}{a} \quad (3.133.)$$

Rezistența specifică la înaintare se stabilește prin însumarea celor patru rezistențe determinate anterior. În practică rulourile nu se opresc complet de la trecerea unei sarcini și până iau contact cu sarcina următoare sau se rotesc aproape continuu dacă rulourile sunt dispuse alăturate. Relațiile stabilite anterior stau la baza calculului înclinării necesare a transportorului (condiția este dată de relația 3.127.), cu mențiunea că în cazul traseelor curbe rezistența specifică trebuie majorată cu 0,5-1,0 %.

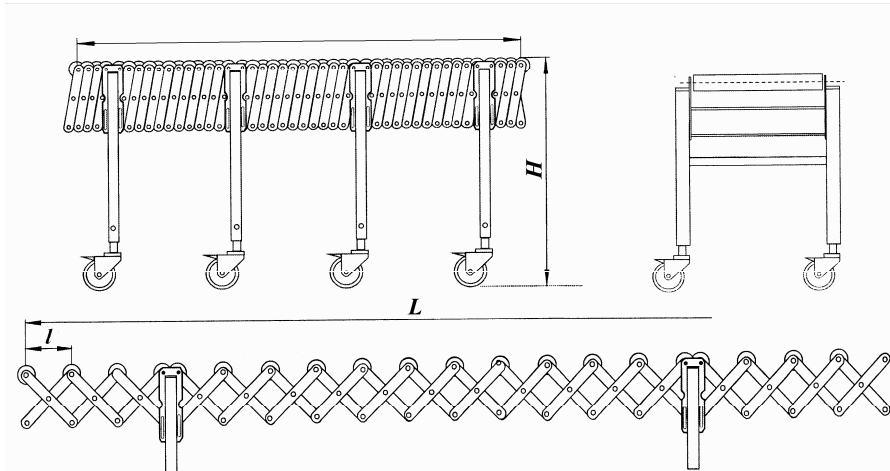


Fig. 3.77. Transportor extensibil cu role neantrenate

În practică se regăsesc și alte construcții de transportoare cu role, precum cel extensibil din figura 3.77. Acesta este format dintr-un cadru articulat a cărui lungime poate fi reglată în funcție de necesități, ce poate fi deplasat cu ajutorul unor roți.

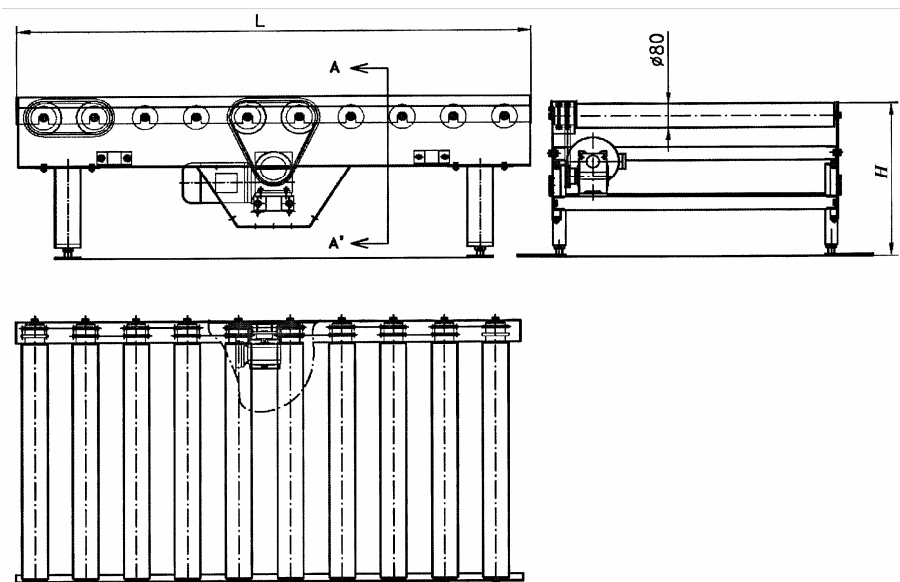


Fig. 3.78. Transportor cu role antrenate

Transportorul cu role din figura 3.78. este de tipul cu toate rolele antrenate de la un electromotor, prin intermediul unor transmisii cu lanț, amplasate pe unul din capetele axelor rolelor.

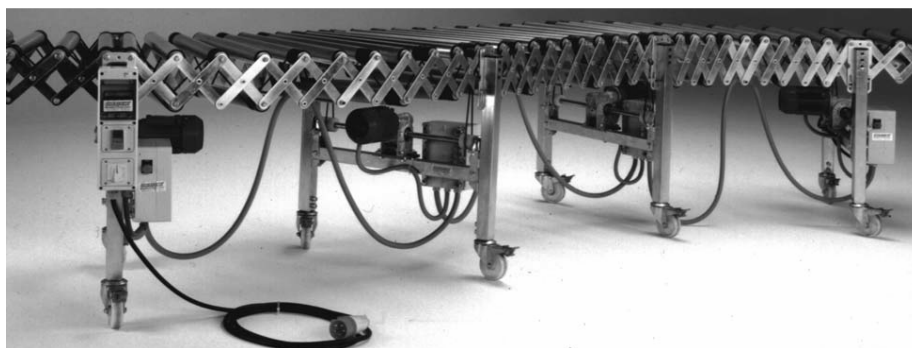


Fig. 3.79. Transportor extensibil cu role parțial antrenate

Transportorul din figura 3.79. are câte o pereche de role antrenate (cele din dreptul picioarelor de sprijin), restul fiind libere pe ax. Poate realiza trasee atât rectilinii cât și curbilinii, fiind de tipul articulat și mobil.

3.4.3. Instalații de transport pneumatic

Transportul pneumatic se folosește în cazul materialelor sub formă de granule fine și mijlocii, constând în amestecarea acestora cu aer și deplasarea prin conducte, pe baza unei diferențe de presiune între cele două capete ale conductei de transport, la destinație având loc separarea materialului de aer. Viteza curentului de aer trebuie să fie mai mare decât viteza de plutire a particulelor.

În funcție de modul în care se realizează diferența de presiune pe conducta de transport, instalațiile de transport pneumatic se clasifică astfel:

- cu aspirație (fig. 3.80.);
- cu refulare (fig. 3.81.);

- mixte (fig. 3.82.).

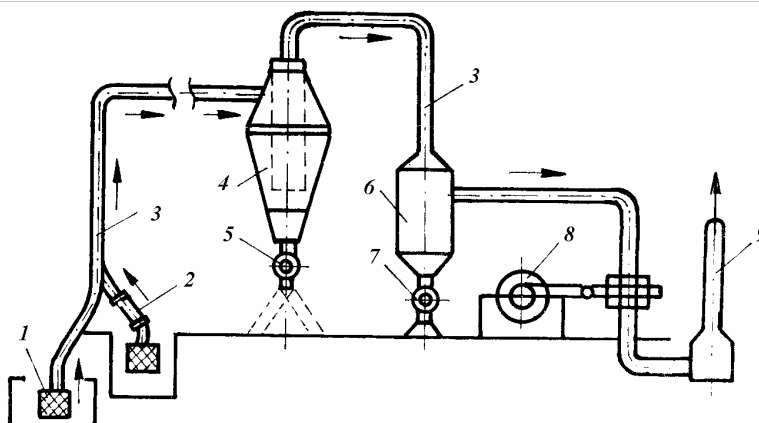


Fig. 3.80. Instalație de transport pneumatic cu aspirație: 1,2- sorb; 3- conducte de transport; 4- separator faze; 5- ecluză golire; 6- filtru praf; 7- ecluză praf; 8- pompă de vacuum; 9- evacuare aer.

Transportul cu aspirație este folosit la încărcări ușoare iar distanțele de transport sunt relativ mici. El permite aspirația materialului din mai multe puncte și descărcarea într-un singur punct.

Transportul cu refulare este folosit la materiale cu granulație mare și distanțe de transport mai mari. Materialul este preluat dintr-un singur loc și descărcat în mai multe locuri.

Transportul mixt lucrează cu aspirație pe o porțiune de transport și cu refulare pe cealaltă parte, cu specificația că poate folosi același exhaustor sau două agregate separate. Materialul poate fi aspirat din orice punct și poate fi descărcat în oricare alt punct.

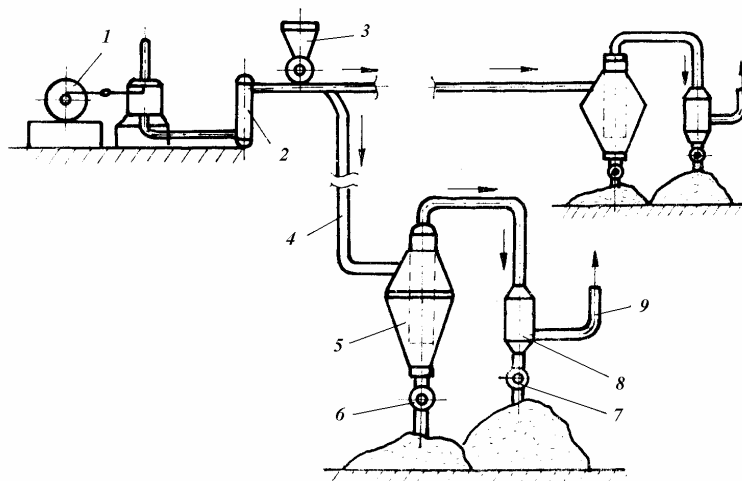


Fig. 3.81. Instalație de transport pneumatic cu refulare: 1- compresor; 2- regulator de presiune; 3- alimentator cu material; 4- conductă de transport; 5- separator; 6- ecluză golire material; 7- ecluză praf; 8- filtru praf; 9- evacuare aer.

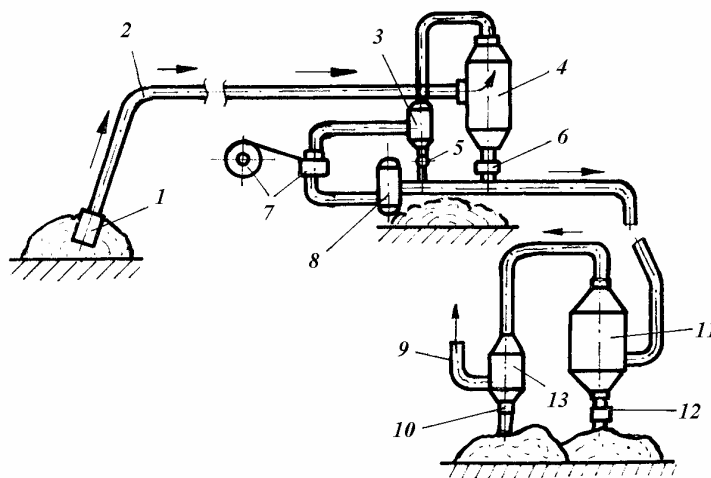


Fig. 3.82. Instalație de transport pneumatic mixtă: 1- sorb; 2- conductă transport; 3- filtru aer; 4- separator; 5,6,10,12- gură de descărcare; 7- exhaustor; 8- rezervor regulator; 9- evacuare aer; 11- separator; 13- filtru.

Toate variantele constructive au în comun câteva subansamble: alimentator (care face amestecul aer-material), conducte tubulare cu coturi, racorduri și ramificații, separator (separă materialul de aer), filtru (separă praful din aer înainte ca acesta să fie cedat în atmosferă și pompa de aer (care realizează vacuum sau presiune).

Amestecătoarele care fac alimentarea transportorului pneumatic pot fi gurile de aspirație (fig. 3.83.) la instalațiile cu aspirație sau mixte ori cu alimentatoare celulare (fig. 3.84.), elicoidale (fig. 3.85.) sau cu cameră dublă, la instalațiile cu refulare.

Gura de aspirație sau sorbul este realizat dintr-un tub 2 prevăzut cu un manșon exterior culisat 3 și mânerul 4, cu care se reglează mărimea orificiului de intrare a aerului 1. O parte a aerului pătrunde și în masa de material cu care se amestecă, motiv pentru care este mai ușor de antrenat de curentul de aer din tubul central.

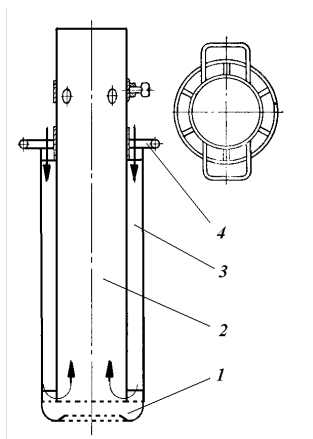


Fig. 3.83. Gură de aspirație

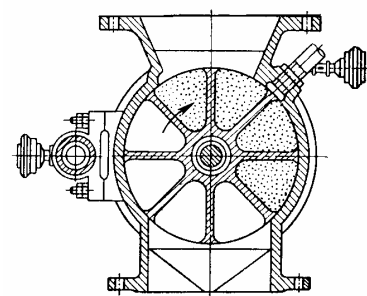


Fig. 3.84. Alimentator celular

Alimentatorul celular este sub forma unei roți cu celule etanșe pe anumite porțiuni ale carcasi cilindrice. Celulele realizează atât rolul de dozator de material, cât și de ecluză între buncărul cu material și conducta de transport.

Alimentatorul elicoidal are în construcție un melc cu pas variabil și o cameră de amestec. Materialul este împins de spira melcului care, pe măsură ce se apropie de camera de aer, are pasul tot mai mic, comprimându-l și împiedicând ca aerul sub presiune să pătrundă pe lângă

spiră spre gura de alimentare. La oprirea alimentatorului, o clapetă se închide automat realizând etanșarea camerei de amestec de jgheabul melcului.

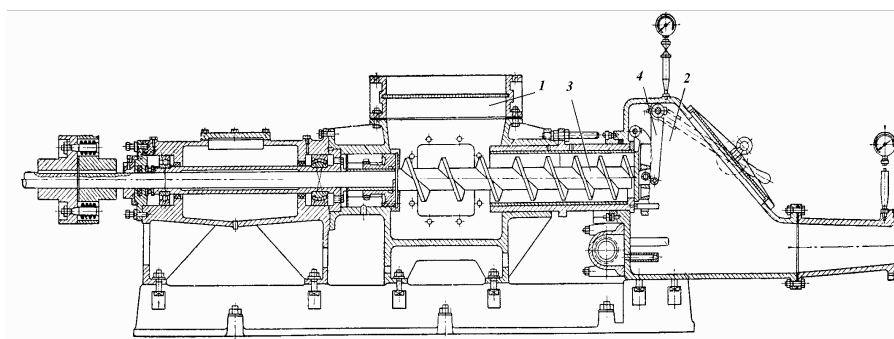


Fig. 3.85. Alimentator elicoidal: 1- gură alimentare material; 2- cameră de amestec; 3- melc; 4- clapetă închidere.

Separatoarele au la bază principiul separării materialului din amestec pe baza diferenței de greutate dintre particulele solide și aer. De regulă se folosesc cicloane de separare, individuale sau în baterii de cicloane.

Filtrele de aer sunt necesare deoarece după separarea fracției solide, în aer rămâne o cantitate semnificativă de praf, ce nu poate fi evacuată în atmosferă. Constructiv, filtrele folosite în practică sunt de tipul cu materiale textile, filtre cu separare umedă sau centrifuge în cicloane multiple.

Debitul de aer și diferența de presiune necesare transportului sunt asigurate de compresoare (pompe cu piston cu mișcare rectilinie sau piston rotativ, pompe cu palete cu și fără inel de apă), respectiv de turbocompresoare (pompe centrifugale).

Calculul instalațiilor de transport pneumatic urmărește determinarea debitului și a presiunii aerului necesar pentru transport, din condiția de productivitate. Cu acestea se determină mai apoi parametrii pompei de aer, viteza de transport și secțiunea conductei de transport.

Pentru calcule, trei parametri sunt foarte importanți: viteza de plutire a particulelor din amestec, concentrația amestecului și lungimea echivalentă a conductei de transport.

Viteza de plutire a particulei este acea viteză a curentului de aer vertical la care ea rămâne în suspensie, adică presiunea dinamică a aerului echilibrează forța de greutate a particulei. Forța ce acționează asupra unei particule, ca efect al presiunii dinamice a aerului este:

$$F_a = \psi \rho_a A (v_a - v_m)^2 \quad (3.134.)$$

unde ψ este un coeficient ce ține cont de forma suprafeței particulei;

ρ_a - densitatea aerului;

v_a - viteza aerului;

v_m - viteza particulei;

A - aria secțiunii particulei perpendiculară pe direcția curentului de aer.

Pentru o particulă sferică cu diametrul d și masa specifică γ_m , ce plutește într-un curent de aer ($v_m = 0$) se poate scrie ecuația de echilibru:

$$\frac{\pi d^3}{6} \gamma_m = \frac{\psi \gamma_a}{g} \frac{\pi d^2}{4} v_p^2 \quad (3.135.)$$

de unde rezultă viteza de plutire (se mai numește și viteză critică de plutire):

$$v_p = \sqrt{\frac{2d\gamma_m g}{3\psi\gamma_a}} \quad (3.136.)$$

Pentru o particulă de formă sferică $\psi = 0,23$, iar dacă particula are o formă oarecare, atunci relația de mai sus are forma:

$$v_p = k \sqrt{\frac{28,4d' \gamma_m}{\gamma_a}} \quad (3.137.)$$

Coeficientul k ține cont de forma particulei și are valori de la 0,45 la forme aplatisate și până la 1,0 pentru forma sferică. Cu d' s-a considerat diametrul sferei care are aceeași masă specifică și masă totală precum cea a particulei.

La proiectarea instalațiilor de transport pneumatic trebuie avut în vedere ca, în orice zonă a conductei de transport, viteza curentului de aer să fie mai mare decât viteza de plutire.

Concentrația amestecului material-aer se definește ca raportul dintre masa materialului și masa aerului ce străbat, în aceeași unitate de timp, printr-un punct al conductei de transport. Pentru o mai corectă exprimare, se consideră ca puncte de referință începutul conductei, la instalațiile cu aspirație și sfârșitul conductei, la instalațiile cu refulare. Cu aceste precizări, concentrația amestecului are forma:

$$\mu = \frac{Q}{3,6Av_0\gamma_0} \quad (3.138.)$$

În care Q este productivitatea instalației de transport;

A – aria secțiunii conductei de transport;

v_0 – viteza aerului la presiunea atmosferică;

γ_0 - masa specifică a aerului.

La alegerea mărimii concentrației amestecului trebuie ținut cont de instalația folosită și de caracteristicile materialului, valori orientative fiind prezentate în tabelul 3.3.

Lungimea echivalentă a conductei de transport se consideră ca fiind lungimea pe orizontală, ce opune aceeași rezistență cu conducta reală, aici fiind incluse coturile, ramificațiile, etc. La aceasta se mai adaugă și diferența de presiune aferentă diferenței de nivel între începutul și sfârșitul conductei.. Cu aceste precizări, lungimea echivalentă are forma:

$$L_{echiv} = \sum L_h + \sum L_v + \sum L_c + \sum L_r \quad (3.139.)$$

în care $\sum L_h$ este suma porțiunilor orizontale ale conductei;

$\sum L_v$ - suma porțiunilor verticale ale conductei;

$\sum L_c$ - suma lungimilor echivalente a coturilor traseului conductei;

$\sum L_r$ - suma lungimilor echivalente ale ramificațiilor de pe traseul conductei.

Tabelul 3.3. Valori orientative pentru coeficientul de concentrație

Tipul instalației și materialul transportat	Lungimea echivalentă, m							
	25	50	75	100	200	300	400	600
Transport cu aspirație: - cereale	20	15	12	10	-	-	-	-
Transport cu refulare: - materiale cu $\gamma_m < 2,5 \text{ t/m}^3$	-	-	-	30	25	15	-	-
- materiale cu $\gamma_m > 2,5 \text{ t/m}^3$	-	-	-	60	40	30	25	20

În urma măsurărilor experimentale s-au stabilit lungimile echivalente pentru coturi de 90° (tabelul 3.4.), pe baza raportului dintre raza medie de curbă a cotului R_0 și diametrul interior al conductei d_i , iar pentru ramificație cu clapetă se ia în calcul o lungime echivalentă cu 8 m.

Viteza curentului de aer necesară pentru transport se va lua mai mare decât viteza de plutire, dată de relația 3.136. De asemenea, viteza va fi cu atât mai mare cu cât și lungimea conductei de transport va fi mai mare. O relație aproximativă de calcul a acesteia are forma:

$$v_0 = \alpha \sqrt{\gamma_m} + BL_{echiv}^2 \quad (3.140.)$$

unde α este un coeficient ale cărui valori sunt date în tabelul 3.5.;

γ_m - masa specifică a particulei;

B – coeficient cu valori cuprinse între (2-5) 10^{-5} în funcție de granulație.

Tabelul 3.4. Lungimea echivalentă a coturilor

Materialul transportat	Raportul R_0 / d_i			
Pulberi	4-8	5-10	6-10	8-10
Grăunțe	-	8-10	12-16	16-20
Materiale cu granulație mărunță neuniformă	-	-	28-35	38-45
Materiale cu granulație mare neuniformă	-	-	60-80	70-90

Tabelul 3.5. Mărimea coeficientului α

Materialul	Granulația, mm	α
Pulberi	0,001-1	10-16
Grăunțe	1-10	17-20
Materiale cu granulație mărunță uniformă	10-20	17-22
Materiale cu granulație medie uniformă	40-80	22-25

Dacă se ține cont de complexitatea traseului de transport, la instalațiile cu aspirație $v_0 = (2,5 - 2,8)v_p$. Pe de altă parte, se știe că presiunea scade în conducta de transport de la început spre sfârșitul acesteia, debitul de aer ce trece prin secțiunea conductei fiind:

$$Q_a = Av, \text{ în } m^3/s \quad (3.141.)$$

A fiind aria secțiunii conductei, în m^2 ;

v – viteza gazului, în m/s .

Instalațiile de transport se execută cu conducte de secțiune constantă astfel că, pentru un punct oarecare caracterizat de presiunea p , masa specifică γ și viteza v , și punctul de intrare al conductei aflat la presiunea atmosferică (p_0, v_0, γ_0), există egalitățile:

$$\frac{v}{v_0} = \frac{p_0}{p} = \frac{\gamma_0}{\gamma}, \text{ sau } v = v_0 \frac{p_0}{p} = v_0 \frac{\gamma_0}{\gamma} \quad (3.142.)$$

Din relația 3.140. se poate determina care este diametrul conductei prin care se face transportul:

$$A = \frac{Q}{3,6v_0\gamma_0\mu} = \frac{\pi d^2}{4}, \text{ de unde rezultă diametrul interior al conductei:}$$

$$d = 0,6 \sqrt{\frac{Q}{v_0\gamma_0\mu}}, \text{ în m.} \quad (3.143.)$$

Din relațiile 3.138. și 3.141. se poate determina debitul de aer necesar pentru transport, în condițiile de productivitate și de concentrație a amestecului aer-material:

$$Q_a = Av_0 = \frac{Q}{3,6\gamma_0\mu} \quad (3.144.)$$

În timpul lucrului pompa de aer trebuie să învingă căderile de presiune care apar pe întregul traseu de transport:

$$h_{tot} = h_d + h_v + h_h + h_s + h_c + h_f \quad (3.145.)$$

unde h_d este căderea de presiune dinamică datorată accelerării amestecului aer-material de la zero la viteza de transport;

h_v – căderea de presiune statică datorită diferenței de nivel pe zonele verticale ale conductei de transport;

h_h – căderea de presiune datorită rezistenței la înaintare pe conducta de transport în porțiunile orizontale (frecări cu pereții conductei, vârtejuri);

h_s – căderea de presiune la trecerea aerului prin separator;

h_c - căderea de presiune la trecerea aerului prin ciclon;

h_f - căderea de presiune la trecerea aerului prin filtru.

Căderea de presiune dinamică se determină plecând de la faptul că, energia cinetică pe care le capătă masa de aer (m_a) și masa de material (m_m) ce trec într-o secundă de la viteza inițială egală cu zero la viteza finală (v_a, v_m) este:

$$E = \frac{1}{2} m_a v_a^2 + \frac{1}{2} m_m v_m^2 \quad (3.146.)$$

Dar energia cinetică este egală cu lucrul mecanic efectuat de căderea de presiune h_d :

$$E = L = h_d A v_a \quad (3.147.)$$

Dacă se ține seama de relația de definiție $m = A v \gamma / g$ și de faptul că $v_m / v_a = 0,85$, înlocuind în relația 3.146. se obține apoi din relația 3.147. căderea de presiune dinamică de forma:

$$h_d = \frac{\gamma_a v_a^2}{2} (1 + 0,7\mu), \text{ în mm H}_2\text{O} \quad (3.148.)$$

Ținând cont de relațiile 3.145., în cazul instalației de transport cu aspirație, pentru $p_0 / p_a \approx 2$, căderea de presiune dinamică va fi:

$$h_d = 0,1 v_0^2 (1 + 0,7\mu) \quad (3.149.)$$

În cazul instalației de transport cu refulare viteza finală $v_a = v_0$ iar căderea de presiune dinamică va fi:

$$h_d = 0,06 v_0^2 (1 + 0,7\mu) \quad (3.150.)$$

Pentru transportul amestecului aer - material pe înălțimea H , trebuie învinsă presiunea statică. Aerul va avea masa specifică γ_v corespunzătoare presiunii din acel punct, iar amestecul va avea masa specifică $\mu \gamma_v$. În aceste condiții, căderea de presiune h_v va fi egală cu presiunea statică de la baza coloanei:

$$h_v = \mu \gamma_v H, \text{ în mm H}_2\text{O} \quad (3.151.)$$

Masa specifică γ_v depinde de presiunea din punctul considerat și are valori de 1,6-2,0 kg/m³ la instalațiile de transport cu refulare și de 0,8-1,1 kg/m³ la instalațiile de transport cu aspirație.

Căderea de presiune pe porțiunea orizontală a conductei de transport datorată frecărilor la trecerea amestecului depinde de tipul de transport:

- pentru o instalație de transport cu aspirație:

$$dp = -k \frac{\mu \gamma_v^2}{d} dl \quad (3.152.)$$

- pentru o instalație cu refulare:

$$dp = k \frac{\mu \gamma_v^2}{d} dl \quad (3.153.)$$

unde dl este un element de conductă;

k - coeficient de corecție.

Termenul γ_v^2 se modifică în raport cu presiunea și dacă se ține cont de relațiile 3.142. se poate scrie:

$$\gamma_v^2 = \gamma_0 v_0^2 \frac{p_0}{p} \quad (3.154.)$$

Cu aceasta, relația 3.153. devine:

$pdp = k\mu\gamma_0 v_0^2 p_0 \frac{dl}{d}$ care integrată va deveni:

$$\frac{p^2}{2} = k\mu\gamma_0 v_0^2 p_0 \frac{l}{c} + C \quad (3.155.)$$

Constanta de integrare se obține din condiția $p = p_0$, pentru $l = 0$ și are valoarea $C = p_0^2 / 2$, iar cu notația $\beta = \frac{2k\gamma_0}{p_0}$, respectiv pentru $l = L_{echiv}$, introduse în relația de mai sus se obține:

$$p = p_0 \sqrt{1 + \frac{\beta\mu v_0^2 L_{echiv}}{d}} \quad (3.156.)$$

Pentru o instalație de transport cu refulare căderea de presiune pe tronsonul orizontal, în mm H₂O va fi:

$$h_h = p - p_0 = p_0 \left(\sqrt{1 + \frac{\beta\mu v_0^2 L_{echiv}}{d}} - 1 \right) = 10000 \left(\sqrt{1 + \frac{\beta\mu v_0^2 L_{echiv}}{d}} - 1 \right) \quad (3.157.)$$

Pentru o instalație de transport cu aspirație căderea de presiune pe tronsonul orizontal va fi:

$$h_h = p_0 - p = 10000 \left(1 - \sqrt{1 - \frac{\beta\mu v_0^2 L_{echiv}}{d}} \right), \text{ mm H}_2\text{O} \quad (3.158.)$$

Din datele experimentale valoarea lui β se determină cu ajutorul unei diagrame specifice, în cazul instalațiilor de transport cu refulare și este de $1,5 \cdot 10^{-7}$ la instalațiile de transport cu aspirație.

Căderea de presiune din aparatul separator se datorează pierderii energiei cinetice a amestecului și se determină cu relația:

$$h_s = \frac{\gamma_a v_a^2}{2g} \left(\xi + \mu \frac{v_m^2}{v_a^2} \right), \text{ mm H}_2\text{O} \quad (3.159.)$$

unde $\xi = 1,5 \dots 2,5$.

Căderea de presiune din ciclon se datorează pierderii energiei cinetice doar a aerului și se determină cu relația:

$$h_c = \xi \frac{\gamma_a v_a^2}{2g} \text{ mm H}_2\text{O} \quad (3.160.)$$

Căderea de presiune din filtrul de aer se determină în funcție de volumul de aer V ce trece într-o oră prin fiecare metru pătrat de material filtrant, cu relația empirică:

$$h_f = 0,3V^{1,282} \text{ mm H}_2\text{O} \quad (3.161.)$$

La toate aceste pierderi de presiune se mai adaugă și o creștere de 15-25 % pentru instalațiile de transport cu refulare, respectiv 5-10 % pentru instalațiile de transport cu aspirație, pierderi ce apar la organele de aspirație sau de refulare (pompe de aer) sau prin etanșitățile conductelor.

Puterea absorbită de instalația de transport pneumatic se determină plecând de la o conductă de secțiune constantă la care, prin fiecare secțiune trece într-o secundă cantitatea de aer Av . Pentru ca această cantitate de aer să treacă de la presiunea p la $p+dp$ se consumă lucrul mecanic:

$$dL = Avdp \quad (3.162.)$$

La instalația de transport cu refulare, într-o secundă se consumă lucrul mecanic necesar trecerii de-a lungul conductei de la presiunea p_0 la p :

$$L = \int_{p_0}^p Av dp = Av_0 p_0 \int_{p_0}^p \frac{dp}{p} = Av_0 p_0 \ln \frac{p}{p_0} \quad (3.163.)$$

În relația de mai sus s-a înlocuit $v = v_0 p_0 / p$, conform relațiilor 3.142. și dacă $Av_0 = V_0$ care este volumul de aer la presiunea atmosferică folosit la transport, lucrul mecanic consumat va fi:

$$L = p_0 V_0 \ln \frac{p_0 + h_{tot}}{p_0} \quad (3.164.)$$

În mod similar se obține lucrul mecanic consumat pentru instalațiile de transport cu aspirație, sub forma:

$$L = p_0 V_0 \ln \frac{p_0}{p_0 - h_{tot}} \quad (3.165.)$$

Dacă se ține cont de randamentul pompelor de aer care este cuprins între 0,55 – 0,75, atunci puterea motorului electric de acționare se calculează cu relația:

$$P = \frac{1,1L}{102\eta}, \text{ în kW.} \quad (3.166.)$$

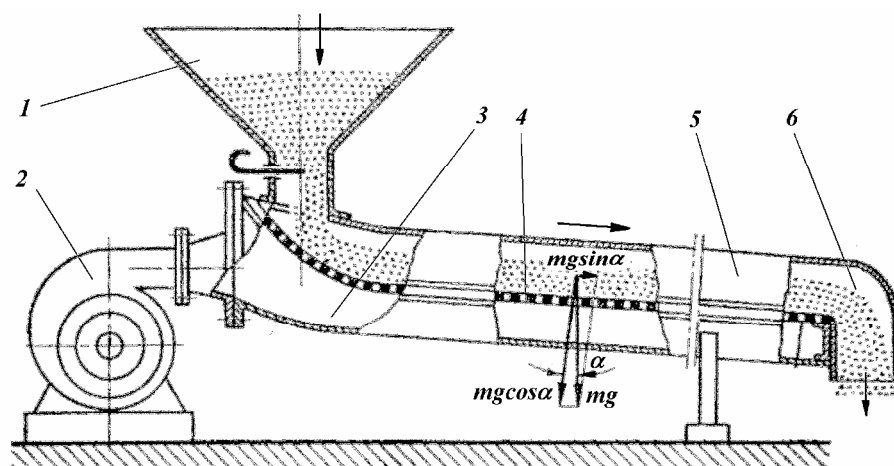


Fig. 3.86. Transportor în strat fluidizat

Transportul unor materiale cu granulație mică și pe distanțe scurte, se poate realiza prin deplasarea în strat fluidizat (fig. 3.86). În industria alimentară fluidizarea este folosită atât la transport, cât și uneori la uscarea particulelor. În principiu, curentul de aer debitat de ventilatorul 2 este trimis în canalul de transport de formă dreptunghiulară și înclinat cu un unghi α , format din camera inferioară 3, grătarul 4 și camera superioară 5. Materialul din cuva de alimentare 1 este antrenat de curentul de aer din camera inferioară, cu o viteză apropiată de cea critică a particulelor, fiind deplasată pe grătar până la gura de evacuare 6.

Tabelul 3.6. Consumul de energie la transportul în strat fluidizat (W)

Lățimea canalului, mm	Productivitatea m ³ /h	Lungimea de transport, m		
		10	25	40
125	20	635,5	1009,3	1383,2
250	40	822,4	1644,9	2243,1
400	80	1121,5	2243,1	3364,6
500	120	1345,8	2691,7	4112,3

Au avantajul unei construcții simple, lipsa unor organe în mișcare și au un consum de energie scăzut (vezi tabelul 3.6.). Se folosesc doar la o gamă redusă de materiale precum produse de măcinăș, lapte praf, pulberi, ciment, zahăr, etc.

3.4.4. Transportoare oscilante

Aceste transportoare se mai numesc și inerțiale deoarece materialul se află într-un jgheab antrenat în mișcare oscilantă, deplasarea lui fiind determinată de forțele de inerție, în timp ce jgheabul execută cursa de întoarcere. Pentru a putea realiza deplasarea, jgheabul este așezat sub un unghi față de orizontală, fapt ce permite obținerea unei componente verticale a accelerației și care, reduce presiunea materialului pe fundul jgheabului, evitând antrenarea materialului în sens invers la cursa de întoarcere.

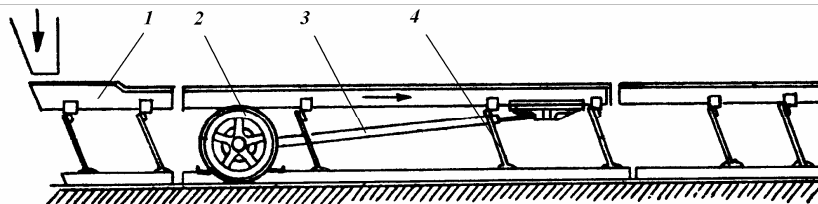


Fig. 3.87. Transportor inerțial cu jgheab: 1- jgheab; 2- mecanism acționare; 3- bielă; 4- brațe articulate elastice.

Construcția unui transportor oscilant este prezentată în figura 3.87. Materialul este introdus prin pâlnia de alimentare în jgheabul înclinat și susținut de către mai multe brațe articulate, care este antrenat în mișcare de către un mecanism bielă – manivelă.

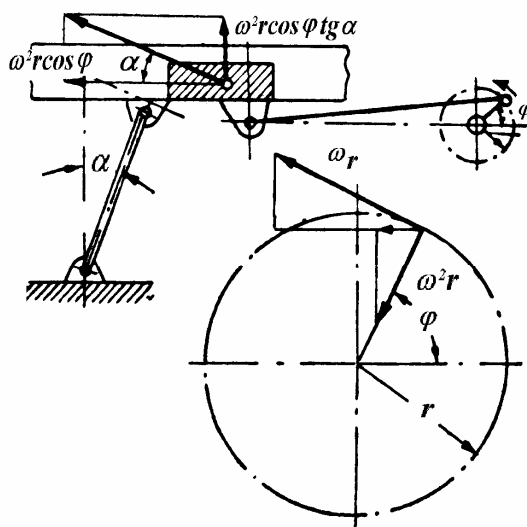


Fig. 3.88. Cinematica transportorului oscilant

Pe cursa de ducere, jgheabul primește o mișcare de ușoară ridicare și de translație pe direcția de transport. Materialului îi va fi imprimată o accelerație pe verticală și una pe orizontală. Pe cursa de întoarcere, jgheabul va coborî puțin și acest lucru va permite ca forțele de inerție, generate de cele două accelerații, să propulseze în continuare materialul pe direcția de transport.

Pentru studiul cinematicii se ia ca model figura 3.88. Aici se consideră că mecanismul de acționare este de tipul bielă – manivelă, la care biela oscilează aproape de direcția orizontală. Viteza imprimată jgheabului cu material va avea componenta orizontală $\omega r \sin \varphi$ și care va imprima o accelerație $\omega^2 r \cos \varphi$.

Datorită înclinării jgheabului, accelerația totală a' va fi înclinată cu unghiul α pe toată lungimea sa. Va rezulta o accelerație pe verticală de forma $\omega^2 r \cos \varphi \sin \alpha$. Amplitudinea oscilațiilor este mică și prin urmare, se poate considera că unghiul α este constant, astfel că diagrama vitezei imprimată jgheabului în funcție de unghiul de rotație φ va fi o sinusoidă, iar a accelerației o cosinusoidă (fig. 3.89.).

În realitate particulele aflate pe suprafața jgheabului, ca urmare a accelerației verticale, exercită o forță de apăsare care, pentru o masă de 1 kg este:

$$N = 1 + \frac{1}{g} \omega^2 r \cos \varphi \operatorname{tg} \alpha \quad (3.167.)$$

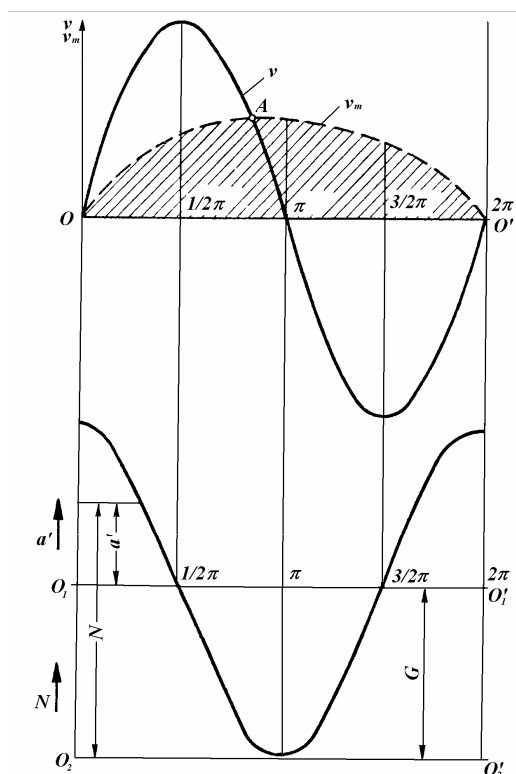


Fig. 3.89. Diagrama cinematică a transportorului oscilant tip bielă - manivelă

Presiunea minimă se obține pentru $\cos \varphi = -1$ și $\varphi = 180^\circ$:

$$N_{\min} = 1 - \frac{1}{g} \omega^2 r \operatorname{tg} \alpha \quad (3.168.)$$

Pentru a evita consumul inutil de energie prin efectuarea de salturi ale materialului pe jgheab, trebuie respectată condiția ca

$N_{\min} > 0$, adică:

$$\omega^2 r \operatorname{tg} \alpha < g \quad (3.169.)$$

$$\text{Înlocuind } \omega = \frac{\pi \cdot n}{30}$$

Se obține turația maximă pentru ca materialul să nu se desprindă de jgheab:

$$n_{\max} = 30 \sqrt{\frac{1}{r \operatorname{tg} \alpha}} \quad (3.170.)$$

Turația minimă trebuie să îndeplinească și condiția ca accelerația imprimată materialului să depășească forța de frecare dintre particule și

jgheab (μ_0 este coeficientul de frecare dintre jgheab și material). Pentru $\varphi = 180^\circ$, când accelerația este maximă iar forța de apăsare este minimă, trebuie respectată condiția:

$$\frac{1}{g} \omega^2 r > \mu_0 \left(1 - \frac{\omega^2 r \operatorname{tg} \alpha}{g} \right) \quad (3.171.)$$

De aici se obține turația minimă a manivelei:

$$n_{\min} = 30 \sqrt{\frac{\mu_0}{r(1 + \mu_0 \operatorname{tg} \alpha)}} \quad (3.172.)$$

Dacă se ține cont de componenta verticală a accelerației, atunci forța de apăsare pe jgheab va fi:

$$N = G + \frac{G}{g} a' \sin \alpha \quad (3.173.)$$

Termenul al doilea ține seama de componenta variabilă a forței de apăsare normală, proporțională cu accelerația a' a jgheabului și este reprezentată la scara forțelor în diagramă.

Tot din diagramă se poate vedea că din punctul A (caracterizat prin spațiul s_1 , φ_1 și v_1), viteza jgheabului este mai mică decât cea a particulelor și care va determina o întârziere. Practic, viteza materialului scade până la zero, cu puțin înainte de $\varphi = 2\pi$, parcurgând spațiul s_2 .

Spațiul parcurs de o particulă pe durata unui ciclu se determină din relația:

$$s = 13,6 \mu_0 \cdot r \cdot \operatorname{tg} \alpha \quad (3.174.)$$

Viteza medie a materialului pe durata unui ciclu este:

$$v_m = \frac{s \cdot n}{60} = 0,23 \cdot n \cdot \mu_0 \cdot r \cdot \operatorname{tg} \alpha \quad (3.175.)$$

Pentru un coeficient de frecare $\mu_0 = 0,35$, în tabelul 3.7 sunt date caracteristicile cinematice ale transportoarelor oscilante, în funcție de elementele constructive.

Tabelul 3.7. Mărimile cinematice ale transportoarelor oscilante

Raza r m	Unghiul de înclinare a jgheabului, α , în grade					
	16°		18°		20°	
	n_{max} rot/min	v_m m/s	n_{max} rot/min	v_m m/s	n_{max} rot/min	v_m m/s
0,010	560	0,129	526	0,137	498	0,146
0,015	457	0,158	429	0,168	406	0,178
0,020	396	0,183	372	0,195	352	0,206
0,025	354	0,204	333	0,218	314	0,230

Productivitatea transportoarelor oscilante se determină plecând de la relația generală (3.1.), explicitând termenii:

$$q = 1000 \cdot b \cdot h \cdot \gamma \quad (3.176.)$$

în care b este lățimea jgheabului, în m;

h – înălțimea stratului de material din jgheab, în m;

γ - masa volumetrică a materialului, în kg/m^3 .

Dacă se ține cont de relația (3.175.), atunci productivitatea va avea expresia:

$$Q = 830 \cdot b \cdot h \cdot \gamma \cdot n \cdot \mu_0 \cdot r \cdot \text{tg} \alpha, \text{ [t/h]} \quad (3.177.)$$

Puterea necesară acționării transportorului oscilant se poate determina cu relația (3.104.), pentru o valoare medie a rezistenței specifice la înaintare, $w = 1.35$.

3.4.5. Transportoare vibrante

Constituie un caz particular al transportoarelor oscilante, la care jgheabul este montat pe arcuri elastice (fig. 3.90.) sau bare elastice (fig. 3.91.)

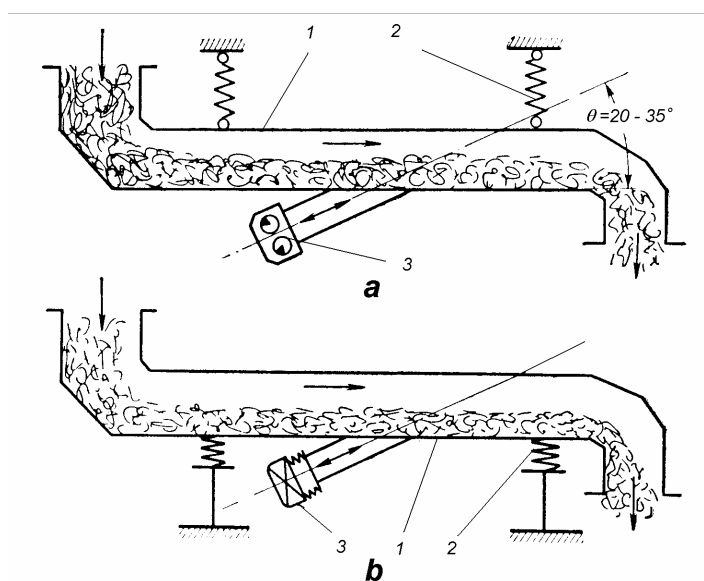


Fig. 3.90. Schema transportorului vibrant: a- suspendat cu elemente elastice; b- așezat pe elemente elastice: 1- jgheab; 2- elemente elastice; 3- mecanism vibrator.

Caracteristic acestor transportoare este faptul că lucrează cu frecvențe ale oscilațiilor de 1000 – 3000 osc/min și amplitudine mică, de 1 – 5 mm. Ca urmare, deplasarea materialului în lungul jgheabului se realizează prin salturi mici.

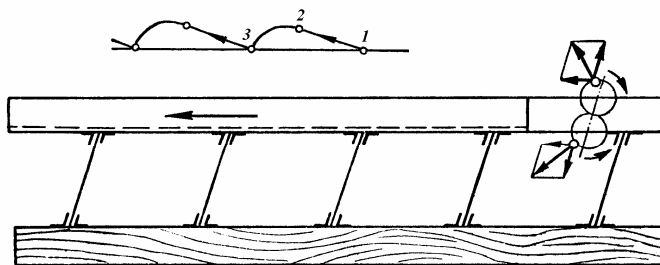


Fig. 3.91. Transportor vibrant cu bare elastice

3.5. Mașini de aruncat materiale sau trimere

Sunt mașini de construcție specială și se folosesc la aruncarea sau împrăștierea unor materiale granulare, de regulă a îngrășămintelor și amendamentelor în agricultură, dar și a altor materiale precum pământ, nisip, etc.

Din punct de vedere constructiv, trimerele au în compunerea lor elemente de transportor, în funcție de care se pot clasifica astfel:

- aruncătoare cu bandă;
- aruncătoare cu bandă și rolă;
- aruncătoare cu disc;
- aruncătoare cu palete;
- aruncătoare pneumatice

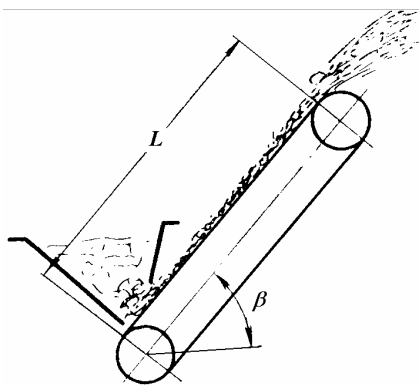


Fig. 3.92. Schema unui aruncător cu transportor cu bandă

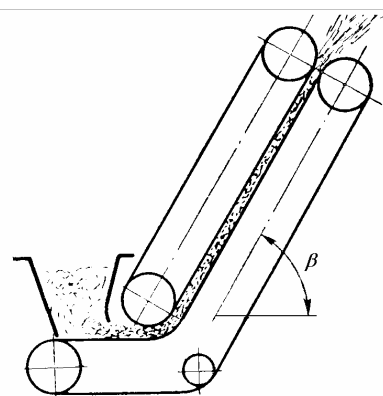
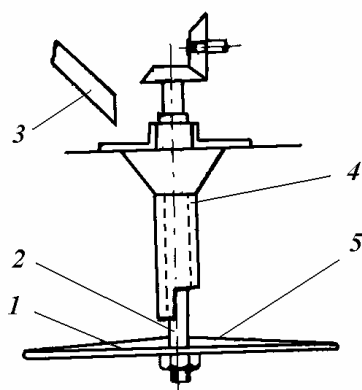


Fig. 3.93. Schema unui aruncător cu două transportoare cu bandă

Aruncătoarele cu bandă pot fi cu un singur transportor (fig. 3.92.) sau cu două transportoare cu bandă (fig. 3.93.).

În primul caz, materialul este preluat de banda transportoare și datorită vitezei mari a acesteia, este aruncat pe la capătul de descărcare. Pentru a avea o mai bună angrenare între bandă și material, aceasta este prevăzută cu nervuri capabile să antreneze o cantitate cât mai mare de material. Cu toate acestea, dacă unghiul de înclinare (unghiul de aruncare) β este mare, atunci o parte din material va avea tendința de rostogolire în sens invers mișcării benzii.

Pentru a elimina acest dezavantaj, în a doua variantă se prevede un alt transportor care, alături de primul, antrenează și delimitează volumul de material care va fi aruncat.



Aruncătorul cu disc (fig. 3.94.) este alcătuit din discul 1, prevăzut cu nervurile radiale 5 și antrenat în mișcare de rotație de la un grup conic prin intermediul axului 2. Materialul adus prin gura de alimentare 3, trece prin pâlnia tubulară 4 și ajunge pe discul aruncător cu un debit uniform. Ca efect al forței centrifuge, materialul se deplasează în lungul nervurilor radiale, fiind aruncat uniform în toate direcțiile.

Fig. 3.94. Schema aruncătorului cu disc

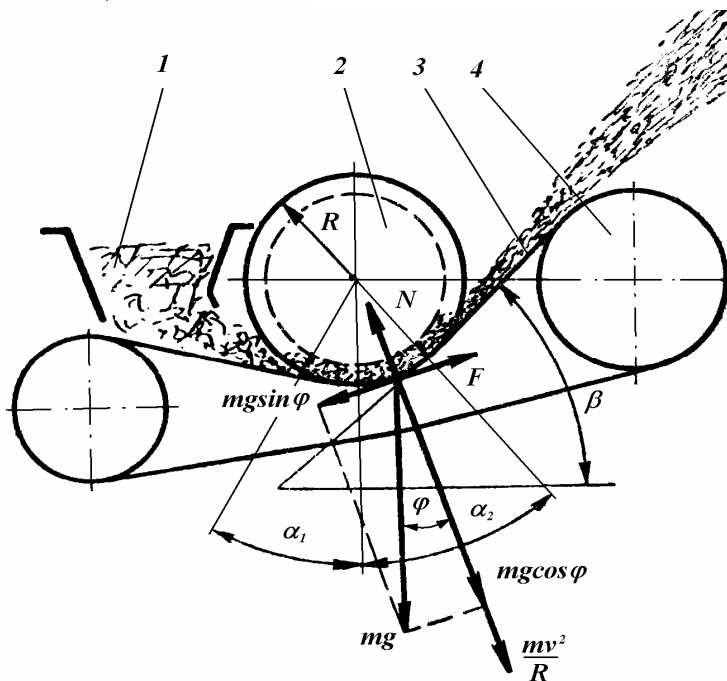


Fig. 3.95. Schema aruncătorului cu bandă și rolă

În figura 3.95. este prezentată schema unui aruncător cu bandă și rolă de presare. Rola de rază R este prevăzută cu două borduri laterale, pentru a nu permite curgerea materialului de pe banda transportorului. Asupra unei particule de masă m acționează următoarele forțe: reacțiunea normală N , forța de frecare $F = \mu N$, greutatea G cu componentele normală și tangentă, respectiv forța centrifugă $F_c = mv^2 / R$.

Din figură de poate vedea că reacțiunea normală este:

$$N = G \cos \varphi + \frac{m \cdot v^2}{R} \quad (3.178.)$$

Datorită forțelor ce acționează asupra particulei m , aceasta va fi aruncată cu o viteză v_0 și va parcurge o traiectorie definită de relația:

$$y = x \cdot \operatorname{tg} \beta - \frac{g \cdot x^2}{2v_0^2 \cos^2 \beta} \quad (3.179.)$$

Distanța parcursă de particulă pe orizontală după momentul aruncării este definită prin relația:

$$x = \frac{v_0^2}{g} \sin 2\beta \quad (3.180.)$$

Lungimea maximă de aruncare a materialului L se obține pentru $\sin 2\beta = 1$, adică pentru $\beta = 45^\circ$. În practică unghiul de înclinare are valori cuprinse între $30 - 40^\circ$.

Înălțimea maximă H la care se ridică materialul după aruncare se determină din relația:

$$H = \frac{v_0^2}{2g} \sin^2 \beta \quad (3.181.)$$

Din relațiile de mai sus rezultă mărimea unghiului de aruncare în funcție de L și H :

$$\beta = \arctg 4 \frac{H}{L} \quad (3.182.)$$

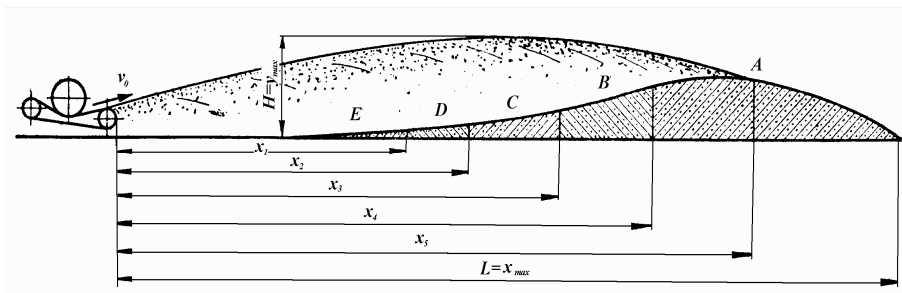


Fig. 3.96. Dispersia materialului la aruncătorul cu bandă și rolă

Dispersia materialului aruncat cu viteza inițială v_0 este prezentată în figura 3.96. Împrăștierea materialului depinde de compoziția granulometrică a acestuia. Astfel particulele cu masa cea mai mare vor fi aruncate în zona A, în timp ce particulele cu masa cea mai mică vor fi aruncate în zona E.

Dacă se ține cont de cinematica mișcării particulei la aruncarea sub un unghi oarecare, în acest caz se poate scrie:

$$v \frac{dv}{d\varphi} = g \cdot R(\mu \cos \varphi - \sin \varphi) + \mu \cdot v^2 \quad (3.183.)$$

Plecând de la această relație în care v este viteza absolută a particulei, se obține viteza de aruncare în funcție de viteza pe orizontală v_H , astfel:

$$v_0 = v_H e^{\mu\alpha} \quad (3.184.)$$

unde α este unghiul cu care banda înfășoară rola ($\alpha = \alpha_1 + \alpha_2$).

Productivitatea aruncătorului cu bandă se determină cu relația:

$$Q = 3,6 \cdot B \cdot h \cdot \gamma \cdot \psi \cdot v_0, \text{ în t/h} \quad (3.185.)$$

în care B este lățimea benzii transportorului;

γ - masa volumetrică a materialului;

h - înălțimea stratului de material de pe bandă;

ψ - coeficientul de umplere al secțiunii cu material;

Pentru situațiile practice, aruncătoarele cu bandă au viteza de aruncare de $12 - 18$ m/s și distanța de aruncare de $10 - 20$ m. În cazul unei benzi cu lățimea de $0,4$ m, înălțimea stratului de material de $0,010$, viteza de aruncare de 12 m/s, coeficient de umplere de $0,7$ și o masă volumetrică de $0,8 \text{ t/m}^3$, productivitatea aruncătorului este de aproximativ 100 t/h .

Puterea necesară acționării unui aruncător cu bandă se determină cu relația:

$$P = Q \frac{(v_0^2 - v_H^2)}{367 \cdot g \cdot \eta}, \text{ în kW} \quad (3.186.)$$

unde η este randamentul transmisiei.

Aruncătorul cu palete (fig. 3.97.) poate lucra în două moduri. În prima variantă (fig. 3.97.a) materialul este antrenat în mișcare de paletele 1 și aruncat la ieșirea din jgheabul 2, fără a avea un control asupra modului de dispersie a acestuia. A doua variantă (fig. 3.97.b) permite antrenarea materialului de către paletele 2 în interiorul carcasei 3 și aruncarea acestuia prin tubul

1. Ca și în cazul aruncătorului cu bandă și rolă, forțele care acționează asupra unei particule sunt reacțiunea N , greutatea mg , forța de frecare F și forța centrifugă $m\omega^2 R$. Particula este antrenată de paletă din punctul A și deplasată prin carcasă până în punctul B , unde este aruncată cu viteza v_0 . Datorită faptului că viteza absolută v este înclinată cu unghiul α față de v_0 și frecării cu tubul de evacuare, viteza reală de aruncarea particulei va fi mai mică.

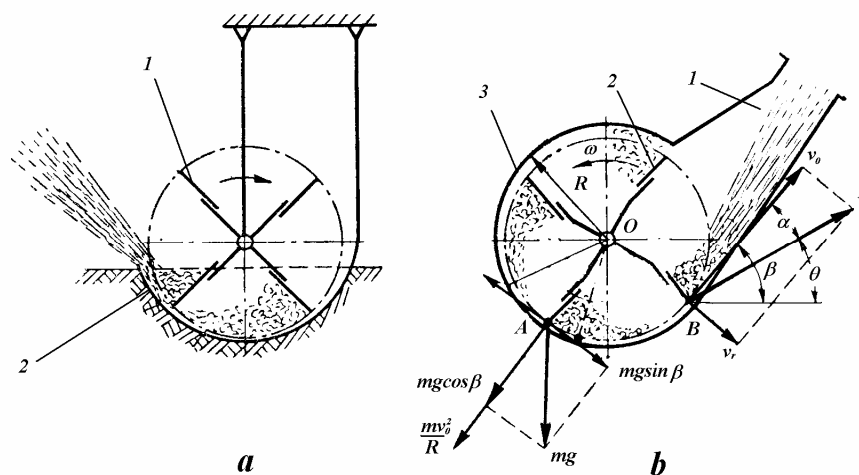


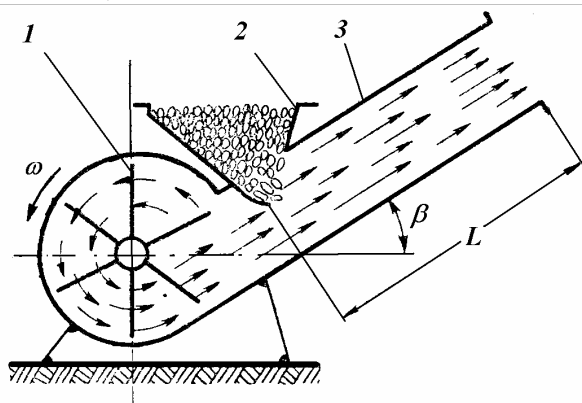
Fig. 3.97. Schema aruncătorului cu palete

Productivitatea aruncătorului cu palete se determină cu relația:

$$Q = 3,6 \cdot A \cdot \gamma \cdot \psi \cdot v_m \quad (3.187.)$$

unde A este aria secțiunii transversale a materialului din jgheabul aruncătorului;

v_m – viteza medie sau viteza reală de aruncare a materialului



În cazul aruncătorului pneumatic (fig. 3.98.) materialul din gura de alimentare este introdus cu un debit uniform în canalul de refulare 3, prin care circulă un curent de aer debitat de paletele ventilatorului 1. Viteza de aruncare a materialului este egală cu viteza curentului de aer de la ieșirea din canalul de refulare.

Fig. 3.98. Schema aruncătorului pneumatic

3.6. Instalațiile auxiliare ale transportoarelor

Instalațiile auxiliare au rolul de a asigura încărcarea transportorului cu un debit constant de material din punctul de primire al acestuia, la care se mai poate adăuga și cântărirea materialului. Din această categorie fac parte buncărele, alimentatoarele, închizătoarele și cântarele.

3.6.1. Buncăre

Buncărele sunt recipiente în care sunt păstrate materiale vrac în cantități mari. Dacă raportul dintre înălțime și dimensiunea secțiunii orizontale este mică, acești recipiente se numesc buncăre, iar dacă raportul este mare se numesc silozuri

Din punct de vedere constructiv buncărele pot fi prismatice, cilindrice sau în formă de albie, cele mai des întâlnite în practică fiind prezentate în figura 3.99.

Din punct de vedere al utilizării lor, buncărele pot fi:

- de primire, care primesc materialul vrac direct din mijlocul de transport și care trebuie să asigure preluarea unei cantități specifice ritmului neuniform de sosire a materialului; de aici, cu ajutorul benzilor transportoare, materialul vrac este dirijat sub formă de flux uniform către următoarea operație din cadrul tehnologiei de lucru;

- intermediare, cu rol de tampon compensator față de specificul liniei tehnologice;

- de încărcare sau ieșire, aici fiind acumulat produsul finit ce urmează a fi livrat către mijloacele de transport.

Construcția buncărelor trebuie să țină cont de faptul că scurgerea materialului trebuie să se facă în condiții de rezistență minimă. Scurgerea se poate realiza, în funcție de înclinarea pereților, sub două feluri: normală (fig. 3.100.a. și c) sau hidraulică (fig. 3.100.b.).

La scurgerea normală se formează un curent central de material în mișcare și o adâncitură conică la suprafața liberă a materialului din buncăr, acesta fiind și modelul de scurgere care se ia în calcule. La scurgerea hidraulică întreaga masă a materialului este pusă în mișcare și aceasta se datorează unei înclinări pronunțate a pereților buncărului.

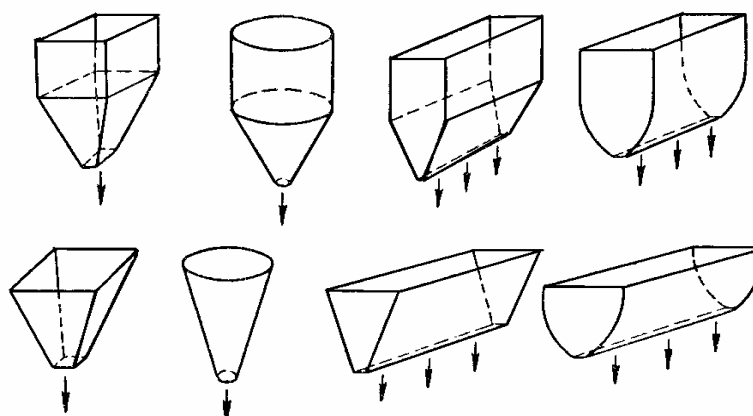


Fig. 3.99. Tipuri constructive de buncăre

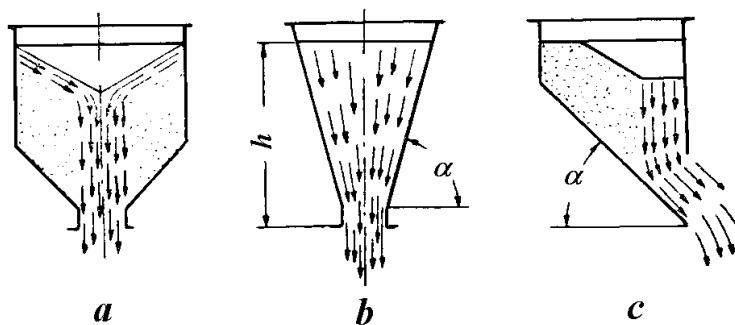


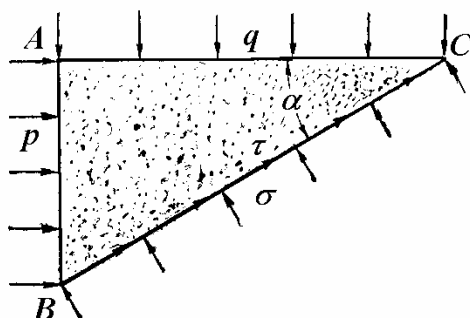
Fig. 3.100. Moduri de scurgere a materialului din buncăre

În cazul scurgerii normale a materialului, orificiul de scurgere este îngustat de particulele de material ce se află în repaus în jurul acestuia, astfel că, toate dimensiunile ce se iau în calcul vor fi micșorate cu dimensiunea granulei caracteristice.

Calculul buncărelor are ca scop determinarea presiunii exercitate de material asupra pereților laterali și a fundurilor, presiune care se transmite implicit și asupra închizătoarelor sau alimentatoarelor. În teoria mecanicii curgerii materialelor vărsate se presupune că materialul se scurge ușor, iar între granulele acestuia nu se exercită forțe de frecare. În cazul real lucrurile stau

puțin diferit, de aceea relațiile matematice obținute pe modelul teoretic vor fi afectate de unii coeficienți de corecție stabiliți pe cale experimentală.

Asupra pereților buncărului materialul exercită o presiune q pe



suprafața orizontală și o presiune p pe suprafața verticală, în lipsa unor eforturi tangențiale acestea fiind tensiunile principale. Dacă există un perete înclinat cu un unghi α (fig. 3.101.) atunci apar presiunea sau efortul unitar normal σ și efortul unitar tangențial τ . Pentru un element prismatic, cu secțiunea triunghiulară ABC și lungimea egală cu unitatea, plin cu material vrac, proiecția forțelor pe direcția normală la BC va da ecuația de echilibru de forma:

Fig. 3.101. Distribuția eforturilor

$$\overline{BC}\sigma - \overline{AC}q \cos \alpha - \overline{AB}p \sin \alpha = 0 \quad (3.188.)$$

Din triunghiul dreptunghic se pot exprima AB și AC în funcție de BC , iar cu acestea relația de mai sus devine:

$$\sigma = q \cos^2 \alpha + p \sin^2 \alpha \quad (3.189.)$$

Cunoscând presiunea pe pereții orizontal și pe cel vertical, se poate stabili presiunea pe un perete înclinat al buncărului.

Din proiecția forțelor pe direcția BC se obține ecuația de echilibru de forma:

$$\overline{BC}\tau + \overline{AB}p \cos \alpha - \overline{AC}q \sin \alpha = 0 \quad (3.190.)$$

Dacă se fac înlocuirile ca mai sus rezultă:

$$\tau = \frac{q-p}{2} \sin 2\alpha \quad (3.191.)$$

Reprezentarea grafică a relațiilor ce definesc pe σ și pe τ este prezentată în figura 3.102. Pe axa $O\sigma$ s-a trasat un cerc de rază $r = (q-p)/2$ cu centrul la distanța $(q+p)/2$. Dacă din punctul M se duce dreapta MN înclinată cu unghiul α , ordonata punctului N va fi:

$$\tau = r \sin 2\alpha = \frac{q-p}{2} \sin 2\alpha \quad (3.192.)$$

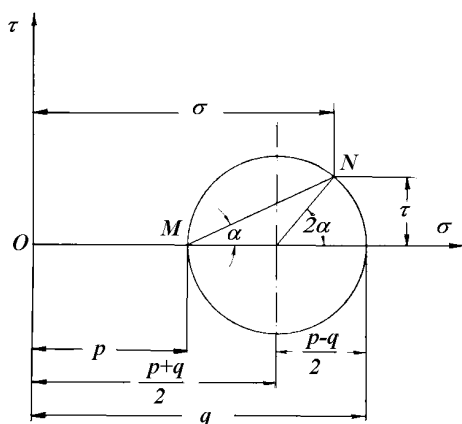


Fig. 3.102. Reprezentarea grafică a eforturilor

Pentru abscisa punctului N va rezulta:

$$\sigma = \frac{q+p}{2} + r \cos 2\alpha = \frac{q+p}{2} + \frac{q-p}{2} (\cos^2 \alpha - \sin^2 \alpha) = q \cos^2 \alpha + p \sin^2 \alpha \quad (3.193.)$$

Cercul tensiunilor poate fi trasat pentru orice punct al masei de material, în care dreapta MN va da, pentru un plan înclinat cu unghiul α , eforturile unitare σ și τ . Efortul unitar tangențial este legat de cel normal, iar la limită prin relația frecării interne:

$$\tau = \sigma \mu_0 = \sigma g \rho_0 \quad (3.194.)$$

Dacă efortul unitar tangențial atinge această valoare limită atunci materialul își pierde coeziunea și alunecă (se surpă) după direcția unghiului α pentru care a fost atinsă limita. Reprezentarea grafică a dreptei dată de relația 3.194. arată că această limită este atinsă atunci în punctul de tangență cu cercul tensiunilor (fig. 3.103.a.). Planul în care se află punctul N are înclinația α , a cărei valoare se determină din triunghiul ONO_1 :

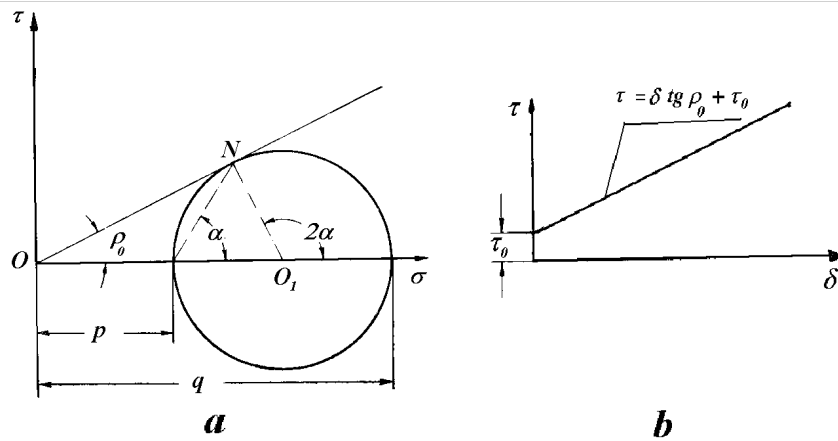


Fig. 3.103. Reprezentarea grafică a unghiului de înclinare limită și a efortului unitar tangențial

$$2\alpha = 90^\circ + \rho_0 \Rightarrow \alpha = 45^\circ + \frac{\rho_0}{2} \quad (3.195.)$$

În condiții reale, când materialul are o umiditate oarecare și unde apar forțe de coeziune suplimentare între granule, tensiunea tangențială apare și în lipsa unei tensiuni normale, ca efect al unei tensiuni inițiale τ_0 (datorată forțelor de coeziune), iar relația de definiție a efortului tangențial (reprezentată în figura 3.103.b.) va fi:

$$\tau = \mu_0 \sigma + \tau_0 \quad (3.196.)$$

Din relația 3.195. ca și condiție limită, rezultă că între p și q există o relație de dependență de forma $p = kq$, k fiind o constantă numită coeficient de mobilitate. Acest coeficient va permite determinarea presiunii orizontale dacă se cunoaște presiunea verticală a unui buncăr.

Cu semnificația de mai sus relațiile 3.191. și 3.192. vor căpăta forma:

$$\begin{aligned} \sigma &= q(\cos^2 \alpha + k \sin^2 \alpha) \\ \tau &= q \frac{1-k}{2} \sin 2\alpha \end{aligned} \quad (3.197.)$$

Dar din relația 3.194. $\operatorname{tg} \rho_0 = \tau / \sigma$ și relațiile de mai sus pot fi scrise astfel:

$$\operatorname{tg} \rho_0 = \frac{(1-k) \sin 2\alpha}{2(\cos^2 \alpha + k \sin^2 \alpha)} \quad (3.198.)$$

Din relația 3.195. rezultă că $\sin 2\alpha = \cos \rho_0$ și $\cos 2\alpha = -\sin \rho_0$, iar dacă se ține cont și de relațiile trigonometrice $\cos^2 \alpha = \frac{1 + \cos 2\alpha}{2}$, respectiv $\sin^2 \alpha = \frac{1 - \cos 2\alpha}{2}$, atunci relația de mai sus devine:

$$\frac{\sin \rho_0}{\cos \rho_0} = \frac{(1-k) \cos \rho_0}{2 \left(\frac{1 - \sin \rho_0}{2} + k \frac{1 + \sin \rho_0}{2} \right)} \quad (3.199.)$$

Relația de mai sus se înmulțește cu $\cos \rho_0$ și de aici se obține formula de calcul a coeficientului de mobilitate:

$$k = \frac{1 - \sin \rho_0}{1 + \sin \rho_0} \quad (3.200.)$$

Din relațiile trigonometrice se obține că $\operatorname{ctg}^2 \alpha = k$, de unde rezultă relația de calcul a coeficientului de mobilitate de forma:

$$k = tg^2 \left(45^\circ - \frac{\rho_0}{2} \right) \quad (3.201.)$$

Pentru buncărele cu înălțimi mari, de ordinul metrilor, presiunea pe verticală se poate determina plecând de la legea hidrostatică $q = \gamma h$, unde γ este masa volumetrică a materialului iar h este înălțimea coloanei de material. Dacă se urmărește un calcul mai precis, atunci va trebui să se țină cont de faptul că o parte din material se sprijină, prin frecare, de pereții laterali ai buncărului, parte ce va determina scăderea presiunii verticale.

Pentru buncărul din figura 3.104. se consideră un strat elementar cu grosimea dh (cu buncăr având secțiunea A și perimetrul L), aflat la adâncimea h față de suprafață, ce se află în echilibru sub acțiunea presiunilor de pe cele două suprafețe ale sale, a greutateii proprii și a frecării de pereții buncărului. Ecuația de echilibru va avea forma:

$$qA + \gamma A dh = (q + dq)A + \mu p L dh \quad (3.202.)$$

Dacă se împarte relația de mai sus cu $A dh$ se obține:

$$\frac{dq}{dh} = \gamma - \frac{L \mu p}{A} \quad (3.203.)$$

Pentru condiția $p = kq$ și introducând raza hidraulică $R = A / L$ rezultă:

$$\frac{dq}{dh} = \gamma - \frac{\mu k}{R} q = \frac{\mu k}{R} \left(\frac{\gamma R}{\mu k} - q \right) \quad (3.204.)$$

Prin integrare și determinarea constantei de integrare din condițiile la limită, se obține relația finală:

$$q = \frac{\gamma R}{\mu k} \left(1 - \frac{1}{e^{\frac{\mu k}{R} h}} \right) \quad (3.205.)$$

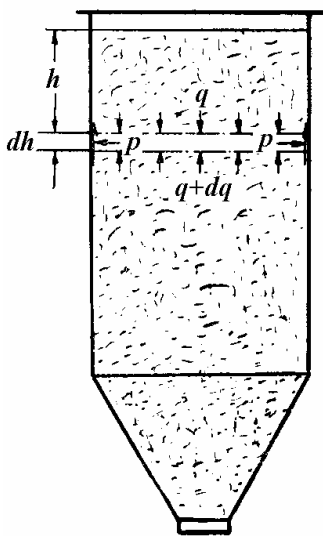


Fig. 3.104. Calculul buncărului

Se poate observa că presiunea verticală nu crește continuu cu înălțimea h , ea tinzând asimptotic spre valoarea limită $\gamma R / \mu k$, și o atinge pentru $h = \infty$. În practică valoarea limită este atinsă după 3-5 m. Din datele experimentale s-a constatat că pentru majoritatea materialelor $\mu k \approx 0,18$, iar presiunea maximă atinge valoarea $q_{\max} = 5,6 \gamma R$, independentă de înălțimea h . Cu aceste date și ținând cont că la încărcarea buncărului pot să apară presiuni mai mari decât cele rezultate din calculele precedente, relația generală de calcul a presiunii exercitate de material asupra unui perete al buncărului înclinat cu unghiul α are forma:

$$\sigma = 5,6 \gamma R \beta (\cos^2 \alpha + k \sin^2 \alpha) \quad (3.206.)$$

unde $\beta = 1 \dots 2$ și este un coeficient ce ține cont de modul cum este exploatat buncărul (golire parțială sau totală, manevrare închizător, apariția de sarcini dinamice, etc.).

Forma optimă a buncărului trebuie să țină cont de faptul că pentru descărcare, laturile piramidei inferioare trebuie să aibă acea înclinație care să nu permită formarea de depozite de material ce nu pot să alunece spre în jos. În funcție de coeficientul de frecare în repaus al materialului pe pereții buncărului μ_1 , unghiul de înclinare se poate determina cu relația:

$$\cos \alpha = \sqrt{\sqrt{4\mu_1^2 + 1} - 2\mu_1^2} \quad (3.207.)$$

În practică, pentru ca toată masa de material să alunece, trebuie ca pereții să aibă o înclinație cu $2^\circ - 4^\circ$ mai mare decât cea teoretică. Pentru buncărele având forma de albie alungită și a celor cu descărcare prin fantă, unghiul de înclinare al pereților este de $50^\circ - 60^\circ$ sau chiar mai mare, dacă materialul se scurge greu.

3.6.2. Închizătoare

Sunt acele dispozitive care închid sau deschid orificiile de evacuare a materialelor din buncăre. În același timp închizătoarele mai pot juca rol de reglaj, neuniform și în anumite limite, a debitului de material care se scurge din buncăr.

Clasificarea închizătoarelor se poate face după forma constructivă a elementului de închidere (fig. 3.105.). Pentru descărcarea materialului din buncărele cu fantă se folosesc descărcătoare mecanice cu lopeți, iar în unele cazuri descărcarea se face cu instalații pneumatice.

Buncărele care se descarcă pneumatic au o construcție specială prin care, pe la partea inferioară se insuflă aer ce antrenează particulele și le fluidizează în procesul de descărcare.

Închizătoarele trebuie să asigure un anumit debit de material care să treacă prin orificiul lor, fapt ce impune realizarea unei anumite secțiuni de trecere, respectiv o anumită viteză de curgere. Ca urmare a presiunii exercitate de material asupra pereților buncărului, dar și asupra închizătorului, trebuie determinată și forța necesară pentru acționarea lui.

Debitul de material care se scurge prin orificiul închizătorului este asemănător ca în cazul transportoarelor:

$$Q = 3600 \gamma A v, \text{ în t/h} \quad (3.208.)$$

unde A este aria secțiunii de trecere a închizătorului, în m^2 ;

v – viteza de scurgere a materialului, în m/s ;

γ - masa volumetrică a materialului, în t/m^3 .

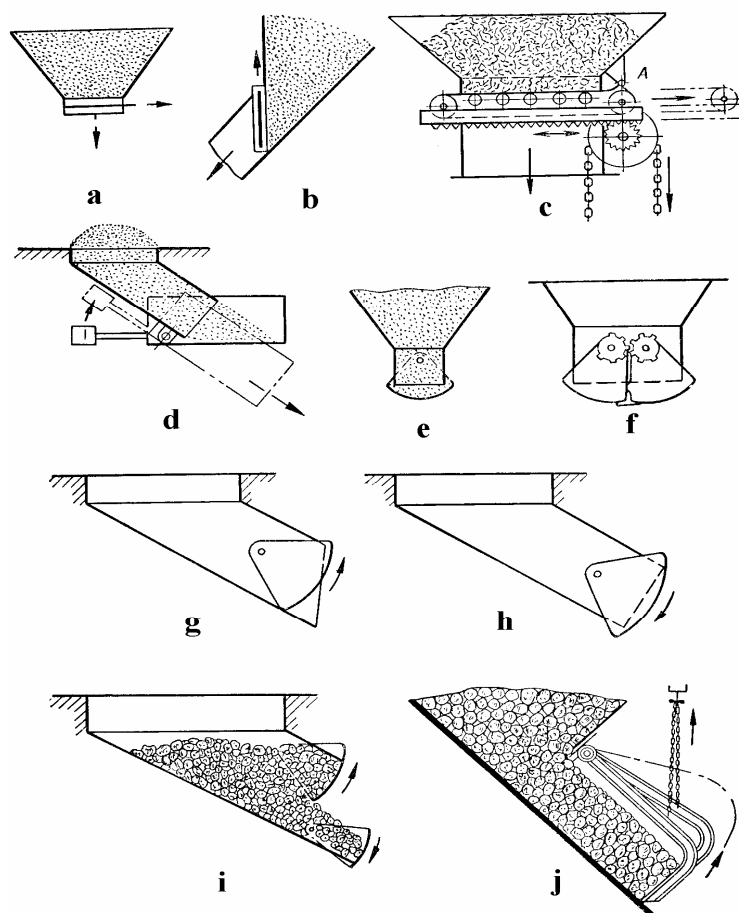


Fig. 3.105. Tipuri constructive de închizătoare: a- cu sertar plan orizontal; b- cu sertar plan vertical; c- cu tablă flexibil; d- cu clapetă oscilantă; e- cu sector pivotant simplu; f- cu sector pivotant dublu; g- cu sector pivotant înclinat interior; h- cu sector pivotant înclinat exterior; i- cu două sectoare pivotante înclinate; j- cu degete.

Deoarece viteza de scurgere a materialului diferă cu înălțimea stratului de material, rezultă că și debitul va fi neuniform. Uniformizarea sa relativă se poate face prin modificarea periodică a secțiunii orificiului.

Mărimea orificiului de scurgere trebuie să permită trecerea materialului fără apariția unor rezistențe suplimentare, mărimea sa fiind aleasă astfel încât să nu se blocheze la trecerea unui bulgăre mai mare sau să nu permită formarea unei bolți deasupra orificiului de scurgere, care să imobilizeze materialul. O formulă de calcul experimentală stabilește care trebuie să fie mărimea orificiului închizătorului la care scurgerea materialului să respecte condițiile de mai sus:

$$A' > k(a' + 80) \operatorname{tg} \rho_0, \text{ în mm.} \quad (3.209.)$$

în care A' este latura orificiului pătrat sau diametrul orificiului rotund, în mm;

k – coeficient experimental ($k = 2,6$ pentru materiale nesortate și $k = 2,4$ pentru materiale sortate);

a' – dimensiunea maximă a granulei caracteristice, în mm;

ρ_0 - unghiul de frecare internă a materialului.

Pentru a nu se forma o boltă deasupra orificiului de scurgere este necesar ca componenta pe verticală a efortului tangențial τ_1 să respecte condiția:

$$\tau_1 = \tau_0 (1 + \sin \rho_0) \quad (3.210.)$$

Raza hidraulică a orificiului trebuie să îndeplinească condiția:

$$R = \frac{\tau_0 (1 + \sin \rho_0)}{\gamma} \quad (3.211.)$$

Dar cum pentru majoritatea materialelor vărsate valoarea medie a unghiului de frecare internă este de $36^\circ 40'$, efortul tangențial inițial are forma:

$$\tau_0 = \frac{\gamma h}{4} \quad (3.212.)$$

Pentru a determina viteza de scurgere a materialului, se consideră un element de grosime Δh de material de deasupra orificiului de scurgere de secțiune S , pe care se exercită presiunea verticală q . Cum însă energia cinetică pe care o capătă materialul la parcurgerea acestei distanțe, este egală cu lucrul mecanic efectuat de presiunea q :

$$qS\Delta h = \frac{\gamma}{g} S\Delta h \frac{v^2}{2} \quad (3.213.)$$

De aici se obține viteza de scurgere:

$$v = \sqrt{2g \frac{q}{\gamma}} \quad (3.214.)$$

Din încercările experimentale s-a constatat că relația de mai sus trebuie corectată cu un coeficient $\lambda = 0,2 \dots 0,5$ în funcție de materialul din buncăr.

La stabilirea forței necesare acționării închizătoarelor trebuie să se ia în considerare tipul constructiv și rezistențele specifice ce apar în timpul manevrării lor. Relațiile matematice stabilite pe baze teoretice sunt corectate cu coeficienți de siguranță supraunitari.

3.6.3. Alimentatoare

Alimentatoarele sunt acele dispozitive montate în zona orificiilor de evacuare ale buncărelor și care au rolul de a asigura un debit de material constant în timp sau cu posibilitatea de reglare în funcție de nevoi. Alimentatoarele fac legătura dintre buncăr și transportoarele de material, ca parte a instalațiilor de prelucrare a acestuia.

Din punct de vedere constructiv și al principiului de funcționare, alimentatoarele se pot clasifica astfel:

- alimentatoare cu organe rotative;
- alimentatoare cu organe flexibile de tracțiune;

- alimentatoare cu organe oscilante.

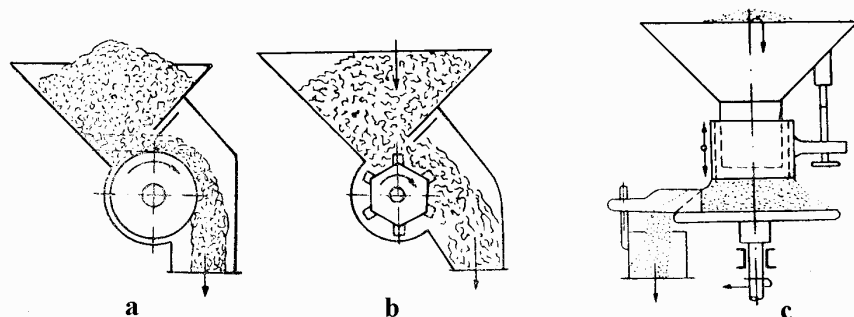


Fig. 3.106. Alimentatoare cu organe rotative: a- cu tobă cilindrică netedă;
b- cu tobă cilindrică profilată; c- cu disc

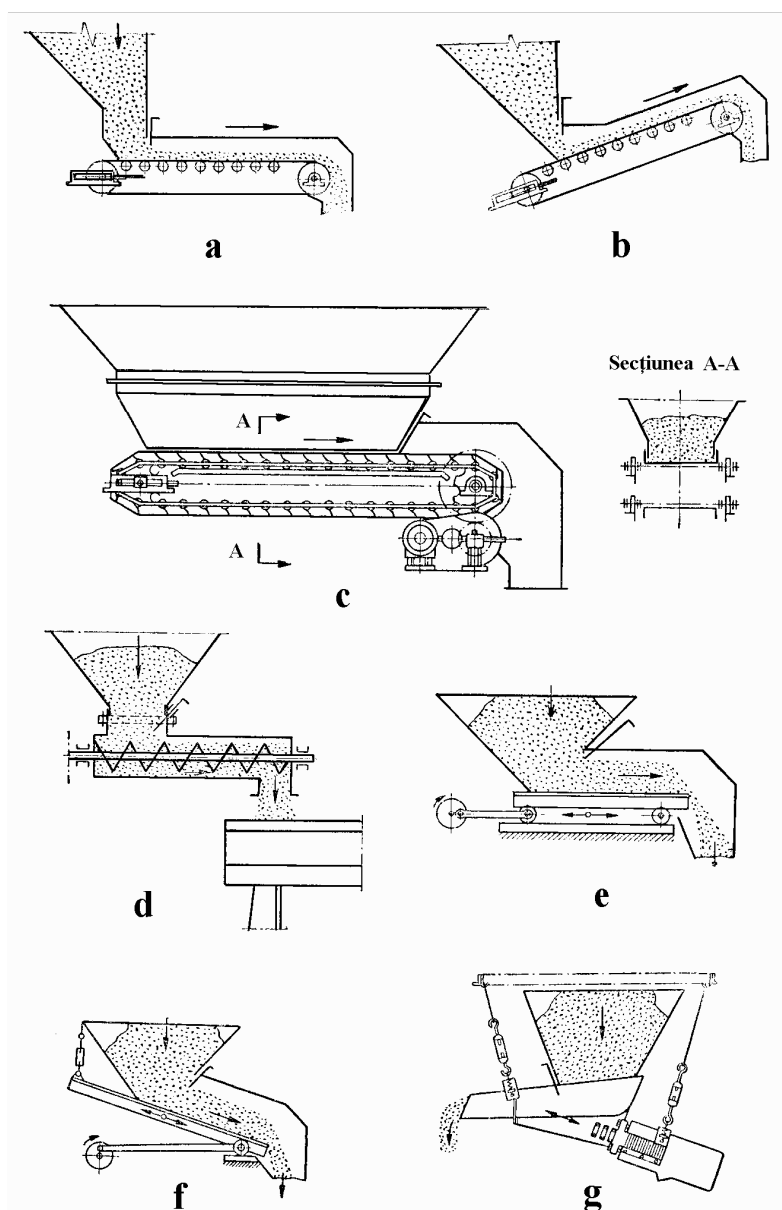


Fig. 3.107. Tipuri de alimentatoare

Alimentatoarele cu organe rotative au în construcție o tobă cilindrică (fig. 3.106.a.), o tobă canelată (fig. 3.106.b.) un disc rotator orizontal (fig. 3.106.c.) sau un transportor elicoidal scurt (fig. 3.107.d.), plasate sub orificiul buncărului și care imprimă materialului, prin frecare, o anumită viteză de deplasare. Alimentatoarele cu tobe se folosesc la descărcarea buncărelor cu materiale de granulație mică, până la mijlocie, în timp ce alimentatoarele cu melc se folosesc la materiale cu granulație mică.

Alimentatoarele cu disc permit reglarea distanței dintre orificiu și discul rotativ, fapt ce permite utilizarea lor la materiale cu granulație de la fină la cele mari.

Alimentatoarele cu organe flexibile de tracțiune au în construcție un transportor cu bandă scurt, dispus orizontal (fig. 3.107.a.) sau ușor înclinat fig. 3.107.b.), ori un transportor cu raclete (fig. 3.107.c.). Reglarea debitului de material se poate face fie prin intermediul unui sertar care modifică înălțimea stratului de material de pe

transportor, fie prin modificarea vitezei transportorului cu ajutorul unui variator de turație.

Alimentatoarele cu organe oscilante au o platformă (cărucior) montată pe role și pusă în mișcare rectilinie alternativă de către un mecanism cu excentric. Platforma este dispusă orizontal (fig. 3.107.e.) sau înclinat (fig. 3.107.f.). Tot din această categorie mai fac parte și alimentatoarele vibrante (fig. 3.107.g.) la care sub gura de evacuare este montat un transportor vibrator, ușor înclinat și acționat de către un electromagnet. Având o frecvență de circa 3000 oscilații pe minut, transportorul deplasează materialul prin salturi mici și dese, debitul fiind reglat cu un sertar, motiv pentru care uzura transportorului vibrator este mai mică și îl recomandă la scurgerea materialelor abrazive.

Calculul alimentatoarelor cu tobe se referă la determinarea debitului sau a productivității, respectiv a volumului de material deplasat în unitatea de timp:

$$Q = 60\pi B h D n k \gamma, \text{ în t/h} \quad (3.215.)$$

unde B este lățimea tobei, în m;

h – grosimea stratului de material de pe tobă, în m;

D – diametrul tobei, în m;

n – turația tobei, în rot/min;

k – coeficient de productivitate ($k \cong 0,7$).

Ca urmare a presiunii exercitate de material asupra tobei cilindrice netede vom avea o forță de greutate G , la care se adaugă greutatea proprie a tobei (G_0), cele două vor da naștere unui moment de frecare în lagărele tobei a cărei valoare este:

$$M_f = (G_0 + G) \frac{\mu_1 d}{2} \quad (3.216.)$$

în care d este diametrul axului tobei;

μ_1 - coeficientul de frecare din lagăre.

La tobele poligonale, momentului rezistent de mai sus i se adaugă și cel provenit din forfecarea materialului de către proeminențele tobei, precum și agitării permanente a acestuia. Ca urmare, momentul rezistent va avea forma:

$$M_f^c = k_c G \frac{D}{2} \mu_a + (G_0 + G) \frac{\mu_1 d}{2} \quad (3.217.)$$

unde μ_a este coeficientul de alunecare al materialului;

k_c – coeficient ce ține cont de agitarea materialului (are valori cuprinse între 1, la granulații mici și 2, la granulații mari).

Cu valoarea momentului rezistent se poate determina puterea necesară acționării alimentatorului cu tobe:

$$P = \frac{k_s M n}{975 \eta}, \text{ în kW} \quad (3.218.)$$

În relația de mai sus k_s este un coeficient de siguranță supraunitar (pentru calcule acesta are valoarea aproximativă 1,15).

La alimentatoarele cu disc cantitatea de material distribuită de organul rotativ se determină cu relația:

$$Q = \frac{60\pi h^2 n \gamma}{\operatorname{tg} \alpha} \left(\frac{D}{2} + \frac{h}{3 \operatorname{tg} \alpha} \right) \quad (3.219.)$$

în care h este distanța dintre gura de evacuare și discul rotativ;

D – diametrul gurii de evacuare a materialului pe disc;

α - unghiul taluzului natural al conului de material.

Turația discului trebuie să evite aruncarea materialului ca efect al forței centrifuge și de aceea ea este limitată la valoarea:

$$n_{\max} = 30 \sqrt{\frac{\mu}{R_c}} \quad (3.220.)$$

unde R_c este raza conului sub care se așează materialul pe disc;

μ - coeficientul de frecare dintre material și disc.

Deoarece descărcarea materialului de pe disc se face cu ajutorul unei raclete, în timpul funcționării alimentatorului trebuie învinse trei rezistențe ce provin din: frecarea materialului pe disc, frecarea materialului de racletă și frecarea dintre partea materialului antrenată în rotație și cea aflată în repaus.

La alimentatoarele prevăzute cu transportoare cu bandă sau cu plăci, calculul se face ținând cont de productivitatea acestora și care a fost determinată anterior. Pentru alimentatoarele, productivitatea se calculează cu relația:

$$Q = 3600bh_1v\psi, \text{ în t/h} \quad (3.221.)$$

unde b este lățimea transportorului;

h_1 – înălțimea bordurilor laterale;

v – viteza transportorului;

ψ - coeficientul de umplere a jgheabului cu material (aproximativ 0,8).

Viteza organului flexibil de tracțiune este de 0,05-0,45 m/s la alimentatoarele cu bandă și de 0,02-0,25 m/s la alimentatoarele cu plăci. De asemenea, înălțimea bordurilor laterale se alege astfel încât frecarea lor cu materialul să nu depășească frecarea pe fundul jgheabului.

Calculul puterii necesare acționării alimentatorului trebuie să țină cont de faptul că, pe lângă puterea necesară acționării transportorului, se mai consumă energie pentru învingerea frecărilor cu bordurile laterale, respectiv frecărilor datorate presiunii materialului din buncăr exercitată pe zona de scurgere. În cazul general când transportorul ridică materialul pe înălțimea H (L_h fiind proiecția pe orizontală a transportorului), având borduri cu lungimea l și coeficientul de frecare dintre material și borduri μ_b , puterea necesară acționării alimentatorului se determină cu relația:

$$P = \frac{Qv}{300} (0,2L_h + H) + 10h^2l\mu_bv + \frac{Gv}{400} \quad (3.222.)$$

G fiind forța cu care materialul presează asupra gurii de scurgere.

Din categoria alimentatoarelor cu organe oscilante, cel mai întâlnit în practică este cel cu cărucior, la care productivitatea se determină cu relația:

$$Q = 120Bhrn\gamma \quad (3.223.)$$

unde B este lățimea căruciorului sau distanța dintre bordurile laterale;

h – înălțimea stratului de material evacuat cu căruciorul (se reglează cu ajutorul unui sertar mobil);

r – raza manivelei.

În deplasarea sa căruciorul trebuie să învingă două rezistențe: la ducere (rulare plus frecarea materialului de pereții laterali) și la întoarcere (rulare plus frecarea materialului de platforma căruciorului). Din încercările experimentale s-a constatat că cele două rezistențe sunt aproximativ egale, iar pentru calcule se iau cele de la cursa de întoarcere:

$$\begin{aligned} R_r &= w(m_0g + G + qAB) \\ R_f &= \mu(G + qAB) \end{aligned} \quad (3.224.)$$

în care A este lungimea orificiului de scurgere a materialului;

m_0 – masa căruciorului;

w – rezistența specifică la înaintare a căruciorului;

μ - coeficientul de frecare dintre material și platforma căruciorului.

Din condițiile de exploatare în siguranță, viteza medie a căruciorului este $v = m/15$, în m/s.

Puterea necesară acționării alimentatorului se poate calcula cu relația:

$$P = \frac{k_1k_2}{\eta} \frac{R_r + R_f}{102} v \quad (3.225.)$$

unde k_1 este un coeficient dinamic ($k_1 \cong 1,1$);

k_2 – coeficient de siguranță ($k_2 \cong 1,15$).

3.7. Mașini de transportat fără șine și echipamente speciale

Transportul diverselor materiale și produse finite în cadrul unor unități economice, presupune utilizarea și a altor echipamente sau mașini care să asigure buna desfășurare a procesului de producție. Ele asigură legătura între diferite puncte de lucru, la depozitarea în magazii, la preluarea materiilor prime din mijloacele de transport, la deplasarea între diferite ateliere de lucru, etc. Toate acestea se folosesc în scopul de a realiza organizarea și desfășurarea activităților de descărcare și încărcare la care instalațiile de transportat prezentate nu se justifică din punct de vedere tehnologic sau economic.

Din categoria mașinilor de transportat fără șine și a echipamentelor speciale fac parte: cărucioarele de transport, platformele de transportat cu acționare mecanică sau electrică, mașinile de transportat și stivuit, transportoarele mobile, echipamentele de încărcat cu cupă sau graifăr, remorcile tehnologice, vagoneți, căi suspendate cu o singură șină, etc.

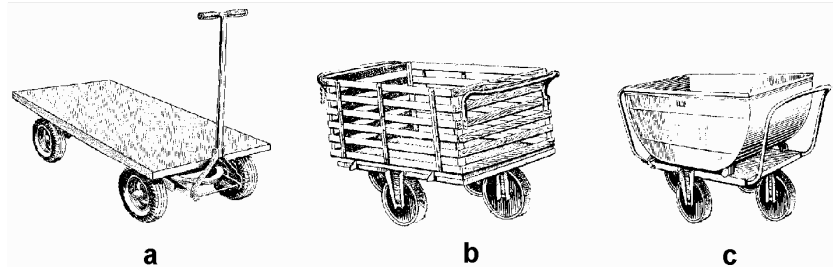


Fig. 3.108. Cărucioare de transport: a- pentru sarcini individuale; b- pentru sarcini individuale sau materiale cu granulație mare; c- pentru materiale vrac.

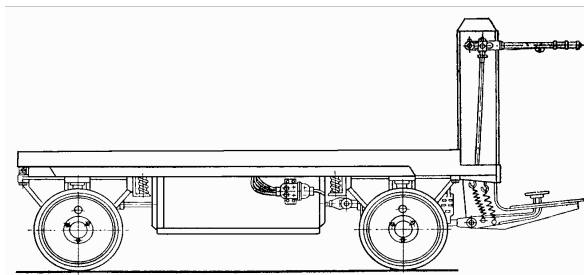


Fig. 3.109. Cărucior de transport cu acționare mecanică

Cărucioarele de transport sunt de tipul cu acționare manuală sau cu acționare mecanică. În figura 3.89 sunt prezentate diferite tipuri de cărucioare de transport cu acționare manuală, în funcție de caracteristicile sarcinilor ce trebuie deplasate.

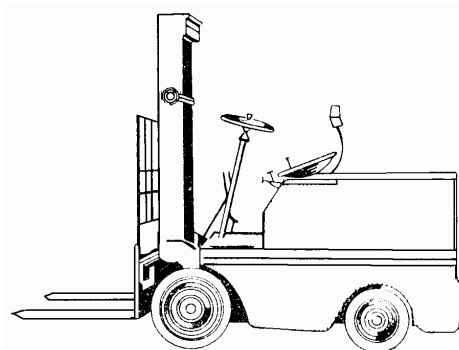
Cărucioarele de transport cu acționare mecanică (fig. 3.109.) au ca bază energetică baterii de acumulatori și se numesc electrocare sau motor cu ardere internă și se numesc motocare. Sunt construite pentru sarcini utile de 1...5 t, iar viteza de deplasare cu sarcina este de 5-6 km/h și în gol de până la 15 km/h.

Pentru stabilirea productivității cărucioarelor de transport trebuie să se țină cont de coeficientul de utilizare a capacității k_q care diferă în funcție de ce tip de fabricație deservește (are valori de la 0,4 pentru producție unicat și ajunge la 0,8 pentru deservirea unei producții de masă).

În timpul lucrului căruciorul efectuează un număr de n cicluri în funcție de timpul de lucru pe zi T și durata unui ciclu t ($n = T / t$), un ciclu de lucru însemnând suma tuturor timpurilor utili și morți de la încărcare și până când căruciorul revine pentru o nouă încărcare. Deoarece nu tot timpul căruciorul este folosit numai pentru transport (acesta mai are nevoie de întreținere și reparație), timpul efectiv mediu pe zi va fi Tk_t (k_t este coeficientul de utilizare a timpului și are valoarea de 0,8).

Productivitatea medie zilnică a căruciorului de transport se determină cu relația:

$$Q = 10^{-3} q k_q \frac{T k_t}{t}, \text{ în t/h} \quad (3.226.)$$



Pentru organizarea transportului în magazine și depozite de materii prime și produse finite se folosește sistemul de stivuire sub formă de palete. Ca mașini de lucru se folosesc electrostivuitoarele și motostivuitoarele (fig. 3.110.). De asemenea, pentru transportul paletelor se mai utilizează și cărucioare speciale.

Fig. 3.110. Motostivuitoare

Paletizarea este o metodă modernă de creșterea productivității operației de transport prin faptul că permite mecanizarea totală a ei, reduce costurile de transport, asigură integritatea materialelor transportate, folosește eficient capacitatea echipamentelor de transport.

Paleta este o platformă cu unul sau mai multe nivele (fig. 3.111.), ori sub forma unei lăzi numită boxpaletă, metalică sau din lemn, având diverse capacități. Folosirea lor în sistemul de transport containerizat are o serie de avantaje precum: asigurarea integrității produselor, scăderea considerabilă a costurilor cu încărcarea și descărcarea, mecanizarea și automatizarea procesului de lucru. În figura 3.112. este prezentată o linie robotizată de paletizare.

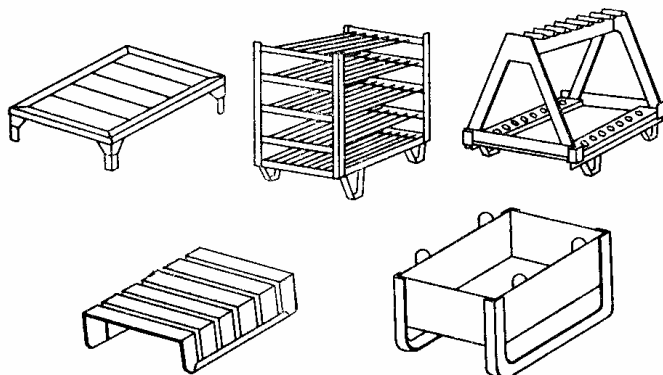


Fig. 3.11. Tipuri de palete

O categorie importantă de utilaje destinată mecanizării transportului în complexe zootehnice și nu numai, sunt remorcile tehnologice cu descărcare continuă. Acestea, pe lângă transportul propriu-zis, realizează și descărcarea fracționată controlată în cadrul operațiilor de încărcare a silozurilor turn, la distribuirea hranei în iesle, la împrăștierea pe sol a îngrășămintelor organice solide și lichide.

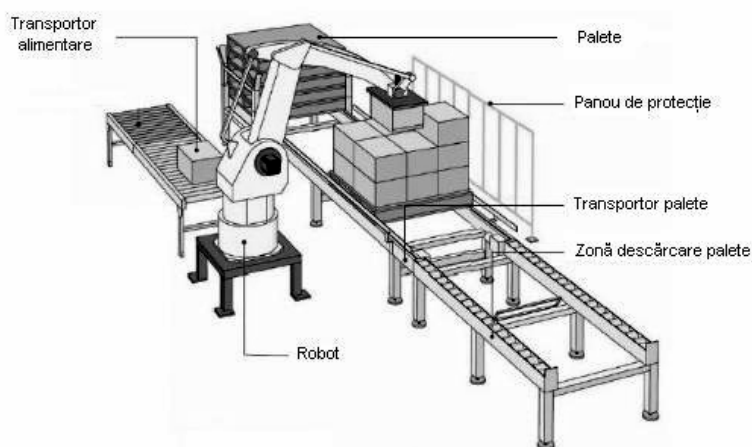


Fig. 3.112. Linie robotizată pentru paletizare

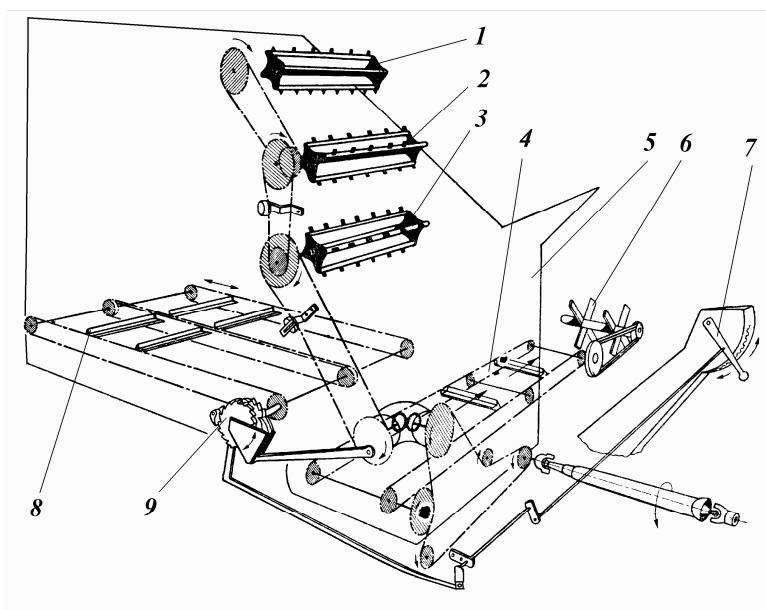


Fig. 3.113. Procesul de lucru al remorcii tehnologice

Remorca tehnologică cu descărcare continuă (fig. 3.113.) are în interiorul unei bene 5, un transportor cu racleți 8 dispus pe fundul benei și care antrenează cu viteză mică materialul către tobele de uniformizare 1,2 și 3, dirijându-l spre transportorul transversal de evacuare 5. La capătul acestuia se află paletel de distribuție 6 care împrăștie materialul. Reglarea debitului de material se realizează cu ajutorul manetei 7 care comandă cuplarea uneia din roțile dințate 9, mărind sau micșorând viteza transportorului 8.

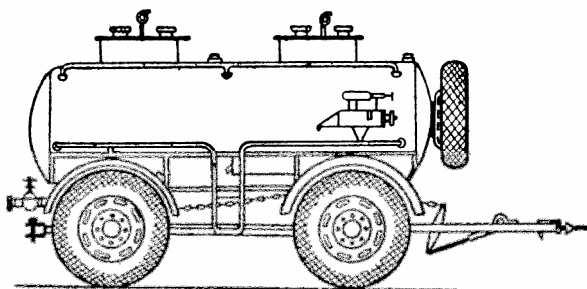


Fig. 3.114. Remorcă cisternă pentru dejecții lichide

Remorcile tehnologice folosite la împrăștierea gunoii de grajd au construcția asemănătoare, cu deosebirea că tobele sunt cele care aruncă materialul pe sol.

Remorca tehnologică din figura 3.114. este utilizată la împrăștierea pe sol a dejecțiilor lichide rezultate de la fermele de animale. Pompa de lichid a remorcii este acționată de la priza de putere a tractorului.

Pentru mecanizarea operațiilor de încărcare și descărcare a materialelor în vrac, atât în agricultură, cât și în industria alimentară, se folosesc încărcătoarele frontale (fig. 3.115.).

Organele de lucru utilizate de către încărcătorului frontal pot fi cupa adâncă pentru materiale vrac (fig. 3.116.a), cupa pentru gunoi de grajd (fig. 3.116.d), furcă pentru baloți, palete, lăzi (fig. 3.116.b) sau graifăr pentru baloți cilindrici, butoaie, furaje vrac.

Pentru încărcarea și descărcarea furajelor în vrac, a gunoii de grajd grosier, a resturilor vegetale (paie, coceni, resturi de tulpini) se folosesc încărcătoarele cu graifăr (fig. 3.117.) montate pe tractoare agricole.

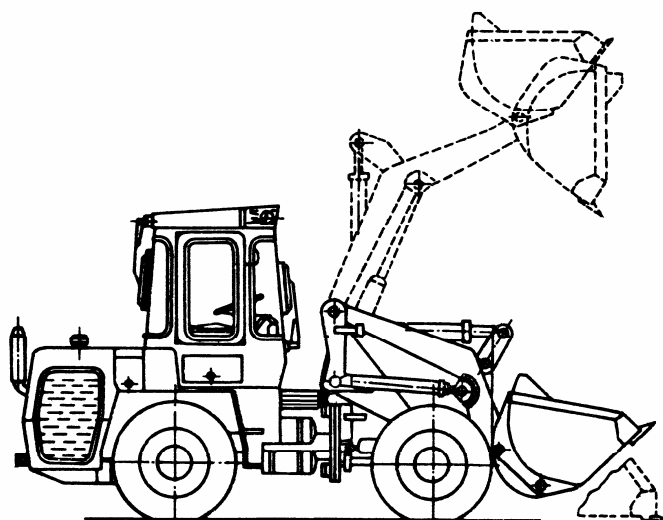


Fig. 3.115. Încărcător frontal cu cupă

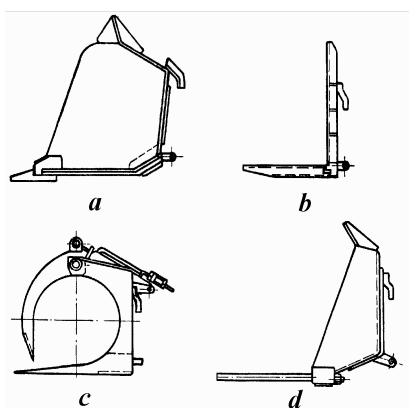


Fig. 3.116. Organe de lucru pentru încărcătorului frontal

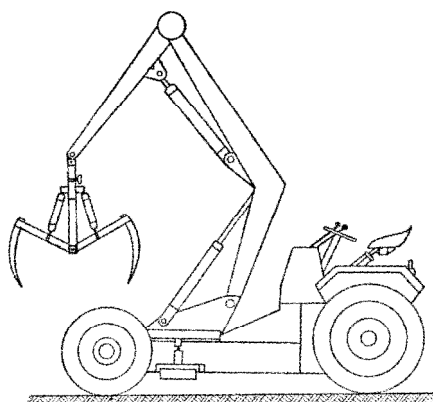


Fig. 3.117. Încărcător cu graifă

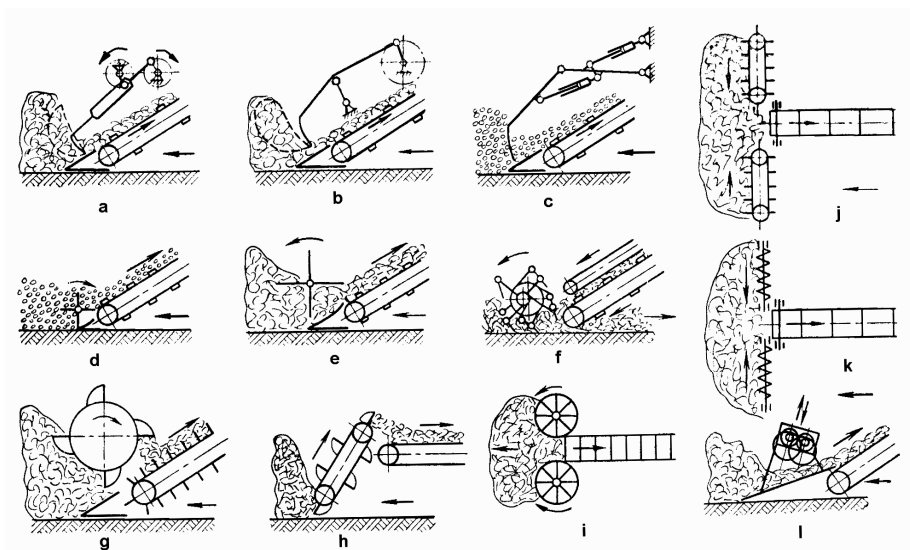


Fig. 3.118. Scheme ale dispozitivelor de ridicare și încărcare a materialelor în remorcile autoîncărcătoare

Necesitatea mecanizării operațiilor de încărcare și descărcare direct de pe câmp, dar și în bazele de depozitare, a determinat utilizarea pe scară a remorcilor autoîncărcătoare.

Gama diversă de remorci autoîncărcătoare utilizată în agricultură au ca bază o construcție monoax, la care în partea frontală se atașează un dispozitiv de ridicare a materialului, care poate fi vrac, fân sau alte plante cosite. În funcție de construcție și modul de acționare, aceste dispozitive de ridicare sunt de tipul cu gheare oscilante (fig. 3.18.a, b și c), rotor cu palete (fig. 3.118.d și e), cu rabator (fig. 1.118.f), tobă cu cupe (fig. 3.118.g), transportor cu cupe (fig. 3.118.h), cu două rotoare verticale (3.118.i), cu transportoare transversale cu racleți (fig. 3.118.j), cu transportoare transversale melcate (fig. 3.118.k) sau cu transportor oscilant (fig. 3.118.l).

IV. TRANSPORTUL FLUIDELOR

Deplasarea fluidelor în cadrul unui flux tehnologic se efectuează prin canale și conducte sau prin utilaje, sub acțiunea unei energii externe (energie mecanică) transmisă fluidului, ori sub acțiunea energiei potențiale dată de o diferență de nivel.

Energia mecanică provenită de la o sursă externă se convertește de către utilajele de transport și se transmite fluidului sub formă de energie cinetică, energie potențială, energie de presiune, o parte din aceasta fiind pierdută ca urmare a frecărilor fluidului cu pereții conductelor sau datorită inerției.

Trecerea energiei de la sursa exterioară la fluidul de lucru se poate realiza în aparate de construcție specială și ele pot fi:

- statice: ejectoare, injectoare;
- cu organe în mișcare: pompe, ventilatoare, compresoare, suflante, etc.

Construcția traseelor de transport pentru fluide depinde de procesul tehnologic și de schema de amplasare a utilajelor în fluxul tehnologic. Transportul și distribuirea fluidelor între diversele aparate și utilaje din fluxul de producție se face prin intermediul unor conducte, a căror lungime este egală cu distanța de transportat. Ele poartă denumirea de conducte și în funcție de destinație sunt conducte magistrale (care asigură necesarul de fluid pentru mai mulți utilizatori), respectiv conducte tehnologice (care deservește un utilaj sau o operație din procesul de fabricație). La stabilirea traseului conductelor trebuie avut în vedere ca acesta să fie cât mai scurt posibil, cu puține schimbări de direcție, iar accesul la elementele de măsură și control să fie cât mai ușor.

În practică o conductă este alcătuită din țevi sau tuburi etanșe, la care se adaugă piesele de îmbinare (mufe, flanșe, nipluri, coturi teuri, etc.), armături care asigură controlul curgerii (vane, robinete, aparate de măsură a debitului, temperaturii, presiunii, etc.) și structurile de fixare sau rezemare a acestora. Dacă fluidul lucrează la temperaturi ridicate, atunci pe traseul conductelor sunt prevăzute compensatoare de dilatare termică.

În vederea fabricării, utilizării și a interschimbabilității, atât pentru conducte cât și pentru armături și fittinguri, s-a impus standardizarea lor.

Țevile și armăturile sunt caracterizate prin *diametrul nominal* (D_n) și o *presiune nominală* (P_n). Aceste două caracteristici, împreună cu indicațiile asupra materialului de construcție și lungimea, alcătuiesc elementele care se prescriu în comanda pentru livrare. Scările de presiune maximă admisă, în funcție de fluid, sunt:

- scara I: presiunea de lucru poate fi egală cu P_n , iar temperatura fluidelor până la 120 °C;
- scara II : presiunea de lucru poate fi egală cu 0,8 P_n și temperatura fluidului < 300 °C;
- scara III : presiunea de lucru egală cu 0,64 P_n la temperaturi ale fluidului sub 400 °C (indicate pentru abur supraîncălzit);

Elementul de bază pentru o conductă sau o rețea destinată transportului fluidelor este *diametrul*, care trebuie să corespundă ecuației continuității debitului și care se determină pe baza următoarelor principii:

- pe baza vitezelor optime de circulație a fluidelor;
- ținând seama de pierderile de presiune egale pe ramificațiile rețelei echivalente;
- prin calcul economic, stabilindu-se diametrul la care exploatarea și întreținerea sunt economice;

Calculul diametrului pe bază de viteze optime este acceptat pentru conductele cu lungimi de până la 30 m, diametrul conductei (d) se determină din relația continuității debitului (Q) volumic și viteza (w) din relația:

$$d = \sqrt{\frac{4Q}{\pi \cdot w}}, \quad (4.1)$$

Vitezele recomandate sunt prezentate în tabelul 4.1:

Tabelul 4.1. Viteze recomandate la curgerea fluidelor

Fluidul	Specificare	Viteza (m/s)
Apă	Transport	1,5...3
Apă	Alimentare cazane cu abur	2...3
	Pompe centrifuge	
	- la alimentare - la refulare	2...3 3...5
Abur	Evaporatoare	15...30
	Pentru încălzire $p > 3 \cdot 10^5$ Pa	30...50
Aer	Ventilatoare	
	- aspirație	12...16
	- refulare	15...20

După obținerea lui d se stabilește viteza efectivă la D_n și se determină pierderile de presiune.

Calculul rețelelor cu ramificații: rețelele pot fi prin refulare sau prin aspirație. Pompele sau ventilatoarele asigură alimentarea rețelei cu un debit constant. În acest mod se realizează compensarea pierderilor ca urmare a frecării fluidului cu pereții conductelor și la trecerea prin armături.

Condiția de debit: - fiecare punct de aspirație sau refulare “ i ” impune realizarea unui anumit debit volumic de fluid Q_{vi} .

- toate punctele de tip “ i ” pot funcționa simultan cu condiția:

$$Q_{vt} = \sum_{i=1}^n Q_{vi}, \quad (4.2)$$

iar condiția de pierdere de energie prin frecare este:

$$\Delta p_{final} = \sum \Delta p_{int\ erm} + h. \quad (4.3)$$

Calculul diametrului economic este exprimat prin funcția de optimizare care reprezintă costul total (C_t), funcție de:

$$C_t = A_m + I_n + E_x \quad (4.4)$$

în care A_m sunt cheltuieli anuale de amortisment, I_n - cheltuieli anuale de întreținere, iar E_x - cheltuieli anuale de exploatare a rețelei.

4.1. Transportul lichidelor

Deplasarea lichidelor prin conducte și aparate se poate face sub acțiunea unei energii primite din exterior sau sub acțiunea energiei potențiale, generată de o diferență de potențial.

Energia primită din exterior este transformată cu ajutorul pompelor în energie de presiune, energie potențială sau energie cinetică, în funcție de necesități.

Pentru a determina un lichid să curgă, să se deplaseze, se pot folosi mai multe metode:

- prin acțiunea forței centrifuge: pompele transferă energia cinetică lichidului sub acțiunea forței centrifuge;
- prin deplasarea unui volum de lichid: introducerea în volumul dislocuit a altui lichid (pompe cu piston, pompe cu palete rotative);
- prin folosirea unui impuls mecanic: metoda este combinată cu alt mijloc de producere a mișcării (pompa cu turbină);
- prin transferul de impuls: accelerarea unui lichid pentru a transfera impulsul său unui alt fluid (injectoare, ejectoare);
- prin folosirea unui câmp magnetic: lichidele bune conducătoare de electricitate pot fi puse în mișcare de un câmp magnetic adecvat.

4.1.1. Mărimi caracteristice la transportul lichidelor

O pompă deservește de obicei un sistem format din spațiul de aspirație, spațiul de refulare, respectiv ansamblul de conducte și armături. Mărimile caracteristice se referă fie la pompă, fie la sistem, fie atât la pompă cât și la sistem.

Debitul masic al pompei reprezintă masa lichidului transportat de pompă în unitatea de timp. Mai frecvent este utilizat în calcule debitul volumic Q , care reprezintă volumul de lichid transportat în unitatea de timp.

Raportul dintre debitul volumic real (Q_v) și cel teoretic (Q_{vt}) reprezintă randamentul volumic al pompei:

$$\eta_v = \frac{Q_v}{Q_{vt}} \quad (4.5.)$$

În sistemul din figura 4.1., la scrierea bilanțului energiilor pentru unitatea de masă de lichid ce se deplasează, când densitatea ρ rămâne constantă, se folosește ecuația:

$$g \cdot \Delta H + \frac{1}{2} \Delta v^2 + \frac{\Delta p}{\rho} + \frac{\Delta p f}{\rho} = L_M \quad (4.6.)$$

în care $g\Delta H$ este energia potențială;

$\frac{1}{2} \Delta v^2$ – energia cinetică;

$\Delta p/\rho$ – energia statică;

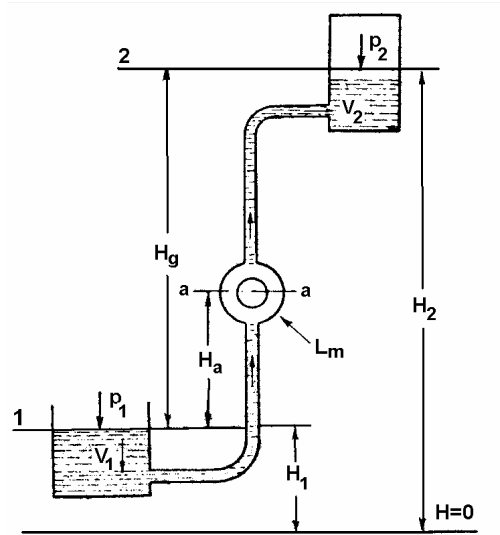
$\Delta p f/\rho$ – pierderea de energie la frecarea lichidului cu conductele;

L_M – energia mecanică ce trebuie transferată lichidului pentru a fi transportat între cele două nivele.

Se împarte relația (4.6.) prin g și se obține:

$$\Delta H + \frac{1}{2} \cdot \frac{\Delta v^2}{g} + \frac{\Delta p}{\rho \cdot g} + \frac{\Delta p f}{\rho \cdot g} = \frac{L_M}{g} = H_m \quad (4.7.)$$

Fig. 4.1. Schema de calcul a sistemului



H_m se numește înălțimea manometrică a sistemului și exprimă fizic echivalentul în presiune a energiei pe care pompa trebuie să o transfere lichidului, pentru sistemul studiat. Acest lucru presupune că pompa va mări viteza lichidului de la intrarea în camera de aspirație v_1 , la valoarea v_2 la ieșirea din camera de refulare. De asemenea, va crește presiunea statică a lichidului de la valoarea p_1 la valoarea p_2 și va ridica lichidul de la cota H_1 la cota H_2 .

În aceste condiții ecuația (4.7.) capătă forma:

$$H_m = \frac{v_2^2 - v_1^2}{2g} + \frac{p_2 - p_1}{\rho \cdot g} + \frac{\Delta p f}{\rho \cdot g} + H_2 - H_1 \quad (4.8.)$$

Pentru o pompă aflată în funcțiune bilanțul de energie transferată efectiv lichidului de către pompă, în termeni de înălțimi, se scrie sub forma:

$$H_{me} = \frac{v_r^2 - v_a^2}{2g} + \frac{p_r - p_a}{\rho \cdot g} + H_0 \quad (4.9.)$$

în care H_{me} este înălțimea manometrică efectivă a pompei;

v_a – viteza lichidului la aspirație în pompă;

v_r – viteza medie a lichidului la ieșirea din pompă;

p_a – presiunea statică a lichidului la intrarea în pompă;

p_r – presiunea statică a lichidului la ieșirea din pompă;

H_0 – diferența pe verticală între punctele de măsurare a presiunilor.

Dacă se ține cont și de energia transmisă lichidului pentru învingerea frecărilor, atunci se obține înălțimea manometrică teoretică a pompei (H_{mt}). Raportul celor două înălțimi manometrice definesc randamentul hidraulic al pompei:

$$\eta_h = \frac{H_{me}}{H_{mt}} \quad (4.10.)$$

Amplasarea pompei în sistemul pe care îl deservește este dată de înălțimea de aspirație (înălțimea până la care pompa mai aspiră lichid, fără ca acesta să se transforme parțial în vapori, în condițiile în care se realizează aspirația). Pentru determinarea înălțimii de aspirație H_a se scrie ecuația bilanțului energiilor lichidului între secțiunile 1-1 și a-a la nivelul pompei (cota axului racordului de aspirație).

$$\frac{p_1}{\rho \cdot g} + \frac{v_1^2}{2g} + H_1 = \frac{p_a}{\rho \cdot g} + \frac{v_a^2}{2g} + (H_a + H_1) + \frac{\Delta p f_a}{\rho \cdot g} \quad (4.11.)$$

Când pompa aspiră dintr-un spațiu deschis, p_1 este presiunea barometrică p_b la suprafața lichidului. De asemeni, în corpul pompei presiunea, când se face aspirația, nu trebuie să fie mai mică decât presiunea de vapori a lichidului p_l , la temperatura de aspirație.

În general termenul cinetic are valori mici și se neglijează, astfel că înălțimea de aspirație se calculează din condiția:

$$H_a \leq \frac{p_b}{\rho \cdot g} - \frac{p_l}{\rho \cdot g} - \frac{\Delta p f_a}{\rho \cdot g} \quad (4.12.)$$

Cunoscând debitul volumic de lichid deplasat în sistem, din relația de mai sus se obține puterea necesară pentru deplasarea lichidului:

$$P_n = \frac{H_m \cdot \rho \cdot g \cdot Q}{1000} \text{ [kW]} \quad (4.13.)$$

Pentru antrenarea unei pompei trebuie să se țină cont de tipul ei, de debitul volumic real Q_v , de înălțimea manometrică efectivă H_{me} și randamentul total al pompei η_p , astfel că aceasta se poate determina cu relația:

$$P_a = \frac{H_{me} \cdot \rho \cdot g \cdot Q_v}{1000 \cdot \eta_p} \text{ [kW]} \quad (4.14.)$$

Randamentul total al pompei este produsul dintre randamentul mecanic al pompei η_m (ține seama de pierderile prin frecare între subansamblurile în mișcare ale pompei), randamentul hidraulic al pompei η_h (ține seama de pierderile de energie prin frecare și șocurile aplicate lichidului în pompă) și randamentul volumic al pompei η_v (ține seama de energia suplimentară necesară pentru acoperirea pierderilor de debit).

Puterea motorului pentru acționarea unei pompei ține seama de randamentul total al agregatului de pompare η_t și care este produsul dintre randamentul total al pompei, randamentul transmisiei dintre motor și pompă η_{tr} și randamentul motorului electric η_{mot} :

$$P_{mot} = \frac{H_{me} \cdot \rho \cdot g \cdot Q_v}{1000 \cdot \eta_t} \text{ [kW]} \quad (4.15.)$$

4.2. Pompe pentru transportul lichidelor

Pentru vehicularea lichidelor în instalațiile din industria alimentară și agricultură se utilizează pompe de diverse tipuri și capacități. Acestea trebuie să fie executate din materiale care să nu producă impurificarea sau contaminarea lichidelor cu care vin în contact. În același timp pompele trebuie să permită accesul rapid la organele de lucru, pentru a efectua lucrări de igienizare a acestora.

Într-o instalație pompele pot avea diverse utilizări:

- de transvazare, când lichidul este deplasat de la un alimentator sau sursă către un consumator;
- de recirculare, când o parte din lichid este vehiculată într-un circuit închis;
- de acționare, când energia de presiune este folosită pentru producerea și amplificarea forțelor.

Necesitățile tehnologice actuale au impus apariția unei game diverse de pompe, în funcție de principiile de funcționare a instalațiilor. Clasificarea pompelor poate fi făcută în funcție de criteriul principiului de funcționare, după principiul constructiv sau după unele criterii specifice. O clasificare a pompelor după un singur criteriu este dificil de realizat, astfel că o grupare a lor poate fi făcută astfel:

- pompe având organele principale în mișcare sau mobile;
- pompe fără organe principale în mișcare.

Prima categorie poartă denumirea de pompe volumice și pot fi cu mișcare alternativă, cu mișcare rotativă, respectiv pompe centrifuge.

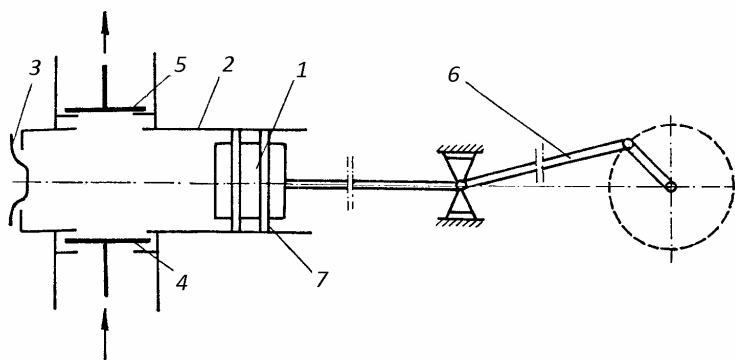
A doua categorie cuprinde sistemele de tip sifon, montejuș, injector, ejector, pompe cu aer sau gaz-lift.

4.2.1. Pompe volumice

4.2.1.1. Pompe volumice cu mișcare alternativă

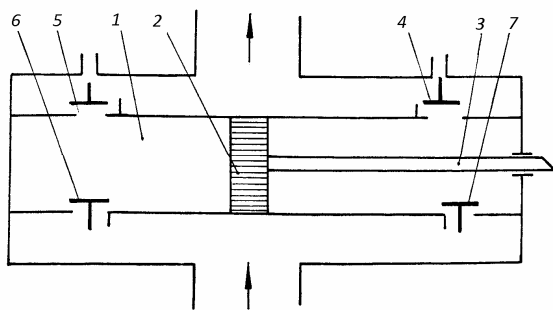
Pompe cu piston. Sunt utilizate la transportul lichidelor cu debite relativ mici și presiuni ridicate, fiind realizate în diverse variante constructive, cele mai cunoscute fiind pompele cu piston etanș cu simplu sau dublu efect, pompele cu piston tip plunjer cu simplu sau dublu efect, respectiv pompe cu piston lichid.

Pompele cu piston etanș cu simplu efect (fig. 4.2.) realizează aspirația și refularea lichidului ca urmare a mișcării de dute-vino executată de pistonul 1 în cilindrul 2, prin intermediul mecanismului bielă-manivelă 6. Volumul camerei de aspirație este delimitat de capacul 3 și de supapele 4 și 5. Prin deplasarea pistonului către dreapta, în camera de lucru se formează o depresiune care închide supapa de refulare 5 și o deschide pe cea de admisie 4. Pentru a nu avea loc pierderi de presiune, pistonul este prevăzut cu garniturile de etanșare 7.



Lichidul este aspirat din camera de aspirație și intră în camera de lucru. La deplasarea pistonului către stânga, supapa de admisie se închide și se deschide supapa de refulare, lichidul din camera de lucru fiind împins prin conducta de refulare.

Fig. 4.2. Pompă cu piston etanș, cu simplu efect.



Pompele cu piston etanș cu dublu efect (fig. 4.3.) au camera de lucru prevăzută la capete cu două rânduri de supape, astfel că ambele fețe ale pistonului sunt active, asigurând două pompări ale lichidului.

Fig. 4.3. Pompă cu piston etanș cu dublu efect: 1- cilindru; 2- piston; 3- tijă; 4,5- supape refulare; 6,7- supape admisie

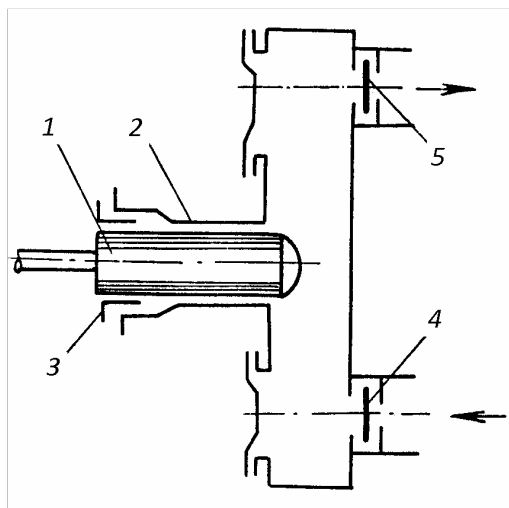


Fig. 4.4. Pompă cu plunjer cu simplu efect: 1- plunjer; 2- cilindru; 3- presetupă; 4- supapă aspirație; 5- supapă refulare

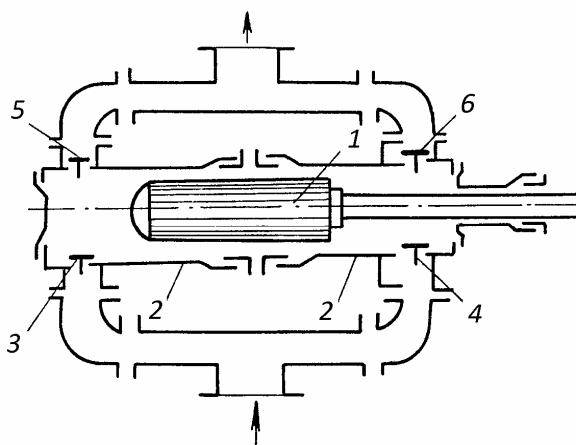


Fig. 4.5. Pompă cu plunjer cu dublu efect: 1- plunjer; 2- cilindru; 3,4- supape aspirație; 5,6- supape de refulare

Pompele cu plunjer (fig. 4.4. și 4.5.) sunt asemănătoare celor cu piston, plunjerul fiind sub forma unui corp cilindric cu volum relativ mare și care se etanșează prin intermediul unor presetupe. Sunt utilizate la pomparea unor lichide vâscoase, fără a fi necesară o presiune ridicată.

Pompele cu piston lichid (fig. 4.6.) sunt utilizate mai ales la pomparea unor lichide corozive. Pentru aceasta, capul activ al pistonului este protejat de un strat de lichid, numit piston lichid și care trebuie să aibă densitatea diferită de cea a lichidului corosiv, respectiv să nu fie miscibil cu acesta. Dacă masa specifică a lichidului protector este mai mică decât cea a lichidului de transportat, poziționarea pistonului este cea din figură, în caz contra pistonul se poziționează la partea inferioară față de racordurile de aspirație și evacuare. Totodată, cursa pistonului se alege astfel încât lichidul de protecție să nu ajungă în conducta de refulare.

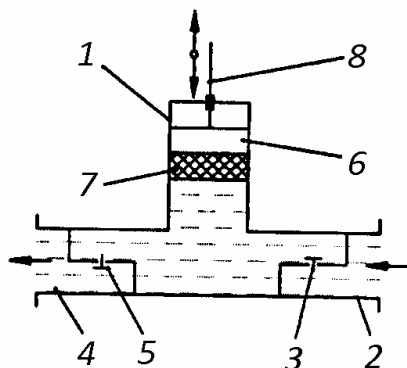
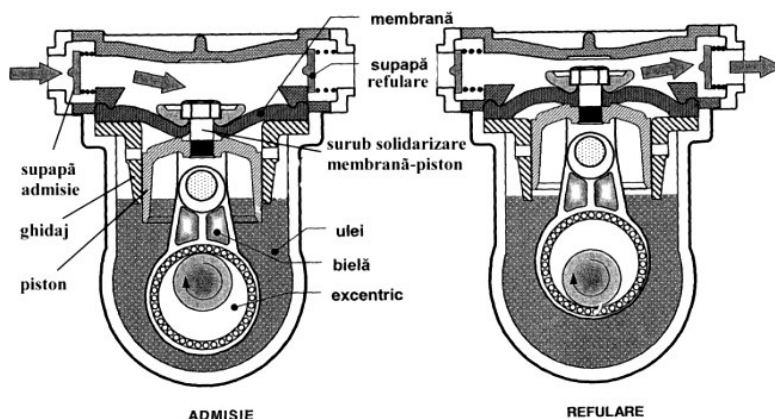


Fig. 4.6. Pompă cu piston lichid: 1- cilindru; 2- conductă aspirație; 3- supapă aspirație; 4- conductă refulare; 5- supapă refulare; 6- piston etanș; 7- piston lichid; 8- tijă.



Pompele cu membrană sunt utilizate la transportul lichidelor cu potențial corosiv, pistonul fiind protejat prin intermediul unei membrane flexibile, modul de lucru fiind prezentat în fig. 4.7.

Fig. 4.7. Funcționarea pompei cu membrană

Principala problemă a pompelor volumice cu mișcare rectilinie alternativă este faptul că acestea pompează volume definite de lichid, fapt ce determină apariția unor debite și presiuni variabile (fig. 4.8).

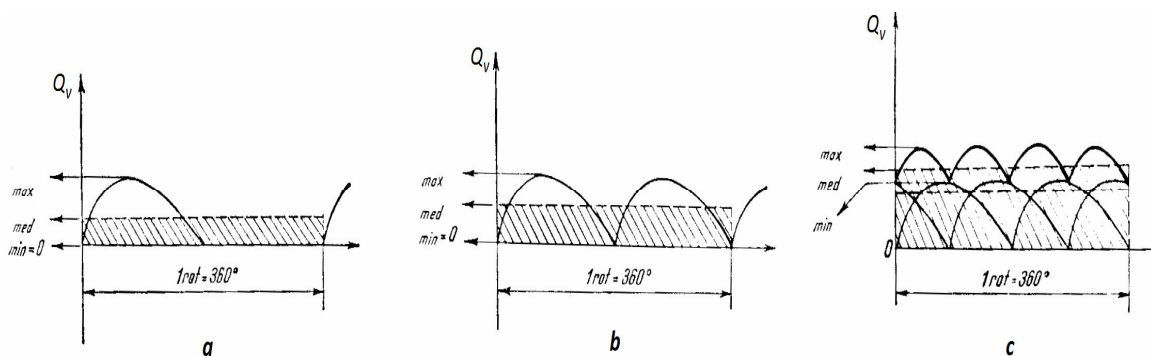


Fig. 4.8. Variația debitului de lichid la pompele cu piston cu mișcare alternativă: a- pompă cu simplu efect; b- pompă cu dublu efect; c- patru pompe cu simplu efect cuplate, cu pistoanele decalate la 90°.

Se poate constata că gradul de neuniformitate al debitului de lichid scade cu creșterea numărului de pistoane și cu micșorarea unghiului de decalare al acestora, apropiindu-se de debitul maxim al pompei. Pentru atenuarea variațiilor de presiune din instalație, pompele sunt prevăzute cu camere pneumatice de uniformizare.

Debitul volumic teoretic al pompei depinde de aria secțiunii transversale a pistonului A , de cursa pistonului L și de turația arborelui manivelei n :

$$Q_{vt} = A \cdot L \cdot n \quad [\text{m}^3/\text{s}] \quad (4.16.)$$

Debitul volumic real al pompei este afectat de inerția lichidului transportat, de neetanșeitățile supapelor și de prezența gazelor necondensabile din lichid și care se acumulează în pompă, determinând scăderea lui. Pentru calculul debitului volumic real se utilizează relația (4.5.).

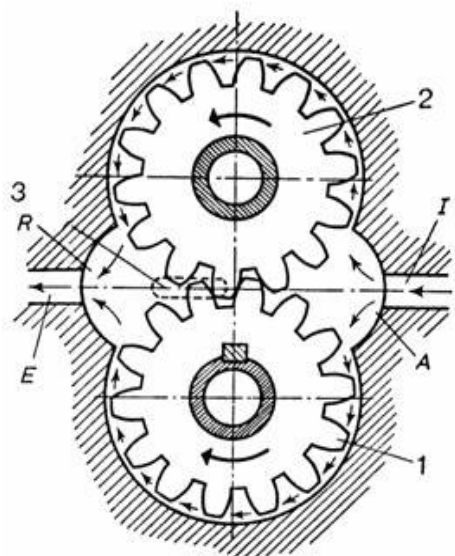
Pentru pompa cu piston cu dublu efect (fig. 4.3.), la deplasarea pistonului spre stânga va fi pompat un volum de lichid ca în cazul pistonului cu simplu efect. Pentru deplasarea pistonului către dreapta, volumul de lichid pompat va fi diminuat cu volumul tijei pistonului $A_1 L$, A_1 fiind aria secțiunii tijei pistonului. În aceste condiții debitul volumic teoretic va fi:

$$Q_{vt} = A \cdot L \cdot n + (A - A_1) L \cdot n = L \cdot n (2A - A_1) \quad (4.17.)$$

4.2.1.2. Pompe volumice rotative

Aceste tipuri de pompe realizează transportul lichidului prin pompă cu ajutorul unor subansamble care se rotesc etanș în interiorul unei carcase. Pomparea lichidului se realizează, fie

prin deplasarea unui volum constant de lichid de la zona de aspirație către zona de refulare, fie prin modificarea volumului camerei de lucru. Acest lucru permite realizarea de presiuni mari ale lichidului în instalații, la dimensiuni mici ale pompelor. Ca urmare a etanșării organelor mobile, pompele nu necesită în construcția lor prezența supapelor de admisie și refulare.

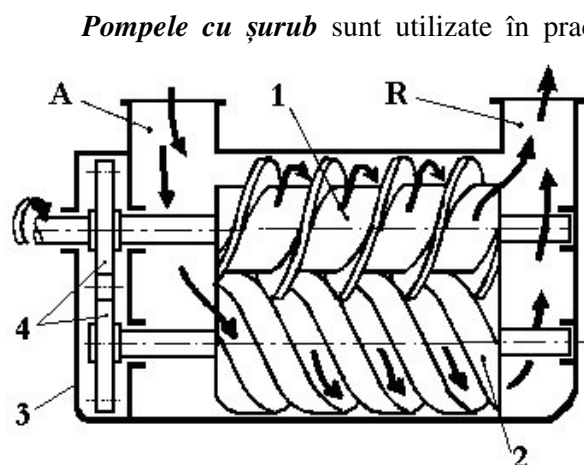


Din punct de vedere constructiv în această categorie se regăsesc pompe cu roți dințate, pompe cu rotoare profilate, pompe cu rotor melcat, pompe cu palete, pompe cu șurub și pompe cu role.

Pompele cu roți dințate sunt alcătuite dintr-o pereche de roți dințate care se rotesc în interiorul unei carcase (fig. 4.9.). Lichidul este adus prin conducta I în camera de aspirație A, de unde, prin intervalul dintre flancul dinților roților 1 și 2, respectiv carcasa pompei, acesta este adus în camera de refulare R și prin conducta E este pompat în instalație.

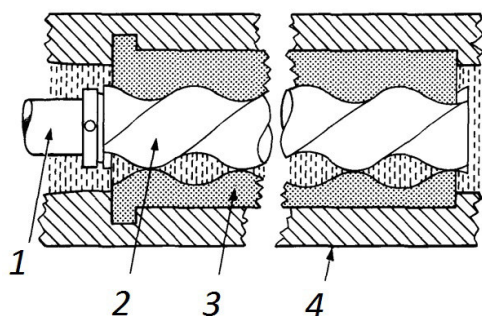
Deoarece volumele de lichid sunt mici și multe, variația debitului și a presiunii lichidului pompat sunt mult reduse.

Fig. 4.9. Pompă cu roți dințate



Pompele cu șurub sunt utilizate în practică la transportul lichidelor vâscoase și care realizează presiuni ridicate. Din punct de vedere constructiv sunt cu două sau trei rotoare de forma unui șurub, ce se rotesc într-o carcasă. Lichidul este antrenat și transportat de la admisia spre refulare, prin intervalul dintre spirele șurubului și peretele interior al carcasei (fig. 4.10.).

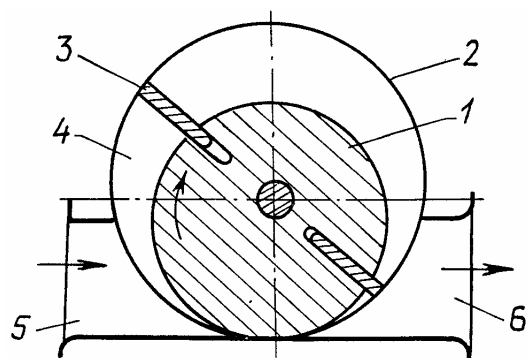
Fig. 4.10. Pompă cu două șuruburi: A- admisie; R- refulare; 1,2- șurub; 3- carcasă; 4- roți antrenare



Pompele cu rotor melcat (fig. 4.11.) sunt alcătuite dintr-un rotor sub formă de melc și care se rotește într-un stator profilat elastic. Lichidul este antrenat și forțat să treacă prin spațiile libere dintre rotor și stator. Aceste pompe sunt utilizate la transportul lichidelor care au particule în suspensie (alimentează filtrele presă) sau corozive, având un debit uniform.

Fig. 4.11. Pompă cu melc: 1- arbore antrenare; 2- melc; 3- stator profilat elastic; 4- carcasă

Pompele cu palete (fig. 4.12.) sunt realizate sub forma unui tambur, pe care se găsesc montate radial un număr de palete culisante, dispus excentric într-o carcasă cilindrică. Etanșarea camerei de lucru este realizată fie centrifugal, când paletele culisante sunt împinse către carcasa cilindrică, fie prin apăsarea paletelor pe carcasa cilindrică cu ajutorul unor arcuri. Lichidul este



aspirat din zona de admisie și este deplasat prin camera de lucru către zona de refulare, unde spațiul camerei de lucru scade progresiv.

Mărimea camerei de lucru se poate modifica prin mărirea sau micșorarea excentricității tamburului față de carcasă, respectiv prin mărirea sau micșorarea numărului de palete culisante.

Fig. 4.12. Pompă cu palete: 1- tambur excentric; 2- carcasă cilindrică; 3- palete culisante; 4- cameră de lucru; 5- cameră aspirație; 6- cameră refulare

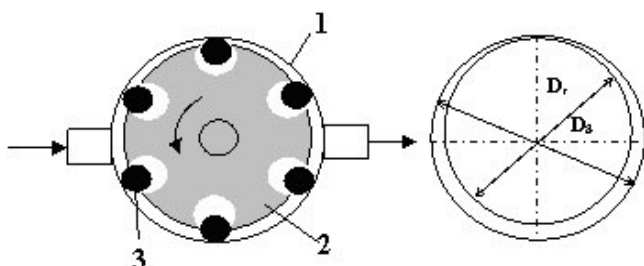


Fig. 4.13. Pompă cu role: 1- carcasă; 2- tambur; 3- role

Pompele cu role (fig. 4.13.) sunt asemănătoare celor cu palete, cu deosebirea că în locul paletelor se dispun alveole cu role din cauciuc și miez metalic, etanșarea față de carcasa cilindrică fiind asigurată ca efect al forței centrifuge. Prin rotirea tamburului excentric rolele se deplasează către carcasa cilindrică, aspirând și antrenând volume de lichid în spațiul dintre ele, pe care le refulează

de cealaltă parte a pompei.

Debitul pompelor cu rotoare excentrice se determină cu relația:

$$Q_v = 4\pi \cdot e \cdot l \left(\frac{D_r}{2} + e \right) n \cdot \eta_v \quad (\text{l/min}) \quad (4.18.)$$

unde e este excentricitatea;

l - lățimea pompei;

D_r - diametrul rotorului;

n - turația pompei;

Pompe cu rotoare profilate. În practică se mai întâlnesc și alte tipuri constructive de pompe volumice rotative, ale căror rotoare au diverse forme.

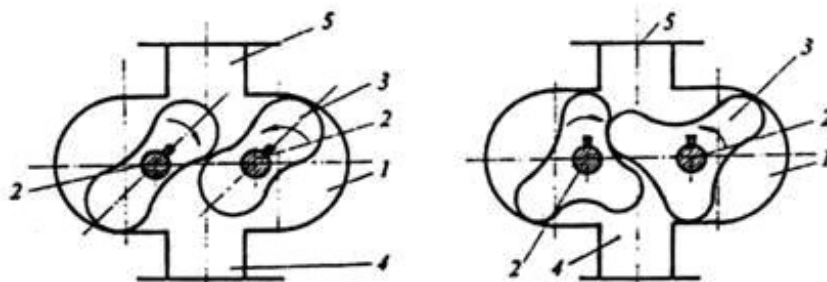


Fig. 4.14. Pompe cu doi și trei lobi: 1- carcasă pompă; 2- arbori antrenare lobi; 3- rotoare profilate (lobi); 4- cameră aspirație; 5- cameră refulare

Pompele cu lobi (fig. 4.14.) sunt alcătuite dintr-o carcasă în care se rotesc două rotoare profilate sub formă de lobi, care în timpul lucrului angrenează și prin spațiul dintre lobi și carcasa pompei aspiră lichidul, îl transportă prin pompă și apoi îl refulează. Etanșarea spațiului de lucru al pompelor este realizată de către lobi.

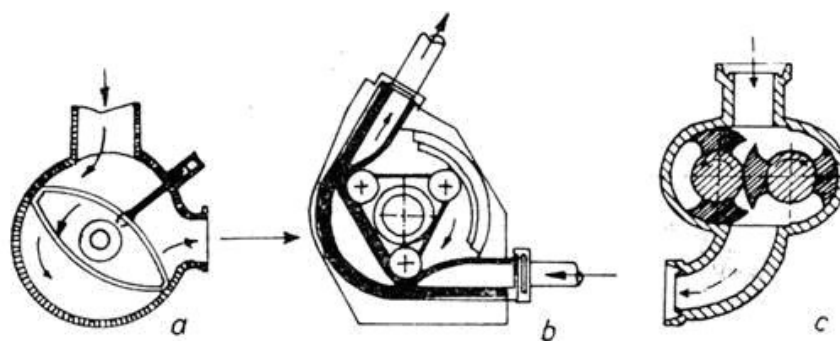


Fig. 4.15. Pompe cu rotoare profilate: a- cu rotor eliptic; b- peristaltică; c- cu rotoare cu camere

În figura 4.15. sunt prezentate și alte tipuri de pompe cu rotoare profilate, având diverse aplicații în practică.

4.2.1.3. Pompe centrifuge

Pompele centrifuge cunosc cea mai largă utilizare în transportul lichidelor prin faptul că, spre deosebire de cele prezentate până aici, au o construcție simplă, sunt robuste, au puține elemente în construcția lor, uzură minimă deoarece elementele active nu sunt în contact direct,

realizează performanțe ridicate. Construcția unei pompe centrifuge este prezentată în fig. 4.16.

Principiul de lucru al acestor pompe este bazat pe acțiunea forței centrifuge exercitată asupra lichidului de către un rotor cu palete.

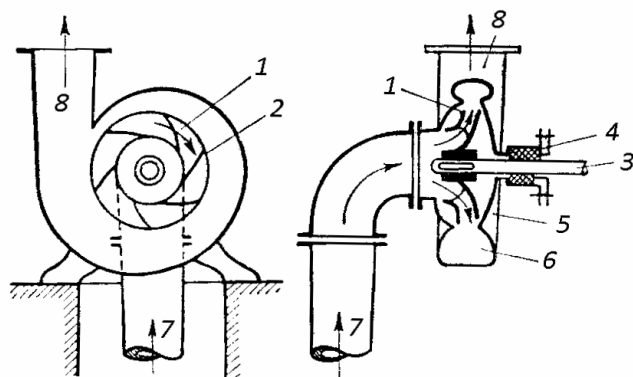


Fig. 4.16. Pompa centrifugă: 1- rotor; 2- palete rotor; 3- arbore antrenare rotor; 4- sistem etanșare; 5- carcasă pompă; 6- canal colector; 7- conductă aspirație; 8- conductă refulare

Lichidul este adus prin conducta de aspirație dispusă axial față de rotor, de unde sub acțiunea paletelor este accelerat și deplasat cu viteză mare către partea periferică a paletelor. Lichidul cu viteză mare pătrunde într-un canal colector cu secțiune variabilă, crescătoare, fapt ce determină scăderea vitezei lichidului, energia cinetică fiind transformată în energie de presiune, lichidul fiind refulat tangențial. În acest fel aspirația și refularea lichidului au un caracter continuu.

Rotorul pompelor centrifuge poate avea diverse forme: deschis (fig. 4.17.a și b), închis (fig. 4.17.c) sau cu dublă aspirație (fig. 4.17. d).

Pentru industria alimentară pompele sunt realizate din materiale inoxidabile, rezistente la coroziune, iar pentru etanșări se folosesc materiale plastice.

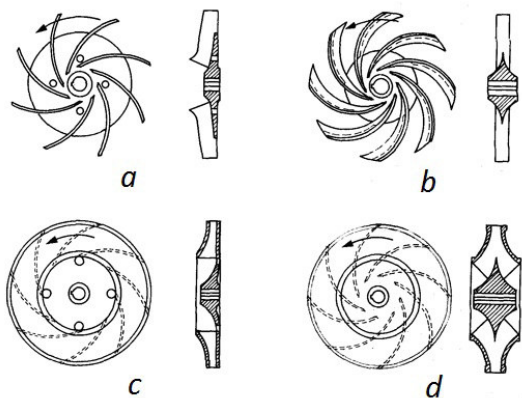


Fig. 4.17. Rotoare pentru pompe

Pompele centrifuge se pot clasifica astfel:

- după modul cum se realizează aspirația:
 - cu o singură aspirație;
 - cu dublă aspirație (fig. 4.18.);
- după înălțimea de pompare:
 - de joasă presiune (sub 20 m H₂O);
 - de medie presiune (între 20 – 50 m H₂O);
 - de înaltă presiune (peste 50 m H₂O);
- după numărul de trepte:
 - cu o singură treaptă sau monoetajată;
 - cu mai multe trepte sau multietajată (fig. 4.19.).

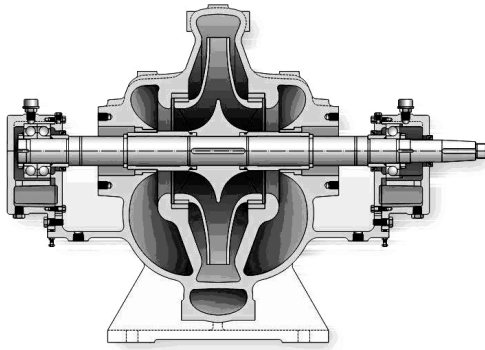


Fig. 4.18. Pompă centrifugă cu dublă aspirație

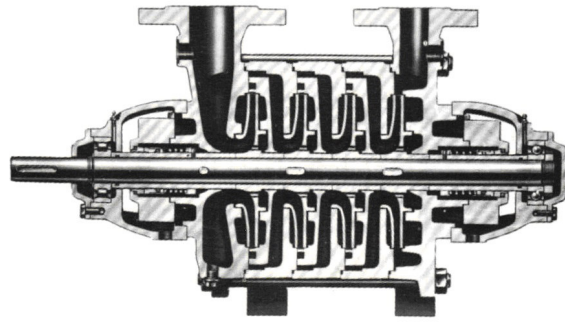
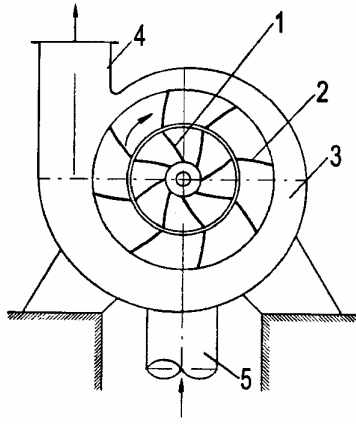


Fig. 4.19. Pompă centrifugă multietajată

Pompele centrifuge monoetajate pot refula lichide la înălțimi relativ mici. Pentru a mări înălțimea manometrică de pompare, pe același arbore se montează două sau mai multe rotoare identice, rezultând o pompă multietajată (fig. 4.19.). Astfel, lichidul refulat de primul rotor este aspirat de către al doilea rotor, care îl refulează în zona de aspirație al celui de-al treilea rotor, procesul repetându-se pentru cele n trepte ale pompei. Debitul total este constant și este dat de debitul primului rotor, presiunea lichidului crescând cu fiecare treaptă.



În unele situații, pompele multietajate au prevăzut un inel cu palete curbate în sensul deplasării lichidului (fig. 4.20.), având rolul de a reduce pierderile de energie prin frecare, dar și pentru a elimina posibilitatea de formare a vârtejurilor în masa de lichid.

Fig. 4.20. Pompă cu stator profilat: 1- rotor; 2- inel profilat; 3- canal colector; 4- conducta refulare; 5- conducta aspirație

La contactul cu paletel rotorului și mai apoi în spațiul dintre paletel, lichidul realizează o mișcare complexă. În primul rând, se deplasează în lungul canalului dintre paletel, iar în al doilea rând execută și o mișcare de rotație în sensul imprimat de rotor. Se notează cu v_1^0 și v_2^0 viteza relativă a lichidului față de paletă la intrarea, respectiv ieșirea din rotor, v_{p1} și v_{p2} vitezele periferice cu care este antrenat în rotație lichidul la intrarea, respectiv ieșirea din rotor, cu D_1 respectiv D_2 diametrul rotorului la intrarea și ieșirea lichidului, v_1 și v_2 vitezele absolute cu care se deplasează lichidul între paletel la intrarea, respectiv ieșirea din rotor (fig. 4.21.). În figura 4.22. H_a este înălțimea de aspirație, H_r este înălțimea de refulare, p_a este presiunea atmosferică.

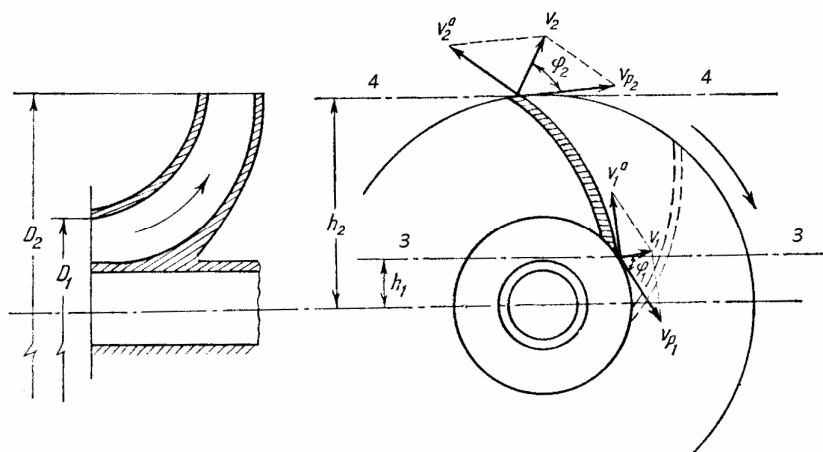


Fig. 4.21. Modul de mișcare a lichidului în rotorul pompei centrifuge

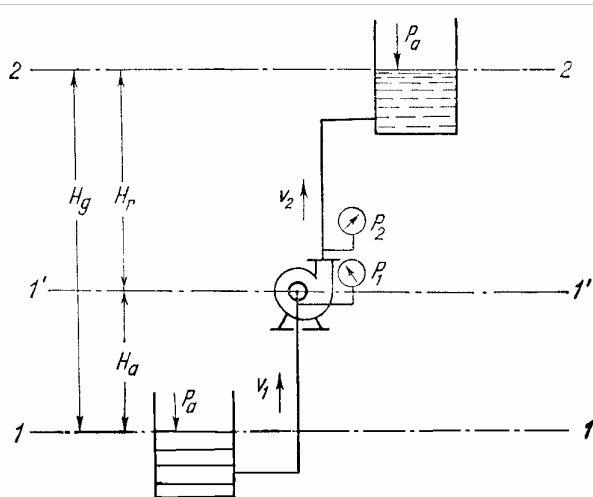


Fig. 4.22. Modelul de calcul al ecuației fundamentale a pompei centrifuge

Având în vedere notațiile din cele două figuri, între secțiunile 1-1 și 1'-1', ecuația lui Bernoulli este:

$$p_a = p_1 + H_a \cdot \rho \cdot g + \frac{v_1^2}{2} \rho \quad (4.19.)$$

În relația de mai sus ρ este densitatea lichidului. Relația se poate scrie și sub forma:

$$p_1 - p_a = -H_a \cdot \rho \cdot g - \frac{v_1^2}{2} \rho \quad (4.20.)$$

Pentru secțiunile 1'-1' și 2-2 ecuația lui Bernoulli va fi:

$$p_a - p_2 = -H_r \cdot \rho \cdot g - \frac{v_2^2}{2} \rho \quad (4.21.)$$

Adunând cele două relații și ținând cont că $H_a + H_r = H_g$ și care este înălțimea geometrică de ridicare a pompei, ecuația se scrie sub forma:

$$\frac{p_1 - p_2}{\rho \cdot g} = -H_g + \frac{v_2^2 - v_1^2}{2 \cdot g} \quad (4.22.)$$

Pentru curgerea lichidului printre paletelor rotorului, pentru secțiunile 3-3 și 4-4, ecuația lui Bernoulli va avea forma:

$$p_1 + \rho \cdot g \cdot h_1 + \frac{(v_1^0)^2}{2} \rho + L_M \cdot \rho = p_2 + \rho \cdot g \cdot h_2 + \frac{(v_2^0)^2}{2} \rho + \Delta p_f \quad (4.23.)$$

În relația de mai sus Δp_f reprezintă pierderile prin frecarea cu paletelor rotorului, iar $L_M \cdot \rho$ este energia mecanică transferată masei unității de volum de lichid la curgerea sa printre paletelor rotorului și este egală cu produsul dintre forța centrifugă F_c și deplasarea radială a lichidului:

$$L_M \cdot \rho = \int_{R_1}^{R_2} F_c \cdot dR \quad (4.24.)$$

Pentru masa unității de volum ρ forța centrifugă este $F_c = \rho \cdot \omega^2 \cdot R$, ω fiind viteza unghiulară. În aceste condiții după integrare se obține pentru L_M relația:

$$L_M = \frac{\omega^2}{2} (R_2^2 - R_1^2) \quad (4.25.)$$

Dacă se ține cont de faptul că $v_p = \omega \cdot R$, v_p fiind viteza periferică de rotație, atunci $L_M = \frac{v_{p2}^2 - v_{p1}^2}{2}$, iar relația (4.23.), se ordonează sub forma:

$$\frac{v_{p2}^2 - v_{p1}^2}{2g} + \frac{v_2^2 - v_1^2}{2g} + \frac{(v_1^0)^2 - (v_2^0)^2}{2g} - H_g = 0 \quad (4.26.)$$

Aplicând teorema generalizată a lui Pitagora se exprimă vitezele v_1^0 și v_2^0 , iar pentru intrarea axială a lichidului ($\varphi_1 = 90^\circ$) atunci se obține ecuația fundamentală a pompelor centrifuge ideale:

$$H_g = \frac{v_2 \cdot v_{p2} \cdot \cos \varphi_2}{g} \quad (4.27.)$$

Această relație a fost stabilită pentru un rotor cu un număr infinit de palete, infinit de subțiri și care a stat la baza proiectării pompelor.

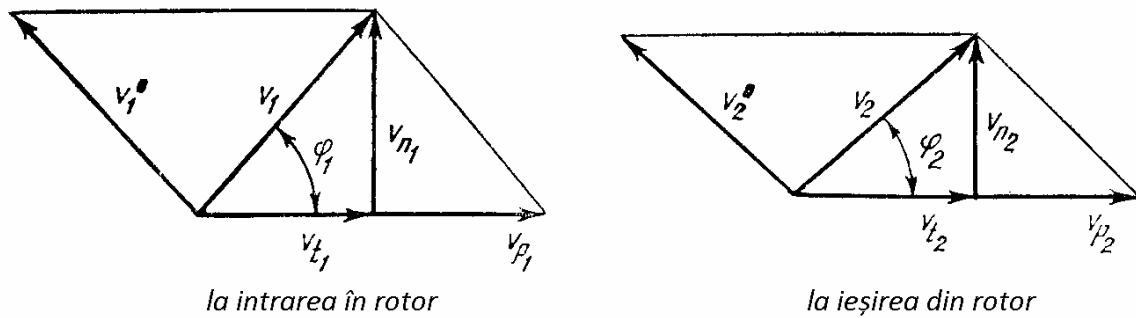


Fig. 4.23. Paralelogramul vitezelor

Din fig. 4.23. se poate observa care sunt componentele normale și tangențiale ale vitezei lichidului la intrarea și ieșirea din rotor. Notând cu l_1 și l_2 înălțimile paletelor la intrarea și ieșirea din rotor, cu δ_p grosimea paletelor, n_p numărul paletelor, atunci debitul teoretic al pompei centrifuge se calculează cu relația:

$$Q_{v_i} = l_1 (\pi D_1 - n_p \delta_p) v_{n1} = l_2 (\pi D_2 - n_p \delta_p) v_{n2} \quad (4.28.)$$

Dacă se înlocuiesc vitezele normale prin descompunerea vitezelor absolute (fig. 4.23.) atunci debitul teoretic va avea expresia:

$$Q_{v_i} = l_1 (\pi D_1 - n_p \delta_p) v_1 \sin \varphi_1 = l_2 (\pi D_2 - n_p \delta_p) v_2 \sin \varphi_2 \quad (4.29.)$$

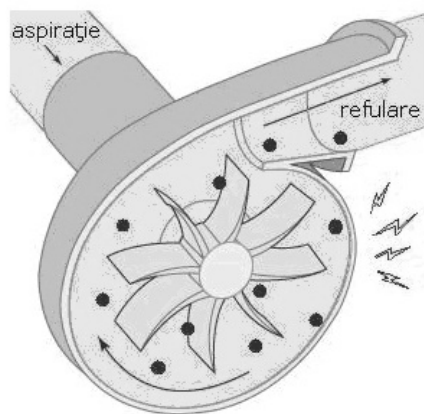
Componentele tangențiale ale vitezelor absolute, mai sunt numite și componente de sarcină, au o influență determinantă asupra înălțimii manometrice a pompei, în timp ce componentele normale, numite și componente de debit, determină debitul teoretic al pompei.

Debitul real al pompelor centrifuge este determinat prin relația (4.5.), unde randamentul volumic al pompelor centrifuge are valori cuprinse între 0,9 - 0,98.

Înălțimea manometrică teoretică este dată de relația (4.27.). În realitate rotorul are un număr finit de palete (între 6 - 16), iar v_2^0 nu este tangentă la paletă la ieșirea din rotor. Ca urmare se modifică și componenta de debit v_{n2} , astfel că energia transferată fluidului va fi mai mică. Înălțimea manometrică teoretică se determină cu relația $H_{m_t} = k \cdot H_g$, k fiind un coeficient de corecție ($k \approx 0,8$).

Înălțimea manometrică efectivă se determină cu relația (4.10.) și care ține cont de randamentul hidraulic al pompei (are valori cuprinse între 0,6 – 0,85).

O problemă care apare la pompele centrifuge este fenomenul de cavitație (fig. 4.24.). Acest fenomen constă în apariția, în anumite puncte din interiorul pompei, o scădere a presiunii



lichidului sub presiunea sa de vapori p_l , fapt ce poate duce la întreruperea funcționării pompei. Spargerea bruscă a bulelor de vapori provoacă șocuri puternice în lichid și care pot duce la deteriorarea subansamblurilor pompei. Fenomenul de cavitație este influențat de înălțimea de aspirație a pompei, regimul de lucru al rotorului și de temperatura lichidului.

Înălțimea de aspirație a pompei centrifuge se determină cu relația:

$$H_a \leq \frac{p_b - p_l - \Delta p_{f_a} - \Delta p_{cav}}{\rho \cdot g} \quad (4.30.)$$

Fig. 4.24. Fenomenul de cavitație

4.2.2. Pompe fără elemente mobile

Sunt realizate sub forma unor aparate și dispozitive relativ simple, utilizând energia potențială a lichidului, energia unui fluid motor sau energia câmpului magnetic. De regulă, aceste pompe sunt utilizate cu precădere la transvazarea unor lichide și mai puțin la transportul lor pe distanțe mari.

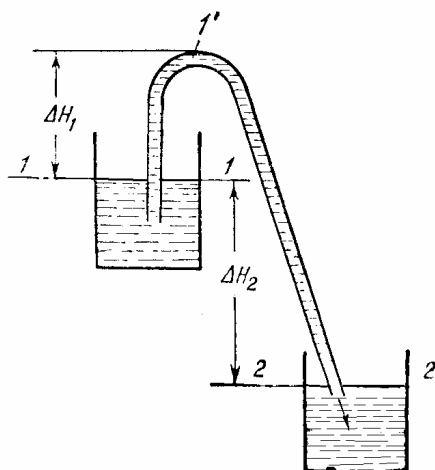


Fig. 4.25. Sifonul amorsat

Sifonul (fig. 4.25.) poate fi de tipul amorsat sau fără amorsare directă. Pentru a putea funcționa sifonul trebuie amorsat prin umplerea cu lichidul de transvazat sau cu un alt lichid. În același timp, pentru a putea funcționa, este necesar ca presiunea în punctul cel mai ridicat al sifonului să fie mai mare decât presiunea vaporilor saturați ai lichidului, la temperatura sa de lucru.

Cu notațiile din figură, ecuația lui Bernoulli între secțiunea 1-1 și punctul cel mai de sus 1' va fi:

$$p' = p_1 + \rho \cdot g \left(\Delta H_1 - \frac{v^2}{2g} \right) - \Delta p_{f_1} > p_l \quad (4.31.)$$

Debitul sifonului se determină în funcție de viteza lichidului prin sifon. Se pleacă de la ecuația lui Bernoulli pentru secțiunile 1-1 și 2-2:

$$g\Delta H_2 - \frac{v^2}{2} + \frac{p_1 + p_2}{\rho} - \frac{\Delta p_{f_2}}{\rho} = 0 \quad (4.32.)$$

De aici se obține viteza lichidului prin sifon:

$$v = \sqrt{2 \left(g\Delta H_2 + \frac{p_1 - p_2}{\rho} \right) - \frac{\Delta p_{f_2}}{\rho}} \quad (4.33.)$$

Dacă cele două vase sunt deschise ($p_1 = p_2$) și se neglijează pierderile de presiune, atunci viteza lichidului prin sifon are forma simplificată:

$$v = \sqrt{2g\Delta H_2} \quad (4.34.)$$

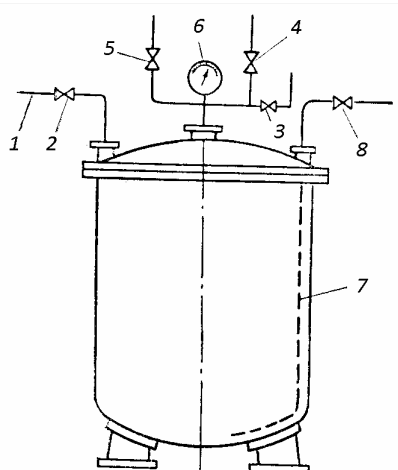
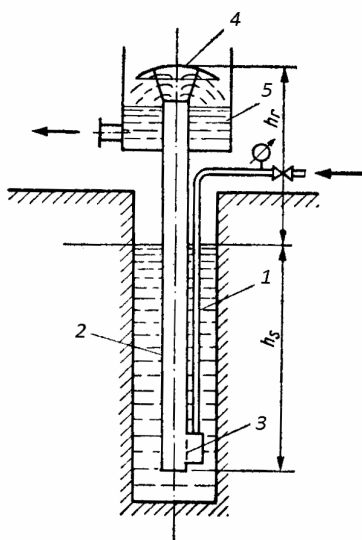


Fig. 4.26. Montejus

Montejusul (fig. 4.26.) este un aparat cu funcționare discontinuă și este utilizat la transportul lichidelor pe distanțe mici, pentru lichide corozive și suspensii.

Prin conducta 1 și robinetul 2, lichidul intră în recipientul prevăzut la interior cu protecție anticorozivă. Dacă curgerea se face prin cădere liberă, atunci robinetul 3 face legătura cu atmosfera fiind deschis. Dacă umplerea se face sub depresiune, atunci se deschide robinetul 4 care face legătura cu pompa de vid. Evacuarea lichidului din recipient se face cu ajutorul aerului comprimat sau a altui gaz inert, astfel că se deschide robinetul 5 ce face legătura cu pompa de aer și prin conducta 7 respectiv robinetul 8 lichidul este pompat din recipient. Presiunea din aparat este măsurată cu manometrul 6.



Pompa cu aer, numită și pompă gaz-lift sau pompă cu vână de aer comprimat (fig. 4.27.) execută transportul lichidelor utilizând energia unui gaz comprimat, de regulă aer sau azot. Lichidul și gazul formează un amestec eterogen cu densitatea mai mică decât a lichidului și care urcă prin conducta de ridicare.

Pentru ca pompa de aer să poată realiza transportul lichidului este necesară îndeplinirea condiției:

$$(H_s + H_r) \rho_{am} = H_s \rho_l \quad (4.35.)$$

În relația de mai sus ρ_{am} și ρ_l sunt densitatea amestecului, respectiv densitatea lichidului.

Fig. 4.27. Pompa de aer: 1- conductă cu aer comprimat; 2- conductă de ridicare; 3- cameră de amestec; 4- deflector; 5- rezervor

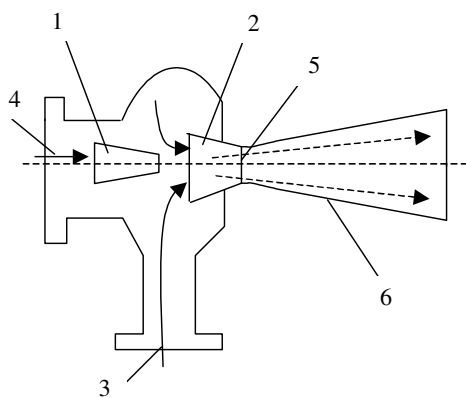


Fig. 4.28. Injector: 1- duză de intrare fluid motor (confuzor); 2- ajutoraj pentru amestec; 3- intrare lichid de antrenat; 4- alimentare cu fluid motor; 5- gâtuitura injectorului; 6- difuzor

Injectorul și ejectorul sunt dispozitive care realizează transportul lichidelor cu ajutorul energiei cinetice a unui fluid motor de tipul abur, aer sub presiune sau aer comprimat.

Injectoarele sunt aparate pentru transportul lichidelor într-un spațiu sub presiune, în timp ce ejectoarele, care au aceeași construcție, sunt utilizate la evacuarea unui lichid sau a unui gaz dintr-un

recipient.

Din punct de vedere a funcționării injectoarelor deosebim injectoare aspirante, precum cel din figura 4.28 sau neaspirante (în sarcină). Deosebirea între ele constă în faptul că injectorul aspirant este montat deasupra rezervorului de alimentare pe când cel neaspirant se găsește amplasat sub nivelul rezervorului de alimentare, lichidul pătrunzând prin cădere în camera de amestec.

Ejectoarele folosite pentru evacuarea lichidelor sau gazelor (realizarea raportului de compresie egal cu 5) se mai numesc pompe de vid.

Randamentul scăzut 15...30% implică un consum mare de abur sau gaz, iar amestecarea fluidului motor cu lichidul pompat reprezintă dezavantajul major al acestor tipuri de aparate.

4.3. Comprimarea și transportul gazelor

Principiile utilizate la transportul lichidelor sunt în general valabile și la transportul gazelor, cu unele diferențieri: cel mai frecvent lucru este acela că odată cu transportul are loc și destinderea, respectiv comprimarea gazului. Ca și utilaje specifice transportului gazelor regăsim, în funcție de necesități, pompe de vid, compresoare, ventilatoare și suflante.

4.3.1. Diagrama de lucru a compresorului

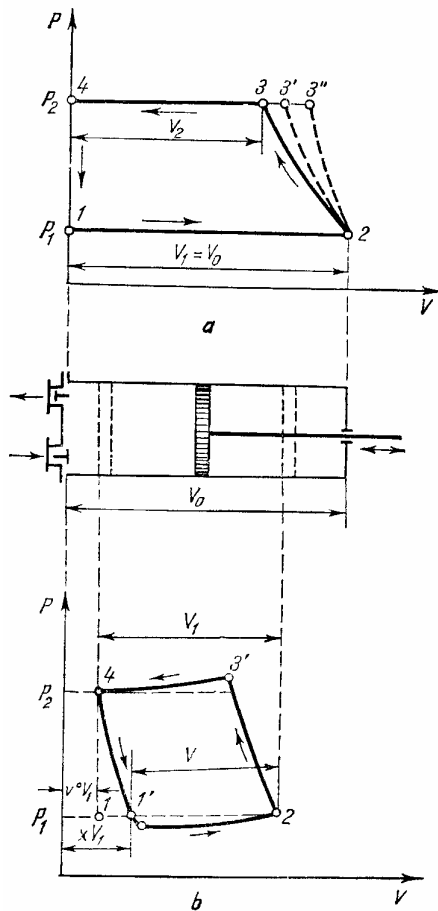


Fig. 4.29. Diagrama de lucru a compresorului

Pe de altă parte, datorită inerției supapelor și a frecărilor, la aspirație trebuie realizată o presiune mai mică decât p_1 , iar la refulare o presiune mai mare decât p_2 . În aceste condiții revenirea din punctul 4 la punctul 1 se face în caz real după o curbă politropă (curba 4-1' diagrama 4.29.b.). Diagrama din figura 4.29.b. este diagrama de lucru a unui compresor real cu o singură treaptă.

Față de cele prezentate se poate scrie:

$$\frac{V_0 - V_1}{V_1} = v^0 \quad (4.36.)$$

În relația de mai sus v^0 se numește coeficient de spațiu mort, iar produsul $v^0 V_1$ este volumul de gaz care rămâne permanent în corpul compresorului și este comprimat la p_2 în timpul evacuării, urmând a se destinde la aspirație până la presiunea la care începe aspirația, ocupând volumul $x \cdot V_1$. Se poate observa că volumul V de gaz aspirat de către compresor este mai mic decât volumul V_1 . Se definește gradul de umplere a compresorului:

$$\frac{V}{V_1} = \eta_v \quad (4.37.)$$

Din figură se poate scrie pentru V :

$$V = V_1 - (x \cdot V_1 - v^0 \cdot V_1) = V_1(1 + v^0 - x) \quad (4.38.)$$

Dacă se introduce expresia lui V în relația de mai sus se obține:

$$x = 1 + v^0 - \eta_v \quad (4.39.)$$

Se definește raportul de comprimare ca fiind raportul dintre presiunea la refulare p_2 și presiunea la aspirație p_1 :

$$p_0 = \frac{p_2}{p_1} \quad (4.40.)$$

La efectuarea unui ciclu de funcționare a compresorului, volumul de gaz aspirat (calculat cu relația 4.37.), comprimat și refulat, în realitate este mai mic deoarece sunt pierderi prin neetanșeitățile supapelor, precum și a ansamblului cilindru – piston, astfel că randamentul real este dat de raportul dintre volumul de gaz evacuat V_c și volumul V :

$$\eta_v' = \frac{V_c}{V} = \frac{V_c}{\eta_v \cdot V_1} \quad (4.41.)$$

De unde rezultă:

$$V_c = \eta_v' \cdot \eta_v \cdot V_1 = \eta_u \cdot V_1 \quad (4.42.)$$

În relația de mai sus η_u se numește randament de utilizare și are valori de 0,96 la compresoare cu o singură treaptă și până la 0,91 la compresoare cu mai multe trepte.

Debitul volumic al compresorului pentru turația arborelui motor n_1 este:

$$Q_v = \eta_u \cdot V_1 \cdot n_1 = \eta_u \cdot A \cdot L \cdot n_1 \quad (4.43.)$$

A reprezintă aria secțiunii pistonului, iar L este cursa pistonului.

Ecuția politropiei pentru volumul $x \cdot V_1$ la care începe aspirația și volumul $v^0 \cdot V_1$ are forma:

$$p_1(x \cdot V_1)^n = p_2(v^0 \cdot V_1)^n \quad (4.44.)$$

Puterea necesară la arborele compresorului se determină cu relația:

$$P = \frac{n}{n-1} p_1 \cdot Q_v \left[\left(\frac{p_2}{p_1} \right)^{\frac{n-1}{n}} - 1 \right] \cdot \frac{1}{1000} \quad (\text{kW}) \quad (4.45.)$$

Puterea de acționare a motorului ce antrenează compresorul va fi:

$$P_m = \frac{P}{\eta} \quad (4.46.)$$

Cu η s-a notat randamentul total al instalației de comprimare și care are valori cuprinse între 0,45-0,65.

4.3.2. Utilaje pentru comprimarea și transportul gazelor

Pentru comprimarea și transportul gazelor se folosesc utilaje specializate care, din punct de vedere constructiv se aseamănă cu pompele pentru lichide, dar ca urmare a faptului că gazele se comprimă, prezintă unele particularități. Clasificarea acestor utilaje se poate face după mai multe criterii:

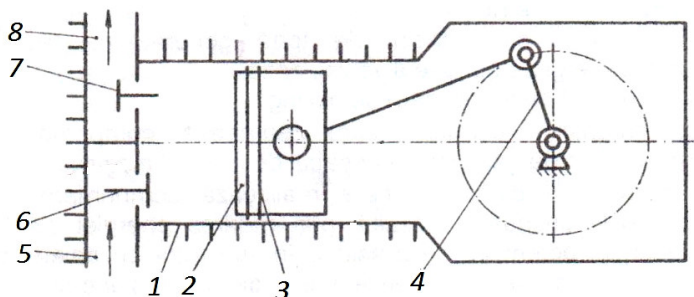
- după presiunea de lucru:
 - pentru presiuni peste cea atmosferică;
 - pentru presiuni sub cea atmosferică sau pompe de vid;
- după mișcarea organelor de lucru:
 - fără elemente mobile (injector, ejector, pompa de difuzie);
 - cu elemente mobile (cu mișcare rectilinie alternativă, rotative și centrifuge).

Compressoarele cu piston transportă gazele la presiuni peste cea atmosferică, având construcția asemănătoare pompelor cu piston.

O clasificare a compresoarelor cu piston se poate face astfel:

- după numărul de cilindri:
 - cu un cilindru;
 - cu mai mulți cilindri;
- după modul de dispunere a cilindrilor:
 - cu dispunere în linie;
 - cu dispunere în stea;
 - cu dispunere în W;
 - cu dispunere în V;
- după numărul treptelor de comprimare:
 - cu o singură treaptă;
 - cu mai multe trepte;
- după debitul de gaz realizat:
 - cu debite mici, sub $0,5 \text{ m}^3/\text{min}$;
 - cu debite mijlocii, între $0,5\text{-}10 \text{ m}^3/\text{min}$;
 - cu debite mari, între $10\text{-}50 \text{ m}^3/\text{min}$;
- după presiunea realizată:
 - de presiune joasă, sub 5 bar;
 - de presiune medie, între 10-100 bar;
 - de presiune ridicată, între 100-1000 bar.

Compresorul cu piston cu simplu efect (fig. 4.30.) este alcătuit dintr-un cilindru cu



aripioare de răcire 1, pistonul 2 prevăzut cu segmente de etanșare 3, mecanismul de acționare de tip bielă-manivelă 4, conducta de admisie 5 cu supapa de admisie 6, respectiv conducta de evacuare 8 cu supapa de evacuare 7.

Fig. 4.30. Compresor cu piston

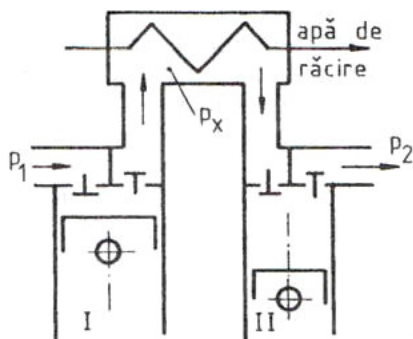


Fig. 4.31. Comprimare în două trepte

Ca și în cazul pompelor cu piston și aici compresoarele cu piston pot fi cu simplu efect sau cu dublu efect.

În figura 4.31. este prezentat modul de lucru al unui compresor cu piston cu comprimare în două trepte. Astfel, gazul comprimat în prima treaptă I este adus de la presiunea p_1 la presiunea p_x , unde este supus răcirii, apoi fiind aspirat și comprimat în treapta a doua II până la presiunea p_2 . Presiunea de refulare crește cu numărul treptelor de comprimare, dar în aceste situații este necesară răcirea gazului după fiecare treaptă de comprimare, pentru a evita supraîncălzirea acestuia.

Compresoarele cu membrană sau piston membrană au construcția și funcționarea asemănătoare cu cea a pompelor de lichid cu membrană.

Compresoarele volumice rotative, numite și suflante, permit comprimarea și transportul gazelor ca efect al rotirii etanșe a unor rotoare de construcție specială

Compresoare rotative cu lamele culisante. Sunt asemănătoare constructiv și funcțional cu pompele cu palete culisante. Din punct de vedere constructiv aceste compresoare pot fi cu lamele culisante în rotor (fig. 4.32.) și cu lamele culisante în stator (fig. 4.33.), dispuse radial sau înclinat.

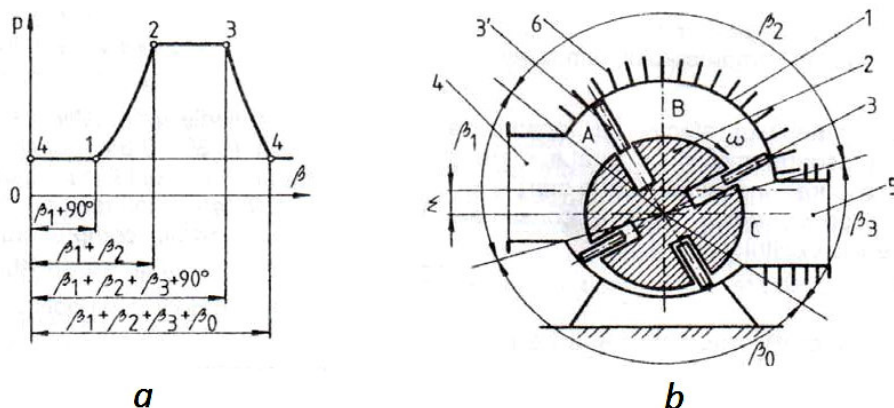
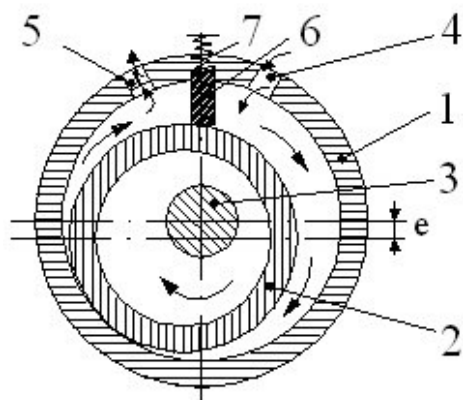


Fig. 4.32. Compressor cu paletă culisantă în rotor: a- diagrama de lucru; b- construcția pompei: 1- stator; 2- rotor excentric, 3-lamele culisante; 4- canal aspirație; 5- canal refulare; 6- sistem de răcire.

Când arborele se rotește (fig. 4.32.), lamelele sunt supuse acțiunii forțelor centrifuge, fiind în contact permanent cu cilindrul interior, ieșind și intrând în canalele din rotor (culisând). Între rotor și cilindru se formează o cameră cu secțiunea ca o semilună, împărțită de paletetele 3 și 3' în camerele notate A, B și C. Camera A joacă rol de cameră de aspirație, deoarece pe măsura mișcării rotorului volumul dintre două lamele consecutive crește, formându-se o depresiune datorită căreia este aspirat gazul (la presiune constantă, procesul 4-1). Continuând rotirea rotorului, camera A se transformă într-o cameră de tip B care, după depășirea liniei verticale a centrelor rotorului și statorului, își micșorează volumul, realizând comprimarea gazului (procesul 1-2). Apoi camera B trece într-o cameră tip C, care intră în comunicație cu conducta de refulare.



Lamela ulterioară 3' pompează gazul din mașină (procesul de refulare 2-3, desfășurat la presiunea constantă p_2). Ciclul se încheie prin trecerea lamelei 3 în stânga liniei centrelor, timp în care o cantitate mică de gaz trece de la refulare spre admisie, destinându-se în procesul 3-4.

Fig. 4.33. Compressor cu paletă culisantă în stator: 1- corp cilindric; 2- rotor excentric; 3- arbore rotor; 4- supapă admisie; 5- supapă refulare; 6- lamelă culisantă; 7- arc

Compresorul cu lamelă culisantă în stator are un rotor dispus excentric și care rulează pe suprafața interioară a corpului cilindric, realizând fazele procesului de comprimare, paleta culisantă având rol de delimitare a zonei de aspirație de cea de refulare.

Compresoarele elicoidale pot realiza rapoarte de comprimare de până la 20. Din punct de vedere constructiv pot fi cu un rotor (fig. 4.34.) sau cu două rotoare (fig. 4.35.)

Compresorul elicoidal cu un rotor este alcătuit dintr-o carcasă în care sunt amplasate organele active, respectiv un melc globoidal ce angrenează două pinioane de etanșare.

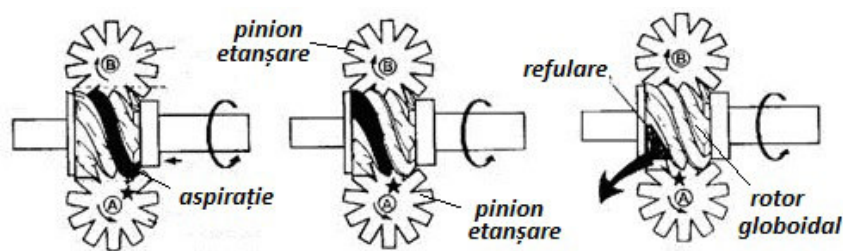


Fig. 4.34. Modul de lucru al compresorului elicoidal cu un rotor

Procesul de lucru este realizat în trei etape. În prima etapă dantura melcului globoidal intră în contact cu camera de aspirație și prin rotirea lui este antrenat gazul în spațiile dintre dinți. Spațiul se umple treptat după care melcul intră în angrenare cu canelura primului pinion de etanșare, care acționează precum un piston. În a doua fază are loc comprimarea gazului pe măsură ce melcul se rotește, intră în angrenaj cu canelura celui de-al doilea pinion de etanșare, micșorând volumul camerei de lucru. În faza a treia canelurile melcului globoidal intră în comunicare cu camera de refulare, gazele comprimate fiind evacuate din spațiile libere ale melcului.

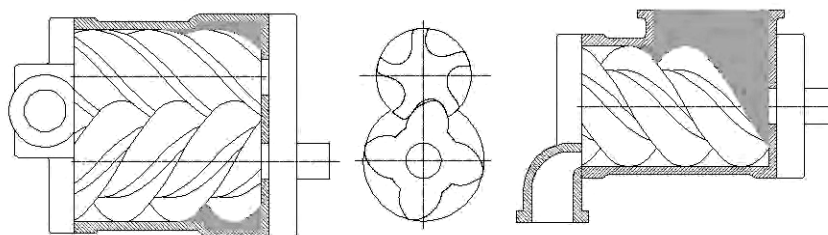
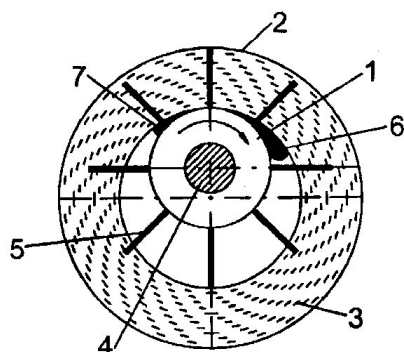


Fig. 4.35. Modul de lucru al compresorului elicoidal cu două rotoare

Compresorul elicoidal cu două rotoare este format dintr-o carcasă sub forma cifrei 8, în care se află două rotoare, unul conducător cu dantură de formă convexă și unul condus cu dantură de formă concavă. În timpul angrenării cele două rotoare se întrepătrund formând o linie continuă de angrenare, de la partea de aspirație la cea de refulare. Spațiul dintre danturile rotoarelor devin din ce în ce mai mici de la aspirație către refulare, realizând astfel comprimarea gazului.

Compresoarele rotative cu inel lichid (fig. 4.36.) sunt de tipul cu palete radiale și care au permanent în interiorul carcasei o cantitate de lichid (apă sau alte lichide).



În timpul rotirii, ca efect al forței centrifuge, lichidul din interior este proiectat pe peretele carcasei unde formează un strat uniform. Ca urmare spațiile dintre paletele rotorului și linia interioară a inelului de lichid sunt neuniforme. Gazul este aspirat din camera de aspirație și este comprimat între palete și inelul de lichid, fiind evacuat în camera de refulare.

Fig. 4.36. Compresorul cu inel de lichid: 1- rotor; 2- carcasă pompă; 3- inel de lichid; 4- arbore rotor; 5- palete; 6- zonă de refulare

Principalul dezavantaj al acestor compresoare este randamentul scăzut, la care se adaugă și faptul că gazul comprimat conține vapori proveniți de la lichidul de etanșare.

Compresoarele cu rotoare profilate au construcția asemănătoare pompelor de același tip, în practică fiind întâlnite compresoare cu lobi (cu rotor cu doi sau trei lobi).

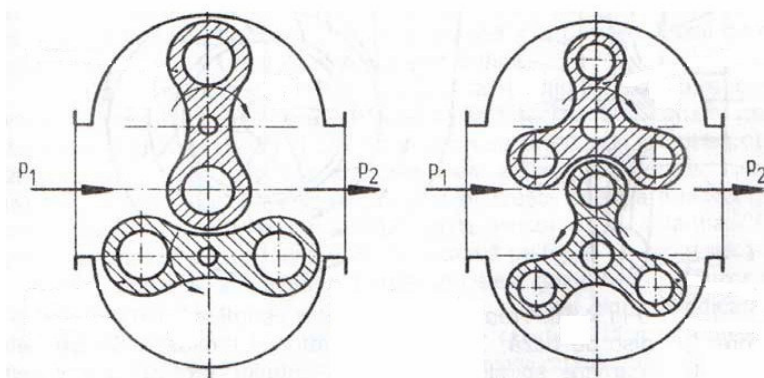


Fig. 4.37. Compressoare cu rotoare profilate de tip lobi

Modul de lucru fig. 4.37.) este cel prin care gazul din camera de aspirație este antrenat în spațiile dintre lobi care angrenează și asigură etanșarea cu carcasa, fiind comprimat și evacuat în camera de refulare.

Compressoarele dinamice sunt de tipul centrifugale și axiale. Ele utilizează energia exterioară pe care o transformă în energie de presiune, comprimând gazul. În funcție de presiunea și debitul realizat ele pot fi compresoare centrifugale și axiale, respectiv ventilatoare axiale și centrifugale. Ventilatoarele lucrează de regulă cu presiuni mici și debite mari ale gazului, în timp ce compresoarele lucrează și cu presiuni mari. În practică se folosesc cu deosebire ventilatoarele și compresoarele centrifugale

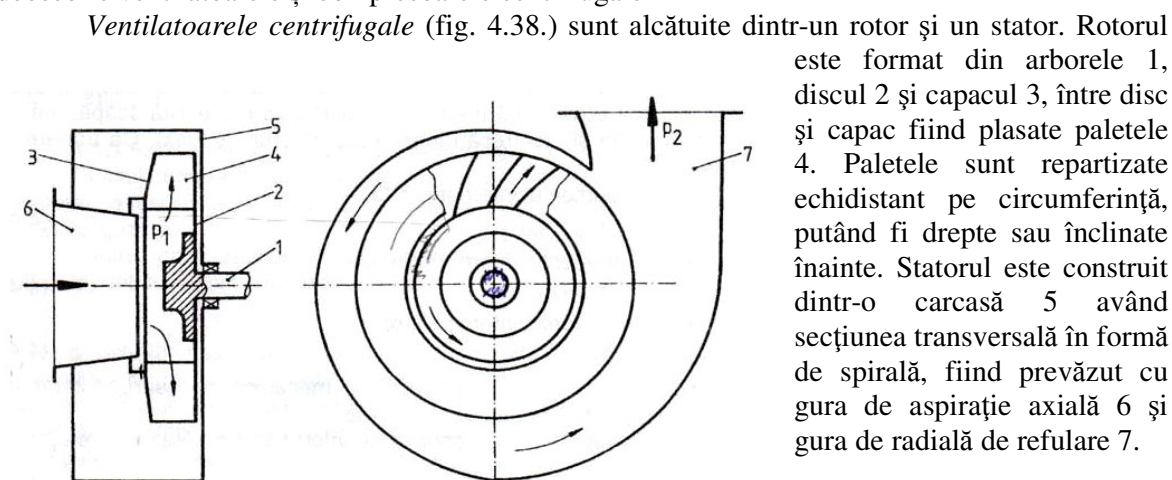


Fig. 4.38. Ventilator centrifugal

Randamentul ventilatoarelor centrifugale η variază între 0,4-0,85, în funcție de construcția lui, iar puterea de acționare se determină cu relația:

$$P = \frac{Q_v \cdot \gamma \cdot h}{102 \cdot \eta} \text{ (kW)} \quad (4.47.)$$

În relația de mai sus Q_v este debitul de gaz (în m^3/s), h este presiunea realizată de ventilator (în $\text{mm H}_2\text{O}$) iar γ este greutatea volumetrică a gazului (în N/m^3).

Compressoarele centrifugale sunt mașini de forță la care comprimarea gazului se face în două faze: în rotor, sub acțiunea forței centrifuge și în stator prin frânarea parțială a curgerii gazului.

Un compresor centrifugal cu o treaptă de comprimare este prezentat în figura 4.39. El este compus dintr-un rotor cu paletă și un stator cu secțiune de trecere crescătoare. Rotorul este alcătuit din arborele 1 pe care este amplasat discul de bază profilat 2, disc prevăzut cu paletele 3. Paletele pot fi radiale, sau pot fi curbate înainte sau înapoi. O paletă este curbată înainte dacă, pe măsură ce diametrul rotorului crește, paleta se îndepărtează de direcția radială în sensul de rotație ω . Statorul este compus din difuzorul 4 și din camera spirală 6, care înconjoară difuzorul. Difuzorul este un spațiu inelar în jurul rotorului, prevăzut cu paletele 5. La compresoarele mici, difuzorul nu are paletă. În construcția compresorului se mai găsesc peretele anterior 7 (profilat) și peretele posterior 8, care împreună cu difuzorul și cu camera spirală închid rotorul. Trecerea

arborelui prin pereții statorului este prevăzută cu un spațiu de etanșare 9. Gazul intră în compresor pe gura de aspirație 10 și este refulat prin gura de refulare 11.

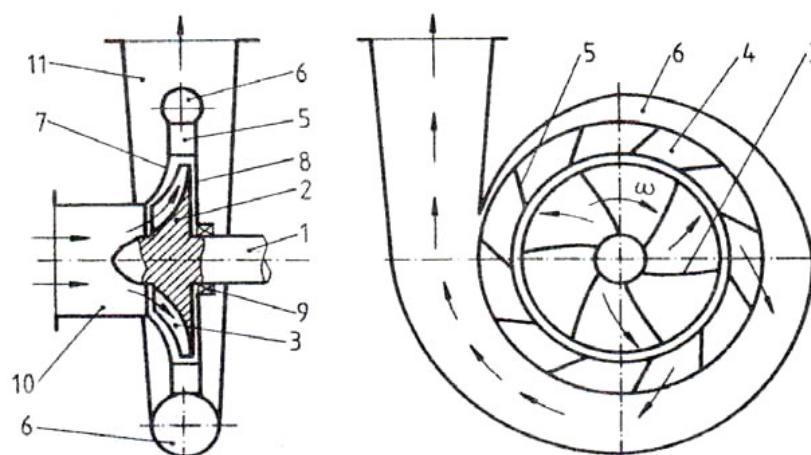


Fig. 4.39. Compresor centrifugal într-o treaptă

În practică, treptele de compresor centrifug se pot cupla câte două în paralel (cu disc, difuzor și cameră spirală comună), sau se pot înseria în lungul arborelui prin intermediul unor canale, care conduc gazul de la ieșirea radială dintr-o treaptă la intrarea axială în treapta următoare.

În rotorul mașinii are loc transmiterea energiei mecanice primite de la motorul de antrenare către fluxul de gaz. Ca urmare, fluxul de gaz se accelerează, iar energia sa cinetică se mărește.

Canalele dintre paletelor rotorului au secțiuni de trecere ce cresc odată cu raza rotorului, ceea ce face ca, la trecerea prin canale, gazul să suporte transformarea unei părți din energia sa cinetică în energie potențială de presiune, simultan cu creșterea arătată a energiei cinetice a gazului. Practic în rotor crește energia totală a gazului, prin ambele componente: cinetică și potențială.

A doua fază funcțională este trecerea gazului prin difuzor și prin camera spirală. Gazul ce iese din rotor cu energie cinetică ridicată, trece prin secțiuni continuu crescătoare, ceea ce conduce la micșorarea vitezei gazului (energiei cinetice) și la creșterea presiunii.

Creșterea totală de presiune rezultă prin însumarea creșterilor de presiune din rotor și din stator și arată că sarcina unui compresor centrifug se exprimă prin creșterea totală de presiune

Prin montarea pe același arbore a mai multor rotoare cu diametru egal, dar de lățime descrescătoare către refulare, se obțin turbocompresoarele. Aici gazul aspirat de către primul rotor este comprimat radial și dirijat de către stator la rotorul următoarei trepte de comprimare.

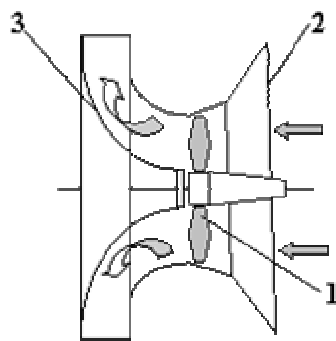


Fig. 4.40. Ventilator axial: 1- rotor; condiționare a aerului din instalațiile frigorifice.
2- stator; 3- deflector

Ventilatoarele axiale (fig. 4.40.) sunt realizate sub forma unui rotor cu palet, montat într-o carcasă cilindrică. Gazul este aspirat și deplasat axial, astfel că în spatele paletelor se formează o depresiune, iar în fața paletelor se formează o presiune.

La unele variante de ventilatoare axiale, în spatele rotorului este prevăzut un deflector, care modifică direcția curentului de gaz astfel încât refularea se face radial.

Deoarece realizează presiuni scăzute, ventilatoarele axiale sunt limitate ca și domeniu de utilizare la comprimarea și transportul gazelor. Se regăsesc mai ales la instalațiile de

Pompele de vid sunt utilaje care realizează presiuni sub cea atmosferică și sunt utilizate la evacuarea gazelor din instalațiile de uscare, distilare, concentrare prin vaporizare, rectificare, etc.

Din punct de vedere constructiv și funcțional sunt pompe de vid propriu-zise și utilaje pentru obținerea de vid înaintat, având la bază diferite principii de funcționare. Din prima categorie fac parte compresoarele cu piston, cu tambur cu paletă, cu inel de lichid, cu rotoare profilate, iar din a doua categorie fac parte ejectoarele cu abur, pompele moleculare, pompele de difuziune și pompele cu ioni.

Compresoarele și suflantele utilizate la realizarea depresiunilor au aceeași construcție ca și cele utilizate la realizarea de presiuni, absorbind gazul din zona de aspirație.

Pompele cu paletă sau suflantele cu paletă au construcția și funcționarea asemănătoare cu compresoarele volumice rotative, dar prezintă o serie de particularități specifice. Astfel pentru a

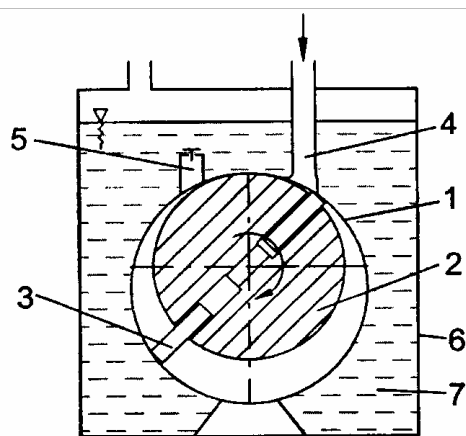


Fig. 4.41. Pompă de vid cu paletă culisante

sigura etanșarea și răcirea lor unele pompe lucrează imersate permanent în ulei, iar pe racordul de refulare sunt prevăzute supape ce asigură pentru gaz presiunea necesară trecerii prin stratul de ulei și care are nivelul constant deasupra pompei.

În figura 4.41. este prezentată schema unei pompe de vid cu rotor cu paletă.

Rotorul 2 cu paletă culisante 3 se rotește, glisând pe un film de ulei aflat pe peretele interior al corpului pompei 1. În acest mod se aspiră gazul din conductă de admisie 4, îl comprimă și-l refulează prin supapă 5 în rezervorul 6 umplut cu uleiul 7. De aici gazul trece prin masa de ulei și este evacuat în afara pompei. Supapa are rolul de a evita pătrunderea uleiului în interiorul pompei.

Ejectoarele sunt pompe de vid funcționează pe principiul jetului de fluid. Din punct de vedere constructiv sunt realizate într-o singură treaptă sau în mai multe trepte, caz în care după fiecare treaptă este necesar condensarea amestecului de vapori format în ejector.

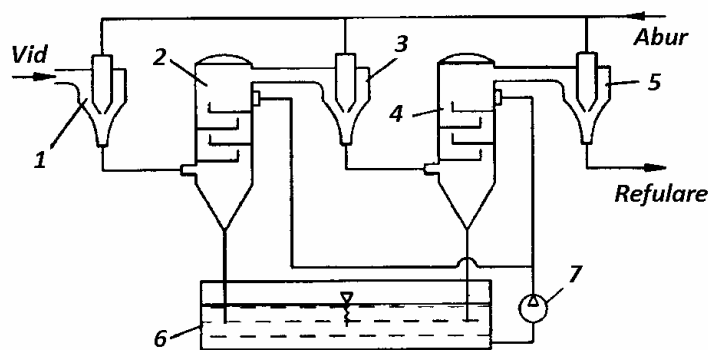


Fig. 4.42. pompă de vid cu ejectoare și condensare directă

În figura 4.42. este prezentată schema unei pompe de vid cu ejector în trei trepte la care vaporii sunt condensați direct (se utilizează un condensator barometric). Ejectoarele 1, 3 și 5 realizează depresiunea folosind un jet de abur care antrenează gazul, mărindepresiunea cu fiecare treaptă. Vaporii formați la antrenarea gazului sunt condensați în condensatoarele 2 și 4, răcirea fiind realizată cu apa din rezervorul 6, trimisă de pompa 7.

Condensul se scurge pe la partea inferioară a condensatoarelor și ajunge în rezervor.

Ejectoarele cu mercur folosesc vapori de mercur care în mișcarea lor ascendentă trec cu viteză mare prin ejectoarele montate în serie, aspirând și antrenând gazul din zona de admisie a pompei. Vaporii de mercur sunt condensați și readuși în zona fierbătorului din pompă, ciclul fiind astfel reluat. Buna funcționare a acestui ejector depinde de existența unei pompe de vid suplimentare.

Pompele de difuziune sunt utilizate la realizarea unui vid înaintat și au ca principiu de

lucru difuzia gazului evacuat în circuitul vaporilor unor substanțe, care au presiunea de vapori

foarte mică. Jetul care antrenează gazul de evacuat se obține prin fierberea substanței și condensarea vaporilor, după ce aceștia au antrenat moleculele gazului spre racordul ce face legătura cu pompa de vid suplimentară.

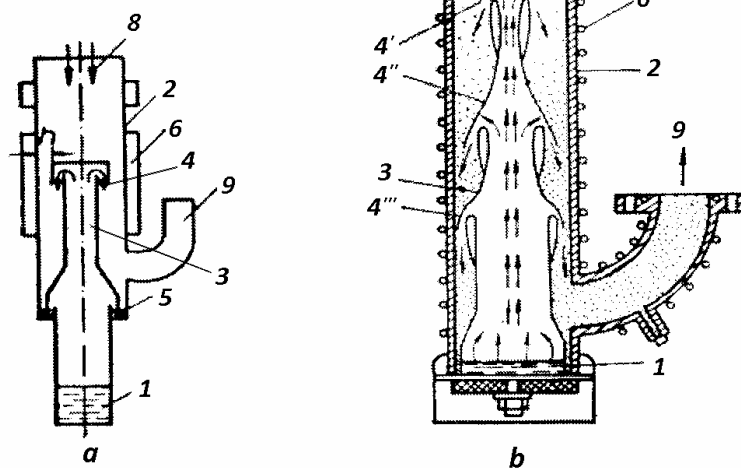


Fig. 4.43. Pompe de difuziune: a- cu o singură treaptă; b- cu trei trepte: 1- fierbător; 2- corp pompă; 3- tub central; 4,4',4'',4'''- trepte ale pompei; 5- etanșare hidraulică; 6- manta de răcire; 7- capcană de vapori răcită cu apă; 8- racord pentru vid; 9- racord la pompa de vid suplimentară.

Pompele ionice realizează depresiuni mari (până la 10^{-4} Pa), funcționarea fiind bazată pe principiul ionizării moleculelor de gaz prin bombardarea cu electroni și transportul lor printr-un câmp electric către pompa de vid suplimentară.

BIBLIOGRAFIE

1. Alămoreanu M., ș.a. 1996 - Mașini de ridicat, Vol. I și II. Editura Tehnică București.
2. Alămoreanu M. 2003 - Introducere în dinamica mașinilor de ridicat. Editura Conspress București.
3. Banu c., ș.a. 1998 - Manualul inginerului de industrie alimentară. Editura Tehnică București
4. Banu C., ș.a. 2000 - Procese hidrodinamice și utilaje specifice, vol.1, vol.2, Uni-Pres C-68, Editură de Presă Universitară, București.
5. Băisan I. 2011 – Mașini de ridicat și de transportat în agricultură și industria alimentară. Editura Politehnicum Iași.
6. Brătucu Gh. 1994 - Mașini și instalații de ridicat și transportat în industria alimentară și agricultură. Universitatea Transilvania Brașov.
7. Căsândroi T. 1993 – Utilaje pentru prelucrarea primară și păstrarea produselor agricole. Universitatea Politehnica București.
8. Căzilă A. 1994 – Echipamente de transport uzinal. Editura Transilvania Press Cluj-Napoca
9. Cebotărescu I., ș.a. 1997 – Utilaj tehnologic pentru vinificație. Editura Tehnică București.
10. Cosoroabă V. 1964 - Compresoare cu piston. Editura Tehnică, București.
11. Cravcenco V. 1978 – Îndrumătorul inginerului mecanic agricol. Redacția Revistelor Agricole București.
12. Drăgușan V., ș.a. 1972 – Utilaje de transport, încărcare și descărcare în agricultură. Editura Ceres București.
13. Florescu I. 2000 - Mecanica fluidelor și mașini hidrapneumatice. Editura Alma Mater Bacău.
14. Ghinea E , ș.a. 1968 – Întreținerea și repararea mașinilor de ridicat și transportat. Editura Tehnică București.
15. Hapenciuc M., Hapenciuc A. 2000 - Instalații de ridicat și transportat, vol. III. Litografia Universitatea “Dunărea de Jos”, Galați.
16. Homutescu V. M., Homutescu C. A. 1996 - Mașini și instalații termice. Lucrări de laborator. Universitatea Tehnică Iași.
17. Ilieș L., ș.a. 1988 – Sistemul de transport containerizat. Editura Dacia Cluj-Napoca.
18. Ionescu Fl., Catrina D., Dorin Al. 1980 - Mecanica fluidelor și acționări hidraulice și pneumatice. Editura didactică și pedagogică București.
19. Iordache Gh., ș.a. 1987 – Utilaje pentru industria materialelor de construcții. Editura Tehnică București.
20. Ivan. E. ș.a. 2005 – Operații și instalații cu transfer de căldură și masă. Editura Mirton Timișoara.
21. Krasnicenko A.V. 1963 – Manualul constructorului de mașini agricole. Editura Tehnică București.
22. Luca Gh. 1978 – Probleme de operații și utilaje din industria alimentară
23. Lupescu O. 1994 – Instalații de transport uzinal. Institutul Politehnic Iași.
24. Marinov A. 1993 - Mecanica fluidelor și mașini hidropneumatice, (partea întâi), Universitatea “Politehnica ”, București.
25. Mănișor P. 1998 – Mecanizarea și automatizarea lucrărilor în zootehnie. Editura Ceres București.
26. Neagu C. 1987 – Utilaje pentru prelucrarea primară și păstrarea produselor agricole. Institutul Politehnic Iași.
27. Neculoiu I., ș.a. 1967 – Mecanizarea operațiilor de încărcare și descărcare la calea ferată. Centrul de documentare și publicații București.
28. Norman B. 1971 – Mechanics of bulk matherials handling. Butterworth & Co Publishers London.
29. 6. Oproescu Gh. 2001 - Mașini si instalații de transport industrial. Editura EDMUNT Brăila.
30. Răileanu T., ș.a. 1994 – Utilaje pentru transport operațional - îndrumar de laborator. Institutul Politehnic Iași.

31. Robescu D., Naianu P/ 2002 - Pompe, ventilatoare, suflante și compresoare. Editura Aisteda București.
32. Rudenko N. 1969 – Materials handling equipment. Mir Publishers Moscow.
33. Segal H. 1966 - Mașini de ridicat și transportat pentru construcții. EDP Bucuresti.
34. Segal H., ș.a. 1960 – Mașini de ridicat și de transportat. Editura Tehnică București.
35. Spivakovski A, Dyachkov V. 1978 – Conveyors and related equipment. Peace Publishers Moscow.
36. Ștefan C. 1985 - Utilaje pentru prelucrarea primară și păstrarea produselor agricole. Institutul Politehnic Timișoara.
37. Tauber B.A., 1956 – Mașini de ridicat și de transportat în industria forestieră. Editura Tehnică București.
38. Tudose R., ș.a. 1977 – Procese, operații, utilaje în industria chimică. Editura Didactică și Pedagogică București.
39. Țenu I. 2008 – Operații și aparate în industria alimentară, vol. I. Editura Ion Ionescu de la Brad Iași.
40. Vâlcu V., ș.a. 2002 – Mașini și instalații zootehnice. Editura PIM Iași.
41. Vâță I., ș.a. 1989 - Mașini de ridicat în construcții. Exploatare, întreținere, reparații. Editura Tehnică București.
42. http://facultate.regielive.ro/cursuri/industria_alimentara/curs_toaia-175186.html
43. http://www.mec.tuiasi.ro/diverse/MITH_Compresoare.pdf MITH_Compresoare